



TUGAS AKHIR - RC18-4803

**DESAIN MODIFIKASI STRUKTUR GEDUNG  
FAKULTAS KEDOKTERAN UNIVERSITAS UDAYANA  
MENGGUNAKAN SISTEM BALOK PRATEGANG  
PADA LANTAI ATAP DAN SISTEM GANDA**

MADE SIDHARTA PURNAMA PUTRA  
NRP. 03111640000118

Dosen Pembimbing I  
Dr. Candra Irawan, ST, MT

Dosen Pembimbing II  
Prof. Dr. Ir. I Gusti Putu Raka, DEA

**DEPARTEMEN TEKNIK SIPIL**  
Fakultas Teknik Sipil, Perencanaan dan Kebumian  
Institut Teknologi Sepuluh Nopember  
Surabaya 2020





TUGAS AKHIR – RC-18-4803

**DESAIN MODIFIKASI STRUKTUR GEDUNG  
FAKULTAS KEDOKTERAN UNIVERSITAS  
UDAYANA MENGGUNAKAN SISTEM BALOK  
PRATEGANG PADA LANTAI ATAP DAN SISTEM  
GANDA**

MADE SIDHARTA PURNAMA PUTRA  
NRP. 03111640000118

Dosen Pembimbing I  
Dr. Candra Irawan, ST, MT

Dosen Pembimbing II  
Prof. Dr. Ir. I Gusti Putu Raka, DEA

DEPARTEMEN TEKNIK SIPIL  
Fakultas Teknik Sipil, Perencanaan dan Kebumian  
Institut Teknologi Sepuluh Nopember  
Surabaya  
2020

*“Halaman ini sengaja dikosongkan”*



FINAL PROJECT – RC-18-4803

**STRUCTURAL MODIFICATION DESIGN OF THE  
FACULTY OF MEDIC AND HEALTH SCIENCES OF  
UDAYANA UNIVERSITY BUILDING USING  
PRESTRESS BEAM SYSTEM ON THE ROOFTOP  
AND DUAL SYSTEM**

MADE SIDHARTA PURNAMA PUTRA  
NRP. 03111640000118

Academic Supervisor I  
Dr. Candra Irawan, ST, MT

Academic Supervisor II  
Prof. Dr. Ir. I Gusti Putu Raka, DEA

DEPARTEMENT OF CIVIL ENGINEERING  
Faculty of Civil, Planning and Geo Engineering  
Sepuluh Nopember Institute of Technology  
Surabaya  
2020

*“Halaman ini sengaja dikosongkan”*

**DESAIN MODIFIKASI STRUKTUR GEDUNG FAKULTAS  
KEDOKTERAN UNIVERSITAS UDAYANA  
MENGGUNAKAN SISTEM BALOK PRATEGANG PADA  
LANTAI ATAP DAN SISTEM GANDA**

**TUGAS AKHIR**

Diajukan Untuk Memenuhi Salah Satu Syarat

Memperoleh Gelar Sarjana Teknik

Pada

Program Studi S-1 Departemen Teknik Sipil

Fakultas Teknik Sipil, Perencanaan dan Kebumian

Institut Teknologi Sepuluh Nopember

Oleh:

**MADE SIDHARTA PURNAMA PUTRA**

NRP. 031 116 40000 118

Disetujui oleh Pembimbing Tugas Akhir :

1. Dr. Candra Irawan, ST, MT

 (Pembimbing I)

2. Prof. Dr. Ir. I Gusti Putu Raksa, SE, MM

 (Pembimbing II)



**SURABAYA  
AGUSTUS, 2020**

*“Halaman ini sengaja dikosongkan”*

# **DESAIN MODIFIKASI STRUKTUR GEDUNG FAKULTAS KEDOKTERAN UNIVERSITAS UDAYANA MENGGUNAKAN SISTEM BALOK PRATEGANG PADA LANTAI ATAP DAN SISTEM GANDA**

**Nama Mahasiswa : Made Sidharta Purnama Putra  
NRP : 03111640000118  
Departemen : Teknik Sipil FTSPK-ITS  
Dosen Pembimbing : Dr. Candra Irawan, ST, MT  
Prof. Dr. Ir. I Gusti Putu Raka, DEA**

## **Abstrak**

*Gedung Fakultas Kedokteran Universitas Udayana yang terletak di Kota Denpasar, Bali terdiri dari 4 lantai dengan ketinggian total 14,40 m dibangun dengan konstruksi beton bertulang konvensional. Gedung ini akan direncanakan ulang dengan modifikasi penambahan lantai menjadi 14 lantai + 1 basemen yang dirancang dengan menggunakan beton bertulang pada keseluruhan lantai serta menggunakan 3 buah balok prategang dengan bentang 23,2 m pada lantai atap yang akan di desain menjadi ruang pertemuan tanpa ada struktur kolom di tengah ruangan sehingga dapat memaksimalkan fungsi dari ruang pertemuan. Gedung ini akan didesain menggunakan Sistem Ganda. Rangka utama didesain sebagai Sistem Rangka Pemikul Momen Khusus (SRPMK) dan dinding geser didesain sebagai dinding geser beton bertulang khusus karena gedung terletak di Kategori Desain Seismik D. Perencanaan akan memenuhi persyaratan keamanan struktur berdasarkan SNI 1726:2019, SNI 2847:2019 dan SNI 1727:2013.*

*Berdasarkan hasil analisa yang telah dilaksanakan, rangka utama gedung menahan beban lateral arah X dan Y yang masing-masing sebesar 25,07% dan 25,89% sehingga syarat Sistem Ganda terpenuhi. Balok prategang pada lantai atap memiliki dimensi 500 mm x 1.200 mm dan gaya prategang awal sebesar*

*3.000 kN. Kehilangan gaya prategang yang di alami oleh balok sebesar 20,58%. Dinding geser memiliki tebal sebesar 40 cm dengan special boundary element pada ujung-ujung dinding geser tersebut. Pondasi menggunakan tiang pancang diameter 60 cm dengan kedalaman 27 meter.*

**Kata Kunci:** *Beton Bertulang, Beton Prategang, Modifikasi, Sistem Ganda.*

# **STRUCTURAL MODIFICATION DESIGN OF THE FACULTY OF MEDIC AND HEALTH SCIENCES OF UDAYANA UNIVERSITY BUILDING USING PRESTRESS BEAM SYSTEM ON THE ROOFTOP AND DUAL SYSTEM**

Name	: Made Sidharta Purnama Putra
NRP	: 03111640000118
Departement	: Teknik Sipil FTSPK-ITS
Supervisor	: Dr. Candra Irawan, ST, MT Prof. Dr. Ir. I Gusti Putu Raka, DEA

## **Abstrack**

*The Faculty of Medic and Health Science Udayana University is located in Denpasar, Bali. Its 4-story building was made with a total height of 14.4 meters using a conventional reinforced concrete system. This building will be redesigned with addition up to 14 stories and 1 underground basemen using reinforced concrete and 3 prestressed beams span of 23.2 meters on its rooftop for a meeting room without any column structure in the middle to maximize the function itself. The structure of this building will be designed using a dual system. The mainframe is designed as a Special Moment Frame Structure (SRPMK) and the shear wall will be designed as a special reinforced concrete shear wall due to its characteristic classified as D Seismic Design Category. The planning will follow the structural security requirements based on 1726:2019, SNI 2847:2019, and SNI 1727:2013.*

*Based on the analytical results that have been done, it was concluded that the mainframe of the building could withstand the lateral X and Y loads which are 23.35% and 25.48% respectively, and could fulfill the requirements of the dual system. The prestressed beams on the rooftop have dimensions of 500 mm x 1,200mm and prestressing force of 3,000 kN. The loss of prestressed force is 20.58%. The thickness of the shearwall is 40 cm with a special boundary element at the ends of the shearwall.*

*The foundation uses a pile diameter of 60 cm with a depth of 27 meters.*

***Key Word: Prestressed Concrete, Reinforced Concrete, Modification, Dual System.***

## KATA PENGANTAR

Puji dan syukur ke hadirat Tuhan Yang Maha Esa karena atas berkat anugerah-Nya penulis dapat menyelesaikan Tugas Akhir yang berjudul “DESAIN MODIFIKASI STRUKTUR GEDUNG FAKULTAS KEDOKTERAN UNIVERSITAS UDAYANA MENGGUNAKAN SISTEM BALOK PRATEGANG PADA LANTAI ATAP DAN SISTEM GANDA” ini dengan baik dan tepat waktu. Pada akhir kata, penulis mengucapkan terima kasih yang sebesar-besarnya kepada:

1. Kedua orang tua saya, (alm) I Nengah Suarta dan Ni Nyoman Ayu Masmini serta kakak saya, I Gede Agus Brahmantya Narwadi yang selalu ada untuk memberikan doa dan dorongan untuk menyelesaikan Tugas Akhir ini.
2. Bapak Dr. Candra Irawan, ST, MT selaku Dosen Pembimbing I yang telah memberikan banyak arahan dan pengetahuan selama penggerjaan Tugas Akhir ini.
3. Bapak Prof. Dr. Ir. I Gusti Putu Raka, DEA selaku Dosen Pembimbing II yang telah memberikan banyak arahan dan pengetahuan selama penggerjaan Tugas Akhir ini.
4. Dr. Eng Januarti Jaya Ekaputri ST, MT selaku dosen wali yang membantu saya selama masa perkuliahan.
5. Bapak dan Ibu dosen serta staff pengajar Departemen Teknik Sipil FTSPK – ITS.
6. Teman-teman Kontrakan *Bali Brother* yang selalu bisa memberikan semangat dan motivasi untuk menyelesaikan Tugas Akhir ini.
7. Teman-teman TPKH-ITS dan Teknik Sipil S-59 serta semua pihak yang tidak dapat saya sebutkan satu persatu yang telah membantu penyusunan Tugas Akhir ini.

Dalam penulisan Tugas Akhir ini, saya menyadari bahwa masih ada kekurangan. Maka kritik dan saran yang bersifat membangun sangat saya harapkan. Semoga Tugas Akhir ini dapat memberikan manfaat bagi pembaca, penulis dan semua pihak yang terkait.

Surabaya, Agustus 2020

## DAFTAR ISI

HALAMAN JUDUL .....	i
LEMBAR PENGESAHAN .....	v
ABSTRAK .....	vii
KATA PENGANTAR .....	xi
DAFTAR ISI .....	xiii
DAFTAR GAMBAR .....	xvii
DAFTAR TABEL .....	xxi
BAB I PENDAHULUAN .....	1
1.1    Latar Belakang Masalah .....	1
1.2    Rumusan Masalah .....	4
1.3    Tujuan .....	4
1.4    Batasan Masalah .....	5
1.5    Manfaat .....	5
BAB II TINJAUAN PUSTAKA .....	7
2.1    Umum .....	7
2.2    Prinsip Struktur Beton Bertulang .....	7
2.3    Sistem Struktur Beton Prategang .....	8
2.4    Prinsip Dasar Struktur Beton Prategang .....	9
2.5    Tahap Pembebanan Prategang .....	13
2.6    Balok Prategang Parsial .....	16
2.7    Kehilangan Gaya Prategang .....	16
2.8    Sistem Sendi .....	18
2.9    Sistem Ganda .....	19
2.10    Perencanaan Basemen .....	20
2.11    Perencanaan Pondasi .....	21
BAB III METODOLOGI .....	23

3.1	Umum.....	23
3.2	Diagram Alir Penyusunan Tugas Akhir .....	23
3.3	Pengumpulan Data .....	25
3.4	Studi Literatur.....	26
3.5	Perencanaan Struktur Sekunder.....	27
3.6	Preliminary Design.....	30
3.7	Pembebanan.....	31
3.8	Analisa Struktur.....	41
3.9	Perencanaan Struktur.....	45
3.10	Sistem Hubungan Balok Kolom Sendi.....	63
3.11	Perencanaan Basemen .....	65
3.12	Perencanaan Pondasi .....	65
3.13	Gambar .....	72
<b>BAB IV PRELIMINARY DESIGN.....</b>		<b>73</b>
4.1	Umum.....	73
4.2	Data Perencanaan .....	73
4.3	Pembebanan.....	74
4.4	Perencanaan Balok .....	74
4.5	Perencanaan Tebal Plat .....	77
4.6	Perencanaan Kolom.....	83
4.7	Perencanaan Dinding Geser .....	89
<b>BAB V PERENCANAAN STRUKTUR SEKUNDER.....</b>		<b>91</b>
5.1	Perencanaan Tangga.....	91
5.2	Perencanaan Pelat.....	103
5.3	Perencanaan Balok Anak.....	111
5.4	Perencanaan Balok Lift .....	116

<b>BAB VI PEMODELAN DAN PEMBEBANAN STRUKTUR</b>	121
6.1    Umum .....	121
6.2    Permodelan Struktur.....	121
6.3    Pembebanan.....	124
6.4    Kontrol Waktu Getar Alami Fundamental .....	131
6.5    Kontrol Gaya Geser Dasar ( <i>Base Shear</i> ).....	133
6.6    Kontrol Sistem Ganda (Dual System) .....	136
6.7    Kontrol Partisipasi Massa.....	137
6.8    Kontrol Simpangan ( <i>Drift</i> ) .....	138
6.9    Analisa Eksentrisitas .....	141
<b>BAB VII PERENCANAAN STRUKTUR PRATEGANG .....</b>	143
7.1    Umum .....	143
7.2    Data Perencanaan Beton Prategang.....	143
7.3    Mencari Lebar Efektif .....	144
7.4    Penentuan Tegangan Ijin Baja dan Beton .....	144
7.5    Perhitungan Pembebaan .....	146
7.6    Penentuan Gaya Prategang .....	146
7.7    Daerah Limit Tendon .....	162
7.8    Kontrol Lendutan .....	165
7.9    Kontrol Momen Nominal .....	166
7.10    Kontrol Momen Retak.....	172
7.11    Pengangkuran Ujung .....	173
7.12    Perencanaan Kolom Sendi.....	174
7.13    Metode Pelaksanaan .....	177
<b>BAB VIII PERENCANAAN STRUKTUR UTAMA NON PRATEGANG.....</b>	179
8.1    Perencanaan Balok Induk .....	179

8.2	Perencanaan Kolom.....	199
8.3	Perencanaan Dinding Geser .....	216
8.4	Hubungan Balok Kolom.....	222
BAB IX	PERENCANAAN STRUKTUR BAWAH.....	227
9.1	Perencanaan Pondasi .....	227
9.2	Perencanaan Basemen .....	264
BAB X	KESIMPULAN DAN SARAN.....	271
10.1	Kesimpulan.....	271
10.2	Saran.....	274
DAFTAR	PUSTAKA .....	275
LAMPIRAN	.....	277

## DAFTAR GAMBAR

Gambar 1. 1 Tampak Depan Gedung Fakultas Kedokteran Universitas Udayana.....	2
Gambar 2. 1 Distribusi Tegangan pada Penampang Sebelum Retak.....	7
Gambar 2. 2 Distribusi Tegangan pada Penampang Retak .....	8
Gambar 2. 3 Konsep Beton Prategang sebagai Bahan yang Elastis .....	10
Gambar 2. 4 Tendon dengan Eksentrisitas .....	11
Gambar 2. 5 Diagram Tegangan Beton Prategang .....	11
Gambar 2. 6 Perbandingan Penulangan Prategang dan Beton Bertulang .....	12
Gambar 2. 7 Konsep Beton Prategang Mencapai Keseimbangan Beban.....	12
Gambar 2. 8 Sendi Sementara dan Bentuk Sendi yang di- <i>Grouting</i> (Jepit).....	19
Gambar 3. 1 Diagram Alir Penyusunan Tugas Akhir .....	23
Gambar 3. 2 Lanjutan Diagram Alir Penyusunan Tugas Akhir ..	24
Gambar 3. 3 Lebar Efektif Maksimum SNI 2847:2019 .....	30
Gambar 3. 4 Gempa maksimum yang dipertimbangkan risiko tertarget (MCER).....	34
Gambar 3. 5 Gempa maksimum yang dipertimbangkan risiko tertarget (MCER).....	35
Gambar 3. 6 Perhitungan simpangan tiap lantai.....	44
Gambar 3. 7 Daerah Limit kabel .....	62
Gambar 3. 8 (a) Pekerjaan Kolom Sistem Sendi (b) Pemberian Gaya Prategang Pada Balok Prategang Sistem Sendi .....	64
Gambar 3. 9 Konfigurasi Spun Pile pada <i>Pile Cap</i> .....	66
Gambar 3. 10 Perhitungan Momen Lentur dan Gaya Geser pada <i>Pile Cap</i> .....	70
Gambar 4. 1 Gambar Denah Pembalokan Lantai 1-14.....	75
Gambar 4. 2 Gambar Denah Pembalokan Lantai Atap .....	75
Gambar 4. 3 Ilustrasi bentang efektif .....	79
Gambar 4. 4 Variasi Pelat Lantai Pada Gedung FK UNUD .....	80

Gambar 4. 5 Pelat type SA .....	80
Gambar 5. 1 Ilustrasi Tampak Atas Tangga .....	92
Gambar 5. 2 Ilustrasi Tampak Samping Tangga .....	92
Gambar 5. 3 Pembebanan Tangga.....	94
Gambar 5. 4 Bidang N,D,M Tangga .....	97
Gambar 5. 5 Tampak Atas Pelat Lantai Tipe A .....	106
Gambar 5. 6 Ilustrasi Potongan Pelat Rencana .....	106
Gambar 5. 7 Denah Lift.....	117
Gambar 5. 8 Pembebanan Balok Penggantung Lift .....	118
Gambar 6. 1 Denah Struktur pada Lantai 9.....	122
Gambar 6. 2 Tampak Struktur dari <i>Elevation View 3</i> .....	123
Gambar 6. 3 Tampak Permodelan 3D .....	123
Gambar 6. 4 Peta untuk Menentukan Nilai S <sub>s</sub> .....	128
Gambar 6. 5 Peta untuk Menentukan Nilai S <sub>1</sub> .....	128
Gambar 6. 6 Grafik Respon Spektrum Desain .....	130
Gambar 6. 7 Drift Ijin.....	140
Gambar 7. 1 Diagram Momen Akibat Beban Mati dari ETABS .....	149
Gambar 7. 2 Diagram Momen Akibat Beban Mati dan Hidup dari ETABS .....	150
Gambar 7. 3 Diagram Tegangan Tengah Bentang Saat Transfer .....	151
Gambar 7. 4 Diagram Tegangan di Tumpuan Saat Transfer....	152
Gambar 7. 5 Diagram Tegangan Tengah Bentang Saat Beban Layan .....	153
Gambar 7. 6 Diagram Tegangan di Tumpuan Saat Beban Layan .....	153
Gambar 7. 7 Diagram Tegangan Tengah Bentang Saat Beban Layan .....	159
Gambar 7. 8 Diagram Tegangan di Tumpuan Saat Beban Layan .....	160
Gambar 7. 9 Diagram Momen akibat Gempa dari ETABS.....	160
Gambar 7. 10 Diagram Tegangan Tengah Bentang Saat Beban Layan .....	161
Gambar 7. 11 Diagram Momen akibat Gempa dari ETABS.....	161

Gambar 7. 12 Diagram Tegangan Tengah Bentang Saat Beban Layan .....	162
Gambar 7. 13 Daerah Limit Tendon .....	164
Gambar 7. 14 Diagram Equilibrium Kekuatan Nominal Beton	167
Gambar 7. 15 Diagram Geser dari ETABS .....	169
Gambar 7. 16 Diagram Momen Puntir dari ETABS .....	171
Gambar 7. 17 Sendi Sementara dan Bentuk Sendi yang di- Grouting (Jepit) .....	175
Gambar 8.1 Diagram Momen dan Geser Tumpuan .....	180
Gambar 8.2 Diagram Momen dan Geser Lapangan .....	180
Gambar 8. 3 Rasio Tulangan Kolom K1 pada SP Column .....	200
Gambar 8. 4 Ilustrasi Momen yang Bertemu di HBK .....	201
Gambar 8. 5 Diagram Interaksi P-M Kolom Lantai 1 Arah X..	204
Gambar 8. 6 Diagram Interaksi P-M Kolom Lantai 2 Arah X..	204
Gambar 8. 7 Diagram Interaksi P-M Kolom Lantai 1 Arah Y..	206
Gambar 8. 8 Diagram Interaksi P-M Kolom Lantai 2 Arah Y ..	206
Gambar 8. 9 Penentuan Gaya Geser pada Kolom .....	210
Gambar 8. 10 Diagram Interaksi P-M Kolom Desain Atas dan Bawah $f_s = 1,25 f_y$ .....	211
Gambar 8. 11 Konfigurasi Penulangan <i>Shearwall</i> Pier 1 .....	219
Gambar 8. 12 Diagram Interaksi P-M <i>Shearwall</i> Pier 1 Arah X ..	219
Gambar 8. 13 <i>Longitudinal Strain</i> Untuk Menentukan Nilai c ..	221
Gambar 8. 14 Luas <i>Joint</i> Efektif .....	223
Gambar 9. 1 Denah Pondasi .....	227
Gambar 9. 2 Grafik Daya Dukung Tanah Terhadap Kedalaman ..	231
Gambar 9. 3 Konfigurasi Tiang Pancang P1 .....	235
Gambar 9. 4 Konfigurasi Tiang Pancang P2 .....	237
Gambar 9. 5 Konfigurasi Tiang Pancang P3 .....	238
Gambar 9. 6 Konfigurasi Tiang Pancang P4 .....	239
Gambar 9. 7 Konfigurasi Tiang Pancang P5 .....	240
Gambar 9. 8 Gaya Lateral Tiang Pancang.....	245
Gambar 9. 9 Daerah Kritis Geser Ponds Dua Arah.....	250
Gambar 9. 10 Area Kritis Geser Akibat 1 Tiang Pancang .....	251

Gambar 9. 11 Momen P3 dari ETABS (M11) .....	253
Gambar 9. 12 Momen P3 dari ETABS (M22) .....	255
Gambar 9. 13 Denah <i>Tie Beam</i> .....	257
Gambar 9. 14 Diagram Interaksi P-M .....	259
Gambar 9. 15 Penulangan Lentur <i>Tie Beam</i> .....	259
Gambar 9. 16 Diagram Interaksi Tiang Pancang Diameter 400 mm.....	261
Gambar 9. 17 Hasil Penulangan Aplikasi <i>SpColumn</i> .....	262
Gambar 9. 18 Denah Dinding Penahan Tanah .....	264
Gambar 9. 19 Diagram Tegangan pada Dinding Penahan Tanah .....	265
Gambar 9. 20 Momen M 11 akibat Tekanan Horizontal Tanah	266
Gambar 9. 21 Momen M 22 akibat Tekanan Horizontal Tanah	266

## DAFTAR TABEL

Tabel 3. 1 Tebal minimum pelat solid satu arah .....	27
Tabel 3. 2 Tebal minimum pelat dua arah nonprategang SNI 2847:2019.....	28
Tabel 3. 3 Tinggi Minimum Balok Non-Prategang bila Lendutan Tidak Dihitung .....	29
Tabel 3. 4 Klasifikasi Situs.....	33
Tabel 3. 5 Koefisien situs, $F_a$ .....	36
Tabel 3. 6 Koefisien situs, $F_v$ .....	36
Tabel 3. 7 Kategori Desain Seismik berdasarkan Parameter Respons Percepatan Perioda Pendek, $S_{DS}$ .....	37
Tabel 3. 8 Kategori Desain Seismik berdasarkan Parameter Respons Percepatan Perioda 1 detik, $S_{D1}$ .....	38
Tabel 3. 9 Koefisien $C_u$ .....	43
Tabel 3. 10 Koefisien $C_t$ dan $x$ .....	43
Tabel 3. 11 Simpang ijin struktur.....	44
Tabel 3. 12 Nilai $\beta_1$ .....	45
Tabel 3. 13 Kasus Av,min Tidak Diperlukan Jika $0,5 \phi V_c < V_u \leq \phi V_c$ .....	47
Tabel 3. 14 Koefisien Friksi ( $\mu$ ) dan <i>Woble Efect</i> (K) .....	53
Tabel 3. 15 Koefisien Susut Beton Pasca Tarik .....	54
Tabel 3. 16 Nilai Kre dan J.....	55
Tabel 3. 17 Nilai C .....	56
Tabel 3. 18 Base Coefficient .....	68
Tabel 3. 19 Shaft Coefficient $\beta$ .....	68
Tabel 4. 1 Rekapitulasi Dimensi Balok Induk.....	76
Tabel 4. 2 Rekapitulasi Dimensi Balok Anak .....	76
Tabel 4. 3 Rekapitulasi Dimensi Balok Prategang .....	77
Tabel 4. 4 Rekapitulasi <i>Preliminary</i> Desain Pelat Lantai .....	83
Tabel 4. 5 Beban Yang Diterima Kolom Lantai 10 – Atap.....	85
Tabel 4. 6 Beban Yang Diterima Kolom Lantai 9-5 .....	87
Tabel 4. 7 Beban Yang Diterima Kolom Lantai 4-1 .....	88
Tabel 5. 1 Rekapitulasi Penulangan Tangga .....	102
Tabel 5. 2 Rekapitulasi Perhitungan Pelat Lantai Kelas .....	110

Tabel 5. 3 Rekapitulasi Perhitungan Pelat Atap .....	110
Tabel 5. 4 Rekapitulasi Perhitungan Pelat Basemen .....	111
Tabel 5. 5 Rekapitulasi Mu dan Vu pada Balok Anak .....	111
Tabel 5. 6 Rekapitulasi Penulangan Balok Anak .....	116
Tabel 6. 1 Rekap Pembebaan Gravitasi.....	125
Tabel 6. 2 Output Base Reactions ETABS.....	126
Tabel 6. 3 Perhitungan Data Tanah untuk Menentukan Kelas Situs.....	126
Tabel 6. 4 Parameter Percepatan Spektral Desain Denpasar Situs Tanah SE .....	129
Tabel 6. 5 Hasil Perhitungan Respon Spektrum Desain.....	129
Tabel 6. 6 Koefisien Batas Atas Periode Gedung .....	131
Tabel 6. 7 Modal Periode dan Frekuensi.....	132
Tabel 6. 8 Berat Efektif Struktur .....	134
Tabel 6. 9 Reaksi Beban Gempa Arah X dan Y .....	134
Tabel 6. 10 Reaksi Beban Gempa Arah X dan Y Setelah Koreksi .....	135
Tabel 6. 11 Reaksi Perl letakan dan Persentase Gaya Geser yang Dipikul akibat Gempa Arah X dan Y .....	136
Tabel 6. 12 Modal Partisipasi Massa.....	137
Tabel 6. 13 Partisipasi Massa Statis dan Dinamis .....	138
Tabel 6. 14 Batas Simpangan Antar Lantai Ijin .....	138
Tabel 6. 15 Simpangan Antar Lantai Gempa Arah X .....	139
Tabel 6. 16 Simpangan Antar Lantai Gempa Arah Y .....	140
Tabel 6. 17 Eksentrisitas Aktual dan Tak Terduga .....	141
Tabel 6. 18 Perhitungan Eksentrisitas Rencana Tiap Lantai ....	142
Tabel 7. 1 Rekapitulasi Perhitungan Kehilangan Prategang .....	158
Tabel 7. 2 Hasil Perhitungan Limit Kabel.....	163
Tabel 7. 3 Perhitungan Layout Tendon .....	164
Tabel 7. 4 Hasil Iterasi c di Lapangan.....	167
Tabel 7. 5 Hasil Iterasi c di Tumpuan .....	168
Tabel 8. 1 Rekapitulasi Dimensi Balok Induk.....	179
Tabel 8. 2 Hasil Analisa Struktur pada BI1 .....	180
Tabel 8. 3 Rekapitulasi Tulangan Lentur Balok Induk Lantai 1-14 .....	197

Tabel 8. 4 Rekapitulasi Tulangan Geser Balok Induk Lantai 1-14 .....	198
Tabel 8. 5 Rekapitulasi Tulangan Lentur Balok Induk Lantai Atap .....	198
Tabel 8. 6 Rekapitulasi Tulangan Geser Balok Induk Atap .....Arah X .....	198 204
Tabel 8. 7 øMnx Kolom Lantai 1 Arah X .....	205
Tabel 8. 8 øMnx Kolom Lantai 2 Arah X .....	205
Arah Y .....	206
Tabel 8. 9 øMny kolom lantai 1 Arah Y .....	207
Tabel 8. 10 øMny kolom lantai 2 Arah Y .....	207
Tabel 8. 11 Output Program Sp Column, Ujung Bawah dan Atas Kolom Lt.1 .....	212
Tabel 8. 12 Rekap Penulangan Longitudinal dan Panjang Lewatan .....	215
Tabel 8. 13 Rekap Penulangan Transversal .....	216
Tabel 8. 14 Rekapitulasi Perhitungan Tulangan <i>Shearwall</i> .....	222
Tabel 9. 1 Daya Dukung Tanah Kedalaman 1 – 30 m .....	230
Tabel 9. 2 Beban pada Pondasi Tipe 1 (P1) .....	232
Tabel 9. 3 Beban pada Pondasi Tipe 2 (P2) .....	232
Tabel 9. 4 Beban pada Pondasi Tipe 3 (P3) .....	233
Tabel 9. 5 Beban pada Pondasi Tipe 4A (P4A).....	233
Tabel 9. 6 Beban pada Pondasi Tipe 4B (P4B).....	234
Tabel 9. 7 Beban pada Pondasi Tipe 5 (P5) .....	234
Tabel 9. 8 Hasil Perhitungan Pmax Per Tiang pada P1 .....	236
Tabel 9. 9 Hasil Perhitungan Pmax Per Tiang pada P2 .....	237
Tabel 9. 10 Hasil Perhitungan Pmax Per Tiang pada P3 .....	238
Tabel 9. 11 Hasil Perhitungan Pmax Per Tiang pada P4A .....	239
Tabel 9. 12 Hasil Perhitungan Pmax Per Tiang pada P4B .....	240
Tabel 9. 13 Hasil Perhitungan Pmax Per Tiang pada P5 .....	241
Tabel 9. 14 Kontrol Tiang Pancang Kelompok P1.....	242
Tabel 9. 15 Kontrol Tiang Pancang Kelompok P2.....	242
Tabel 9. 16 Kontrol Tiang Pancang Kelompok P3.....	243
Tabel 9. 17 Kontrol Tiang Pancang Kelompok P4A.....	243
Tabel 9. 18 Kontrol Tiang Pancang Kelompok P4B .....	244

Tabel 9. 19 Kontrol Tiang Pancang Kelompok P5.....	244
Tabel 9. 20 Rekapitulasi Kontrol Gaya Lateral pada P1 .....	246
Tabel 9. 21 Rekapitulasi Kontrol Gaya Lateral pada P2 .....	247
Tabel 9. 22 Rekapitulasi Kontrol Gaya Lateral pada P3 .....	247
Tabel 9. 23 Rekapitulasi Kontrol Gaya Lateral pada P4A .....	248
Tabel 9. 24 Rekapitulasi Kontrol Gaya Lateral pada P4B .....	248
Tabel 9. 25 Rekapitulasi Kontrol Gaya Lateral pada P5 .....	249
Tabel 9. 26 Rekapitulasi Kontrol Geser Ponds .....	253
Tabel 9. 27 Rekapitulasi Penulangan <i>Pile Cap</i> .....	257

## **BAB I**

### **PENDAHULUAN**

#### **1.1 Latar Belakang Masalah**

Kampus adalah sebuah kompleks atau daerah tertutup yang merupakan kumpulan dari gedung-gedung sebuah perguruan tinggi. Seiring perkembangan pendidikan di Indonesia, pembangunan infrastruktur kampus semakin pesat guna menunjang kebutuhan akademik mahasiswa. Pesatnya pembangunan infrastruktur kampus menyebabkan semakin berkurangnya jumlah lahan kampus yang tersedia sehingga pembangunan infrastruktur kampus arah vertikal menjadi solusi untuk mengurangi penggunaan lahan. Salah satu bentuk infrastruktur kampus adalah gedung kuliah Fakultas.

Gedung Fakultas Kedokteran Universitas Udayana yang terletak di Kota Denpasar, Bali terdiri dari 4 lantai dengan ketinggian total 14,40 meter. Gedung ini dibangun dengan konstruksi beton bertulang konvensional. Pada gedung ini dibutuhkan sebuah fasilitas penunjang yaitu sebuah ruangan khusus untuk menyelenggarakan kegiatan seminar ataupun acara-acara formal lainnya. Ruangan tersebut harus memiliki pandangan yang luas dan nyaman tanpa terhalang kolom bangunan di tengah ruangan sehingga memaksimalkan fungsi ruangan dan menambah nilai estetika. Pada Tugas Akhir ini, akan direncanakan ulang gedung serupa dengan modifikasi penambahan lantai menjadi 14 lantai + 1 basemen yang dirancang dengan menggunakan beton bertulang pada keseluruhan lantai serta menggunakan 3 buah balok beton prategang pada lantai atap yang akan di desain menjadi ruang pertemuan dengan dimensi 23,2m x 19 m.



Gambar 1. 1 Tampak Depan Gedung Fakultas Kedokteran  
Universitas Udayana  
(Sumber: PT Trijaya Nasional)

Beton adalah suatu bahan yang mempunyai kekuatan tekan yang tinggi, tetapi kekuatan tariknya relatif rendah. Sedangkan baja adalah suatu material yang mempunyai kekuatan tarik yang sangat tinggi. Dengan mengkombinasikan beton dan baja sebagai bahan struktur maka tegangan telah dipikulkan kepada beton sementara tegangan tarik dipikulkan kepada baja. Pada struktur dengan bentang yang panjang, struktur beton bertulang konvensional tidak cukup untuk menahan tegangan lentur sehingga terjadi retak-retak di daerah yang mempunyai tegangan lentur tinggi. Keretakan ini memungkinkan masuknya pengaruh korosif yang akan merusak tulangan dan membahayakan struktur.

Beton prategang adalah beton yang mengalami tegangan internal dengan benar dan distribusi sedemikian rupa sehingga dapat mengimbangi tegangan yang terjadi akibat beban eksternal sampai batas tertentu, (Ables dan Bardhah, 1976). Kemampuan beton dalam menahan tarikan diperbaiki dengan memberikan tekanan, sementara kemampuannya menahan tekanan tidak dikurangi. Sehingga, beton prategang merupakan kombinasi yang ideal dari dua bahan modern yang berkekuatan tinggi (Lin & Burns, 1988).

Beton prategang digunakan agar bangunan dengan ruangan yang cukup besar tidak harus menggunakan kolom yang banyak. Sistem prategang akan membuat fungsi gedung semakin efektif,

terlebih gedung ini memiliki beberapa fungsi sekaligus, sehingga gedung akan memiliki fungsi ruang yang semakin besar. Keuntungan beton prategang dibandingkan beton bertulang yaitu (Guna, 2012):

1. Penggunaan prategang efisien karena dimensi penampang struktur akan lebih kecil atau langsing, sebab seluruh luas penampang dipergunakan secara efektif,
2. Karena terbentuknya lawan lendut akibat gaya prategang sebelum beban rencana bekerja, maka lendutan akhir setelah beban rencana bekerja, akan lebih kecil dari pada beton bertulang biasa, sehingga cocok untuk bentang yang panjang,
3. Kelebihan geser dan puntirnya bertambah dengan adanya penegangan,
4. Pada penampang yang diberi penegangan, tegangan tarik dapat dieleminasi karena besarnya gaya tekan disesuaikan dengan beban yang akan diterima.

Mengingat wilayah Indonesia termasuk ke dalam kawasan *ring of fire* dimana sering terjadi pergerakan lempeng yang mengakibatkan gempa bumi. Sehingga pembangunan gedung yang ke arah vertikal ini harus memenuhi standar gedung yang tahan gempa. Dalam Tugas Akhir ini perancangan gedung Fakultas Kedokteran Universitas Udayana menggunakan sistem ganda. Sistem ganda adalah salah satu sistem struktur yang beban gravitasinya dipikul bersama oleh rangka utama sedangkan beban lateralnya dipikul Bersama oleh rangka utama dan dinding struktur. Rangka utama dan dinding struktur didesain sebagai Struktur Rangka Pemikul Momen Khusus (SRPMK) dan Dinding Geser. Untuk Sistem Ganda, rangka pemikul momen harus mampu menahan paling sedikit 25% gaya gempa desain. Tahanan gaya gempa total harus disediakan oleh kombinasi rangka pemikul momen dan dinding geser atau rangka bresing dengan distribusi yang proporsional terhadap kekakuannya (Tavio & Kusuma, 2009).

Pedoman peraturan yang digunakan adalah SNI 2847-2019 tentang tata cara perhitungan beton untuk bangunan gedung, SNI 1726-2019 tentang perencanaan ketahanan gempa untuk bangunan gedung, SNI 1727-2013 mengenai pedoman perencanaan pembebanan untuk rumah dan gedung serta peraturan tentang desain balok prategang yang memenuhi syarat bangunan tahan gempa.

## 1.2 Rumusan Masalah

Rumusan masalah dari modifikasi perencanaan gedung Fakultas Kedokteran Universitas Udayana ini adalah:

1. Bagaimana menentukan *preliminary design* struktur primer dan struktur sekunder Gedung Fakultas Kedokteran Universitas Udayana sesuai struktur yang baru hasil modifikasi?
2. Bagaimana perhitungan pembebanan pada struktur Gedung Fakultas Kedokteran Universitas Udayana setelah adanya modifikasi struktur?
3. Bagaimana model dan analisa struktur Gedung Fakultas Kedokteran Universitas Udayana dengan menggunakan program bantu SAP 2000/ETABS?
4. Bagaimana merencanakan balok beton prategang yang memenuhi kriteria perancangan struktur?
5. Bagaimana merencanakan pondasi yang sesuai dengan besar beban yang dipikul dan kondisi tanah di lapangan?
6. Bagaimana menuangkan hasil perencanaan dan perhitungan struktur Gedung Fakultas Kedokteran Universitas Udayana yang telah dimodifikasi ke dalam gambar teknik?

## 1.3 Tujuan

Tujuan dari modifikasi perencanaan struktur gedung Fakultas Kedokteran Universitas Udayana ini adalah:

1. Menentukan *preliminary design* struktur primer dan struktur sekunder Gedung Fakultas Kedokteran

Universitas Udayana sesuai struktur yang baru hasil modifikasi.

2. Menghitung pembebanan pada struktur Gedung Fakultas Kedokteran Universitas Udayana setelah adanya modifikasi struktur.
3. Memodelkan dan menganalisa struktur Gedung Fakultas Kedokteran Universitas Udayana dengan menggunakan program bantu SAP 2000/ETABS
4. Merencanakan beton prategang yang memenuhi kriteria perancangan struktur.
5. Merencanakan pondasi yang sesuai dengan besar beban yang dipikul dan kondisi tanah dilapangan.
6. Menuangkan hasil perencanaan dan perhitungan struktur Gedung Fakultas Kedokteran Universitas Udayana yang telah dimodifikasi ke dalam gambar teknik.

#### **1.4 Batasan Masalah**

Batasan masalah dari modifikasi perencanaan struktur gedung Fakultas Kedokteran Universitas Udayana ini adalah:

1. Analisa struktur menggunakan program bantu ETABS/SAP2000.
2. Tidak meninjau manajemen konstruksi dan menghitung rancangan biaya.
3. Hanya meninjau metode pelaksanaan yang berkaitan dengan perhitungan struktur.
4. Tidak merencanakan utilitas bangunan, sanitasi, *plumbing, mechanical*, instalasi listrik, dan *finishing*.

#### **1.5 Manfaat**

Manfaat dari Tugas Akhir ini adalah:

1. Untuk mengurangi penggunaan kolom pada gedung Fakultas Kedokteran Universitas Udayana, sehingga lebih efisien dan ekonomis.

2. Memahami aplikasi dari penggunaan beton prategang pada pembangunan gedung bertingkat yang memenuhi persyaratan keamanan.
3. Mengetahui hal-hal yang harus diperhatikan saat perencanaan sehingga kegagalan struktur dapat dihindari.

## BAB II

### TINJAUAN PUSTAKA

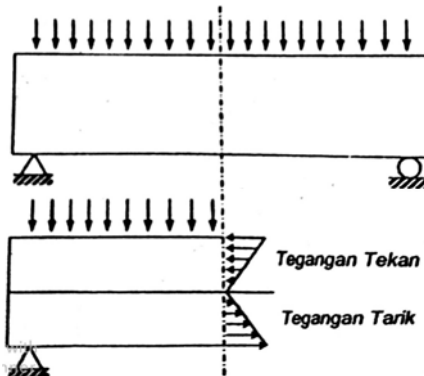
#### 2.1 Umum

Dalam tinjauan pustaka ini akan dibahas dasar teori dari beberapa jurnal mengenai perancangan modifikasi struktur gedung Fakultas Kedokteran Universitas Udayana. Dalam perancangan modifikasi struktur ini diperlukan tinjauan khusus terhadap perancangan struktur dengan beton prategang dan sistem ganda.

#### 2.2 Prinsip Struktur Beton Bertulang

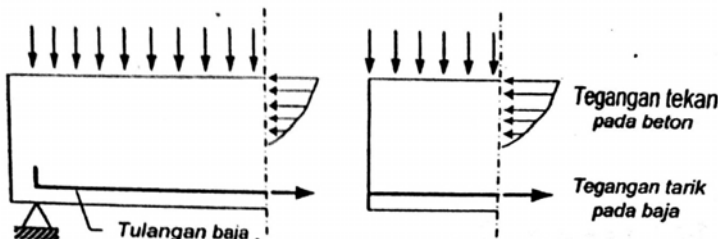
Beton merupakan material yang kuat dalam menahan tekan, namun lemah menahan tarik. Oleh karena itu, beton dapat mengalami retak jika beban yang dipikulnya menimbulkan tegangan tarik yang melebihi kuat tarik maksimal.

Pada struktur balok beton tanpa tulangan yang tergambar di bawah ini. Momen yang timbul akibat beban luar pada dasarnya ditahan oleh kopel gaya dalam tarik dan tekan. Balok tersebut dapat runtuh secara tiba-tiba dan total jika retak terbentuk pada zona tarik penampang (Gambar 2.1).



Gambar 2. 1 Distribusi Tegangan pada Penampang Sebelum Retak

Pada balok bertulang, tulangan baja ditahan di dalam beton sedemikian rupa sehingga gaya tarik yang dibutuhkan untuk menahan momen pada penampang retak dapat dikembangkan pada tulangan baja (Gambar 2.2).



Gambar 2. 2 Distribusi Tegangan pada Penampang Retak

Jadi dapat dikatakan di sini bahwa untuk mengatasi kelemahan beton dalam menahan tarik maka ditambahkan tulangan baja pada bagian penampang balok beton yang berpotensi mengalami tarik saat menahan beban. (Iswandi Imran dan Ediansjah Zulfikli, 2014)

### 2.3 Sistem Struktur Beton Prategang

Beton prategang adalah beton yang mengalami tegangan internal dengan benar dan distribusi sedemikian rupa sehingga dapat mengimbangi tegangan yang terjadi akibat beban eksternal sampai batas tertentu, (Ables dan Bardhah, 1976). Beton prategang merupakan teknologi konstruksi beton yang mengkombinasikan antara beton berkekuatan tinggi dengan baja mutu tinggi dengan cara aktif. Beton prategang merupakan kombinasi yang ideal dari dua buah bahan modern yang berkekuatan tinggi (Lin dan Burns, 1996).

Desain struktur beton prategang melibatkan banyak pertimbangan, yang paling penting adalah penentuan distribusi tegangan pada masing-masing anggota struktur. Besarnya prategang dan tata letak tendon dalam struktur biasanya ditentukan

dari persyaratan kemampuan dari struktur tersebut. Agar persyaratan terpenuhi, perkiraan yang cukup akurat tentang besarnya gaya prategang diperlukan. Hal ini memerlukan prosedur yang andal untuk penentuan kehilangan langsung dan kehilangan akibat waktu dari gaya prategang yang berada pada kondisi transfer dan layan, dimana kedua kondisi tersebut merupakan dua tahap penting dalam rancangan beton prategang. (Adewuyi dan Franklin, 2011)

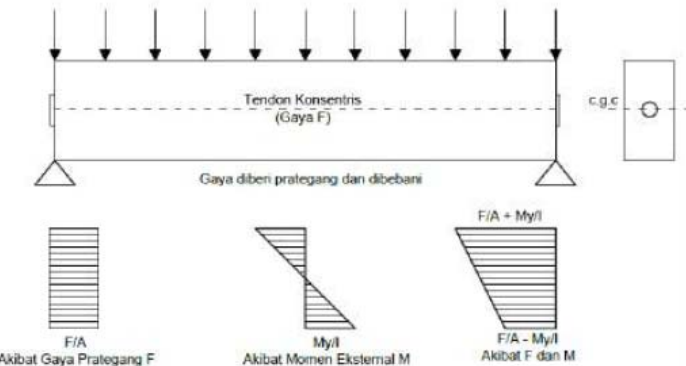
Tiga kondisi batas layan yang paling umum adalah pemeriksaan pada baja tarikan prategang dan tegangan tekan beton, kontrol retak dan deformasi. Rasio bentang dan besar prategang mengatur parameter untuk kontrol deformasi. Kebanyakan standar desain memberlakukan balok beton prategang dalam kelas yang berbeda yang biasanya didasarkan pada tingkat tegangan lentur yang diijinkan untuk kontrol retak efektif. Namun, pembatasan tegangan adalah faktor fundamental yang menentukan kemampuan struktural beton prategang. Batas yang dikenakan pada tegangan beton untuk menghindari retak longitudinal dan membatasi deformasi rangkak. Juga, batas ditetapkan untuk tegangan efektif dalam tendon setelah kehilangan yang diijinkan untuk mencegah tegangan pada baja prategang berada di bawah kemampuan yang dapat menyebabkan deformasi tendon yang tidak elastis. Tegangan lentur adalah hasil dari momen lentur akibat gravitasi atau beban yang bekerja dan gaya prategang eksentrik. (Adewuyi dan Franklin, 2011).

## 2.4 Prinsip Dasar Struktur Beton Prategang

Terdapat prinsip-prinsip dasar pada beton prategang yang perlu diketahui yaitu sebagai berikut.

### 2.4.1 Sistem Prategang untuk Mengubah Beton menjadi Bahan yang Elastis.

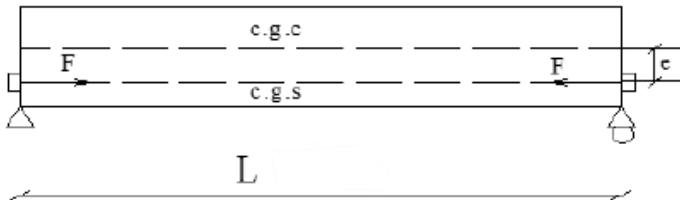
Konsep ini memperlakukan beton sebagai bahan yang elastis. Beton yang ditransformasikan dari bahan yang getas menjadi bahan yang elastis dengan memberikan tekanan terlebih dahulu pada bahan tersebut. Beton tidak mampu menahan tarikan dan kuat menahan tekanan, namun beton yang elastis dapat memikul tegangan tarik. (Lin & Burns, 2000) (Gambar 2.3).



Gambar 2. 3 Konsep Beton Prategang sebagai Bahan yang Elastis  
(Lin and Burns, 2000)

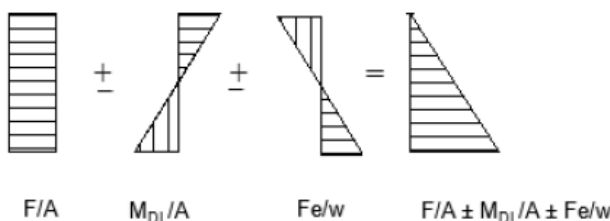
Akibat gaya tekan yang diberikan, gaya  $F$  yang bekerja akan memberikan tegangan tekan secara merata diseluruh penampang beton sebesar  $F/A$ , dimana  $A$  adalah luas penampang. Akibat dari beban merata yang memberikan tegangan tarik di bawah garis netral dan tegangan tekan di atas garis netral, maka perumusan sebagai berikut :

Agar kemampuan beton prategang meningkat, dapat ditambahkan eksentrisitas tegangan baja terhadap garis netral beton, gambar 2.4.



Gambar 2. 4 Tendon dengan Eksentrisitas

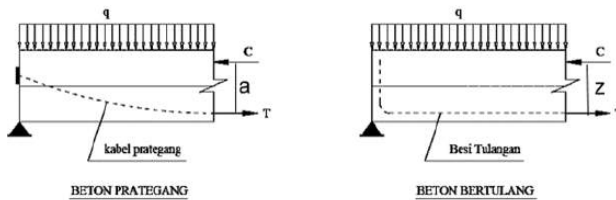
Karena adanya pergeseran eksentrisitas baja terhadap garis pusat, maka terjadi tegangan sebesar  $F \cdot e / W$  dimana  $e$  merupakan eksentrisitas tegangan dan  $W$  adalah momen resisten ( $I/y$ ) (Gambar 2.5).



Gambar 2. 5 Diagram Tegangan Beton Prategang

#### 2.4.2 Sistem Prategang untuk Kombinasi Baja Mutu Tinggi dengan Beton

Konsep ini mempertimbangkan beton prategang sebagai kombinasi dari baja dan beton, dimana baja menahan tarikan dan beton menahan tekanan, dengan demikian kedua bahan membentuk kopel penahan untuk melawan momen eksternal (Lin & Burns, 2000) (Gambar 2.6).

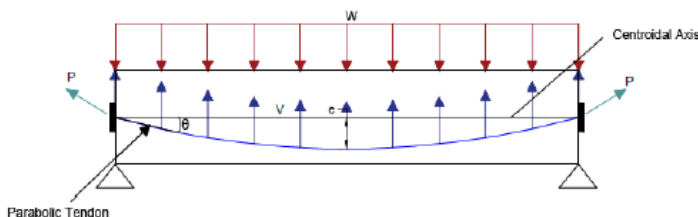


Gambar 2. 6 Perbandingan Penulangan Prategang dan Beton Bertulang

Pada beton prategang, baja pategang ditarik dengan gaya prategang ( $T$ ) yang akan membentuk momen kopel dengan gaya tekan pada beton ( $C$ ) untuk melawan momen akibat beban luar.  $M_{\text{dalam}} = C \times a$  (beton prategang).

Pada beton bertulang biasa, tulang akan menahan gaya tarik ( $T$ ) akibat beban luar, yang akan membentuk momen kopel dengan gaya tekan pada beton ( $C$ ) untuk melawan momen akibat beban luar. Dengan nilai  $C=T$  dan  $M_{\text{max}}=M_{\text{dalam}}$ , dimana nilai  $M_{\text{dalam}} = C \times Z$  (beton bertulang).

#### 2.4.3 Sistem Prategang untuk Mencapai Kesetimbangan Beban



Gambar 2. 7 Konsep Beton Prategang Mencapai Keseimbangan Beban

Pada Gambar 2.7 menerangkan konsep ini untuk membuat keseimbangan gaya-gaya pada sebuah batang. Pada desain beton prategang, pengaruh prategang dipandang sebagai keseimbangan berat sendiri sehingga batang yang mengalami lenturan tidak akan

mengalami tegangan lentur pada kondisi pembebahan yang terjadi (Lin & Burns, 2000).

Balok beton yang terletak diatas dua perletakan yang diberi gaya prategang (P) dengan lintasan parabola. Beban akibat gaya prategang terdistribusi secara merata ke arah atas. Beban merata akibat beban diimbangi oleh gaya merata akibat prategang.

## 2.5 Tahap Pembebahan Prategang

Salah satu pertimbangan istimewa pada beton prategang adalah banyaknya tahapan pembebahan dimana sebuah komponen struktur dibebani. Berikut adalah tahapan – tahapan pembebahan (Sulendra dan Tatong, 2011)

### 2.5.1 Tahap Awal

Batang atau struktur diberi gaya prategang tetapi tidak dibebani oleh beban eksternal. Tahap ini selanjutnya dapat dibagi dalam beberapa tahap, beberapa diantaranya tidak penting oleh karenanya dapat diabaikan pada desain-desain tertentu.

#### a. Sebelum diberi Gaya Prategang

Sebelum beton diberi gaya prategang, beton cukup lemah dalam memikul beban, oleh karena itu harus dicegah agar tidak terjadi kehancuran pada perletakan.

#### b. Pada saat diberi Gaya Prategang

Merupakan percobaan yang kritis dari kekuatan tendon. Seringkali tegangan maksimum yang mungkin dialami oleh tendon terjadi pada saat penarikan.

#### c. Pada saat Peralihan Gaya Prategang

Untuk komponen-komponen pratarik, peralihan gaya prategang dilakukan sekaligus dan dalam waktu yang singkat. Untuk komponen-komponen struktur pasca-tarik, peralihan seringkali secara bertahap, gaya prategang pada tendon-tendon dialihkan ke beton satu per satu. Pada kedua keadaan tersebut tidak ada gaya eksternal pada komponen struktur kecuali berat sendirinya.

Pada struktur pratarik, sebelum gaya prategang ditransfer ke beton, gaya prategang awal mengendur menjadi gaya prategang pada saat transfer. Setelah beton mengeras, beton dan tendon saling mengikat. Gaya prategang saat transfer dianggap sebagai tegangan residual dan ditaransformasikan menjadi gaya nodal, dan kemudian gaya nodal diaplikasikan pada struktur dengan beberapa langkah. (Xiao-Han Wu; Shunsuke Otani; Hitoshi Shiohara, 2001)

Pada struktur pascatarik, gaya prategang ditransfer dengan sebuah operasi tegangan. Desain gaya tarik diaplikasikan di ujung tendon secara bertahap dan kehilangan akibat friksi dan perpendekan elastis beton dihitung bersamaan. Setelah gaya prategang ditransfer, tendon akan bonded dan unbounded tendon. (Xiao-Han Wu; Shunsuke Otani; Hitoshi Shiohara, 2001)

#### d. Desentring dan Penarikan Kembali

Jika sebuah komponen struktur dicor dan diberi gaya prategang di tempat, maka pada umumnya komponen tersebut akan memikul sendiri selama atau sesudah diberi gaya prategang. Jadi bekisting dapat dibongkar setelah diberi gaya prategang, dan tidak ada pembebanan baru terjadi pada struktur. Beberapa struktur beton mengalami penarikan ulang; ini adalah sistem prategang dalam dua tahap atau lebih. Jadi tegangan-tegangan pada berbagai macam tahap penarikan harus terjadi.

### **2.5.2 Tahap Antara (intermediate)**

Ini adalah tahapan selama pengangkutan dan penempatan. Hal ini terjadi hanya pada komponen - komponen struktur pracetak bila diangkut ke lapangan dan dipasang pada tempatnya. Hal ini penting sekali untuk menjamin bahwa komponen-komponen struktur tersebut telah ditumpu dan diangkat dengan semestinya.

### **2.5.3 Tahap Akhir**

Ini adalah bila beban kerja yang sesungguhnya bekerja pada struktur. Seperti konstruksi-konstruksi lain, pendesain harus mempertimbangkan berbagai macam kombinasi beban hidup pada

setiap bagian yang berbeda dari struktur akibat beban-beban lateral seperti angin dan gaya-gaya gempa, dan dengan beban-beban regangan seperti yang dihasilkan oleh penurunan pada tumpuan dan pengaruh temperatur. Untuk struktur beton prategang, terutama untuk jenis-jenis yang tidak umum, seringkali perlu untuk menyelidiki retak-retak dan beban batasnya, perilakunya akibat beban yang bekerja tetap (*sustained load*) selain akibat beban kerja.

a. Beban yang Bekerja Tetap (*Sustained Load*)

Lendutan ke atas atau ke bawah dari komponen struktur prategang akibat beban tetap yang sesungguhnya (sering hanya terdiri dari beban mati) seringkali merupakan faktor penentu dalam desain, karena pengaruh dalam rangkap akibat lentur akan memperbesar nilainya. Sehingga seringkali dikehendaki untuk membatasi besar lendutan akibat beban tetap.

b. Beban Kerja

Untuk mendesain akibat beban kerja haruslah ada pemeriksaan terhadap tegangan dan regangan yang berlebihan. Tidak perlu ada suatu jaminan atas kekuatan yang cukup untuk memikul beban yang berlebihan.

c. Beban Retak

Retak pada komponen beton prategang berarti perubahan yang mendadak pada tegangan retak dan tegangan geser. Hal ini seringkali merupakan ukuran bagi kekuatan lelah.

d. Beban Batas

Struktur yang didesain berdasarkan tegangan kerja mungkin tidak terlalu mempunyai angka keamanan yang cukup untuk kelebihan beban. Karena disyaratkan bahwa sebuah struktur memiliki kapasitas minimum tertentu, maka perlu ditentukan kekuatan batasnya (*ultimate strength*). Secara umum kekuatan batas dari sebuah struktur didefinisikan sebagai beban maksimum yang dapat dipikul secara hancur.

## 2.6 Balok Prategang Parsial

Balok beton prategang parsial biasanya digunakan di gedung bertingkat yang memerlukan rentang panjang antar kolom dan secara fungsional atau estetis memerlukan balok dangkal. Balok-balok prategang parsial ini cocok untuk diterapkan dalam gedung bertingkat yang didominasi beban seismik daripada sistem balok prategang penuh yang biasanya digunakan untuk jembatan. Dalam penerapan sistem prategang penuh, tendon prategang dianggap bekerja penuh tanpa memperhitungkan kontribusi baja tulangan ringan dalam menahan beban. Dalam perhitungan analitis seperti itu, baja tulangan dianggap secara praktis disediakan sedemikian rupa sehingga desain struktur akan menjadi tidak ekonomis karena kontribusi baja tulangan dalam menahan beban lentur diabaikan. (Astawa, Tavio, dan Raka, 2015)

Balok beton prategang parsial adalah balok beton dengan kombinasi strand prategang dan tulangan biasa. Sifat lentur balok beton prategang parsial sangat tergantung pada besarnya *Partial Prestressing Ratio* (PPR). PPR adalah rasio momen batas akibat strand prategang terhadap momen batas total penampang. Apabila PPR terlalu kecil maka balok beton berperilaku seperti balok beton bertulang, yaitu kekuatan rendah tetapi bersifat daktil, sehingga menyebabkan retak permanen dan memungkinkan strand prategang berkarat. Sebaliknya bila PPR terlalu besar maka balok beton berperilaku seperti balok beton prategang penuh, yaitu kekuatan tinggi tetapi bersifat getas. Hasil penelitian menunjukkan bahwa pada batas PPR 40% - 70% balok mempunyai kekuatan yang tinggi tetapi masih bersifat daktil. (Artiningsih,2008).

## 2.7 Kehilangan Gaya Prategang

Kehilangan gaya prategang dapat menurunkan gaya prategang menjadi nilai yang lebih rendah, sehingga beban yang dipikul balok prategang menjadi lebih rendah pula. Selisih antara gaya prategang akhir dengan gaya prategang awal dinamakan kehilangan prategang.

Kehilangan prategang dapat terjadi secara langsung dan jangka panjang. Kehilangan prategang secara langsung adalah kehilangan yang terjadi segera setelah beton diberi gaya prategang. Kehilangan gaya prategang langsung disebabkan oleh :

a. Perpendekan elastis beton

Pada saat gaya prategang dialihkan ke beton, komponen struktur akan memendek dan baja prategang turut memendek bersamanya. Jadi ada kehilangan gaya prategang pada baja.(T.Y Lin,2000)

b. Kehilangan akibat friksi atau geseran sepanjang tendon, hal ini terjadi pada beton prategang dengan *system post-tension*.

Pada struktur beton prategang dengan tendon yang dipasang melengkung ada gesekan antara *system* penarik (*jacking*) dan angkur, sehingga tegangan yang ada pada tendon akan lebih kecil dari pada tegangan yang diberikan. Kehilangan akibat gesekan dipengaruhi oleh pergerakan dari selongsong (wobble) dan kelengkungan tendon.

c. Kehilangan akibat slip angkur

Kehilangan akibat slip terjadi pada saat kabel prategang dilepas dari mesin penarik, kemudian kabel ditahan oleh bajи dipengangkuran dan gaya prategang ditransfer dari mesin penarik ke angkur. Pada umumnya slip yang terjadi dipengangkuran berkisar 2.5 mm.(T.Y Lin, 2000)

Sedangkan kehilangan jangka panjang adalah kehilangan gaya prategang yang dipengaruhi oleh faktor waktu. kehilangan prategang jangka panjang disebabkan oleh :

a. Kehilangan gaya prategang akibat rangkak

Kehilangan gaya prategang yang diakibatkan oleh rangkak dari beton merupakan salah satu kehilangan gaya prategang tergantung pada waktu yang diakibatkan oleh proses penuaan dari beton selama pemakaian. Rangkak pada beton prategang dapat terjadi pada 2 kondisi yaitu kondisi bonded tendon dan unbounded tendon. (T.Y Lin,2000)

b. Kehilangan gaya prategang akibat susut.

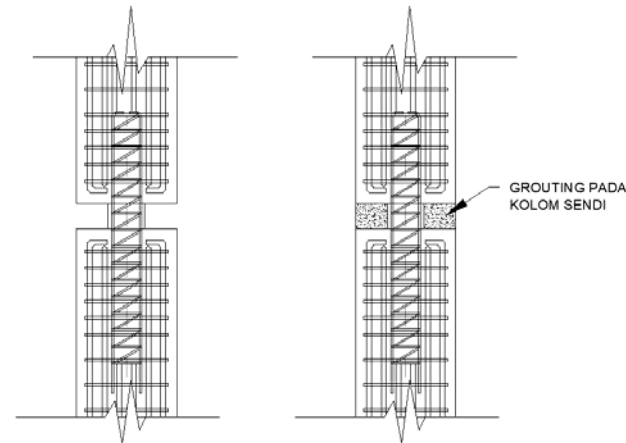
Penyusutan beton dipengaruhi oleh rasio antara volume beton dan luas permukaan beton, dan juga kelembapan relative waktu antara pengecoran dan pemberian gaya prategang. (T.Y Lin,2000)

- c. Kehilangan gaya prategang akibat relaksasi baja prategang  
Relaksasi baja prategang terjadi pada baja dengan perpanjangan tetap dalam suatu periode yang mengalami kekurangan gaya prategang (T.Y Lin,2000).

Selain itu pengurangan gaya prategang yang terjadi cukup besar akibat adanya kekangan dari kolom (portal). Semakin besar kekakuan kolom semakin besar juga reduksi gaya prategangnya (Triwiyono, 1998).

## 2.8 Sistem Sendi

Sebagai upaya mengeliminasi tahanan terhadap gerakan horizontal, maka dasar kolom dapat didesain dengan sendi, sehingga kekakuan lentur relative kolom tidak akan mempengaruhi efektifitas *post tension*. Desain sendi sementara (*temporary hinge*) dapat dilihat pada gambar 2.8 Sendi bagian bawah kolom, seperti yang ditunjukkan gambar 2.8.(a), akan secara praktis mengeliminasi tahanan terhadap gerakan dalam kolom. Kalau sebuah sendi tidak diinginkan, kelanjutan dapat dibangun kembali seperti gambar 2.8.(b), setelah rangkap telah terjadi, katakan saja setelah 6 bulan. Penambahan bahan *grouting* ke dalam dasar kolom akan merubah sifatnya menjadi jepit. (Fintel dan Ghosh, 1978)



Gambar 2. 8 Sendi Sementara dan Bentuk Sendi yang di-  
*Grouting* (Jepit)

Dalam pembuatan sendi tersebut harus mempertimbangkan kemampuannya dalam menahan beban searah gravitasi, sehingga dalam tahap pelaksanaan sejak dasar kolom berupa sendi sampai dirubah menjadi jepit mampu menahan beban konstruksi yang terjadi. Pembuatannya menggunakan system penulangan spiral dimana spiral berguna didalam meningkatkan daktilitas atau toughness suatu komponen struktur sehingga biasanya wajib digunakan di daerah-daerah dengan resiko gempa bumi yang tinggi. (Nawy, 2000)

## 2.9 Sistem Ganda

Sistem Ganda atau *Dual System* adalah salah satu sistem struktur yang beban gravitasinya dipikul sepenuhnya oleh *Space Frame* (Rangka), sedangkan beban lateralnya dipikul bersama oleh *Space Frame* dan *Shear Wall* (Dinding Geser/Dinding Struktur). Menurut SNI 03-1726-2019 pasal 7.2.5.1 menyebutkan bahwa, untuk Sistem Ganda, rangka pemikul momen harus mampu menahan paling sedikit 25% gaya gempa desain. Tahanan gaya

gempa total harus disediakan oleh kombinasi rangka pemikul momen dan dinding geser atau rangka bresing dengan distribusi yang proporsional terhadap kekakuannya. Karena *Shear Wall* dan *Space Frame* dalam *Dual System* merupakan satu kesatuan struktur maka diharapkan keduanya dapat mengalami defleksi lateral yang sama atau setidaknya *Space Frame* mampu mengikuti defleksi lateral yang terjadi. *Shear Wall* sendiri artinya adalah Dinding Geser yang terbuat dari beton bertulang dimana tulangan-tulangan tersebut yang akan menerima gaya lateral akibat gempa sebesar beban yang telah direncanakan. Penggunaan sistem struktur *Dual System* sendiri sangat cocok dalam pembangunan struktur gedung di wilayah gempa kuat (Tavio & Kusuma, 2009). Sistem Ganda pada dasarnya terdiri dari :

1. Rangka ruang memikul seluruh beban gravitasi.
2. Pemikul beban lateral berupa dinding geser atau rangka bresing (*bracing*) dengan rangka pemikul momen. Rangka pemikul momen harus direncanakan secara terpisah mampu memikul sekurang-kurangnya 25 persen dari seluruh beban lateral, sedangkan sisanya akan dipikul oleh dinding geser.
3. Kedua sistem harus direncanakan untuk memikul bersama-sama seluruh beban lateral dengan memperhatikan interaksi antara sistem rangka pemikul momen dengan dinding geser. Untuk daerah dengan resiko gempa tinggi menggunakan Sistem Ganda, rangka utama dan dinding struktur harus didesain sebagai Struktur Rangka Pemikul Momen Khusus (SRPMK) dan Dinding Struktur Beton Khusus (DSBK) (Purwono, 2005).

## 2.10 Perencanaan Basemen

Pada sistem ini, struktur basemen dilakukan setelah seluruh pekerjaan galian telah mencapai galian elevasi rencana (sistem konvensional). Pelat basemen paling bawah dicor terlebih dahulu sehingga menjadi raft foundation dengan menggunakan

metode papan catur, kemudian basemen diselesaikan dari bawah ke atas, dengan menggunakan scaffolding. Kolom, balok dan slab dicor di tempat (cast in place). Pada sistem ini galian tanah dapat berupa open cut dan struktur dinding penahan tanahnya bisa sementara maupun permanen dengan perkuatan ground anchor (Kajewski, 1994).

Kekurangan metode konstruksi bottom-up ini diantaranya adalah (Ho Steven, 2014):

- a. Transportasi vertikal membutuhkan lahan yang luasnya sebanding dengan kedalamannya.
- b. Pelaksanaan dewatering perlu lebih intensif.
- c. Penggunaan konstruksi sementara sangat banyak.
- d. Hampir dapat dipastikan diperlukan ground anchor.
- e. Waste material tiang pancang pada saat penggalian.
- f. Tidak memungkinkan pelaksanaan dengan super struktural secara efisien.

Sedangkan kelebihan metode konstruksi bottom-up ini diantaranya sebagai berikut (Ho Steven, 2014):

- a. Sumber daya manusia yang terlatih sudah banyak memadai.
- b. Peralatan yang digunakan adalah peralatan yang umum digunakan misalnya: *backhoe*, *shovel loader* dan lainnya, tidak diperlukan peralatan khusus.
- c. Tidak memerlukan teknologi yang tinggi.
- d. Teknik pengendalian pelaksanaan konstruksi sudah dikuasai karena sudah banyak proyek bangunan basemen yang sudah dikerjakan sehingga pengalaman dan contoh cukup mendukung (*project documentation*).

## 2.11 Perencanaan Pondasi

Pondasi merupakan salah satu bagian struktural pada bangunan. Pondasi berfungsi untuk menahan beban-beban yang disalurkan oleh kolom dan menjaga agar bangunan tetap berdiri tegak. Tiang pancang dikategorikan sebagai displacement pile di mana di dalam pelaksanaannya, tiang mendesak tanah di sekitarnya

sehingga daya dukung pondasi sangat dipengaruhi oleh tegangan lateral yang bekerja di sekeliling tiang termasuk bagian ujung pondasi. Tiang pancang beton memiliki berbagai macam variasi pembuatan. Salah satu cara pembuatan tiang pancang beton adalah dengan cara diputar. Tiang pancang seperti ini disebut dengan spun pile. Spun pile sendiri memiliki kekuatan yang cukup tinggi. Di Indonesia, sebagian besar spun pile yang ada di pasaran memiliki kekuatan K600. Kualitas dari spun pile cukup tinggi karena quality control yang baik. Spun pile dibuat di pabrik sehingga material-material penyusun spun pile juga dapat dijaga kualitasnya. Pemancangan spun pile juga sangat fleksibel. Spun pile dapat dimasukkan ke dalam tanah dengan berbagai cara. (Widjaja, 2006).

## BAB III

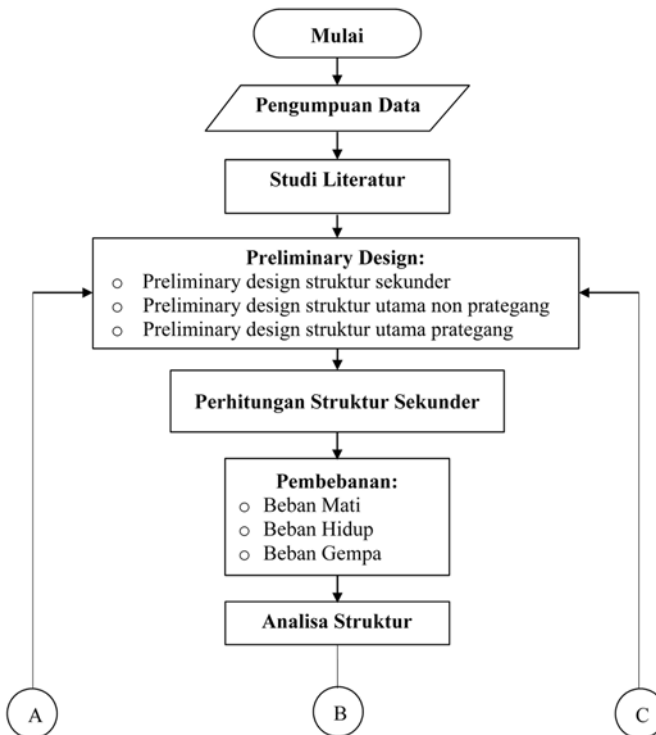
# METODOLOGI

### 3.1 Umum

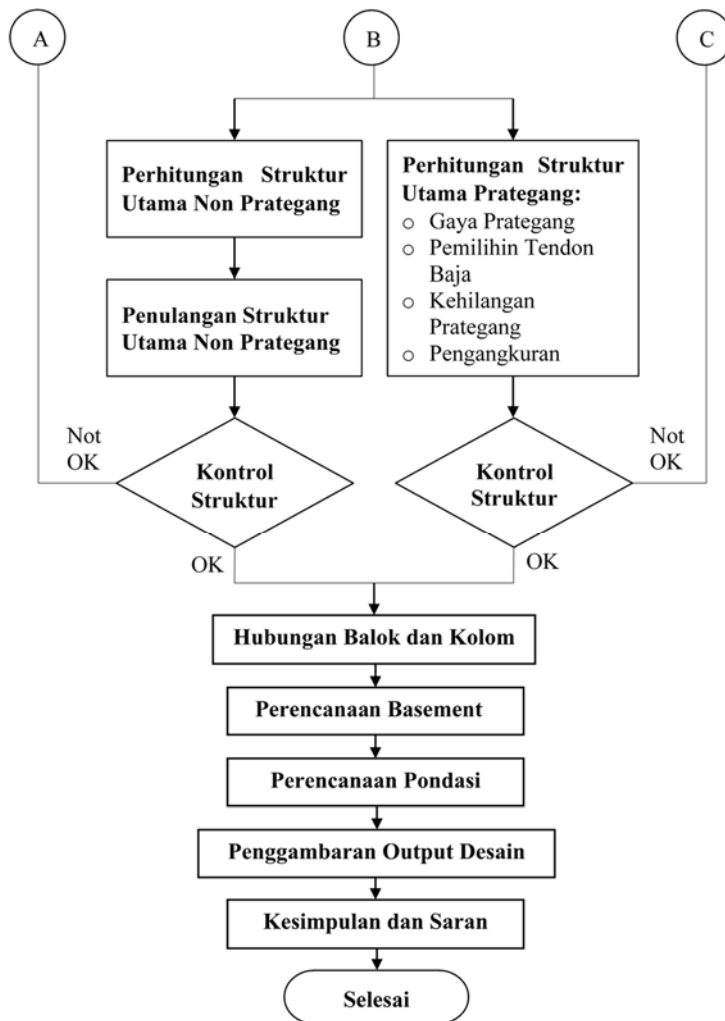
Sebelum mengerjakan Tugas Akhir, maka perlu disusun langkah – langkah pelaksanaannya dimulai dari pengumpulan data, pedoman perancangan, dan sampai tujuan akhir dari analisa struktur yang akan disajikan.

### 3.2 Diagram Alir Penyusunan Tugas Akhir

Urutan penyusunan Tugas Akhir ini adalah sebagai berikut :



Gambar 3. 1 Diagram Alir Penyusunan Tugas Akhir



Gambar 3. 2 Lanjutan Diagram Alir Penyusunan Tugas Akhir

### 3.3 Pengumpulan Data

1. Data Umum
  - o Nama gedung : Gedung Fakultas Kedokteran Universitas Udayana
  - o Lokasi : Jalan P.B Sudirman, Denpasar, Bali
  - o Fungsi : Gedung Kampus
  - o Jumlah lantai : 4
  - o Tinggi bangunan : ± 14,40 m
  - o Tinggi tiap lantai Lantai 1-4 : 3,6 m
  - o Total luas area : ± 1281 m<sup>2</sup>
  - o Struktur utama : Struktur beton bertulang
  
2. Data Bahan:
  - o Kekuatan tekan beton (fc') : 35 MPa
  - o Tegangan leleh baja (fy) : 400 MPa
  - o Data Tanah : (Lampiran)
  
3. Data Gambar
  - o Gambar Struktur : (Lampiran)
  - o Gambar arsitektur : (Lampiran)

Bangunan gedung tersebut akan dimodifikasi menggunakan metode beton prategang dan data bangunan yang direncanakan sebagai berikut:

1. Data Umum Bangunan
  - o Nama gedung : Gedung Fakultas Kedokteran Universitas Udayana
  - o Lokasi : Jalan P.B Sudirman, Denpasar, Bali
  - o Fungsi : Gedung Kampus
  - o Jumlah lantai : 14 + 1 basemen
  - o Tinggi bangunan : ± 56,2 m

- Tinggi tiap lantai :
    - Basemen : 4 m
    - Lantai 1 : 4 m
    - Lantai 2-13 : 3,6 m
    - Lantai 14 : 5 m
  - Total luas area :  $\pm 1281 \text{ m}^2$
  - Struktur utama : Struktur beton bertulang
  - Struktur atap : Struktur beton prategang
2. Data Bahan:
- Kekuatan tekan beton ( $f'_c$ ) : 40 MPa dan 45 MPa
  - Tegangan leleh baja ( $f_y$ ) : 400 MPa
  - Data Tanah : (Lampiran)
3. Data Gambar:
- Gambar Struktur : (Lampiran)
  - Gambar arsitektur : (Lampiran)

### 3.4 Studi Literatur

Studi literatur menggunakan beberapa buku pustaka atau peraturan mengenai perancangan beton prategang dan struktur gedung secara umum yang dapat membantu dalam penggerjaan tugas akhir ini, diantaranya:

1. SNI 2847:2019 Tata Cara Perhitungan Struktur Beton untuk Bangunan Gedung.
2. SNI 1726:2019 Struktur Gedung Tahan Gempa.
3. SNI 1727:2013 Beban minimum untuk perancangan bangunan gedung dan struktur lain
4. ACI 2008 (*American Concrete Institute*) khusus untuk pendetailan beton prategang.
5. Beton Prategang edisi ketiga (Lin, 1996).

### 3.5 Perencanaan Struktur Sekunder

Perencanaan struktur sekunder dipisah dari struktur utama karena struktur sekunder hanya meneruskan beban yang ada ke struktur utama. Perencanaan struktur sekunder antara lain meliputi:

#### 3.5.1 Perencanaan Pelat

##### 1. Perencanaan Dimensi Pelat

###### a. Pelat Satu arah

- o Ketebalan pelat solid minimum untuk momen satu arah non prategang ditentukan sebagai berdasar tabel 7.3.1.1 pada SNI 2847:2019

Tabel 3. 1 Tebal minimum pelat solid satu arah

Kondisi perlekatan	minimum $h$
Perlekatan sederhana	$l/20$
Menerus satu sisi	$l/24$
Menerus dua sisi	$l/28$
Kantilever	$l/10$

Apabila kuat tarik leleh  $f_y$  lebih dari 420 MPa, persamaan dari tabel diatas harus dikalikan dengan  $(0,4 + f_y / 700)$

- o Berdasar pasal 7.3.3.1 pada SNI 2847:2019, batas regangan tulangan pada pelat non prategang,  $\epsilon_t$  sekurang-kurangnya 0,004

###### b. Pelat Dua arah

Dimensi tebal minimum pelat dengan balok yang membentang di antara tumpuan pada semua sisinya harus memenuhi syarat SNI 2847:2019 pasal 8.3.1.2, antara lain:

- 1) Untuk  $\alpha_{fm}$  sama atau lebih kecil dari 0,2 menggunakan Tabel 3.2

Tabel 3. 2 Tebal minimum pelat dua arah nonprategang  
SNI 2847:2019

fy, MPa	Tanpa drop panel			Dengan drop panel		
	Panel eksterior		Panel Interior	Panel eksterior		Panel Interior
	Tanpa balok tepi	Dengan balok tepi		Tanpa balok tepi	Dengan balok tepi	
280	ln/33	ln/36	ln/36	ln/36	ln/40	ln/40
420	ln/30	ln/33	ln/33	ln/33	ln/36	ln/36
520	ln/28	ln/31	ln/31	ln/31	ln/34	ln/34

ln adalah jarak bersih ke arah memanjang, diukur dari muka ke muka tumpuan ( mm )

- 2) Untuk  $\alpha_{fm}$  lebih besar dari 0,2 tapi tidak lebih dari 2,0, ketebalan pelat minimum harus memenuhi:

$$h = \frac{\ln(0.8 + \frac{f_y}{1400})}{36 + 5\beta(\alpha_{fm} - 0.2)} \quad (3.1)$$

(SNI 2847-2019)

dan tidak boleh kurang dari 125 mm.

- 3) Untuk  $\alpha_{fm}$  lebih besar dari 2, ketebalan pelat minimum tidak boleh kurang dari:

$$h = \frac{\ln(0.8 + \frac{f_y}{1400})}{36 + 9\beta} \quad (3.2)$$

(SNI 2847:2019)

dan tidak boleh kurang dari 90 mm.

### 3.5.2 Perencanaan Dimensi Tangga

Persyaratan dalam perencanaan dimensi tangga adalah sebagai berikut:

$$60 \leq (2t + i) \leq 65 \quad (3.4)$$

$$25^\circ \leq \alpha \leq 40^\circ \quad (3.5)$$

dimana:

t = tinggi tanjakan

i = lebar injakan

Untuk penulangan tangga, perhitungan penulangan bordes dan pelat dasar tangga dilakukan sama dengan perencanaan tulangan pelat dengan anggapan tumpuan sederhana (sendi dan rol).

### 3.5.3 Perencanaan Balok Lift

Metode perhitungan yang dilakukan dalam perencanaan balok lift merupakan analisis terhadap konstruksi ruang tempat lift dan katrol lift balok penggantung. Ruang landasan diberi kelonggaran (*lift pit*) supaya pada saat lift mencapai lantai paling bawah, lift tidak menumbuk dasar landasan. Selain itu, *lift pit* ini mencakup perencanaan balok penumpu depan, penumpu belakang, dan balok penggantung lift. Asumsi pembebanan balok lift mengacu pada brosur.

### 3.5.4 Perencanaan Balok Anak

#### 1. Perencanaan dimensi balok anak

Perencanaan balok anak mengikuti peraturan SNI 2847:2019 pasal 9.3.1.1

##### a. Perencanaan Tinggi Balok Anak

Perencanaan tinggi balok menggunakan **Tabel 3.3**

Tabel 3. 3 Tinggi Minimum Balok Non-Prategang bila Lendutan Tidak Dihitung

Kondisi perlekatan	Minimum $h$
Perlekatan sederhana	$l/16$
Menerus satu sisi	$l/18,5$
Menerus dua sisi	$l/21$
Kantilever	$l/8$

(SNI 2847:2019 Tabel 9.3.1.1)

### b. Perencanaan Lebar Balok Anak

$$b = \frac{2}{3} \times h \quad (3.6)$$

### 2. Penulangan Balok Anak

Cara perhitungan penulangan balok anak sama dengan penulangan balok induk.

### 3.6 Preliminary Design

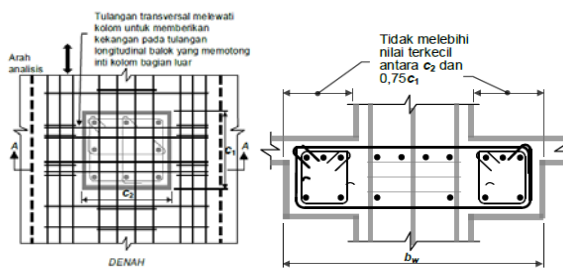
*Preliminary* desain ini dilakukan dengan memperkirakan dimensi awal dari struktur sesuai dengan ketentuan SNI 2847:2019, yang berupa:

#### 3.6.1 Preliminary Desain Struktur Beton Bertulang

##### 1. Perencanaan Dimensi Balok Induk

Menurut SNI 2847:2019 pada pasal 18.6.2 balok harus memenuhi persyaratan berikut.

- Bentang bersih  $l_h$  harus minimal  $4d$
- Lebar penampang  $b_w$ , harus sekurangnya nilai terkecil dari  $0,3h$  dan  $250$  mm
- Proyeksi lebar balok yang melampaui lebar kolom penumpu tidak boleh melebihi nilai terkecil dari  $c_2$  dan  $0,75c_1$  pada masing-masing sisi kolom.



Gambar 3. 3 Lebar Efektif Maksimum SNI 2847:2019

Perencanaan balok mengikuti peraturan SNI 2847:2019 pasal 9.3.1.1. Perencanaan tinggi balok mengikuti Tabel 3.3 dan perencanaan lebar balok mengikuti persamaan 3.6.

## 2. Perencanaan Dimensi Kolom

Perencanaan kolom awalnya harus menentukan beban yang akan membebani kolom tersebut, kemudian kalikan dengan faktor beban, lalu dapat dicari luasan dari kolom tersebut sesuai dengan rumus:

$$A = \frac{W}{\phi \times f'c} \quad (3.7)$$

(SNI 2847:2019 pasal 10.5.1)

dimana:

A = Luas kolom rencana

W = Beban total terfaktor

$f'c$  = Mutu beton (MPa)

$\phi$  = 0,5 (faktor reduksi)

### 3.6.2 Preliminary Desain Struktur Beton Prategang

Menentukan dimensi awal balok prategang yang akan digunakan sesuai dengan SNI 2847:2019. Penampang awal beton prategang didesain berdasarkan ketentuan sesuai SNI 2847:2019 pasal 22.2. Selain itu juga dapat didesain dengan asumsi yang sesuai dengan ketentuan tinggi dimensi balok pada Tabel 3.3.

## 3.7 Pembebanan

Penggunaan beban yang ada mengikuti peraturan yang ada di SNI 1727:2013 dan kombinasi pembebanan menggunakan SNI 1727:2013 Pasal 2.3.2 antara lain:

### 3.7.1 Beban Mati

Beban mati adalah berat seluruh bahan konstruksi bangunan gedung yang terpasang, termasuk dinding, lantai, atap, plafon, tangga, dinding partisi tetap, finishing, kulit bangunan gedung dan komponen arsitektural dan struktural lainnya serta peralatan layan terpasang lain termasuk berat keran. (SNI 1727:2013 Pasal 3.1.1)

### 3.7.2 Beban Hidup

Beban yang diakibatkan oleh pengguna dan penghuni bangunan gedung atau struktur lain yang tidak termasuk beban konstruksi dan beban lingkungan, seperti beban angin, beban

hujan, beban gempa, beban banjir, atau beban mati. (SNI 1727:2013 Pasal 4.1)

### **3.7.3 Beban Gempa**

Menurut SNI 1726:2019, terdapat 2 metode analisa gempa dinamik, yaitu analisis respon spectrum dan analisis respon dinamik riwayat gempa (time history). Pada Tugas Akhir ini digunakan analisis gempa dengan menggunakan respon spectrum. Berikut merupakan tahapan perhitungan analisa respon spectrum untuk mendapatkan nilai gaya gempa lateral yang timbul di semua tingkat.

#### **1. Menentukan Kelas Situs**

SNI 1726:2019 pasal 5.3 mengatur tata cara untuk menentukan klasifikasi situs. Salah satu cara yang dapat dilakukan yaitu dengan menentukan nilai N berdasarkan data hasil SPT. Adapun definisi parameter kelas situs yang menggunakan data SPT dapat dilihat pada SNI 1726:2019 pasal 5.4.2 persamaan (2).

Tabel 3. 4 Klasifikasi Situs

Kelas situs	$\bar{v}_s$ (m/detik)	$\bar{N}$ atau $\bar{N}_{ch}$	$\bar{s}_u$ (kPa)
SA (batuan keras)	>1500	N/A	N/A
SB (batuan)	750 s/d 1500	N/A	N/A
SC (tanah keras, sangat padat dan batuan lunak)	350 s/d 750	>50	$\geq 100$
SD (tanah sedang)	175 s/d 350	15 sampai 50	50 sampai 100
	<175	<15	<50
SE (tanah lunak)	Atau setiap profil tanah yang mengandung lebih dari 3 m tanah dengan karakteristik sebagai berikut : <ol style="list-style-type: none"> <li>Indeks plastisitas, PI &gt; 20</li> <li>Kadar air, w <math>\geq</math> 40%</li> <li>Kuat geser niralir <math>\bar{s}_u &lt; 25</math> kPa</li> </ol>		
SF (tanah khusus, yang membutuhkan investigasi geoteknik spesifik dan analisis respons spesifik-situs yang mengikuti 6.10.1)	Setiap profil lapisan tanah yang memiliki salah satu atau lebih dari karakteristik berikut: <ul style="list-style-type: none"> <li>- Rawan dan berpotensi gagal atau runtuh akibat beban gempa seperti mudah likuifikasi, lempung sangat sensitif, tanah tersementasi lemah</li> <li>- Lempung sangat organik dan/atau gambut (ketebalan H &gt; 3m)</li> <li>- Lempung berplastisitas sangat tinggi (ketebalan H &gt; 7,5 m dengan Indeks Plastisitas PI&gt;75 )</li> <li>- Lapisan lempung lunak/setengah teguh dengan ketebalan H &gt; 35 m dengan <math>\bar{s}_u &lt; 50</math> kPa</li> </ul>		

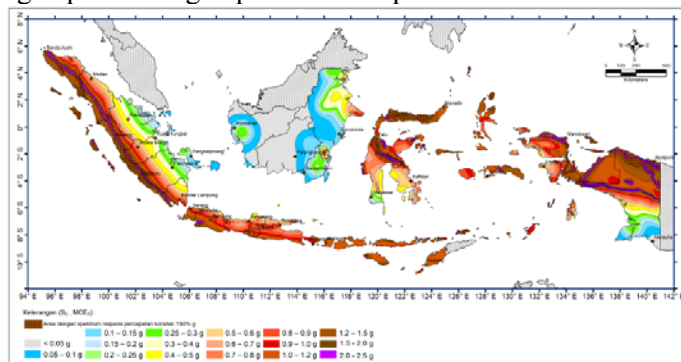
(Tabel 5 SNI 1726:2019)

## 2. Menentukan Kategori Risiko Bangunan dan Faktor Keutamaan Gempa

Sesuai Tabel 1 SNI 1726-2019, untuk berbagai resiko struktur bangunan gedung dan non gedung, pengaruh gempa rencana terhadapnya harus dikalikan dengan suatu faktor keutamaan  $I_e$  menurut Tabel 2 SNI 1726-2019. Faktor keutamaan gempa bergantung pada kategori resiko bangunan mengikuti Tabel 3.7 dan Tabel 3.8.

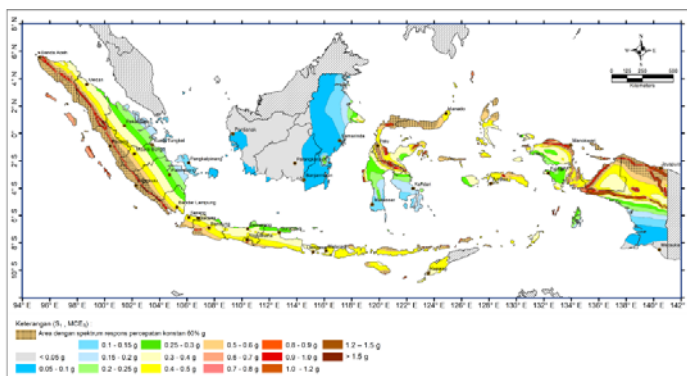
## 3. Menentukan Nilai $S_s$ dan $S_1$

$S_s$  adalah parameter percepatan respons spektral MCE dari peta gempa pada periode pendek, redaman 5 persen (SNI 1726:2019). Nilai  $S_s$  diperoleh dari letak bangunan sesuai dengan peta zona gempa Indonesia pada Gambar 3.4.



Gambar 3. 4 Gempa maksimum yang dipertimbangkan risiko tertarget (MCER)  
(SNI 1726-2019, Gambar 15)

$S_1$  adalah parameter percepatan respons spektral MCE dari peta gempa pada periode 1 detik, redaman 5 persen (SNI 1726:2019). Nilai  $S_1$  diperoleh dari letak bangunan sesuai dengan peta zona gempa Indonesia pada Gambar 3.5.



Gambar 3. 5 Gempa maksimum yang dipertimbangkan risiko tertarget (MCER)  
(SNI 1726-2019, Gambar 16)

#### 4. Menentukan Faktor Amplifikasi Getaran

Untuk menentukan respons spektral percepatan gempa MCER di permukaan tanah, diperlukan faktor amplifikasi sesmik pada periode 0,2 detik dan periода 1 detik. Faktor amplifikasi meliputi faktor amplifikasi getaran terkait percepatan pada getaran perioda pendek ( $F_a$ ) dan faktor amplifikasi getaran terkait percepatan pada getaran perioda 1 detik ( $F_v$ ). Faktor amplifikasi getaran terkait percepatan pada getaran perioda pendek ( $F_a$ ) bergantung pada nilai situs terdahulu dan nilai  $S_s$ , sementara faktor amplifikasi getaran terkait percepatan pada getaran perioda 1 detik ( $F_v$ ) bergantung pada kelas situs terdahulu dan nilai  $S_1$ . Nilai  $F_a$  dan  $F_v$  ditentukan oleh Tabel 3.4 dan Tabel 3.5.

Tabel 3. 5 Koefisien situs, Fa

<b>Kelas Situs</b>	<b>Parameter respon spektral percepatan gempa (MCE<sub>R</sub>) terpetakan pada periode pendek, T = 0,2 detik, S<sub>s</sub></b>				
	S <sub>s</sub> ≤ 0,25	S <sub>s</sub> = 0,5	S <sub>s</sub> = 0,75	S <sub>s</sub> = 1,0	S <sub>s</sub> ≥ 1,25
SA	0,8	0,8	0,8	0,8	0,8
SB	1,0	1,0	1,0	1,0	1,0
SC	1,2	1,2	1,1	1,0	1,0
SD	1,6	1,4	1,2	1,1	1,0
SE	2,5	1,7	1,2	0,9	0,9
SF	SS <sup>b</sup>				

(SNI 1726-2019, Tabel 6)

Tabel 3. 6 Koefisien situs, Fv

<b>Kelas situs</b>	<b>Parameter respons spektral percepatan gempa (MCE<sub>R</sub>) terpetakan pada periode pendek, T=1 detik, S<sub>s</sub></b>				
	S <sub>1</sub> ≤ 0,1	S <sub>1</sub> = 0,2	S <sub>1</sub> = 0,3	S <sub>1</sub> = 0,4	S <sub>1</sub> ≥ 0,5
SA	0,8	0,8	0,8	0,8	0,8
SB	1,0	1,0	1,0	1,0	1,0
SC	1,7	1,6	1,5	1,4	1,3
SD	2,4	2	1,8	1,6	1,5
SE	3,5	3,2	2,8	2,4	2,4
SF	SS <sup>a</sup>				

(SNI 1726-2019, Tabel 7)

Catatan:

- Untuk nilai-nilai antara S<sub>s</sub> dapat dilakukan interpolasi linier
- SS = situs yang memerlukan investigasi geoteknik spesifik dan analisis respons situs spesifik

## 5. Menentukan $S_{MS}$ dan $S_{M1}$

Parameter spektrum respons percepatan pada perioda pendek ( $S_{MS}$ ) dan perioda 1 detik ( $S_{M1}$ ) yang disesuaikan dengan pengaruh klasifikasi situs, harus ditentukan dari persamaan berikut:

$$S_{MS} = F_a S_S \quad (3.8)$$

$$S_{M1} = F_v S_1 \quad (3.9)$$

## 6. Menghitung Nilai $S_{D1}$ dan $S_{DS}$

Parameter percepatan spektral desain untuk perioda pendek,  $S_{DS}$  dan pada perioda 1 detik,  $S_{D1}$  harus ditentukan melalui persamaan berikut: (SNI 1726:2019 pasal 6.3)

$$S_{DS} = \frac{2}{3} S_{MS} \quad (3.10)$$

$$S_{D1} = \frac{2}{3} S_{M1} \quad (3.11)$$

## 7. Menentukan Kategori Desain Seismik ( $K_{DS}$ )

Dari nilai  $S_{DS}$ ,  $S_{D1}$  dan kategori resiko gedung akan didapatkan dua kategori desain seismik. Nilai yang diambil adalah yang paling besar dari kedua  $K_{DS}$  tersebut. Nilai tersebut didapatkan harus dari nilai dalam Tabel 3.7 dan Tabel 3.8.

Tabel 3. 7 Kategori Desain Seismik berdasarkan Parameter Respons Percepatan Periode Pendek,  $S_{DS}$

Nilai $S_{DS}$	Kategori Risiko	
	I atau II atau III	IV
$S_{DS} < 0,167$	A	A
$0,167 \leq S_{DS} < 0,33$	B	C
$0,33 \leq S_{DS} < 0,5$	C	D
$0,5 \leq S_{DS}$	D	D

(SNI 1726-2019, Tabel 8)

Tabel 3. 8 Kategori Desain Seismik berdasarkan Parameter Respons Percepatan Perioda 1 detik,  $S_{DI}$

Nilai $S_{DI}$	Kategori Risiko	
	I atau II atau III	IV
$S_{DI} < 0.167$	A	A
$0.067 \leq S_{DI} < 0.133$	B	C
$0.133 \leq S_{DI} < 0.20$	C	D
$0.20 \leq S_{DI}$	D	D

(SNI 1726-2019, Tabel 9)

## 8. Menentukan Sistem Struktur dan Parameter Struktur

Sistem rangka pemikul momen (SRPM) adalah sistem rangka ruang dimana komponen-komponen struktur balok, kolom, dan sambungan menahan gaya-gaya yang bekerja melalui aksi letur, geser, dan aksial. SRPM dapat dikelompokkan sebagai berikut:

- a. Sistem Rangka Pemikul Momen Biasa (SRPMB); Suatu sistem rangka yang memenuhi ketentuan-ketentuan SNI beton pasal 1-20 dan 22, serta Pasal 21.1.2 dan 21.2. Sistem rangka ini pada dasarnya memiliki tingkat duktilitas terbatas dan hanya cocok digunakan untuk bangunan yang dikenakan maksimal KDS B
- b. Sistem Rangka Pemikul Momen Menengah (SRPMM); Suatu sistem rangka yang selain memenuhi ketentuan-ketentuan untuk rangka pemikul momen biasa juga memenuhi ketentuan *detailing* pasal 21.1.2 dan 21.1.8 serta 21.3. Sistem ini pada dasarnya memiliki tingkat duktilitas sedang dan dapat digunakan untuk bangunan yang dikenakan maksimum KDS C.
- c. Sistem Rangka Pemikul Momen Khusus (SRPMK); Suatu sistem rangka yang selain memenuhi ketentuan-ketentuan untuk rangka pemikul momen biasa juga

memenuhi ketentuan-ketentuan Pasal 21.1.2 hingga 21.1.8, Pasal 21.5 hingga 21.8, serta Pasal 21.11 hingga 21.13. Sistem ini memiliki tingkat daktilitas penuh dan harus digunakan untuk bangunan yang dikenakan KDS D, E atau F.

Sistem struktur yang dipilih harus sesuai dengan batasan dan memperhatikan koefisien dalam jenis sistem struktur sesuai dengan SNI 1726-2019 Pasal 7.2.2.

## 9. Menghitung Koefisien Respon Seismik

Koefisien respons seismik,  $C_s$  harus ditentukan sesuai dengan ketentuan yang ditetapkan pada SNI 1726:2019 Pasal 7.8.1.1:

$$C_s = \frac{S_{DS}}{\left(\frac{R}{I_e}\right)} \quad (3.12)$$

dimana:

$S_{DS}$  = parameter percepatan spekturm respons desain dalam rentang perioda pendek

$R$  = faktor modifikasi respons yang ditentukan oleh sistem penahan gempa yang dipilih

$I_e$  = faktor keutamaan gempa yang ditentukan kategori risiko

Nilai  $C_s$  yang dihitung  $\leq$  dari :

$$C_s = \frac{S_{D1}}{T \left( \frac{R}{I_e} \right)} \quad (3.13)$$

dan  $C_s \geq$  dari :

$$C_s = 0,044 \cdot S_{DS} \cdot I_e > 0,01 \quad (3.14)$$

Untuk struktur yang berlokasi di daerah di mana  $S_1$  sama dengan atau lebih besar dari 0,6g, maka  $C_s$  harus tidak kurang dari :

$$C_s = \frac{0.5 S_1}{\left(\frac{R}{T_e}\right)} \quad (3.15)$$

dimana :

$S_{D1}$  = parameter percepatan spektrum respons desain pada perioda 1,0 detik

$T_e$  = perioda fundamental struktur (detik)

$S_1$  = parameter percepatan spektrum respons maksimum

## 10. Menghitung Berat Seismik Efektif

Berat seismik efektif struktur, harus menyertakan seluruh beban mati dan beban lainnya, yaitu:

- Daerah yang digunakan untuk penyimpanan: minimum sebesar 25 % beban hidup lantai (beban lantai di garasi public dan struktur parkiran terbuka, serta beban, serta beban penyimpanan yang tidak melebihi 5 persen dari berat seismic efektif pada suatu lantai tidak perlu disertakan);
- Jika ketentuan untuk partisi diisyaratkan dalam desain beban lantai, diambil yang terbesar di antara berat partisi aktual atau berat daerah lantai minimum sebesar  $0.46 \text{ kN/m}^2$ ;
- Berat operasional total dari peralatan yang permanen;
- Berat lanskap dan beban lainnya pada taman atap dan luasan sejenis lainnya

## 11. Menghitung Distribusi Gaya Vertikal

Gaya gempa lateral ( $F_x$ ), dalam ( $\text{kN}$ ), yang timbul di semua tingkat harus ditentukan dari persamaan:

$$F_x = C_{vx} \cdot V \quad (3.16)$$

dan

$$C_{vx} = \frac{w_x h_x^k}{\sum_{i=1}^n w_i h_i^k} \quad (3.17)$$

dimana:

$C_{vx}$  = faktor distribusi vertikal

- $V$  = gaya lateral desain total atau geser di dasar struktur (kN)  
 $w_i$  dan  $w_x$  = bagian berat seismik efektif total struktur pada tingkat i atau x (kN)  
 $h_i$  dan  $h_x$  = tinggi dari dasar sampai tingkat i atau x, dalam meter (m)  
 $k$  = eksponen yang terkait dengan periода struktur berikut ini: struktur dengan periода 0,5 atau kurang,  $k=1$  struktur dengan perioda 2,5 atau lebih,  $k=2$  struktur dengan perioda 0,5 -2,5  
 $k=2$ , atau interpolasi linear antara 1 dan 2.

### 3.7.4 Kombinasi

Beban-beban yang dibebankan kepada struktur tersebut dibebankan kepada komponen struktur menggunakan kombinasi beban berdasarkan SNI 2847:2019 Pasal 9.2.1 sehingga:

- a.  $U = 1,4 D$
- b.  $U = 1,2 D + 1,6 L$
- c.  $U = 1,2 D + 1,0 L \pm 1,0 E$
- d.  $U = 1,0 D + 1,0 L$
- e.  $U = 0,9 D \pm 1,0 E$

dimana:

- $U$  = beban ultimate
- $D$  = beban mati
- $L$  = beban hidup
- $E$  = beban gempa

### 3.8 Analisa Struktur

Analisa struktur utama menggunakan program bantu untuk mendapatkan reaksi-reaksi dan gaya dalam yang terdapat pada struktur. Model harus memenuhi beberapa kriteria dibawah agar

gaya gempa yang terjadi pada model dapat digunakan untuk perhitungan perencanaan.

### 3.8.1 Kontrol Permodelan Struktur

Kontrol permodelan struktur dilakukan setelah memperoleh analisa dari program bantu, hal ini dilakukan agar mengetahui desain yang dilakukan telah memenuhi syarat keamanan dan sesuai dengan standar yang terdapat pada peraturan. Kontrol permodelan struktur yang dilakukan sebagai berikut:

1. Kontrol Partisipasi Massa (SNI 1726:2019 pasal 7.9.1)

Analisis harus dilakukan untuk menentukan ragam getar alami untuk struktur. Analisis harus menyertakan jumlah ragam yang cukup untuk mendapatkan partisipasi massa ragam terkombinasi sebesar paling sedikit 90% dari massa actual dalam masing-masing arah horizontal orthogonal dari respons yang ditinjau oleh model.

2. Kontrol Perioda Fundamental Struktur (SNI 1726:2019 pasal 7.8.2)

Perioda fundamental struktur,  $T$ , dalam arah yang ditinjau harus diperoleh menggunakan properti struktur dan karakteristik deformasi elemen penahan dalam analisis yang teruji. Perioda fundamental struktur,  $T$ , tidak boleh melebihi hasil koesien untuk batasan atas pada perioda yang dihitung ( $Cu$ ) dari Tabel 17 dan perioda fundamental pendekatan,  $Ta$ , yang ditentukan sesuai dengan pasal 7.8.2.1. Sebagai alternatif pada pelaksanaan analisis untuk menentukan perioda fundamental struktur,  $T$ , diijinkan secara langsung menggunakan perioda bangunan pendekatan,  $Ta$ , yang dihitung sesuai dengan pasal 7.8.2.1.

$$Ta = Ct \times hn^x \quad (3.18)$$

dimana:

$hn$  = ketinggian struktur (m)

$Ct$  = koefisien yang ditentukan dari Tabel 3.9

$x$  = koefisien yang ditentukan dari Tabel 3.9

Tabel 3. 9 Koefisien  $Cu$ 

Parameter percepatan respons spectral desain pada 1 detik, $SD1$	Koefisien $Cu$
$\geq 0,4$	1,4
0,3	1,4
0,2	1,5
0,15	1,6
$\leq 0,15$	1,7

(SNI 1726:2019, Tabel 17)

Tabel 3. 10 Koefisien  $Ct$  dan  $x$ 

Tipe Struktur	$Ct$	$x$
Rangka Baja Pemikul Momen	0,0724	0,8
Rangka Beton Pemikul Momen	0,0466	0,9
Rangka Baja dengan Bresing Eksentris	0,0731	0,75
Rangka Baja dengan Bresing Terkekang Terhadap Tekuk	0,0731	0,75
Semua Sistem Struktur Lainnya	0,0488	0,75

(SNI 1726:2019, Tabel 18)

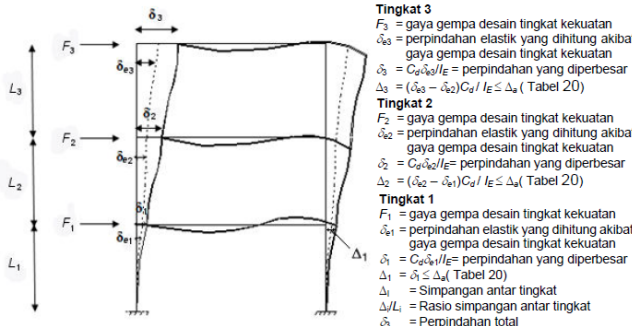
3. Kontrol Skala Gaya Dinamis (SNI 1726:2019 pasal 7.9.4.1)

Bila Perioda fundamental yang dihitung melebihi  $CuTa$ , maka  $CuTa$  harus digunakan sebagai pengganti datu  $T$  dalam arah itu. Kombinasi respons untuk geser dasar ragam ( $V_t$ ) lebih kecil 85 persen dari geser dasar yang dihitung ( $V$ ) menggunakan prosedur gaya lateral ekivalen, maka gaya harus dikalikan dengan  $0,85 V/V_t$ .

4. Kontrol Drift / Defleksi Bangunan (SNI 1726:2019 pasal 7.8.6)

Penentuan Simpangan antar lantai tingkat desain harus dihitung sebagai perbedaan defleksi pada pusat massa di tingkat teratas dan terbawah yang ditinjau. Apabila pusat massa terletak tidak segaris dalam arah vertikal, diijinkan untuk menghitung defleksi didasar tingkat berdasarkan proyeksi vertika dari pusat massa tingkat diatasnya. Jika desain tegangan ijin digunkan,

defleksi harus dihitung menggunakan gaya gempa tingkat kekuatan yang ditetapkan tanpa reduksi untuk desain tegangan ijin.



Gambar 3. 6 Perhitungan simpangan tiap lantai  
(SNI 1726:2019 Gambar 10)

Tabel 3. 11 Simpang ijin struktur

Struktur	Kategori Risiko		
	I atau II	III	IV
Struktur selain dari struktur dinding geser batu bata, 4 tingkat atau kurang dengan dinding interior, partisi, langit-langit, dan system dinding eksterior yang telah didesain untuk mengakomodasi simpanan antar lantai	0,025 h	0,02 h	0,015 h
Struktur dinding geser kantilever batu bata	0,010 h	0,010 h	0,010 h
Struktur dinding geser batu bata lainnya	0,007 h	0,007 h	0,007 h
Semua struktur lainnya	0,020 h	0,015 h	0,010 h

(SNI 1726:2019 Tabel 20)

### 3.9 Perencanaan Struktur

Perencanaan struktur yang digunakan merupakan konsep desain yang hendak digunakan pada perhitungan perencanaan.

#### 3.9.1 Perencanaan Struktur Utama Non Prategang

Setelah memperoleh analisa gaya dalam menggunakan program bantu dilakukan kontrol desain serta penulangan struktur utama sesuai dengan aturan yang terdapat pada SNI 2847:2019. Kontrol desain dilakukan untuk analisa struktur bangunan, sehingga memenuhi syarat keamanan dan sesuai dengan standar yang terdapat pada pertauran. Kontrol desain yang dilakukan berupa pengecekan terhadap kontrol geser, kontrol lentur, momen nominal, beban layan (*servisibility*) dan beban ultimate. Apabila desain memenuhi, maka dilanjutkan ke output gambar. Apabila tidak memenuhi, maka harus mendesain ulang dimensi struktur bangunan.

##### 3.9.1.1 Perencanaan Tulangan Balok

Perencanaan tulangan balok terbagi atas tulangan lentur dan tulangan geser, dan tulangan torsi bila diperlukan.

###### a. Perencanaan tulangan lentur balok

Balok merupakan komponen struktur yang terkena beban lentur. Perhitungan penulangan lentur untuk komponen balok harus memenuhi ketentuan SRPMK yang tercantum dalam SNI 2847:2019 Pasal 21.3.2.

- Mengetahui dimensi balok dari *preliminary design*, menentukan mutu tulangan (*f<sub>y</sub>*), nilai kuat tekan beton (*f'c*) dan Momen ultimate (*M<sub>u</sub>*) yang telah dianalisa dalam pembebanan struktur.
- Menentukan nilai  $\beta_1$  (SNI 2847:2019 pasal 22.2.2.4.3)

Tabel 3. 12 Nilai  $\beta_1$

$f'c$ ( Mpa )	$\beta_1$
$17 \leq f'c \leq 28$	0,85
$28 \leq f'c < 55$	$0,85 - \frac{0,05 ( f'c - 28 )}{7}$
$f'c \geq 55$	0,65

- Menentukan rasio penulangan
  - $\rho_b = \frac{0,85 \beta_1 f'c}{f_y} \left( \frac{600}{600+f_y} \right)$  (3.19)
  - $\rho_{max} = 0,025$  (SNI 2847:2019 pasal 18.6.3.1)
  - Nilai  $\rho_{min}$  dari persamaan dibawah ini, ditentukan dengan nilai terbesar dari kedua persamaan tersebut.
  - $\rho_{min} = \frac{0,25 \sqrt{f'c}}{f_y}$  (SNI 2847:2019 pasal 9.6.1.2 persamaan a))
  - $\rho_{min} = \frac{1,4}{f_y}$  (SNI 2847:2019 pasal 9.6.1.2 persamaan b))
- Menentukan nilai m
 
$$m = \frac{f_y}{0,85 f'c}$$
 (3.23)
- Menentukan nilai Rn
 
$$Rn = \frac{Mn}{\phi b d^2}; \phi = 0,90$$
 (pasal 21.2) (3.24)
- Menghitung rasio tulangan perlu
 
$$\rho = \frac{1}{m} \left( 1 - 1 \sqrt{\frac{2 m Rn}{f_y}} \right); \rho_{min} < \rho < \rho_{max}$$
 (3.25)
- Menentukan luas tulangan ( As ) perlu
 
$$As = \rho b d$$
 (3.26)
- Menentukan jumlah tulangan ( n )
 
$$n = \frac{As}{0,25 \pi \phi^2}$$
 (3.27)
- Menentukan jarak tulangan ( s )
 
$$s = \frac{b - n \phi L - 2d' - 2\phi s}{n-1}$$
 (3.28)
- Kontrol Regangan
 
$$\varepsilon_t = 0,004$$
 (SNI 2847:2019 pasal 9.3.3.1) (3.29)

### b. Perhitungan tulangan geser balok

Perencanaan penampang geser harus didasarkan sesuai dengan SNI 2847:2019. Pasal 11.1.1 persamaan 11-1 yaitu harus memenuhi:

$$\Phi V_n \geq V_u \quad (3.30)$$

dimana :

$V_n$  = Kuat geser nominal penampang.

$V_u$  = Kuat geser terfaktor pada penampang.

$\Phi$  = Faktor reduksi kekuatan untuk geser = 0,75 (SNI 2847:2019, Pasal 9.3).

- Perencanaan tulangan geser nominal ( $V_n$ ) harus lebih besar dari gaya geser yang terjadi  

$$V_n = V_c + V_s \quad (3.31)$$

( SNI 2847:2019, pasal 22.5.1.1 )
- Pada pasal 9.6.3.1 luas minimum tulangan geser  $A_{v,min}$  harus disediakan pada semua penampang dimana  $V_u > 0,5 \phi V_c$ . Kecuali untuk kasus pada tabel dibawah, maka  $A_{v,min}$  harus disediakan dengan syarat  $V_u > \phi V_c$

Tabel 3. 13 Kasus  $A_{v,min}$  Tidak Diperlukan Jika  $0,5 \phi V_c < V_u \leq \phi V_c$

Tipe Balok	Kondisi
Balok tipis	$h \leq 250 \text{ mm}$
Menyatu dengan pelat	$h \leq 2,5 t_f$ (1) $h \leq 0,5 bw$ (2) terbesar antara (1) dan (2) $h \leq 600 \text{ mm}$
Dibangun dengan beton bobot normal bertulangan serat baja sesuai 26.4.1.5.1(a), 26.4.2.2(d), dan dengan $f'_c < 40 \text{ MPa}$	$h \leq 600 \text{ mm}$ dan $V_u \leq \phi 0,17 \sqrt{f'_c} b_w d$
Sistem pelat berusuk satu arah	Sesuai 9.8

26.4.1.5.1(a) menjelaskan syarat penerimaan serat baja untuk menahan geser dimana tulangan tersebut adalah tulangan ulit, memenuhi syarat ASTM A820M, dan memiliki rasio panjang dan diameter minimal 50 dan kurang dari 100.

26.4.2.2(d) menjelaskan syarat penerimaan material beton yang digunakan untuk menahan geser harus memenuhi ASTM C1116M dan mengandung setidaknya 60 kg serat baja ulir per kubik beton

- Nilai  $V_c$  dihitung dengan persamaan pada pasal 22.5.5.1 dimana

$$V_c = 0,17 \lambda \sqrt{f'c} b_w d \quad (3.32)$$

- Nilai  $V_s$  dihitung dengan persamaan pada pasal 22.5.5.1 dimana

$$V_s = \frac{A_v f_{yt} d}{s} \quad (3.33)$$

#### c. Kontrol torsi

Pengaruh torsi harus diperhitungkan apabila:

$$T_u \leq \frac{\varphi \sqrt{f'c}}{12} \left( \frac{A_{cp}}{P_{cp}} \right)^2 \quad (3.34)$$

Perencanaan penampang terhadap torsi:

$$T_u \leq \phi T_n \quad (3.35)$$

Tulangan sengkang untuk puntir:

$$T_n = \frac{2.A_0 \cdot A_t \cdot f_y}{s} \cot \theta \quad (3.36)$$

dimana:

$T_u$  = Momen torsi terfaktor

$T_n$  = Kuat momen torsi

$T_c$  = Kuat torsi nominal yang disumbang oleh beton

$T_s$  = Kuat momen torsi nominal tulangan geser

$A_0$  = Luas yang dibatasi oleh lintasan aliran geser  $\text{mm}^2$

#### 3.9.1.2 Perencanaan Tulangan Kolom

Detail penulangan kolom akibat beban aksial tekan harus sesuai SNI 2847:2019 Pasal 22.4. Sedangkan untuk perhitungan tulangan geser harus sesuai dengan SNI 2847:2019 Pasal 22.5 dan torsi harus sesuai dengan SNI 2847:2019 Pasal 22.7.

### 3.9.1.3 Perencanaan Struktur Dinding Geser

- Kuat aksial rencana

Dihitung berdasarkan (SNI 2847:2019 pasal 11.5.3.1)

$$\phi P_{nv} = 0,55 \phi f' c . Ag \left[ 1 - \left( \frac{k . I_c}{32 h} \right)^2 \right] \quad (3.37)$$

- Pemeriksaan tebal dinding

Tebal dinding dianggap cukup bila memenuhi (SNI 2847:2019, pasal 11.3.1.1)

$$\varphi x V_n = \varphi \frac{5}{6} x \sqrt{f' c} . h . d \geq V_u \quad (3.38)$$

Dimana:  $d = 0,8$  Iw

- Kuat geser beton

Dihitung menurut SNI 2847:2019, pasal 11.5.4.3

- Berdasar pasal 11.5.4.3 nilai  $V_n$  pada semua penampang horizontal tidak boleh melebihi  $0,83\sqrt{f' c} hd$  dan pada pasal 11.5.4.4  $V_n$  dihitung dengan persamaan :

$$Vn = Vc + Vs \quad (3.39)$$

- $Vc$  tidak boleh melebihi  $0,17 \lambda \sqrt{f' c} hd$  untuk dinding dengan beban aksial tekan, dan  $Vc$  dengan beban aksial tarik tidak boleh melebihi

$$Vc = 0,17 \left( 1 + \frac{Nu}{3,5 Ag} \right) \lambda \sqrt{f' c} b_w d \quad (3.40)$$

Dimana  $Nu$  bernilai negatif untuk tarik, dan  $Vc$  tidak boleh kurang dari 0

- Berdasar pasal 11.4.5.8 Vs harus disediakan dengan menggunakan tulangan geser melintang dihitung dengan persamaan berikut

$$Vs = \frac{A_v f_y t d}{s} \quad (3.41)$$

### 3.9.2 Perhitungan Struktur Utama Prategang

Dalam perencanaan beton prategang pada Tugas Akhir ini, perencanaan balok prategang dengan menggunakan sistem S, *jacking* di tempat dan sistem pasca tarik, yaitu sistem prategang dimana kabel ditarik setelah beton mengeras. Langkah-langkah perencanaan yang digunakan ialah sebagai berikut:

#### 3.9.2.1 Gaya Prategang

Penentuan gaya prategang awal berpengaruh pada momen total, gaya tersebut kemudian akan disalurkan ke penampang. Gaya prategang mempengaruhi tendon dan baja sesuai dengan esentrисitas yang digunakan, terdefinisi pada persamaan di bawah. (Nawy, 2001)

$$f = \frac{F}{A} \pm \frac{Fey}{I} \pm \frac{My}{I} \quad (3.42)$$

#### 3.9.2.2 Pemilihan Tendon Baja Prategang

Pemilihan tendon baja prategang sangat dipengaruhi oleh gaya prategang yang ada. Pemilihan tendon harus disesuaikan dengan tegangan ijin yang berlaku pada SNI 2847:2019 Pasal 20.3.2.5.

Tegangan baja yang digunakan tidak boleh melampaui nilai berikut:

- a. Tegangan ijin saat penarikan kabel (*Jacking*)  
 $0,94f_{py}$  atau  $< 0,8f_{pu}$  (3.43)  
 dan nilai maksimum direkomendasikan pabrik yang membuat tendon prategang dan perangkat angkur.
- b. Tegangan ijin pada saat segera setelah peralihan gaya prategang:

$$0,70 f_{pu} \quad (3.44)$$

Tegangan ijin pada beton tidak boleh melebihi nilai-nilai berikut:

- c. Tegangan ijin pada saat pemberian gaya prategang (sebelum kehilangan):

$$0.60 f_{ci} \quad (\text{Tegangan tekan serat terluar}) \quad (3.45)$$

$$0.5\sqrt{f_{ci}} \quad (\text{Tegangan tarik serat terluar}) \quad (3.46)$$

dimana:

$$f_{ci} = \text{kuat tekan beton saat jacking}$$

- d. Tegangan ijin pada saat beban kerja setelah terjadi kehilangan gaya prategang:

$$0.45 f'_c \quad (\text{Tegangan tekan serat terluar})$$

$$ft \leq 0.62\sqrt{f'_c} \quad (\text{Tegangan tarik serat terluar kelas U})$$

$$0.62\sqrt{f'_c} < ft \leq \sqrt{f'_c} \quad (\text{Tegangan tarik serat terluar kelas T})$$

$$ft > \sqrt{f'_c} \quad (\text{Tegangan tarik serat terluar kelas C})$$

Setelah memilih tendon baja prategang, maka dilanjutkan dengan menentukan tata letak kabel sesuai dengan batas yang telah ditetapkan pada peraturan SNI 2847:2019. Tata letak kabel sangat ditentukan oleh jenis kabel yang digunakan, agar tidak melebihi batas yang telah ditetapkan.

### 3.9.2.3 Kehilangan Prategang

Kehilangan prategang dapat dikelompokkan ke dalam dua kategori, yaitu:

1. Kehilangan segera (Kehilangan langsung)

Kehilangan langsung adalah kehilangan gaya awal prategang sesaat setelah pemberian gaya prategang pada komponen balok prategang, yang terdiri dari:

- a. Kehilangan akibat pengangkuran (SNI 2847:2019 pasal 20.3.2.6.1.a)

Perhitungan kehilangan prategang akibat pengangkuran, sebagai berikut:

$$\Delta = \frac{Srata-rata}{\Delta a} \times 100\% \quad (3.47)$$

$$\Delta a = \frac{\sigma L}{E_s} \quad (3.48)$$

dimana:

$\Delta$  = kehilangan gaya prategang (%)

$\Delta a$  = deformasi pada angkur

$\sigma$  = tegangan pada beton

$E_s$  = modulus elastisitas baja prategang

$L$  = panjang kabel

$Srata^2$  = harga rata-rata slip angkur (2.5mm)

- b. Kehilangan akibat perpendekan elastis (SNI 2847:2019 pasal 20.3.2.6.1.b).

Perhitungan kehilangan prategang akibat perpendekan elastis, sebagai berikut:

$$ES = Kes \times n \times F_{cir} \quad (3.49)$$

dimana:

Kes = 1 untuk komponen pratarik 0.5 untuk komponen pasca tarik (digunakan)

n = Perbandingan modulus elastisitas beton dan baja ( $E_s/E_c$ )

$E_s$  = Modulus elastisitas baja

$E_c$  = Modulus elastisitas beton

$F_{cir}$  = Tegangan pada penampang beton ( $F_o/A$ )

- c. Kehilangan akibat gesekan (*Woble Effect*) (SNI 2847:2019 pasal 20.3.2.6.2)

Perhitungan kehilangan prategang akibat gesekan, sebagai berikut:

$$P_s = P_x \cdot e^{-\sum(\mu \alpha_i + KL_i)} \quad (3.50)$$

$$\Delta = (1 - e^{-\mu \alpha - KL}) \times 100\% \quad (3.51)$$

$$\alpha = 8 \times \frac{f}{L} \quad (3.52)$$

dimana:

$P_s$  = Gaya prategang setelah terjadi kehilangan akibat *friction*

$P_x$  = Gaya awal prategang di tengah bentang

$K$  = Koefisien *Wobble Effect*, sesuai Tabel 3.14

$L$  = Panjang bersih balok

$\alpha$  = Sudut kelengkungan

$\mu$  = Koefisien gesekan

$f$  = Fokus tendon (eksetrisitas dari c.g.s)

Tabel 3. 14 Koefisien Friksi ( $\mu$ ) dan *Wobble Effect* (K)

Type Tendon	Wobble effect Coefficient		$\mu/\text{radial}$
	K/foot	K/meter	
Tendon in flexible metal sheathing:			
-Wire tendon	0.0010-0.0015	0.0033-0.0049	0.15-0.25
-7-wires strand	0.0005-0.0020	0.0016-0.0066	0.15-0.25
-Hight-strength bars	0.0001-0.0006	0.0003-0.0020	0.08-0.30
Tendon in Rigid Metal Duct			
7-wires strand	0.0002	0.00066	0.15-0.25
Pregreased tendons			
Wire tendons and 7-wire strand	0.0003-0.0020	0.0010-0.0066	0.05-0.15
Mastic-Coated Tendons			
Wire tendons and 7-wire strand	0.0010-0.0020	0.0033-0.0066	0.05-0.15

(Lin dan Burns, 1996)

2. Kehilangan yang tergantung oleh waktu (kehilangan tidak langsung)

Hilangnya gaya awal yang ada terjadi secara bertahap dan dalam waktu yang relatif lama (tidak secara langsung seketika saat pemberian prategang), adapun macam kehilangan tidak langsung adalah:

- a. Kehilangan akibat rangkak (SNI 2847:2019 pasal 20.3.2.6.1.c)

Perhitungan kehilangan prategang akibat rangkak untuk *bounded tendon*, sebagai berikut :

$$CR = K_{cr} \cdot \left( \frac{E_s}{E_c} \right) \cdot [f_{cir} - f_{cds}] \quad (3.54)$$

dimana:

$K_{cr} = 2$  untuk pratarik 1,69 untuk pascatarik (digunakan)  
 $f_{cds}$  = tegangan beton didaerah c.g.s akibat beban tetap  
*(dead load)*

$f_{cir}$  = tegangan beton didaerah c.g.s akibat gaya awal prategang

- b. Kehilangan akibat susut (SNI 2847:2019 pasal 20.3.2.6.1.d)

Untuk komponen pascatarik dihitung dengan rumus:

$$SH = 8,2 \times 10^{-6} \cdot Ksh \cdot Es \cdot \left( 1 - 0,06 \frac{V}{S} \right) \times (100 - RH) \quad (3.55)$$

dimana:

$\frac{V}{S}$  = V adalah *ratio volume* dan S adalah luas permukaan

Koefisien  $0,06 \frac{V}{S}$ , dalam satuan inci =  $0,0236 \frac{V}{S}$  dalam satuan cm.

$Ksh = 1$  (metode pratarik), lihat Tabel 3.15 (metode pasca tarik)

Tabel 3. 15 Koefisien Susut Beton Pasca Tarik

Ksh	Waktu akhir perawatan hingga pemberian prategang (hari)
0,92	1
0,85	3
0,8	5
0,77	7
0,73	10
0,64	20
0,58	30
0,45	60

(Lin dan Burns, 1988)

- c. Kehilangan akibat relaksasi baja (SNI 2847:2019 pasal 20.3.2.6.1e)

Perhitungan kehilangan prategang akibat relaksasi baja, sebagai berikut:

$$RE = [K_{re} - J(SH + CR + ES)] \times C \quad (3.56)$$

dimana:

$K_{re}$  = Koefisien Relaksasi baja.

$J$  = Koefisien Relaksasi, terdapat pada Tabel 3.16

$SH$  = Kehilangan prategang akibat susut

$CR$  = Kehilangan prategang akibat rangkak

$ES$  = Kehilangan prategang akibat perpendekan elastis

$C$  = Koefisien batang stress relieved

Tabel 3. 16 Nilai Kre dan J

Jenis tendon	KRE	J
Kawat atau <i>stress-relieved strand</i> mutu 270	20.000	0,15
Kawat atau <i>stress-relieved strand</i> mutu 250	18.500	0,14
Kawat <i>stress-relieved</i> mutu 240 atau 235	17.600	0,13
<i>Strand</i> relaksasi rendah mutu 270	5000	0,04
Kawat relaksasi rendah mutu 250	4630	0,037
Kawat relaksasi rendah mutu 240 atau 235	4400	0,035
Batang <i>stress-relieved</i> mutu 145 atau 160	6000	0,05

(Lin dan Burns, 1988)

Tabel 3. 17 Nilai C

$f_{si}/f_{pu}$	Kawat atau <i>strand stress-relieved</i>	Kawat atau <i>strand</i> relaksasi rendah atau batang <i>stress relieved</i>
0,8		1,28
0,79		1,22
0,78		1,16
0,77		1,11
0,76		1,05
0,75	1,45	1
0,74	1,36	0,95
0,73	1,27	0,9
0,72	1,18	0,85
0,71	1,09	0,8
0,7	1	0,75
0,69	0,94	0,7
0,68	0,89	0,66
0,67	0,83	0,61
0,66	0,78	0,57
0,65	0,73	0,53
0,64	0,68	0,49

(Lin dan Burns, 1988)

### 3.9.2.4 Kontrol Kuat Batas Beton Prategang

Kuat batas balok prategang yang diakibatkan oleh beban luar berfaktor harus memiliki nilai-nilai sesuai SNI 2847:2019 pasal 20.3.2.

#### a. Kontrol Momen Nominal

Kontrol terhadap tegangan yang terjadi di balok pada saat penampang mencapai kuat nominal ( $f_{ps}$ ) yang menghasilkan nilai momen nominal. Nilai  $f_{ps}$  pada balok dihitung dengan rumus pada SNI 2847:2019 Pasal 20.3.2.3.

Momen nominal merupakan momen batas yang dimiliki oleh penampang beton yang fungsinya menahan momen ultimate dan momen retak yang terjadi. Momen nominal dapat dihitung dengan rumus, sebagai berikut

$$M_n = A_{ps} f_{ps} \left( d_p - \frac{a}{2} \right) = A_{ps} f_{ps} \left( d_p - 0,59 \frac{A_{ps} f_{ps}}{bf_c} \right) \quad (3.54)$$

dengan syarat :

$$\phi M_n > M_u ; \quad \phi M_n > 1.2 M_{cr} \quad (3.55)$$

dimana:

$M_n$  = Momen nominal

$M_u$  = Momen ultimate ( $1.2MD + 1.6ML$ )

$A_{ps}$  = Luasan tendon prategang

$f_{ps}$  = Tegangan pada tulangan prategang disaat penampang mencapai kuat nominal

$d_p$  = Jarak penampang baja ke serat atas beton

$b$  = Lebar penampang beton

$\phi$  = Angka reduksi (0.9)

### b. Kontrol Kuat Batas Beton Prategang

Kuat batas balok prategang yang diakibatkan oleh beban luar berfaktor harus memiliki nilai-nilai berikut

$$1.2M_{cr} \leq M_u \leq \phi M_n \quad (3.56)$$

dimana :

$M_{cr}$  = momen retak yang terjadi pada balok prategang

$M_u$  = momen ultimate balok prategang

$M_n$  = Kapasitas penampang

$\Phi$  = Faktor reduksi

### c. Kontrol Momen Retak

Momen retak adalah momen yang menghasilkan retakan-retakan kecil pertama pada balok beton prategang yang dihitung dengan teori elastic, dengan menganggap bahwa retakan mulai terjadi saat tegangan tarik pada serat terluar beton mencapai modulus keruntuhannya ( $f_r$ ). Momen retak dapat dihitung menggunakan persamaan berikut:

$$M_{cr} = M_1 + M_2 \quad (3.57)$$

$$M_1 = F \times (e + Kt) \quad (3.58)$$

$$M_2 = F_r \times W_b \quad (3.59)$$

$$F_r = 0,7\sqrt{f'_c} \quad (3.60)$$

Dimana:

$M_{cr}$  = Momen Crack

$F$  = Gaya prategang pada saat servis

- e = Eksentrisitas tendon terhadap garis netral penampang beton  
 Kt = Daerah kern diatas sumbu netral beton  
 f<sub>r</sub> = Tegangan tarik pada serat terluar beton  
 Wb = Momen resisten bawah ( $I/Y_b$ )

#### d. Kontrol Lentur

Kontrol terhadap tegangan yang terjadi di balok pada tahap yang kritis, baik pada saat *jacking* atau tahap beban layan. Hal ini bertujuan untuk mengetahui apakah dimensi dari balok mampu untuk memikul tegangan yang diberikan, dimana tegangan ijin yang diberikan berdasarkan (SNI 2847:2019 Pasal. 24.5.3).

$$\sigma_{ct,b} = \frac{F}{A} \mp \frac{F.e}{Wt,b} \pm \frac{M_{DL}}{Wt,b} + \frac{M_{LL}}{Wt,b} \leq \sigma_{ijin\ ct,b} \quad (3.61)$$

Dimana:

- $\sigma_{ct,b}$  = Tegangan lentur yang terjadi pada serat atas dan bawah  
 F = Gaya prategang efektif setelah kehilangan  
 A = Luas penampang  
 $Wt, b$  = Modulus elastis penampang  
 e = Eksentrisitas dari garis netral beton prategang (c.g.c) ke tendon baja (c.g.s)  
 $M_{DL}$  = Momen akibat berat sendiri  
 $M_{LL}$  = Momen akibat beban hidup  
 $\sigma_{ijin\ ct,b}$  = Tegangan ijin sesuai ketentuan pada SNI.

#### e. Kontrol Geser

Kontrol geser dan perhitungan tulangan geser harus sesuai dengan SNI 2847:2019 Pasal 22.5.8.2, dimana dapat digunakan dua perumusan yaitu perumusan secara umum dan perumusan secara rinci. Perhitungan geser dilakukan agar struktur mampu memikul gaya geser yang diterima. Rumus untuk perhitungan kontrol geser, sebagai berikut:

$$\phi V_c \geq V_u \quad (3.62)$$

Dimana:

$$V_c = \left( 0.05\lambda\sqrt{f'_c} + 4.8 \frac{V_u \cdot d_p}{M_u} \right) \times b_w \times d \quad (3.63)$$

Serta  $V_c$  harus memenuhi persyaratan berikut:

$$0.17\lambda\sqrt{f'_c} \cdot b_w \cdot d \leq V_c \leq 0.42\lambda\sqrt{f'_c} \cdot b_w \cdot d \quad (3.64)$$

Bila diperlukan perhitungan geser secara rinci, dapat digunakan ketentuan SNI 2847:2019 Pasal 22.5.8.3 dengan  $V_c$  harus terkecil dari  $V_{ci}$  dan  $V_{cw}$

$$V_{ci} = \left( 0.05\lambda\sqrt{f'_c} \cdot b_w \cdot d_p + V_d + \frac{V_i \cdot M_{cro}}{M_{max}} \right) \quad (3.65)$$

dimana  $d_p \geq 0.8h$  dan

$$V_{ci} \geq 0.17\lambda\sqrt{f'_c} \cdot b_w \cdot d \quad (3.66)$$

Dengan:

$$M_{cro} = \frac{I}{y_t} \left( 0.05\lambda\sqrt{f'_c} + f_{pe} - f_d \right) \quad (3.67)$$

Dan nilai-nilai  $M_{max}$  dan  $V_i$  harus dihitung dari kombinasi beban yang menimbulkan momen maksimum pada penampang yang ditinjau.

$V_{cw}$  harus dihitung dengan:

$$V_{cw} = (0.29\lambda\sqrt{f'_c} + 0.3f_{pc})b_w \cdot d_p + V_p \quad (3.68)$$

dimana:

$V_c$  = Kuat geser nominal yang disumbangkan oleh beton

$V_u$  = Kuat geser ultimate dari kombinasi beban yang ada

$V_{ci}$  = Kuat geser nominal yang disumbangkan oleh beton pada saat terjadi keretakan diagonal akibat kombinasi momen dan geser

- $V_c$  = Kuat geser nominal yang disumbangkan oleh  
 $w$  beton pada saat terjadi keretakan diagonal akibat tegangan tarik utama yang berlebihan pada badan penampang  
 $V_d$  = Gaya geser pada penampang akibat beban mati tidak terfaktor  
 $V_i$  = Gaya geser terfaktor pada penampang akibat beban luar yang terjadi bersamaa dengan  $M_{max}$   
 $V_p$  = Komponen vertikal gaya prategang efektif pada penampang  
 $I$  = Momen inersia penampang yang menahan beban luar terfaktor yang bekerja  
 $y_t$  = Garis netral  
 $b_w$  = Lebar badan / garis tengah penampang  
 $D$  = Jarak dari serat tekan terluar ke titik berat tulangan tarik  
 $M_{cro}$  = Momen yang menyebabkan terjadinya retak lentur pada penampang akibat beban luar  
 $M_m$  = Momen terfaktor maksimum pada penampang akibat beban luar  
 $a_x$   
 $f_d$  = Tegangan akibat beban mati tak terfaktor, pada serat terluar penampang dimana tegangan tarik disebabkan oleh beban luar  
 $f_{pc}$  = Tegangan tekan pada beton setelah kehilangan pada titik berat penampang yang menahan beban luar atau pertemuan antara badan dan flens jika titik berat terletak dalam flens  
 $f_{pe}$  = Tegangan tekan pada beton akibat gaya prategang efektif saja setelah memperhitungkan kehilangan pada serat terluar penampang dimana tegangan tarik terjadi akibat beban luar

### 3.9.2.4 Kontrol Lendutan

Lendutan merupakan tanda akan terjadinya gagasan struktur, sehingga kita perlu untuk menghitung lendutan struktur agar tidak melebihi batas-batas yang telah ditetapkan. Lendutan dihitung menurut pembebanan, dimana berat sendiri dan beban eksternal mempengaruhi. Berikut adalah kontrol lendutan yang harus dilakukan yaitu:

- Lendutan akibat tekanan tendon

Perhitungan lendutan akibat tekanan tendon dapat dihitung, sebagai berikut:

$$\Delta l_{po} = \frac{5}{384} \times \frac{Po \times l^4}{Ec \times I} \quad (3.69)$$

Dengan nilai Po sebesar

$$Po = \frac{8 \times F_o \times f}{l^2} \quad (3.70)$$

dimana:

Po = Gaya Prategang (N)

f = Fokus tendon (eskentrisitas dari c.g.s)

l = panjang efektif (mm)

Ec = Modulus elastisitas beton (MPa)

I = Inersia balok ( $\text{mm}^4$ )

- Lendutan akibat eksentrisitas tepi balok

Eksentrisitas terhadap c.g.c pada letak tendon menyebabkan lendutan kearah bawah (karena menyebabkan momen negatif)

$$\Delta l_{me} = \frac{Po \times e \times l^2}{8 \times Ec \times l} \quad (3.71)$$

dimana:

Po = Gaya Prategang (N)

e = eksentrisitas dari c.g.c dari tepi balok (mm)

l = panjang efektif (mm)

Ec = Modulus elastisitas beton (MPa)

I = Inersia balok ( $\text{mm}^4$ )

c. Lendutan akibat beban sendiri

Berat sendiri menyebabkan balok terletak kebawah sehingga lendutan yang terjadi berupa lendutan ke bawah

$$\Delta l_{qo} = \frac{5}{384} \times \frac{q_o \times l^4}{E_c \times I} \quad (3.72)$$

dimana:

$q_o$  = Beban terbagi merata (N/m)

$e$  = eksentrisitas dari c.g.c dari tepi balok (mm)

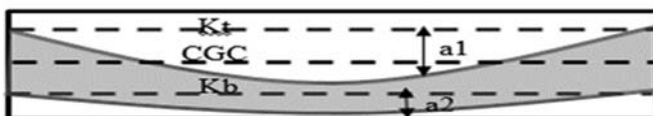
$l$  = panjang efektif (mm)

$E_c$  = Modulus elastisitas beton (MPa)

$I$  = Inersia balok ( $\text{mm}^4$ )

### 3.9.2.5 Daerah Limit Kabel

Daerah limit kabel adalah daerah batas dimana tendon dapat diletakkan. Tegangan tarik pada serat beton terjauh akibat beban layan tidak boleh melebihi nilai maksimum yang diijinkan persyaratan yang ada. Oleh karena itu diperlukan daerah batas pada penampang beton dimana pada daerah tersebut gaya prategang dapat diterapkan pada penampang tanpa menyebabkan terjadinya tegangan tarik pada penampang beton.



Gambar 3. 7 Daerah Limit kabel

dimana :

$$a_1 (\text{atas}) = \frac{M_{\max}}{F} \quad (3.73)$$

$$a_2 (\text{bawah}) = \frac{M_{\min}}{F_o} \quad (3.74)$$

### 3.9.2.6 Pengangkuran

Kegagalan pada balok prategang pasca tarik bisa disebabkan oleh hancurnya bantalan beton pada daerah tepat dibelakang angkur tendon akibat tekanan yang sangat besar.

Kegagalan ini diperhitungkan pada kondisi ekstrim saat transfer, yaitu saat gaya prategang maksimum dan kekuatan beton minimum. Kuat tekan nominal beton pada daerah pengangkuran global disyaratkan oleh SNI 2847:2019 Pasal 25.9.3.1. Bila diperlukan, pada daerah pengangkuran dapat dipasang tulangan untuk memikul gaya pencar, belah dan pecah yang timbul akibat pengangkuran tendon sesuai SNI 2847:2019 Pasal 25.9.3.1.

Daerah pengangkuran dianggap tersusun dari dua buah daerah, yaitu:

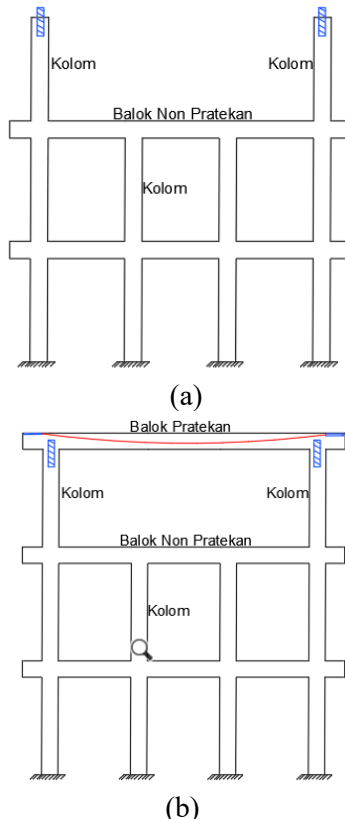
- a. Daerah local : Prisma persegi (atau prisma persegi ekivalen untuk angkur oval) dari beton yang langsung mengelilingi alat angkur dan sebagian tulangan pengekang,
- b. Daerah umum : Daerah tempat pengangkuran dimana gaya prategang terpusat disalurkan ke beton dan disebarluaskan secara merata pada seluruh penampang.

### **3.10 Sistem Hubungan Balok Kolom Sendi**

Balok prategang dengan hubungan balok – kolom sistem sendi pada kepala kolom atau bagian atas kolom dan *post-tension*. Urutan pelaksanaan adalah sebagai berikut:

1. Dimulai dengan pekerjaan penulangan kolom lantai 14 dan kemudian dilanjutkan dengan penulangan sendi spiral pada kolom bagian atas seperti pada gambar 3.7 (a).
2. Setelah tulangan siap dilanjutkan dengan pengecoran kolom dan sendi spiral lantai 14.
3. Setelah beton di cor dan cukup umur (7 hari) dilanjutkan dengan penulangan lunak balok prategang berupa tulangan longitudinal dan transversal.
4. Setelah semua tulangan terpasang dilanjutkan dengan pemasangan beton decking dan strand tendon prategang serta pemasangan angkur mati sesuai koordinat yang telah diberikan.

5. Lalu dilanjutkan dengan pengecoran balok prategang dengan mutu beton  $f_c$  45 MPa, dan *curing* dilakukan pada 7 hari.
6. Setelah beton berumur 14 hari, dilanjutkan dengan pemberian gaya prategang pada balok prategang dimana angkur hidup diletakkan dimuka *joint*.
7. Setelah diberikan gaya prategang celah pada decking tendon prategang di *grouting* sesuai kebutuhan seperti pada gambar 3.7 (b).



Gambar 3. 8 (a) Pekerjaan Kolom Sistem Sendi (b) Pemberian Gaya Prategang Pada Balok Prategang Sistem Sendi

### 3.11 Perencanaan Basemen

Perencanaan struktur dinding basemen menggunakan pelat beton. Berikut merupakan langkah – langkah dalam merencanakan dinding basemen dengan pelat beton:

1. Menentukan beban – beban yang akan bekerja pada pelat basemen
2. *Preliminary design* dinding dan pelat *basemen*
3. Penulangan dan desain dinding basemen  
Penulangan dinding basemen dihitung sesuai dengan yang telah diatur dalam SNI 2847:2019.
4. Penulangan dan desain pelat basemen  
Elevasi air tanah diasumsikan pada kondisi yang paling berbahaya, yaitu sama dengan permukaan tanah.  
Penulangan pelat lantai basemen dihitung sesuai dengan yang telah diatur dalam SNI 2847:2019.

### 3.12 Perencanaan Pondasi

Setelah menghitung beban struktur atas secara keseluruhan, maka kita harus meneruskan beban tersebut ke struktur bawah (pondasi). Pondasi yang direncanakan menggunakan tiang pancang dengan perhitungan daya dukung pondasi berdasarkan *Standard Penetration Test (SPT)*. Langkah-langkah yang dikerjakan dalam perencanaan struktur bawah adalah:

1. Menghitung beban total dari struktur atas
2. Mencari dan menganalisa daya dukung tanah  
Data tanah dari gedung Fakultas Kedokteran UNUD terletak di lampiran.
3. Menentukan desain dimensi tiang pancang dan jarak antara tiang pancang

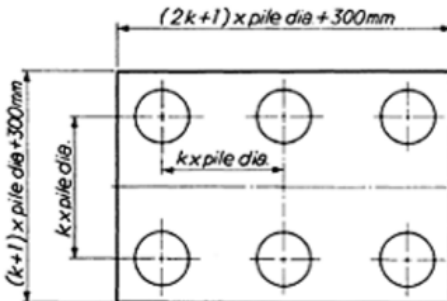
Pada penentuan jarak antar tiang pancang terdapat beberapa ketentuan yang harus terpenuhi seperti pada persamaan di bawah ini.

$$2.5 D \leq S \leq 5D \quad (3.75)$$

Dimana:

$D$  = diameter tiang pancang (m)

$S = \text{jarak antar tiang pancang (m)}$



Gambar 3. 9 Konfigurasi Spun Pile pada *Pile Cap*  
(Sumber: *Pile Design and Construction 4th Edition*)

#### 4. Menganalisa daya dukung tiang pancang

Analisa daya dukung tiang pancang dibedakan menjadi dua, yaitu daya dukung satu tiang pancang dan daya dukung tiang pancang kelompok.

##### a. Daya Dukung Satu Tiang Pancang

Daya dukung pada pondasi tiang pancang ditentukan oleh dua hal, yaitu daya dukung perlawanan tanah dari unsur dasar tiang pondasi ( $Q_p$ ) dan daya dukung tanah dari unsur lekatan lateral tanah ( $Q_s$ ). Perhitungan daya dukung tanah memakai metode Luciano Decourt.

$$Q_L = Q_p + Q_s \quad (3.76)$$

dimana:

$Q_L$  = Daya dukung tanah maksimum pada pondasi

$Q_p$  = *Resistance ultimate* di dasar pondasi

$Q_s$  = *Resistance ultimate* akibat tekanan lateral

Berikut merupakan rumus untuk mencari daya dukung perlawanan tanah dari unsur dasar tiang pondasi ( $Q_p$ ).

$$Q_p = q_p \cdot A_p = \alpha \cdot \bar{N}_p \cdot K \cdot A_p \quad (3.77)$$

dimana:

$$\bar{N}_p = \frac{\sum_{i=1}^n N_i}{n}$$

$K$  = Koefisien karakteristik tanah di dasar pondasi

$12 \text{ t/m}^2 = 117,7 \text{ kPa}$ , untuk lempung (clay)

$20 \text{ t/m}^2 = 196 \text{ kPa}$ , untuk lempung berlanau (silty clay)

$25 \text{ t/m}^2 = 245 \text{ kPa}$ , untuk pasir berlanau (silty sand)

$40 \text{ t/m}^2 = 392 \text{ kPa}$ , untuk pasir (sand)

$A_p$  = Luas penampang dasar tiang

$q_p$  = Tegangan di ujung tiang

Berikut merupakan rumus untuk mencari daya dukung tanah dari unsur lekatan lateral tanah ( $Q_s$ ).

$$Q_s = q_s \cdot A_s = \beta \cdot \left( \frac{N_s}{3} + 1 \right) \cdot A_s \quad (3.78)$$

dimana :

$q_s$  = Tegangan akibat lekatan lateral dalam  $\text{t/m}^2$

$N_s$  = Harga rata-rata sepanjang tiang yang terbenam, dengan batasan:  $3 \leq N \leq 50$ , khusus untuk aspek *friction*

$A_s$  = Keliling x panjang tiang yang terbenam (luas selimut tiang)

Koefisien  $\alpha$  dan  $\beta$  adalah merupakan berturut-turut *base coefficient* dan *shaft coefficient* menurut Decourt et all (1996) yang nilai seperti pada Tabel 3.18 dan Tabel 3.19 dibawah ini:

Tabel 3. 18 *Base Coefficient*

Soil/ Pile	Driven	Bored	Bored	Continous	Root	Injected pile
	Pile	Pile	Pile (bentonite)	hollow sugar	pile	(high pressure)
Clay	1.0	0.85	0.85	0.30	0.85	1.0
Intermediate Soils	1.0	0.60	0.60	0.30	0.60	1.0
Sands	1.0	0.50	0.50	0.30	0.50	1.0

(Decourt et all, 1996)

Tabel 3. 19 *Shaft Coefficient β*

Soil/ Pile	Driven	Bored	Bored	Continous	Root	Injected pile
	Pile	Pile	Pile (bentonite)	hollow sugar	pile	(high pressure)
Clay	1.0	0.80	0.90	1.00	1.5	3.0
Intermediate Soils	1.0	0.65	0.75	1.00	1.5	3.0
Sands	1.0	0.50	0.60	1.00	1.5	3.0

(Decourt et all, 1996)

### b. Daya Dukung Tiang Pancang Grup

Untuk kasus daya dukung tiang pancang grup, harus dikoreksi terlebih dahulu dengan koefisien efisiensi Ce.

$$QL(\text{group}) = QL(1 \text{ tiang}) \times n \times Ce \quad (3.79)$$

dimana:

N = jumlah tiang dalam grup

Ce = koefisien efisiensi

QL (group) = daya dukung tiang pancang kelompok

QL (1 tiang) = daya dukung 1 tiang pancang

Untuk menghitung koefisien efisiensi Ce dapat digunakan beberapa teori dibawah ini, yaitu:

- Converse-Labarre:

$$Ce = 1 - \frac{\text{arc tan}(\frac{\phi}{s})}{90^\circ} \times \left( 2 \times \frac{1}{m} - \frac{1}{n} \right) \quad (3.80)$$

dimana:

$\phi$  = diameter tiang pondasi

S = jarak as ke as antar tiang dalam group

m = jumlah baris tiang dalam group

n = jumlah kolom tiang dalam group

Ce = 0,9 – 1,0 (untuk jarak antar tiang pancang  $\geq 3\phi$ )

■ Los Angeles

$$Ce = 1 - \frac{B}{L} \times \frac{1}{\pi \cdot m \cdot n} \times (m \times (n-1) + (m-1) \times \sqrt{2(m-1)(n-1)}) \quad (3.81)$$

dimana:

B = Lebar grup tiang

L = Panjang grup tiang

n = jumlah baris tiang dalam group

n = jumlah kolom tiang dalam group

- Di sisi lain Terzaghi telah memberikan perumusan untuk menghitung daya dukung kelompok untuk lempung

$$Q_G = \beta^2 \cdot C_u \cdot N_c + 4 \cdot \beta \cdot C_u \cdot D \quad (3.82)$$

$$B = (n-1) \cdot S + d \quad (3.83)$$

dimana:

D = Kedalaman tiang pondasi

S = Jarak antar as tiang (*spacing*)

Cu = Undrained cohesion

n = Jumlah tiang dalam grup

d = Diameter tiang

Untuk grup tiang pancang pada tanah tanpa kohesi. Pemakaian praktis harga koefisien efisiensi Ce adalah sebagai berikut:

Pasir lepas:

- Untuk tiang-tiang pendek, Ce = 1,5 (untuk S = 2d) hingga 1 (untuk S = 4d)
- Untuk tiang-tiang panjang, Ce = 2 (untuk S = 2d) hingga 1 (untuk S = 6d)

Pasir Padat:

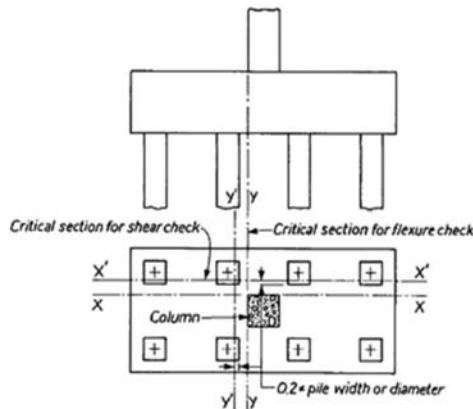
Ce = 0,7 (untuk S = 3d) hingga 1 (untuk S ± 8d)

5. Menghitung gaya maksimum yang dipikul satu tiang pancang dalam kelompok menggunakan persamaan di bawah ini.

$$P_{max} = \frac{\Sigma V}{n} + \frac{M_y \cdot X_{max}}{\Sigma X_i^2} + \frac{M_x \cdot Y_{max}}{\Sigma Y_i^2} \leq P_{ijin} (1 tiang) \quad (3.84)$$

Dimana:

- $P_i$  = Gaya aksial satu tiang pancang (ton)
- $\Sigma V_o$  = Jumlah beban vertical (ton)
- $n$  = Jumlah tiang pancang
- $M_x$  = Momen yang bekerja di dasar *Pile Cap* dalam arah sumbu x
- $M_y$  = Momen yang bekerja di dasar *Pile Cap* dalam arah sumbu y
- $X_i$  = Jarak dari sumbu tiang ke titik berat susunan kelompok tiang searah sumbu X
- $Y_i$  = Jarak dari sumbu tiang ke titik berat susunan kelompok tiang searah sumbu X
- $X_{max}$  = Absis terjauh terhadap titik berat kelompok tiang (m)
- $Y_{max}$  = Ordinat terjauh terhadap titik berat kelompok tiang (m)



Gambar 3. 10 Perhitungan Momen Lentur dan Gaya Geser pada *Pile Cap*

(Sumber: *Pile Design and Construction 4th Edition*)

## 6. Merencanakan *Pile Cap*

Dalam perancangan *pile cap* pada tugas akhir ini penulis meninjau gaya geser pons dan penulangan momen lentur.

### a. Kontrol Tebal Minimum *Pile Cap*

Menurut SNI 2847:2019 Pasal 15.7 tebal pondasi tapak diatas tulangan bawah tidak boleh kurang dari 150 mm untuk pondasi diatas tanah, atau kurang dari 300 mm untuk pondasi tapak (*footing*) diatas tiang pondasi.

### b. Kontrol Geser Pons

Dalam merencanakan *pile cap* harus dipenuhi persyaratan kekuatan gaya geser nominal beton yang harus lebih besar dari geser pons yang terjadi. Hal ini sesuai yang disyaratkan pada SNI 2847:2019 pasal 11.11.2.1. Kuat geser yang disumbangkan beton dirumuskan dengan perumusan sebagai berikut, dimana  $V_c$  harus yang terkecil diantara:

$$V_c = 0,17 \left( 1 + \frac{2}{\beta} \right) \lambda \sqrt{f'_c} b_o d \quad (3.84)$$

$$V_c = 0,083 \left( \frac{\alpha_s d}{b_o} + 2 \right) \lambda \sqrt{f'_c} b_o d \quad (3.85)$$

$$V_c = 0,33 \lambda \sqrt{f'_c} b_o d \quad (3.86)$$

dimana:

$\beta_c$  = rasio dari sisi panjang terhadap sisi pendek beton dari daerah beban terpusat atau reaksi

$b_o$  = keliling dari penampang kritis pada pile cap  
=  $2(b_k + d) + 2(h_k + d)$

dimana :

$b_k$  = lebar penampang kolom

$h_k$  = tinggi penampang kolom

$d$  = tebal efektif pile cap

$\alpha_s$  = 20 untuk kolom sudut  
= 30 untuk kolom tepi  
= 40 untuk kolom interior

c. Penulangan *Pile Cap*

Untuk penulangan lentur, *pile cap* dianalisa sebagai balok kantilever dengan perletakan jepit pada kolom. Sedangkan beban yang bekerja adalah beban terpusat di tiang kolom yang menyebabkan reaksi pada tanah dan berat sendiri *pile cap*. Perhitungan gaya dalam *pile cap* didapat dengan teori mekanika statis tertentu.

7. Merencanakan *Tie Beam* Pondasi

Struktur *Tie Beam* digunakan agar penurunan pada pondasi terjadi secara bersamaan. Dalam hal ini *Tie Beam* berfungsi sebagai pengaku yang menghubungkan pondasi satu dengan pondasi yang lain. Adapun beban yang ditimpakan ke *Tie Beam* terdiri dari berat sendiri *Tie Beam*, berat dinding pada lantai paling bawah, beban aksial tekan/tarik yang berasal dari 10% beban aksial kolom.

### 3.13 Gambar

Hasil analisa baik dari struktur sekunder, struktur utama non prategang, struktur utama prategang, dan pondasi dituangkan dalam gambar teknik yang mampu menjelaskan secara nyata hasil perhitungan dengan menggunakan *software* bantu sipil *AutoCAD* sesuai standar yang ada.

## **BAB IV**

### **PRELIMINARY DESIGN**

#### **4.1 Umum**

*Preliminary design* adalah proses perencanaan awal yang akan digunakan untuk merencanakan dimensi struktur gedung. Perencanaan awal ini berdasarkan peraturan-peraturan yang ada. Proses perencanaan awal ini dilakukan untuk komponen struktur yaitu, balok induk, balok anak, balok prategang, pelat dan kolom. Sebelum perencanaan awal dilakukan, penentuan data-data perencanaan dan pembebanan yang akan diterima struktur di lakukan terlebih dahulu.

#### **4.2 Data Perencanaan**

Perencanaan Gedung Fakultas Kedokteran Universitas Udayana menggunakan beton bertulang pada keseluruhan struktur gedung. Data bangunan yang akan digunakan dalam penggeraan Tugas Akhir yaitu:

- Lokasi : Jalan P.B Sudirman, Denpasar, Bali
- Tipe Bangunan : Gedung Kuliah
- Ketinggian Total : 56,2 m
- Ketinggian per Lantai :
  - Basemen-1 : 4 m
  - Lantai 2-13 : 3,6 m
  - Lantai 14 : 5 m
- Mutu Baja ( $f_y$ ) : 420 MPa
- Mutu Beton ( $f_c$ ) :
  - Balok induk : 40 MPa
  - Balok anak : 40 MPa
  - Pelat Lantai : 40 MPa
  - Kolom : 40 MPa
  - Balok Prategang : 45 MPa
  - Pelat Atap : 45 MPa
  - Dinding Geser : 45 MPa

- Data Tanah : Terlampir
- Data Gambar : Terlampir

### 4.3 Pembebanan

#### 1. Beban Gravitasi (SNI 1727:2013)

##### Beban Mati

- Berat sendiri beton bertulang : 24 kN/m<sup>3</sup>
- Adukan finishing : 0,21 kN/m<sup>3</sup>
- Tegel : 0,24 kN/m<sup>2</sup>
- Dinding bata ringan : 4,9 kN/m<sup>3</sup>
- Plafond : 0,11 kN/m<sup>2</sup>
- Penggantung : 0,07 kN/m<sup>2</sup>
- Plumbing + ducting : 0,30 kN/m<sup>2</sup>

##### Beban Hidup

- Lantai atap : 0,96 kN/m<sup>2</sup>
- Lantai ruang seminar : 4,79 kN/m<sup>2</sup>
- Lantai kelas : 1,92 kN/m<sup>2</sup>

#### 2. Beban Gempa

Perencanaan dan perhitungan struktur terhadap gempa berdasarkan SNI 1726:2019.

### 4.4 Perencanaan Balok

#### 4.4.1 Perencanaan Balok Induk

Penentuan tinggi balok minimum ( $h_{\min}$ ) dihitung berdasarkan SNI 2847:2019 pasal 9.3.1.1. (tabel 9.3.1 Tinggi minimum balok non-prategang).

Untuk  $f_y$  420 MPa

$$h = \frac{l}{16}$$

Persamaan 3.6:

$$b = \frac{2}{3} \cdot h$$

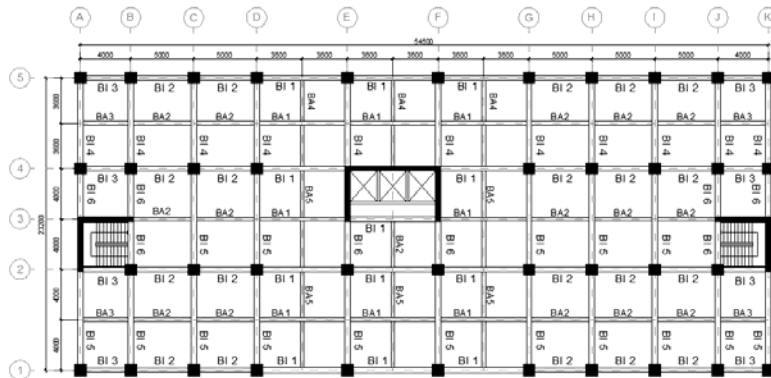
dimana:

$l$  = panjang balok (mm)

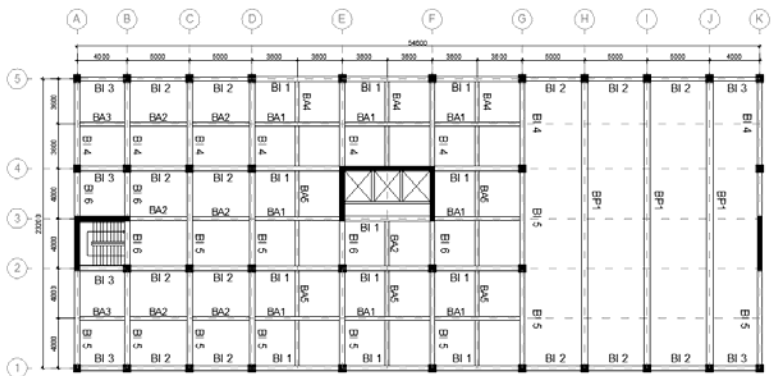
$h$  = tinggi balok (mm)

$b$  = lebar balok (mm)

Gedung yang direncanakan memiliki panjang balok induk yang bervariasi pada arah memanjang dan melintang yaitu pada gambar 4.1.



Gambar 4. 1 Gambar Denah Pembalokan Lantai 1-14



Gambar 4. 2 Gambar Denah Pembalokan Lantai Atap

Tabel 4. 1 Rekapitulasi Dimensi Balok Induk

Nama	Bentang (mm)	Arah	h min (mm)	b min (mm)	Dimensi	
					h (mm)	b (mm)
BI 1	7200	Memanjang	450	300	650	450
BI 2	5000	Memanjang	313	208	500	350
BI 3	4000	Memanjang	250	167	500	350
BI 4	7200	Melintang	450	300	650	450
BI 5	8000	Melintang	500	333	650	450
BI 6	4000	Melintang	250	167	600	400

Dapat disimpulkan dari **Tabel 4.1**, dimensi balok induk memanjang dan melintang adalah 45/65, 40/60 dan 35/50.

#### 4.4.2 Perencanaan Balok Anak

Perencanaan dimensi balok anak untuk mutu beton 40 MPa dan mutu baja 420 MPa direncanakan sebagai balok pada dua tumpuan menerus, sehingga digunakan perumusan:

$$h_{\min} = \frac{l}{21}$$

$$b_{\min} = \frac{2}{3} \times h$$

Dimana :

$l$  = panjang balok (mm)

$h$  = tinggi balok (mm)

$b$  = lebar balok (mm)

Dimensi balok anak dengan panjang yang berbeda diperoleh sebagai berikut

Tabel 4. 2 Rekapitulasi Dimensi Balok Anak

Nama	Bentang (mm)	Arah	h min (mm)	b min (mm)	Dimensi	
					h (mm)	b (mm)
BA 1	7200	Memanjang	343	229	500	350
BA 2	5000	Memanjang	238	159	400	250
BA 3	4000	Memanjang	190	127	400	250
BA 4	7200	Melintang	343	229	500	350
BA 5	8000	Melintang	380	253	500	350

Dapat disimpulkan dari Tabel 4.2, dimensi balok anak memanjang dan melintang adalah 35/50 dan 25/40.

#### 4.4.3 Perencanaan Balok Prategang

Dimensi balok prategang pada *preliminary design* direncanakan sebagai berikut:

$$h_{\min} = \frac{1}{20}$$

$$b_{\min} = \frac{2}{3} \times h$$

Dimana:

$L$  = panjang balok (mm)

$h$  = tinggi balok (mm)

$b$  = lebar balok (mm)

Tabel 4. 3 Rekapitulasi Dimensi Balok Prategang

Nama	Bentang (mm)	Arah	h min (mm)	b min (mm)	Dimensi	
					h (mm)	b (mm)
BP1	23200	Melintang	1160	773,3	1200	500

Direncanakan balok prategang dengan dimensi 50/120 untuk melintang.

#### 4.5 Perencanaan Tebal Plat

Perencanaan ini menggunakan perhitungan yang dibagi dalam dua jenis yaitu:

- Pelat satu arah, yaitu pelat yang rasio panjang dan lebarnya lebih dari atau sama dengan 2. Pada pelat satu arah, pembebanan yang diterima akan diteruskan pada balok-balok (pemikul bagian yang lebih panjang) dan hanya sebagian kecil saja yang akan diteruskan pada gelagar pemikul bagian yang lebih pendek.
- Pelat dua arah, yaitu pelat yang rasio panjang dan lebarnya kurang dari 2, sehingga besar pembebanan yang diterima

diteruskan pada keseluruhan pemikul di sekeliling panel pelat tersebut.

Permodelan struktur yang digunakan adalah sistem rangka pemikul momen, dimana pelat difokuskan hanya menerima beban gravitasi. Tumpuan pada sisi pelat diasumsikan sebagai perlakuan jepit elastis.

Perhitungan dimensi pelat berdasarkan syarat lendutan, ketebalan minimum dari pelat harus memenuhi persyaratan SNI 2847:2019 pasal 8.3.1.2.

- Untuk  $\alpha_m \leq 0.2$  menggunakan pasal 8.3.1.1
- Untuk  $0.2 < \alpha_m < 2$  ketebalan minimum pelat harus memenuhi  

$$h1 = \frac{\ln x (0.8 + \frac{f_y}{1400})}{36 + 5\beta (\alpha_m - 0.2)}$$
 dan tidak boleh kurang dari 120 mm
- Untuk  $\alpha_m \geq 2$  ketebalan minimum pelat harus memenuhi  

$$h2 = \frac{\ln x (0.8 + \frac{f_y}{1400})}{36 + 9\beta}$$
 dan tidak boleh kurang dari 90 mm

Dimana:

$L_n$  = Panjang bentang bersih

$S_n$  = Lebar bentang bersih

$F_y$  = Tegangan leleh baja

$\beta$  = Rasio bentang bersih dalam arah memanjang terhadap arah memendek dari pelat 2 arah

$\alpha_m$  = Nilai rata-rata  $\alpha$  untuk semua balok pada tepi-tepi dari suatu panel

Harga  $\alpha_m$  didapat dari:

$$\alpha = \frac{E_{balok} I_{balok}}{E_{balok} I_{pelat}}$$

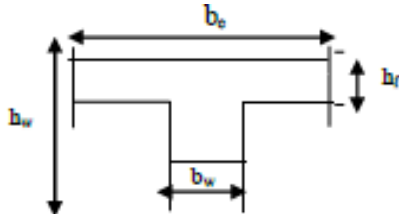
$$I_{balok} = 1/12 \times K \times b \times h^3$$

$$\beta = \ln / S_n$$

$$I_{pelat} = L_y \times h f^3 / 12$$

$$k = \frac{1 + \left( \frac{be}{bw} - 1 \right) \left( \frac{hf}{hw} \right) \left[ 4 - 6 \left( \frac{hf}{hw} \right) + 4 \left( \frac{hf}{hw} \right)^2 + \left( \frac{be}{bw} - 1 \right) \left( \frac{hf}{hw} \right)^3 \right]}{1 + \left( \frac{be}{bw} - 1 \right) \left( \frac{hf}{hw} \right)}$$

Balok tengah:



Gambar 4. 3 Ilustrasi bentang efektif

Nilai  $be_1 = \frac{1}{4} \times L$

$be_2 = bw + 8t$

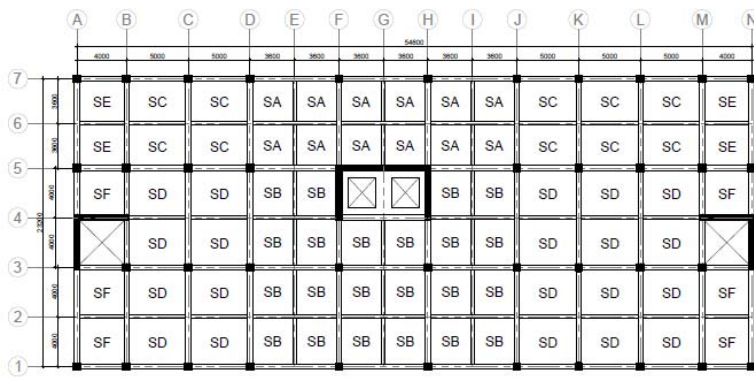
$be_2 = bw + \frac{1}{2} S$

Dari ketiga nilai  $be$  tersebut diambil yang terkecil.

#### 4.5.1 Data Perencanaan Pelat Lantai

Pelat yang direncanakan pada bangunan ini memiliki spesifikasi sebagai berikut:

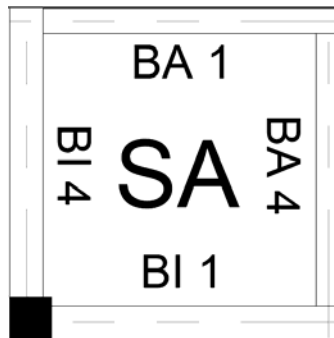
- Mutu beton
  - Pelat lantai : 40 MPa
  - Pelat atap : 45 MPa
  - Pelat basemen : 40 MPa
- Mutu baja : 420 MPa
- Rencana tebal pelat lantai : 12 cm
- Rencana tebal pelat atap : 14 cm
- Rencana tebal pelat basemen : 30 cm



Gambar 4. 4 Variasi Pelat Lantai Pada Gedung FK UNUD

#### 4.5.2 Perhitungan Tebal Pelat

- Contoh perhitungan adalah pelat type SA (dimensi 3600 mm x 3600 mm)



Gambar 4. 5 Pelat type SA

Direncanakan  $hf = 12 \text{ mm}$

$$Sn = 360 - (45+45) / 2$$

$$Sn = 315 \text{ cm}$$

$$Ln = 360 - (45+35) / 2$$

$$Ln = 320 \text{ cm}$$

$$\beta = Ln / Sn = 320/315 = 1,02 < 2 \text{ (Pelat 2 arah)}$$

### Balok BI 1 dan BI 4

Perhitungan lebar efektif:

- $be = bw + 2 \times (hw - hf)$   
 $be = 45 + 2 \times (65 - 12)$   
 $be = 151 \text{ cm}$
- $be = bw + 8 \times hf$   
 $be = 45 + 8 \times 12$   
 $be = 141 \text{ cm}$
- $be = \frac{1}{4} \times L$   
 $be = \frac{1}{4} \times 315$   
 $be = 78,75 \text{ cm} \text{ (menentukan)}$

$$k = \frac{1 + \left(\frac{be}{bw} - 1\right) \left(\frac{hf}{hw}\right) \left[4 - 6 \left(\frac{hf}{hw}\right) + 4 \left(\frac{hf}{hw}\right)^2 + \left(\frac{be}{bw} - 1\right) \left(\frac{hf}{hw}\right)^3\right]}{1 + \left(\frac{be}{bw} - 1\right) \left(\frac{hf}{hw}\right)}$$

$$k = \frac{1 + \left(\frac{78,75}{45} - 1\right) \left(\frac{12}{65}\right) \left[4 - 6 \left(\frac{12}{65}\right) + 4 \left(\frac{12}{65}\right)^2 + \left(\frac{78,75}{45} - 1\right) \left(\frac{12}{65}\right)^3\right]}{1 + \left(\frac{78,75}{45} - 1\right) \left(\frac{12}{65}\right)}$$

$$k = 1,278$$

Menghitung momen inersia:

$$I_{\text{balok}} = \frac{1}{12} \times k \times b \times h^3$$

$$I_{\text{pelat}} = \frac{t^3}{12} \times bs$$

$$I_{\text{balok}} = \frac{1}{12} \times 1,278 \times 45 \times 65^3$$

$$I_{\text{pelat}} = \frac{12^3}{12} \times 315$$

$$I_{\text{balok}} = 1316140,3 \text{ cm}^4$$

$$I_{\text{pelat}} = 45360 \text{ cm}^4$$

$$\alpha_m = \frac{I_{\text{balok}}}{I_{\text{pelat}}} = \frac{1316140,3}{45360} = 29$$

### Balok BA 1 dan BA 4

Perhitungan lebar efektif:

- $be = bw + 2 \times (hw - hf)$   
 $be = 35 + 2 \times (50 - 12)$   
 $be = 86 \text{ cm}$
- $be = bw + 8 \times hf$   
 $be = 35 + 8 \times 12$   
 $be = 126$
- $be = \frac{1}{4} \times L$   
 $be = \frac{1}{4} \times 315$   
 $be = 78,75 \text{ cm} \text{ (menentukan)}$

$$k = \frac{1 + \left(\frac{be}{bw} - 1\right) \left(\frac{hf}{hw}\right) \left[4 - 6 \left(\frac{hf}{hw}\right) + 4 \left(\frac{hf}{hw}\right)^2 + \left(\frac{be}{bw} - 1\right) \left(\frac{hf}{hw}\right)^3\right]}{1 + \left(\frac{be}{bw} - 1\right) \left(\frac{hf}{hw}\right)}$$

$$k = \frac{1 + \left(\frac{78,75}{35} - 1\right) \left(\frac{12}{50}\right) \left[4 - 6 \left(\frac{12}{50}\right) + 4 \left(\frac{12}{50}\right)^2 + \left(\frac{78,75}{35} - 1\right) \left(\frac{12}{50}\right)^3\right]}{1 + \left(\frac{78,75}{35} - 1\right) \left(\frac{12}{50}\right)}$$

$$k = 1,339$$

$$I_{\text{balok}} = \frac{1}{12} \times k \times b \times h^3$$

$$I_{\text{pelat}} = \frac{t^3}{12} \times bs$$

$$I_{\text{balok}} = \frac{1}{12} \times 1,339 \times 35 \times 50^3$$

$$I_{\text{pelat}} = \frac{12^3}{12} \times 315$$

$$I_{\text{balok}} = 488177,1 \text{ cm}^4$$

$$I_{\text{pelat}} = 45360 \text{ cm}^4$$

$$\alpha_m = \frac{I_{\text{balok}}}{I_{\text{pelat}}} = \frac{488177,1}{45360} = 10.76$$

Jadi  $\alpha_m$  rata-rata adalah

$$\alpha_m = \frac{2x(29+10,76)}{4} = 14,88 > 2$$

Sehingga harus memenuhi persyaratan SNI 2847:2019 pasal 8.3.1.2:

$$h_{min} = \frac{\ln x \left(0,8 + \frac{fy}{1400}\right)}{36 + 9\beta}$$

$$= \frac{320 x \left(0,8 + \frac{420}{1400}\right)}{36 + 9(1)} = 7,7 \text{ cm}$$

*Preliminary* desain pelat lantai memenuhi persyaratan sehingga dipakai tebal pelat lantai 12 cm. Berikut merupakan rekapitulasi *preliminary* pelat lantai.

Tabel 4. 4 Rekapitulasi *Preliminary* Desain Pelat Lantai

Nama Pelat	Sn (mm)	Ln (mm)	$\beta$	Arah	t min (cm)	t rencana (cm)	Kontrol
SA	3150	3200	1,02	2	7,94	12	OK
SB	3150	3550	1,123	2	11,61	12	OK
SC	3150	4550	1,415	2	7,34	12	OK
SD	3550	4550	1,26	2	8,48	12	OK
SE	3150	3550	1,108	2	7,78	12	OK
SF	3600	3550	1,014	2	8,78	12	OK
SG	4500	22850	5,067	1	13,64	14	OK
SH	3500	22850	6,514	1	12,50	14	OK

#### 4.6 Perencanaan Kolom

Kolom yang direncanakan harus mampu memikul beban aksial terfaktor yang bekerja pada semua lantai atau atap dan

momen maksimum dari beban terfaktor pada satu bentang terdekat dari lantai atau atap yang ditinjau.

Kolom yang akan direncanakan memikul beban pada pelat SD dan SB ( $4 \text{ m} \times 3,6 \text{ m}$ ) dan SA ( $5 \text{ m} \times 4 \text{ m}$ ) dari setengah masing-masing luasan pelat yang diatasnya.

Direncanakan:

- o Tebal Pelat Lantai = 12 cm
- o Tebal Pelat Atap = 14 cm
- o Tinggi lantai basemen = 400 cm
- o Tinggi tiap lantai 1 = 400 cm
- o Tinggi lantai 2-13 = 360 cm
- o Tinggi lantai 14 = 500 cm

Pembebanan pada kolom berdasarkan SNI 1727:2013 untuk beban mati dan untuk beban hidup, yang diberikan di tiap lantai sebagai perencanaan pembebanan kolom. Untuk efisiensi dan keefektifan dimensi struktur dibuat beberapa variasi kolom. Diambil satu dimensi kolom yang berbeda setiap 5 tingkatnya.

Untuk beban hidup kolom diijinkan untuk beban hidup tereduksi berdasarkan SNI 1727:2013 pasal 4.8 dengan syarat komponen struktur yang memiliki KLL.AT  $\geq 37,16 \text{ m}^2$  dapat dihitung dengan cara sebagai berikut:

$$ATT = (6,1 \text{ m} \times 8 \text{ m}) = 48,8 \text{ m}^2$$

$$K_{LL} = 4$$

$$K_{LL} \times ATT = 4 \times 48,8 \text{ m}^2 = 195,2 \text{ m}^2 \geq 37,16 \text{ m}^2 (\text{OK})$$

- Reduksi beban hidup pelat lantai atap:

$$R_1 = 1,2 - (0,011 \times 48,8) = 0,66 \text{ (untuk } 18,58 \text{ m}^2 \geq AT \geq 55,74 \text{ m}^2)$$

$$R_2 = 1$$

$$Lo = 1 \text{ kN/m}^2$$

$$Lr = Lo \times R_1 \times R_2 = 0,66 \text{ kN/m}^2$$

$$\text{Syarat } 0,58 \leq Lr \leq 0,96$$

- Reduksi beban hidup pelat lantai kelas:

$$L_0 = 1,92 \text{ kN/m}^2$$

$$L = 1,92 (0.25 + \frac{4.57}{\sqrt{K_{LL} x A T}}) \geq 0.4 \times L_0$$

$$L = 1.92 (0.25 + \frac{4.57}{\sqrt{105^2}}) \geq 0.4 \times L_0$$

$$L = 1.108 \text{ kN/m}^2 > 0.77 \text{ kN/m}^2$$

Khusus perhitungan pembebanan pada kolom lantai atap – lantai 13, kolom yang ditinjau sebagai desain awal berbeda.

Tabel 4. 5 Beban Yang Diterima Kolom Lantai 10 – Atap

Tabel 1.5 Beban Yang Diterima Lantai Atap							
Beban Mati	Berat Sendiri	b	l	t	n Lantai	Berat	Satuan
	(kg/m <sup>3</sup> )	(m)	(m)	(m)			
Pelat Lantai Atap	2400	6,1	8	0,14	1	16396,8	kg
Plafon + Penggantung	18	6,1	8	-	1	878,4	kg
Spesi (2 cm)	42	6,1	8	-	1	2049,6	kg
Aspal	14	6,1	8	-	1	683,2	kg
Balok prategang	2400	0,5	8	1,2	1	11520	kg
Balok BI 45/65	2400	0,4	11,6	0,6	1	6681,6	kg
Balok BI 35/50	2400	0,35	7,2	0,5	1	3024	kg
Balok BA 35/50	2400	0,35	7,2	0,5	1	3024	kg
Balok BA 25/40	2400	0,25	7,2	0,4	1	1728	kg
Ducting + Plumbing	30	6,1	8	-	1	1464	kg
WD						47449,6	kg
Beban Hidup							
Lantai Atap	66,30	6,1	8	-	1	3235,44	kg
Air Hujan	20	6,1	8	-	1	976	kg
WL						4211,44	kg

Lantai 14-10							
Beban Mati	Berat Sendiri	b	l	t	Lantai	Berat	Satuan
	(kg/m <sup>3</sup> )	(m)	(m)	(m)			
Lantai Atap						47449,6	kg
Pelat Lantai	2400	6,1	8	0,12	5	70272	kg
Plafon + Penggantung	18	6,1	8	-	5	4392	kg
Tegel	24	6,1	8	-	5	5856	kg
Spesi (2 cm)	42	6,1	8	-	5	10248	kg
Dinding Batu Bata	250	10,1	-	3,6	5	45450	kg
Balok BI 45/65	2400	0,4	11,6	0,6	5	33408	kg
Balok BI 35/50	2400	0,35	7,2	0,5	5	15120	kg
Balok BA 35/50	2400	0,35	7,2	0,5	5	15120	kg
Balok BA 25/40	2400	0,25	7,2	0,4	5	8640	kg
Ducting + Plumbing	30	6,1	8	-	5	7320	kg
WD						263275,6	kg
Beban Hidup							
Lantai Atap						4211,44	kg
Lantai Kelas	110,8	6,1	8	-	5	27035,2	kg
WL						31246,64	kg
WL Total						263275,6	kg
WL Total						31246,64	kg

Jadi berat total yang diterima kolom yang ditinjau:

$$\begin{aligned} W &= (1,2 \text{ DL} + 1,6 \text{ LL}) \\ &= 365925,344 \text{ kg} \end{aligned}$$

$$\begin{aligned} \text{Mutu Beton} &= 40 \text{ MPa} \\ &= 400 \text{ Kg/cm}^2 \quad (1 \text{ MPa} = 10 \text{ Kg/cm}^2) \end{aligned}$$

$$\text{Dimensi: A} = 3 \times W/f_c' = 3 \times (365925,344/400) = 2744,4 \text{ cm}^2$$

Direncanakan:

$$\begin{aligned} b &= h \\ &= \sqrt{2744,44} = 52,38 \text{ cm} \approx 60 \text{ cm} \end{aligned}$$

Jadi dimensi kolom yang digunakan untuk lantai atap – lantai 10 adalah 60/60 cm.

Tabel 4. 6 Beban Yang Diterima Kolom Lantai 9-5

Pelat Lantai 9-5							
Beban Mati	Berat Sendiri	b	l	t	Lantai	Berat	Satuan
	(kg/m <sup>3</sup> )	(m)	(m)	(m)			
Lantai Atap						47449,6	kg
Pelat Lantai	2400	6,1	8	0,12	10	140544	kg
Plafon + Penggantung	18	6,1	8	-	10	8784	kg
Tegel	24	6,1	8	-	10	11712	kg
Spesi (2 cm)	42	6,1	8	-	10	20496	kg
Dinding Batu Bata	250	10,1	-	3,6	10	90900	kg
Balok BI 45/65	2400	0,4	11,6	0,6	10	66816	kg
Balok BI 35/50	2400	0,35	7,2	0,5	10	30240	kg
Balok BA 35/50	2400	0,35	7,2	0,5	10	30240	kg
Balok BA 25/40	2400	0,25	7,2	0,4	10	17280	kg
Ducting + Plumbing	30	6,1	8	-	10	14640	kg
WD						479101,6	kg
Beban Hidup							
Lantai Atap						4211,44	
Lantai Kelas	110,8	6,1	8	-	10	54070,4	kg
WL						58281,84	kg
WD Total						479101,6	kg
WL Total						58281,84	kg

Jadi berat total yang diterima kolom yang ditinjau:

$$W = (1,2 \text{ DL} + 1,6 \text{ LL})$$

$$= 668172,864 \text{ kg}$$

$$\begin{aligned} \text{Mutu Beton} &= 40 \text{ MPa} \\ &= 400 \text{ Kg/cm}^2 \quad (1 \text{ MPa} = 10 \text{ Kg/cm}^2) \end{aligned}$$

$$\text{Dimensi: } A = 3 \times W/f_c' = 3 \times (668172,864 / 400) = 5011,29 \text{ cm}^2$$

Direncanakan:

$$b = h$$

$$= \sqrt{5011,29} = 70,79 \text{ cm} \approx 75 \text{ cm}$$

Jadi dimensi kolom yang digunakan untuk lantai atap – lantai 10 adalah 75/75 cm.

Tabel 4. 7 Beban Yang Diterima Kolom Lantai 4-1

Pelat Lantai 4-Basemen							
Beban Mati	Berat Sendiri (kg/m <sup>3</sup> )	b (m)	l (m)	t (m)	Lantai	Berat	Satuan
Lantai Atap						47449,6	kg
Pelat Lantai	2400	6,1	8	0,12	14	196761,6	kg
Plafon + Penggantung	18	6,1	8	-	14	12297,6	kg
Tegel	24	6,1	8	-	14	16396,8	kg
Spesi (2 cm)	42	6,1	8	-	14	28694,4	kg
Dinding Batu Bata	250	10,1	-	3,6	14	127260	kg
Balok BI 45/65	2400	0,4	11,6	0,6	14	93542,4	kg
Balok BI 35/50	2400	0,35	7,2	0,5	14	42336	kg
Balok BA 35/50	2400	0,35	7,2	0,5	14	42336	kg
Balok BA 25/40	2400	0,25	7,2	0,4	14	24192	kg
Ducting + Plumbing	30	6,1	8	-	14	20496	kg
WD						651762,4	kg
Beban Hidup							
Lantai Atap						4211,44	
Lantai Kelas	110,8	6,1	8	-	14	75698,56	kg
WL						79910	kg
WD Total						651762,4	kg
WL Total						79910	kg

Jadi berat total yang diterima kolom yang ditinjau:

$$\begin{aligned} W &= (1,2 \text{ DL} + 1,6 \text{ LL}) \\ &= 909970,88 \text{ kg} \end{aligned}$$

$$\begin{aligned} \text{Mutu Beton} &= 40 \text{ MPa} \\ &= 400 \text{ Kg/cm}^2 (1 \text{ MPa} = 10 \text{ Kg/cm}^2) \end{aligned}$$

$$\text{Dimensi: A} = 3 \times W/f_c' = 3 \times (909970,88/400) = 6824,78 \text{ cm}^2$$

Direncanakan:

$$\begin{aligned} b &= h \\ &= \sqrt{6824,78} = 82,61 \text{ cm} \approx 90 \text{ cm} \end{aligned}$$

Jadi dimensi kolom yang digunakan untuk lantai atap – lantai 10 adalah 90/90 cm.

Dengan perhitungan tersebut, berikut rekapitulasi dimensi kolom yang digunakan untuk awal perencanaan:

- Kolom K4 lantai atap : 60/60 cm
- Kolom K3 lantai 13 – 10 : 60/60 cm
- Kolom K2 lantai 9 – 5 : 75/75 cm
- Kolom K1 lantai 4 – basemen : 90/90 cm

#### 4.7 Perencanaan Dinding Geser

Menurut SNI 2847:2019 pasal 11.3.1.1, ketebalan dinding pendukung tidak boleh kurang dari  $1/25$  tinggi atau panjang bentang tertumpu, yang lebih pendek atau kurang dari 100 mm.

Direncanakan:

- Tebal rencana dinding geser = 40 cm
  - Panjang bentang = 720 cm
  - Tinggi lantai = 500 cm
- $$40 \text{ cm} \geq H / 25 = 500/25 = 20 \text{ cm (OK)}$$
- $$40 \text{ cm} \geq L / 25 = 720/25 = 28,8 \text{ cm (OK)}$$

Jadi, tebal *shear wall* sebesar 40 cm telah memenuhi syarat 2847:2019 pasal 11.3.1.1.

*“Halaman ini sengaja dikosongkan”*

## **BAB V**

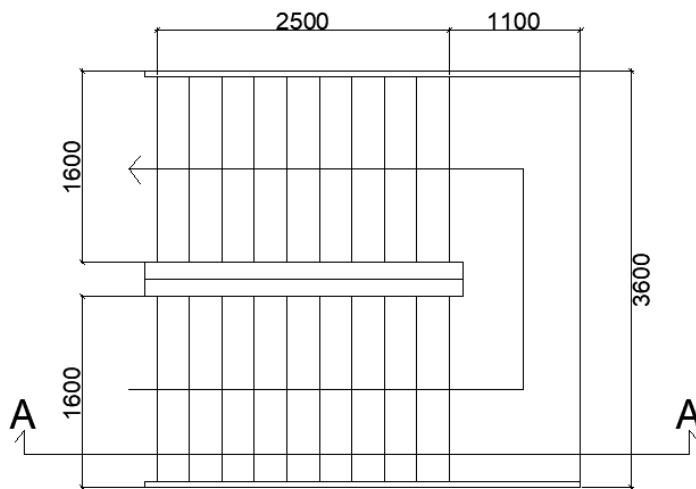
### **PERENCANAAN STRUKTUR SEKUNDER**

#### **5.1 Perencanaan Tangga**

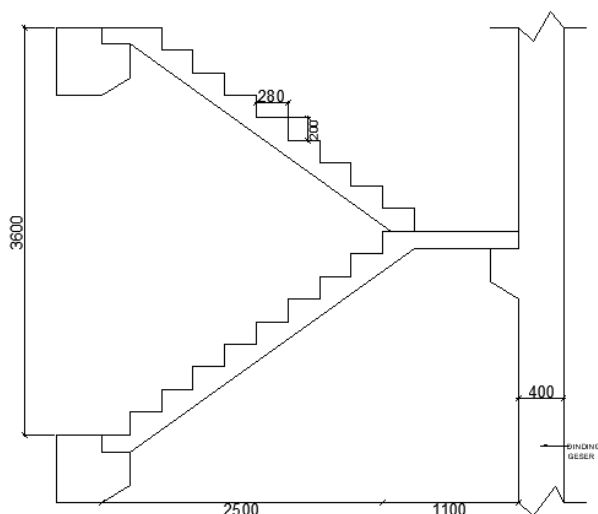
Pada perencanaan struktur tangga pada gedung Fakultas Kedokteran Universitas Udayana, tangga dimodelkan dengan tumpuan sendi-roll. Perletakan sendi-roll diletakkan pada ujung bordes dan sisi samping anak tangga. Contoh perhitungan menggunakan tangga dengan tinggi 3,6 m.

##### **5.1.1 Perencanaan Tangga Tipe A**

- Tinggi lantai : 360 cm
- Tinggi tanjakan (t) : 20 cm
- Lebar injakan (i) : 28 cm
- Tebal pelat tangga : 15 cm
- Tebal pelat bordes : 15 cm
- Elevasi bordes : 180 cm
- Lebar bordes : 360 cm
- Panjang bordes : 110 cm
- Lebar tangga : 160 cm
- Panjang horizontal tangga : 250 cm
- Kemiringan tangga ( $\alpha$ ) :  $\text{arc tan} \left( \frac{180}{250} \right) = 35,75^0$
- Panjang total : 360 cm
  
- Cek Syarat  
 $25^0 \leq \alpha \leq 40^0$   
 $25^0 \leq 35,75^0 \leq 40^0$  (OK)
- Tebal pelat anak tangga rata-rata (tr a)  
 $i = \frac{28}{2}$   
 $\frac{1}{2} x \sin \alpha = \frac{28}{2} x \sin 35,75 = 8 \text{ cm}$
- Tebal Pelat rata-rata  
 $Tr = 15 + 8 = 23 \text{ cm}$



Gambar 5. 1 Ilustrasi Tampak Atas Tangga



Gambar 5. 2 Ilustrasi Tampak Samping Tangga

### A. Pembebanan Tangga dan Pelat Bordes

- o Pembebanan Pada Plat Tangga

Beban Mati

Pelat tangga + injakan	:	0,23 x 2400	= 552 kg/m <sup>2</sup>
Tegel (t=1)	:	24 x 1	= 24 kg/m <sup>2</sup>
Spesi (t=2)	:	21 x 2	= 42 kg/m <sup>2</sup>
Sandaran/railing	:		30 kg/m <sup>2</sup>
qD	:		<hr/> 648 kg/m <sup>2</sup>

Beban Hidup

$$qL : 479 \text{ Kg/m}^2$$

Kombinasi Beban

$$\begin{aligned} qU1 &= \frac{1,2qD + 1,6qL}{\cos(35,75)} \\ &= 1902,5 \text{ Kg/m}^2 \end{aligned}$$

- o Pembebanan Pada Plat Bordes

Beban Mati

Pelat tangga	:	2400 x 0,15	= 360 kg/m <sup>2</sup>
Tegel (t=1)	:	24 x 1	= 24 kg/m <sup>2</sup>
Spesi (t=2)	:	21 x 2	= 42 kg/m <sup>2</sup>
qd	:		<hr/> 426 kg/m <sup>2</sup>

Beban Hidup

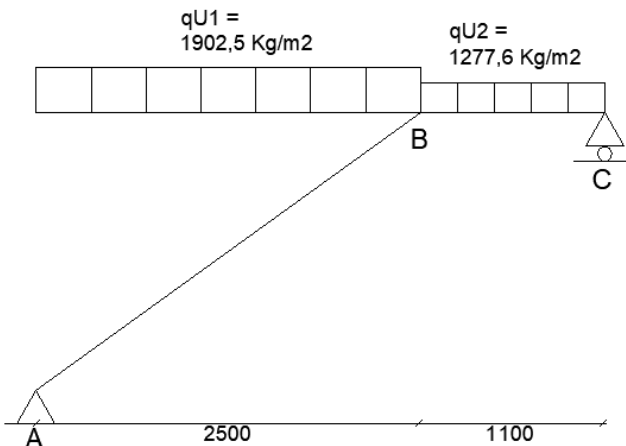
$$qL : 479 \text{ Kg/m}^2$$

Kombinasi Beban

$$\begin{aligned} qU2 &= 1,2qD + 1,6qL \\ &= 1277,6 \text{ Kg/m}^2 \end{aligned}$$

### B. Pembebanan Gaya pada Tangga

Pada proses analisa struktur tangga, perhitungan dengan menggunakan mekanika teknik statis dengan permisalan sendi-rol (Gambar 5.3) , dengan pembebanan tangga dan output seperti pada.



Gambar 5. 3 Pembebatan Tangga

Perhitungan Reaksi pada Tangga

$$\sum H = 0 \rightarrow H_A = 0$$

$$\sum M_A = 0$$

$$R_c \times 3,6 - \{(1277,6 \times 1,1)((0,5 \times 1,1) + 2,5)\} - \{(1902,5 \times 2,5)(0,5 \times 2,5)\} = 0$$

$$R_c = 2842,13 \text{ kg} \quad \uparrow$$

$$\sum M_C = 0$$

$$R_a \times 3,6 - \{(1902,5 \times 2,5)((0,5 \times 2,5) + 1,1)\} - \{(1277,6 \times 1,1)(0,5 \times 1,1)\} = 0$$

$$R_a = 3319,5 \text{ kg} \quad \uparrow$$

Kontrol:

$$\sum V = 0$$

$$2842,13 + 3319,5 - (1902,5 \times 2,5) - (1277,6 \times 1,1) = 0 \quad (\text{OK})$$

### Perhitungan Gaya dalam pada Tangga

#### Pada Bordes ( $0 < x < 1,1 \text{ m}$ )

##### Gaya Normal

$$N = 0 \text{ kg}$$

##### Gaya Lintang

$$x = 0 \text{ m}$$

$$\begin{aligned} Dc &= -Rc + qU_2 \cdot x \\ &= -2842,13 \text{ kg} \end{aligned}$$

$$x = 1,1 \text{ m}$$

$$\begin{aligned} Db_{kn} &= -Rc + qU_2 \cdot x \\ &= -2842,13 + 1277,6 \cdot 1,1 \\ &= -1436,77 \text{ kg} \end{aligned}$$

##### Gaya Momen

$$x = 0 \text{ m}$$

$$\begin{aligned} Mc &= Rc \cdot x - 0,5 \cdot qU_2 \cdot x^2 \\ &= 0 \text{ kgm} \end{aligned}$$

$$x = 1,35 \text{ m}$$

$$\begin{aligned} Mb_{kn} &= Rc \cdot x - 0,5 \cdot qU_2 \cdot x^2 \\ &= 2842,13 \cdot 1,1 - 0,5 \cdot 1277,6 \cdot 1,1^2 \\ &= 2353,4 \text{ kgm} \end{aligned}$$

#### Pada Tangga ( $0 < x < 2,5 \text{ m}$ )

##### Gaya Normal

$$x = 0 \text{ m}$$

$$\begin{aligned} Na &= -Ra \cdot \sin \alpha + q_{U1} \cdot \sin \alpha \cdot x \\ &= -3319,5 \cdot \sin(35,75^\circ) \\ &= -1939,4 \text{ kg} \end{aligned}$$

$$X = 2,8 \text{ m}$$

$$\begin{aligned} Nb_{kr} &= -Ra \cdot \sin \alpha + q_{U1} \cdot \sin \alpha \cdot x \\ &= -3319,5 \sin(35,75^\circ) + 1902,5 \cdot \sin(35,75^\circ) \cdot 2,5 \\ &= 839,4 \text{ kg} \end{aligned}$$

### Gaya Lintang

$$x = 0 \text{ m}$$

$$\begin{aligned} Da &= Ra \cdot \cos \alpha + qU_1 \cdot x \cdot \cos \alpha \\ &= 3319,5 \cdot \cos(35,75) \\ &= 2694 \text{ kg} \end{aligned}$$

$$x = 2,5 \text{ m}$$

$$\begin{aligned} Db_{kr} &= -Ra \cdot \cos \alpha + qU_1 \cdot x \cdot \cos \alpha \\ &= -3319,5 \cdot \cos 35,75 + 1902,5 \cdot 2,5 \cdot \cos(35,75) \\ &= -1166 \text{ kg} \end{aligned}$$

### Gaya Momen

$$x = 0 \text{ m}$$

$$\begin{aligned} Ma &= Ra \cdot x - 0,5 \cdot qU_1 \cdot x^2 \\ &= 0 \text{ kgm} \end{aligned}$$

$$x = 2,8 \text{ m}$$

$$\begin{aligned} Mb_{kr} &= Ra \cdot x - 0,5 \cdot qU_1 \cdot x^2 \\ &= 3319,5 \cdot 2,5 - 0,5 \cdot 1902,5 \cdot 2,5^2 \\ &= 2353,44 \text{ kgm} \end{aligned}$$

Pada tangga momen maksimum terjadi pada saat:

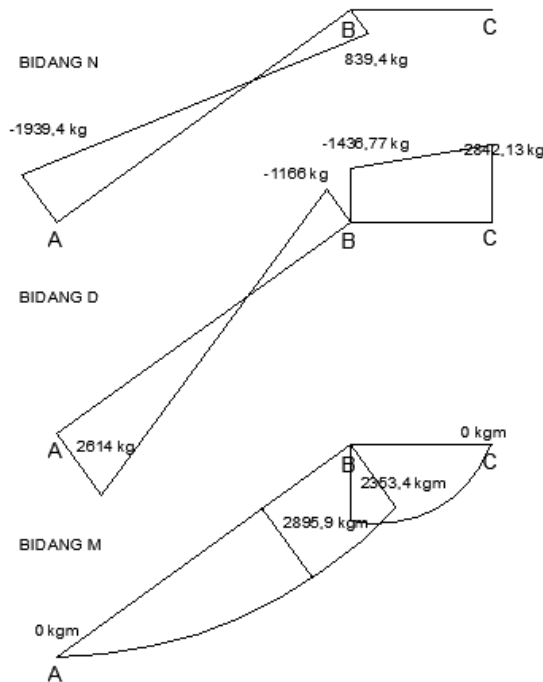
$$Dx = 0$$

$$Ra - qU_1 \cdot x = 0$$

$$\begin{aligned} x &= Ra / qU_1 \\ &= 3319,5 / 1902,5 \\ &= 1,75 \text{ m} \end{aligned}$$

$$\begin{aligned} Mx &= Ra \cdot x - 0,5 \cdot qU_1 \cdot x^2 \\ &= 3319,5 \cdot 1,75 - 0,5 \cdot 1902,5 \cdot 1,75^2 \\ &= 2895,9 \text{ kgm} \end{aligned}$$

Berikut merupakan diagram bidang N, D, dan M dari hasil perhitungan gaya dalam struktur tangga di atas dapat dilihat pada Gambar 5.4.



Gambar 5. 4 Bidang N,D,M Tangga

### C. Perhitungan Tulangan Tangga

#### 1. Pelat Tangga

- Data Perencanaan Penulangan Tangga
  - $f'_c$  : 40 MPa
  - $f_y$  : 420 MPa
  - Tulangan (D) : D13
  - D :  $t_{\text{pelat}} - \text{cover} - (D/2)$   
:  $150 - 20 - (13/2)$   
: 123,5 mm
  - $\rho_{\min}$  :  $0,0018 \times 420/f_y$   
: 0,0018

$$\begin{aligned}\beta_1 &: 0,85 - 0,05 \frac{(Fc'-28)}{7} \\ &: 0,85 - 0,05 \frac{(40-28)}{7} \\ &: 0,764 \\ m &: \frac{fy}{0,85 \times 40} = \frac{420}{0,85 \times 40} = 12,35\end{aligned}$$

o Penulangan Lentur

$$\begin{aligned}Mu &= 2895,9 \text{ kgm} \\ Rn &= \frac{Mu}{\phi bd^2} = \frac{2895,9 \times 10^4}{0,9 \times 1000 \times 123,5^2} = 2,11 \text{ N/mm}^2\end{aligned}$$

$$\begin{aligned}\rho &= \frac{1}{m} \left(1 - \sqrt{1 - \frac{2 \times m \times Rn}{fy}}\right) \\ &= \frac{1}{12,35} \left(1 - \sqrt{1 - \frac{2 \times 12,35 \times 2,11}{420}}\right) \\ &= 0,0052 (>\rho_{\min})\end{aligned}$$

$$\rho_{\text{pakai}} = 0,0052$$

$$\begin{aligned}As \text{ perlu} &= \rho_{\text{pakai}} \times b \times d \\ &= 0,0052 \times 1000 \times 123,5 \\ &= 640,8 \text{ mm}^2\end{aligned}$$

$$\begin{aligned}As(D13) &= \frac{1}{4} \times \pi \times D^2 \\ &= \frac{1}{4} \times \pi \times 13^2 \\ &= 132,73 \text{ mm}^2\end{aligned}$$

$$\begin{aligned}n_{\text{tulangan}} &= \frac{As \text{ perlu}}{As(D13)} \\ &= \frac{640,8 \text{ mm}^2}{132,73 \text{ mm}^2} \\ &= 4,8 \text{ buah}\end{aligned}$$

$$\begin{aligned}&\approx 5 \text{ buah} \\ S &= \frac{1000}{5} = 200 \text{ mm}\end{aligned}$$

**Sehingga digunakan tulangan lentur D13-200 mm**

o Penulangan Pembagi

$$q = 0,0018$$

$$As \text{ perlu} = \rho_{\text{pakai}} \times b \times d$$

$$= 0,0018 \times 1000 \times 125 \\ = 245 \text{ mm}^2$$

$$\text{As (D10)} = \frac{1}{4} \pi \times D^2 \\ = \frac{1}{4} \pi \times 10^2 \\ = 78,5 \text{ mm}^2$$

$$n_{\text{tulangan}} = \frac{\text{As perlu}}{\text{As (D13)}} \\ = \frac{245 \text{ mm}^2}{78,5 \text{ mm}^2} \\ = 3,1 \text{ buah}$$

$$S = \frac{1000}{4} = 250 \text{ mm}$$

**Sehingga digunakan Tulangan Pembagi D10-250 mm**

- Penulangan Geser

Syarat:

$$V_u \leq 0,5 \times \phi \times V_c \text{ (tidak membutuhkan tulangan geser)}$$

$$V_c = \frac{1}{6} \times \sqrt{f c'} \times b w \times d$$

$$V_c = \frac{1}{6} \times \sqrt{40} \times 1000 \times 123,5 = 112739,6 \text{ N}$$

$$0,5 \times \phi \times V_c = 0,5 \times 0,75 \times 11273,6 \text{ N} \\ = 42277,3 \text{ N}$$

$$V_u = 2842 \text{ kg} = 28420 \text{ N}$$

$$28420 \text{ N} < 42277,3 \text{ N}$$

**Sehingga tidak membutuhkan perkuatan geser**

- Penulangan Susut

$$q = 0,0018$$

$$\text{As perlu} = \rho_{\text{pakai}} \times b \times d \\ = 0,0018 \times 1000 \times 125 \\ = 245 \text{ mm}^2$$

$$\text{As (D10)} = \frac{1}{4} \pi \times D^2 \\ = \frac{1}{4} \pi \times 10^2 \\ = 78,5 \text{ mm}^2$$

$$\begin{aligned}
 n_{\text{tulangan}} &= \frac{\text{As perlu}}{\text{As (D13)}} \\
 &= \frac{245 \text{ mm}^2}{78,5 \text{ mm}^2} \\
 &= 3,1 \text{ buah} \\
 &\approx 4 \text{ buah} \\
 S &= \frac{1000}{4} = 250 \text{ mm}
 \end{aligned}$$

**Sehingga digunakan Tulangan Susut D10-250 mm**

## 2. Pelat Bordes

- Data Perencanaan Penulangan Bordes

$$\begin{aligned}
 f_c' &: 40 \text{ MPa} \\
 f_y &: 420 \text{ MPa} \\
 \text{Tulangan (D)} &: \text{D13} \\
 D &: t_{\text{pelat}} - \text{cover} - (D/2) \\
 &: 150 - 20 - (13/2) \\
 &: 123,5 \text{ mm} \\
 \rho_{\min} &: 0,0018 \times 420/f_y \\
 &: 0,0018 \\
 \beta_1 &: 0,85 - 0,05 \frac{(f_{ct'}-28)}{7} \\
 &: 0,85 - 0,05 \frac{(40-28)}{7} \\
 &: 0,764 \\
 m &: \frac{f_y}{0,85 \times 40} = \frac{420}{0,85 \times 40} = 12,35
 \end{aligned}$$

- Penulangan Lentur

$$\begin{aligned}
 M_u &= 2353,4 \text{ kNm} \\
 R_n &= \frac{M_u}{\phi b d^2} = \frac{2353,4 \times 10^4}{0,9 \times 1000 \times 123,5^2} = 1,71 \text{ N/mm}^2 \\
 \rho &= \frac{1}{m} \left( 1 - \sqrt{1 - \frac{2 \times m \times R_n}{f_y}} \right) \\
 &= \frac{1}{12,35} \left( 1 - \sqrt{1 - \frac{2 \times 12,35 \times 1,71}{420}} \right) \\
 &= 0,0042 (> \rho_{\min}) \\
 \rho_{\text{pakai}} &= 0,0042
 \end{aligned}$$

$$\begin{aligned} \text{As perlu} &= \rho_{\text{pakai}} \times b \times d \\ &= 0,0042 \times 1000 \times 123,5 \\ &= 518 \text{ mm}^2 \end{aligned}$$

$$\begin{aligned} \text{As (D13)} &= \frac{1}{4} \pi \times D^2 \\ &= \frac{1}{4} \pi \times 13^2 \\ &= 132,73 \text{ mm}^2 \end{aligned}$$

$$\begin{aligned} n_{\text{tulangan}} &= \frac{\text{As perlu}}{\text{As (D13)}} \\ &= \frac{518 \text{ mm}^2}{132,73 \text{ mm}^2} \\ &= 4,1 \text{ buah} \\ &\approx 5 \text{ buah} \end{aligned}$$

$$S = \frac{1000}{5} = 200 \text{ mm}$$

**Sehingga digunakan Tulangan Lentur D13-200 mm**

- Penulangan Pembagi

$$q = 0,0018$$

$$\begin{aligned} \text{As perlu} &= \rho_{\text{pakai}} \times b \times d \\ &= 0,0018 \times 1000 \times 125 \\ &= 245 \text{ mm}^2 \end{aligned}$$

$$\begin{aligned} \text{As (D10)} &= \frac{1}{4} \pi \times D^2 \\ &= \frac{1}{4} \pi \times 10^2 \\ &= 78,5 \text{ mm}^2 \end{aligned}$$

$$\begin{aligned} n_{\text{tulangan}} &= \frac{\text{As perlu}}{\text{As (D13)}} \\ &= \frac{245 \text{ mm}^2}{78,5 \text{ mm}^2} \\ &= 3,1 \text{ buah} \\ &\approx 4 \text{ buah} \end{aligned}$$

$$S = \frac{1000}{4} = 250 \text{ mm}$$

**Sehingga digunakan Tulangan Pembagi D10-250 mm**

- Penulangan Geser

Syarat:

$V_u \leq 0,5 \times \phi \times V_c$  (tidak membutuhkan tulangan geser)

$$V_c = \frac{1}{6} \times \sqrt{f c'} \times b w \times d$$

$$V_c = \frac{1}{6} \times \sqrt{40} \times 1000 \times 123,5 = 112739,6 \text{ N}$$

$$0,5 \times \phi \times V_c = 0,5 \times 0,75 \times 11273,6 \text{ N} \\ = 42277,3 \text{ N}$$

$$V_u = 2614 \text{ kg} = 26140 \text{ N}$$

$$26140 \text{ N} < 42277,3 \text{ N}$$

**Sehingga tidak membutuhkan perkuatan geser**

- Penulangan Susut

$$q = 0,0018$$

$$\text{As perlu} = \rho_{\text{pakai}} \times b \times d \\ = 0,0018 \times 1000 \times 125 \\ = 245 \text{ mm}^2$$

$$\text{As (D10)} = \frac{1}{4} \times \pi \times D^2 \\ = \frac{1}{4} \times \pi \times 10^2 \\ = 78,5 \text{ mm}^2$$

$$n_{\text{tulangan}} = \frac{\text{As perlu}}{\text{As (D13)}} \\ = \frac{245 \text{ mm}^2}{78,5 \text{ mm}^2} \\ = 3,1 \text{ buah}$$

$\approx 4 \text{ buah}$

$$S = \frac{1000}{4} = 250 \text{ mm}$$

**Sehingga digunakan Tulangan Susut D10-250 mm**

Berikut adalah rekapitulas penulangan tangga:

Tabel 5. 1 Rekapitulasi Penulangan Tangga

Bagian Tangga	Tulangan		
	Lentur	Pembagi	Susut
Pelat Tangga	D13-200	D10-250	D10-250
Pelat Bordes	D13-200	D10-250	D10-250

## 5.2 Perencanaan Pelat

Pelat yang direncanakan adalah pelat cor in situ yang agar pekerjaan dapat lebih mudah dilaksanakan. Pelat pada gedung ini dibagi menjadi tiga yaitu pelat atap, pelat lantai dan pelat basemen.

### 5.2.1 Data Perencanaan Pelat

Data perencanaan pelat meliputi mutu bahan dan tulangan yang akan direncanakan, dimensi dan pembebanan yang terjadi di area pelat baik untuk pelat atap ataupun pelat lantai. Mutu bahan yang digunakan untuk perencanaan pelat sesuai dengan *preliminary* desain sebagai berikut:

- Mutu beton	= 40 MPa
- Mutu baja	= 420 MPa
- Tebal pelat lantai	= 12 cm
- Tebal pelat atap	= 14 cm
- Tebal pelat basemen	= 30 cm
- Tebal selimut di atap ( $d'$ )	= 20 mm
- Tebal selimut di lantai ( $d'$ )	= 20 mm
- Diameter tulangan rencana	= 10 mm

### 5.2.2 Pembebanan Pelat

Pembebanan pada pelat dibagi menjadi dua yaitu pembebanan pada pelat atap dan pembebanan pada pelat lantai. Hal ini dikarenakan beban yang bekerja pada pelat atap berbeda dari pelat lantai. Oleh karena itu perhitungan pembebanan dan penulangan dibedakan.

#### 1. Pelat Atap

Beban yang bekerja pada pelat atap terdiri dari 2 jenis beban, yaitu beban mati ( $qD$ ) dan beban hidup ( $qL$ ).

- o Beban Mati:

Pelat atap	= 0,14 x 2400	= 336 kg/m <sup>2</sup>
Penggantung		= 7 kg/m <sup>2</sup>
Plafond		= 11 kg/m <sup>2</sup>
Spesi ( $t = 2$ cm) = 21 x 2		= 42 kg/m <sup>2</sup>
Aspal ( $t = 1$ cm)		= 14 kg/m <sup>2</sup>
<u>Plumbing &amp; Ducting</u>		= 15 kg/m <sup>2</sup> +

$$qDT = 425 \text{ kg/m}^2$$

- Beban Hidup
 

Lantai atap	$= 96 \text{ kg/m}^2$
<u>Air Hujan</u>	$= 20 \text{ kg/m}^2 +$
qLT	$= 116 \text{ kg/m}^2$
- Kombinasi       $= 1,2 qDT + 1,6 qLT$   
 $= (1,2 \times 425 \text{ kg/m}^2) + (1,6 \times 116 \text{ kg/m}^2)$   
 $= 695,6 \text{ kg/m}^2$

## 2. Pelat Lantai

Beban yang bekerja pada pelat lantai juga terdiri dari 2 jenis beban, yaitu beban mati ( $qD$ ) dan beban hidup ( $qL$ ). Pelat lantai menerima beban hidup berupa beban ruang kamar dan ruang *ballroom*.

- Beban Mati
 

Pelat lantai	$= 0,12 \times 2400 = 288 \text{ kg/m}^2$
Penggantung	$= 7 \text{ kg/m}^2$
Plafond	$= 11 \text{ kg/m}^2$
Spesi ( $t = 2 \text{ cm}$ )	$= 21 \times 2 = 42 \text{ kg/m}^2$
Tegel ( $t = 1 \text{ cm}$ )	$= 24 \text{ kg/m}^2$
<u>Ducting &amp; Plumbing</u>	$= 30 \text{ kg/m}^2 +$
qDT	$= 402 \text{ kg/m}^2$
- Beban Hidup
 

Lantai Kelas:	$qLT = 192 \text{ kg/m}^2$
Lantai <i>ballroom</i> :	$qLT = 479 \text{ kg/m}^2$
- Kombinasi
 

Lantai kamar	$= 1,2 qDT + 1,6 qLT$
	$= 789,6 \text{ kg/m}^2$
Lantai <i>ballroom</i>	$= 1,2 qDT + 1,6 qLT$
	$= 1248,8 \text{ kg/m}^2$

### 3. Pelat Basemen

Beban yang bekerja pada pelat basemen juga terdiri dari 2 jenis beban, yaitu beban mati ( $q_D$ ) dan beban hidup ( $q_L$ ). Pada pelat dasar *basemen* terdapat 2 kondisi maksimum yang terjadi yaitu pada saat musim kemarau yang menyebabkan muka air tanah dibawah elevasi *basemen* serta terdapat kendaraan yang parkir sehingga gaya yang terjadi yaitu akibat beban parkir kendaraan serta pada saat musim hujan terjadi dan tidak ada kendaraan yang parkir sehingga gaya yang terjadi yaitu uplift akibat air.

#### Akibat beban parkir

- Beban Mati
 

Pelat basemen	= $0.3 \times 2400$	= $720 \text{ kg/m}^2$
Spesi ( $t = 2 \text{ cm}$ )	= $21 \times 1$	= $21 \text{ kg/m}^2$
$q_{DT}$		= $741 \text{ kg/m}^2$
- Beban Hidup
 

$q_{LT}$	= $800 \text{ kg/m}^2$ (Lantai Basemen)
----------	---
- Kombinasi
 

Lantai basemen	= $1,2 q_{DT} + 1,6 q_{LT}$
	= $2169,2 \text{ kg/m}^2$

#### Akibat beban uplift

- Beban Mati
 

Beban uplift air	
Elevasi Muka Air Tanah = 0 m	
Elevasi Basemen	= -4 m
Beban uplift	= $-4 \times 1000 \text{ kg/m}^3$
	= $-4000 \text{ kg/m}^2$

#### 5.2.3 Perhitungan Tulangan Pelat

##### 1. Pelat Lantai

Perhitungan pelat terdiri dari berbagai tipe yaitu tipe pelat SA, SB, SC, SD, SE, SF, SG dan SH. Selanjutnya akan ditampilkan contoh perhitungan penulangan pada pelat lantai

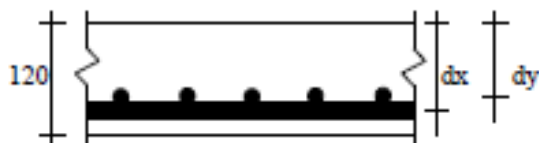
tipe SA dengan dimensi total adalah 3,6 x 3,6 m. Berikut ini merupakan contoh penulangan pada pelat tipe SA.

#### A. Data Perencanaan Pelat Lantai Tipe SA



Gambar 5. 5 Tampak Atas Pelat Lantai Tipe A

Dimensi pelat	: 3600 mm x 3600 mm
Tebal pelat (t)	: 120 mm
Selimut beton	: 20 mm
Rencana Diameter tul. Arah X	: D10
Rencana Diameter tul. Arah Y	: D10



Gambar 5. 6 Ilustrasi Potongan Pelat Rencana

dx	: $t_{pelat} - \text{cover} - (D_{tul.bawah}/2)$
	: $120 - 20 - (10/2)$
	: 95 mm
dy	: $t_{pelat} - \text{cover} - D_{tul.bawah} - (D_{tul.atas}/2)$
	: $120 - 20 - 10 - (10/2)$
	: 85 mm
$\rho_{\min}$	: $0,0018 \times 420/f_y$
	: 0,0018

$$\begin{aligned}
 \beta_1 &: 0,85 - 0,05 \frac{(Fc' - 28)}{7} \\
 &: 0,85 - 0,05 \frac{(40 - 28)}{7} \\
 &: 0,764 \\
 m &: \frac{fy}{0,85 \times fc'} = \frac{420}{0,85 \times 40} = 12,35 \\
 Ly &: 360 - \left( \frac{45+45}{2} \right) = 315 \text{ cm} \\
 Lx &: 360 - \left( \frac{45+35}{2} \right) = 320 \text{ cm} \\
 \beta &: \frac{Lx}{Ly} = \frac{320}{315} = 1,02 < 2 \text{ (2 arah)} \\
 qu &: 789,6 \text{ kg/m}^2
 \end{aligned}$$

Berdasarkan SNI 2847:2019 pasal 8.10.4 didapat persamaan momen sebagai berikut:

- o Arah X (Terkekang penuh)

$$\begin{aligned}
 M_{0x} &= \frac{1}{8} x qu x ly x Lx^2 \\
 &= \frac{1}{8} x 789,6 x 3,15 / 3,9 x 3,2^2 \\
 &= 808,35 \text{ kgm}
 \end{aligned}$$

$$\begin{aligned}
 M_{ux} \text{ Lajur kolom} &= 0,75 x 0,65 x M_{0x} \\
 &= 396,1 \text{ kgm}
 \end{aligned}$$

$$\begin{aligned}
 M_{ux} \text{ Lajur Tengah} &= 0,25 x 0,65 x M_{0x} \\
 &= 129,34 \text{ kgm}
 \end{aligned}$$

- o Arah Y (Terkekang penuh)

$$\begin{aligned}
 M_{0y} &= \frac{1}{8} x qu x lx x Ly^2 \\
 &= \frac{1}{8} x 789,6 x 3,2 / 4,1 x 3,15^2 \\
 &= 771,24 \text{ kgm}
 \end{aligned}$$

$$\begin{aligned}
 M_{uy} \text{ Lajur kolom} &= 0,75 x 0,65 x M_{0y} \\
 &= 377,9 \text{ kgm}
 \end{aligned}$$

$$\begin{aligned}
 M_{uy} \text{ Lajur Tengah} &= 0,25 x 0,65 x M_{0y} \\
 &= 123,4 \text{ kgm}
 \end{aligned}$$

## B. Perhitungan Penulangan Arah X Lajur Kolom:

- $M_u = 396,1 \text{ kgm} = 3961000 \text{ Nmm}$
  - $R_n = \frac{M_u}{\phi b d^2} = \frac{1293400}{0.9 \times 1000 \times 95^2} = 0,16 \text{ N/mm}^2$
  - $\rho = \frac{1}{m} \left(1 - \sqrt{1 - \frac{2 \times m \times R_n}{f_y}}\right)$   
 $= \frac{1}{12,35} \left(1 - \sqrt{1 - \frac{2 \times 12,35 \times 0,16}{420}}\right)$   
 $= 0,00038 < \rho_{\min} = 0,0018$
  - Maka dipakai  $\rho_{\text{pakai}} = 0,0018$
  - As perlu =  $\rho \cdot b \cdot d$   
 $= 0,0018 \times 1000 \times 95 = 171 \text{ mm}^2$
  - $S_{\max} = 450 \text{ mm (SNI 2847:2019)}$
  - Jumlah tulangan =  $\frac{\text{As perlu}}{\frac{1}{4} \pi \times D^2 \times 2}$   
 $= \frac{171}{\frac{1}{4} \pi \times 10^2} = 3,2 = 4 \text{ (per meter)}$
  - Jarak tulangan (s) =  $1000/n = 1000/4 = 250 \text{ mm}$
  - As pasang =  $n \times \text{As} = 4 \times 78,5 = 314 \text{ mm}^2 > \text{As perlu}$
- Jadi digunakan tulangan lentur lajur kolom arah x **D10-250**

### Lajur Tengah

- $M_u = 129,34 \text{ kgm} = 1293400 \text{ Nmm}$

- $R_n = \frac{M_u}{\phi b d^2} = \frac{1293400}{0.9 \times 1000 \times 95^2} = 0,16 \text{ N/mm}^2$

- $\rho = \frac{1}{m} \left(1 - \sqrt{1 - \frac{2 \times m \times R_n}{f_y}}\right)$   
 $= \frac{1}{12,35} \left(1 - \sqrt{1 - \frac{2 \times 12,35 \times 0,16}{420}}\right)$   
 $= 0,00038 < \rho_{\min} = 0,0018$

- Maka dipakai  $\rho_{\text{pakai}} = 0,0018$

- As perlu =  $\rho \cdot b \cdot d$   
 $= 0,0018 \times 1000 \times 95 = 171 \text{ mm}^2$

- $S_{\max} = 450 \text{ mm (SNI 2847:2019)}$

- Jumlah tulangan =  $\frac{\text{As perlu}}{\frac{1}{4} \pi \times D^2 \times 2}$

$$= \frac{171}{\frac{1}{4} \pi \times 10^2} = 3,2 = 4 \text{ (per meter)}$$

- Jarak tulangan ( $s$ ) =  $1000/n = 1000/4 = 250 \text{ mm}$
  - As pasang =  $n \times A_s = 4 \times 78,5 = 314 \text{ mm}^2 > A_s$  perlu
- Jadi digunakan tulangan lentur lajur tengah arah x **D10-250**

### C. Perhitungan Penulangan Arah Y

#### Lajur Kolom:

- $M_u = 377,9 \text{ kgm} = 3779000 \text{ Nmm}$
  - $R_n = \frac{M_u}{\emptyset b d^2} = \frac{3779000}{0.9 \times 1000 \times 85^2} = 0,58 \text{ N/mm}^2$
  - $\rho = \frac{1}{m} \left( 1 - \sqrt{1 - \frac{2 \times m \times 0,58}{f_y}} \right)$   
 $= \frac{1}{12,35} \left( 1 - \sqrt{1 - \frac{2 \times 12,35 \times 2,4}{420}} \right)$   
 $= 0,0014 < \rho_{\min} = 0,0018$
  - Maka dipakai  $\rho_{\text{pakai}} = 0,0018$
  - $A_s \text{ perlu} = \rho \cdot b \cdot d$   
 $= 0,0018 \times 1000 \times 95 = 171 \text{ mm}^2$
  - $S_{\max} = 450 \text{ mm (SNI 2847:2019)}$
  - Jumlah tulangan =  $\frac{A_s \text{ perlu}}{\frac{1}{4} \pi \times D^2 \times 2}$   
 $= \frac{171}{\frac{1}{4} \pi \times 10^2} = 3,2 = 4 \text{ (per meter)}$
  - Jarak tulangan ( $s$ ) =  $1000/n = 1000/4 = 250 \text{ mm}$
  - As pasang =  $n \times A_s = 4 \times 78,5 = 314 \text{ mm}^2 > A_s$  perlu
- Jadi digunakan tulangan lentur lajur kolom arah y **D10-250**

#### Lajur Tengah

- $M_u = 123,4 \text{ kgm} = 1234000 \text{ Nmm}$
- $R_n = \frac{M_u}{\emptyset b d^2} = \frac{1234000}{0.9 \times 1000 \times 85^2} = 0,19 \text{ N/mm}^2$
- $\rho = \frac{1}{m} \left( 1 - \sqrt{1 - \frac{2 \times m \times R_n}{f_y}} \right)$   
 $= \frac{1}{12,35} \left( 1 - \sqrt{1 - \frac{2 \times 12,35 \times 0,19}{420}} \right)$

$$= 0,0005 < \rho_{\min} = 0,0018$$

- Maka dipakai  $\rho_{\text{pakai}} = 0,0018$
  - As perlu =  $\rho \cdot b \cdot d$   
 $= 0,0018 \times 1000 \times 95 = 171 \text{ mm}^2$
  - $S_{\max} = 450 \text{ mm}$  (SNI 2847:2019)
  - Jumlah tulangan =  $\frac{As \text{ perlu}}{\frac{1}{4} \times \pi \times D^2 \times 2}$   
 $= \frac{171}{\frac{1}{4} \times \pi \times 10^2} = 3,2 = 4$  (per meter)
  - Jarak tulangan (s) =  $1000/n = 1000/4 = 250 \text{ mm}$
  - As pasang =  $n \times As = 4 \times 78,5 = 314 \text{ mm}^2 > As \text{ perlu}$
- Jadi digunakan tulangan lentur lajur tengah arah y **D10-250**

Berikut merupakan rekapitulasi penulangan pelat lantai kelas, atap dan basemen:

Tabel 5. 2 Rekapitulasi Perhitungan Pelat Lantai Kelas

Nama Pelat	$\beta$	Arah	Arah X		Arah Y	
			Lajur Kolom	Lajur Tengah	Lajur Kolom	Lajur Tengah
SA	1	2 arah	D10-250	D10-250	D10-250	D10-250
SB	1,2	2 arah	D10-250	D10-250	D10-250	D10-250
SC	1,5	2 arah	D10-200	D10-250	D10-200	D10-250
SD	1,3	2 arah	D10-200	D10-250	D10-200	D10-250
SE	1,2	2 arah	D10-250	D10-250	D10-250	D10-250
SF	1	2 arah	D10-250	D10-250	D10-250	D10-250

Tabel 5. 3 Rekapitulasi Perhitungan Pelat Atap

Nama Pelat	$\beta$	Arah	Arah X		Arah Y	
			Lajur Kolom	Lajur Tengah	Lajur Kolom	Lajur Tengah
SA	1	2 arah	D10-200	D10-200	D10-200	D10-200
SB	1,2	2 arah	D10-200	D10-200	D10-200	D10-200
SC	1,5	2 arah	D10-200	D10-200	D10-200	D10-200
SD	1,3	2 arah	D10-200	D10-200	D10-200	D10-200
SE	1,2	2 arah	D10-200	D10-200	D10-200	D10-200
SF	1	2 arah	D10-200	D10-200	D10-200	D10-200
SG	5,1	1 arah	D10-200	D10-200	D10-200	D10-300
SH	6,6	1 arah	D10-200	D10-200	D10-200	D10-300

Tabel 5. 4 Rekapitulasi Perhitungan Pelat Basemen

Nama Pelat	$\beta$	Arah	Arah X		Arah Y	
			Lajur Kolom	Lajur Tengah	Lajur Kolom	Lajur Tengah
SBA	1	2 arah	D13 – 100	D13 – 100	D13 – 100	D13 – 100
SBB	1,1	2 arah	D13 – 100	D13 – 100	D13 – 100	D13 – 100
SBC	1,44	2 arah	D13 – 100	D13 – 100	D13 – 100	D13 – 100
SBD	1,6	2 arah	D13 – 100	D13 – 100	D13 – 100	D13 – 100
SBE	1,8	2 arah	D13 – 100	D13 – 100	D13 – 100	D13 – 100
SBF	2	1 arah	D13 – 100	D13 – 100	D13 – 100	D13 – 100
SBG	1	2 arah	D13 – 100	D13 – 100	D13 – 100	D13 – 100

### 5.3 Perencanaan Balok Anak

Pada gedung ini terdapat beberapa jenis balok anak yaitu BA1, BA2, BA3, BA4 dan BA5. Dengan aplikasi bantu ETABS didapat nilai momen dan gaya geser sebagai berikut

Tabel 5. 5 Rekapitulasi Mu dan Vu pada Balok Anak

Nama	Bentang (mm)	Dimensi (mm)	Mu (kNm)		Vu (kN)
			Tumpuan	Lapangan	
BA 1	7200	350/500	128,915	59,352	94,16
BA 2	5000	250/400	72,91	44,266	72,556
BA 3	4000	250/400	31,28	21,939	37,54
BA 4	7200	350/500	125,37	74,511	77,53
BA 5	8000	350/500	102,765	74,060	62,137

Pada perencanaan penulangan balok anak ini akan dicontohkan melalui perhitungan balok anak BA1.

#### A. Data perencanaan:

L	= 7200 mm
Mu tumpuan	= -128,915 KN.m
Mu lapangan	= 59,352 KN.m
Vu	= 94,16 KN
F' <sub>c</sub>	= 40 MPa
F <sub>y</sub>	= 420 MPa
Tulangan lentur (D)	= 16 mm (D16)
As tulangan lentur	= 201,062 mm <sup>2</sup>

Tulangan sengkang (D)	= 13 mm
As tulangan	= $132,73 \text{ mm}^2$
B	= 350 mm
H	= 500 mm
Decking	$= 40 \text{ mm}$ $= h - (\text{decking} + \Ø_{\text{sengkang}} + \frac{1}{2} \Ø_{\text{lentur}})$ $= 439 \text{ mm}$

### B. Perhitungan tulangan negatif tumpuan

$\Ø = 0,9$  untuk asumsi kondisi *tension controlled section*; 0,75 untuk geser dan torsi.

- $\beta_1 = 0,85 - 0,05 \frac{(F'c - 28)}{7}$   
 $= 0,85 - 0,05 \frac{(40 - 28)}{7}$   
 $= 0,764$
- $\rho_{\min} = \frac{0,25x\sqrt{f'c}}{fy}$   
 $= \frac{0,25x\sqrt{40}}{420} = 0,00376$  (menentukan)
- $\rho_{\min} = \frac{1,4}{fy} = \frac{1,4}{420} = 0,0033$
- $m = \frac{fy}{0,85 f'c'} = \frac{420}{0,85 \times 40} = 12,35$
- $R_n = \frac{Mu}{\Ø bd^2} = \frac{128,915 \times 10^6}{0,9 \times 350 \times 439^2} = 2,123 \text{ N/mm}^2$
- $\rho = \frac{1}{m} \left( 1 - \sqrt{1 - \frac{2xm \times Rn}{fy}} \right)$   
 $= \frac{1}{12,35} \left( 1 - \sqrt{1 - \frac{2 \times 12,35 \times 2,123}{420}} \right)$   
 $= 0,00522 > \rho_{\min}$
- Maka dipakai  $\rho = 0,00519$
- As perlu  $= \rho \cdot b \cdot d$   
 $= 0,00522 \times 350 \times 439 = 802,773 \text{ mm}^2$
- n (jumlah)  $= \frac{\text{As perlu}}{\text{As tulangan}} = \frac{802,773}{201,062} = 3,98 \approx 4$  buah

- Jarak tulangan (s) 
$$\begin{aligned} &= \frac{b - n \times \emptyset D - 2 \times Deck - 2 \times \emptyset S}{n-1} \\ &= \frac{350 - 4(16) - 2(40) - 2(13)}{4-1} \\ &= 60 \text{ mm} > 25 \text{ mm (OK)} \end{aligned}$$
- Dipakai 4D16 ( $As = 804,247 \text{ mm}^2$ )

C. Perhitungan tulangan positif tumpuan

- $As.\min = \frac{1}{2} \times As = \frac{1}{2} \times 804,247 = 402,124 \text{ mm}^2$
- $n (\text{jumlah}) = \frac{As \text{ perlu}}{As \text{ tulangan}}$   
 $= \frac{402,124}{201,062} = 2 \text{ buah}$
- Dipakai 2D16 ( $As = 402,12 \text{ mm}^2$ )

D. Perhitungan tulangan positif lapangan

- $\beta_1 = 0,85 - 0,05 \frac{(F'c - 28)}{7}$   
 $= 0,85 - 0,05 \frac{(40 - 28)}{7}$   
 $= 0,764$
- $\rho_{\min} = \frac{0,25x\sqrt{f'c}}{fy}$   
 $= \frac{0,25x\sqrt{40}}{420} = 0,00376 \text{ (menentukan)}$
- $\rho_{\min} = \frac{1,4}{fy} = \frac{1,4}{420} = 0,0033$
- $m = \frac{fy}{0,85 f c'} = \frac{420}{0,85 \times 40} = 12.35$
- $R_n = \frac{Mu}{\emptyset bd^2} = \frac{59,352 \times 10^6}{0,9 \times 350 \times 439^2} = 0,978 \text{ N/mm}^2$
- $\rho = \frac{1}{m} \left( 1 - \sqrt{1 - \frac{2xmRn}{fy}} \right)$   
 $= \frac{1}{12,35} \left( 1 - \sqrt{1 - \frac{2 \times 12,35 \times 0,978}{420}} \right)$   
 $= 0,00236 < \rho_{\min}$
- Maka dipakai  $\rho = 0,00376$

- As perlu  $= \rho \cdot b \cdot d$   
 $= 0,00376 \times 350 \times 439 = 578,433 \text{ mm}^2$
  - n (jumlah)  $= \frac{\text{As perlu}}{\text{As tulangan}} = \frac{578,433}{201,062} = 2,88 \approx 3 \text{ buah}$
  - Jarak tulangan (s)  $= \frac{b - n \times \emptyset D - 2 \times \text{Deck} - 2 \times \emptyset S}{n-1}$   
 $= \frac{350 - 3(16) - 2(40) - 2(13)}{3-1}$   
 $= 98 \text{ mm} > 25 \text{ mm (OK)}$
  - **Dipakai 3D16** (As = 603,185 mm<sup>2</sup>)
- E. Perhitungan tulangan negative lapangan
- As.min  $= \frac{1}{2} \times \text{As} = \frac{1}{2} \times 603,185 = 301,593 \text{ mm}^2$
  - n (jumlah)  $= \frac{\text{As perlu}}{\text{As tulangan}}$   
 $= \frac{301,593}{201,062} = 1,5 \approx 2 \text{ buah}$
  - **Dipakai 2D16** (As = 402,124 mm<sup>2</sup>)
- F. Kontrol apakah termasuk balok tekan persegi atau "T" (Tengah Bentang)
- $b_{eff} \leq \frac{1}{4} \text{ bentang balok}$   
 $b_{eff} \leq \frac{1}{4} \times 7200 \text{ mm} = 1800 \text{ mm}$
  - $b_{eff} \leq 8 \times \text{tebal pelat} + bw$   
 $b_{eff} \leq 8 \times 120 \text{ mm} + 350 \text{ mm} = 1310 \text{ mm}$
  - $b_{eff} \leq \frac{1}{2} \text{ jarak bersih antara balok bersebelahan}$   
 $b_{eff} \leq \frac{1}{2} \times (7200 - 450) = 3375 \text{ mm}$
  - $b_{eff} = 1310 \text{ mm}$  (dipilih yang terkecil)
  - $a = \frac{\text{As} \times fy}{0,85 \times f'c \times b_{eff}} = \frac{603,185 \times 420}{0,85 \times 40 \times 1310}$   
 $= 5,687 \text{ mm} < hf = 120 \text{ mm (balok persegi)}$
- Maka,  $\emptyset Mn = \emptyset \times As \times fy \times \left(d - \frac{a}{2}\right)$

$$= 0,9 \times 603,185 \times 420 \times \left( 439 - \frac{5,687}{2} \right) \\ = 99445426,3 Nmm = 99,445 kNm$$

$$Mu \leq \emptyset Mn$$

$= 59,352 \text{ kNm} < 99,445 \text{ kNm}$  (**desain memenuhi**)

#### G. Perhitungan tulangan geser

- $V_u = 94,16 \text{ KN} = 94160 \text{ N}$
- $V_c = \frac{1}{6} \times \sqrt{f_c} \times bw \times d$   
 $= \frac{1}{6} \times \sqrt{40} \times 350 \times 439$   
 $= 161961,32 \text{ N}$
- $V_{smax} = \frac{2}{3} \times \sqrt{f_c} \times bw \times d$   
 $= \frac{2}{3} \times \sqrt{40} \times 350 \times 439$   
 $= 647845,28 \text{ N}$
- $V_{smin} = \frac{1}{16} \times \sqrt{f_c} \times bw \times d$   
 $= \frac{1}{16} \times \sqrt{40} \times 350 \times 439$   
 $= 60735,49531 \text{ N}$
- $V's = \frac{1}{3} \times \sqrt{f_c} \times bw \times d$   
 $= 323922,64 \text{ N}$

Persyaratan

- $V_s = \frac{v_u}{\emptyset} - V_c < V_{s max}$  (penampang dapat digunakan)  
 $-36414,65 \text{ N} < 647845,28 \text{ N}$  (**OK**)
- $V_u \leq \frac{1}{2} \emptyset V_c$  (tidak perlu tulangan geser)  
 $94160 \text{ N} \leq 60735,495 \text{ N}$  (**NOT OK**)

Maka diperlukan tulangan geser dengan perhitungan sebagai berikut:

- $S \text{ maks} = d/2 = 439/2 = 219,5 \text{ mm}$
- $A_v = n \times A_s D13; \text{ Dipasang 2 kaki (2D13)}$   
 $= 2 \times 132,73 = 265,46 \text{ mm}^2$
- $s = \frac{A_v \cdot F_y \cdot d}{V_s}$

$$= \frac{265,46 \times 420 \times 439}{323922,64} = 151,1 \text{ mm}$$

Spakai = 150 mm

### Dipakai 2D13-150 mm

Berikut adalah rekapitulasi penulangan pada balok anak:

Tabel 5. 6 Rekapitulasi Penulangan Balok Anak

Nama Balok	Tumpuan		Lapangan		Tulangan Geser (mm)
	Negatif	Positif	Positif	Negatif	
BA 1	4D16	2D16	3D16	2D16	2D13-150
BA 2	3D16	2D16	2D16	2D16	2D13-150
BA 3	2D16	2D16	2D16	2D16	2D13-150
BA 4	4D16	2D16	3D16	2D16	2D13-150
BA 5	4D16	2D16	3D16	2D16	2D13-150

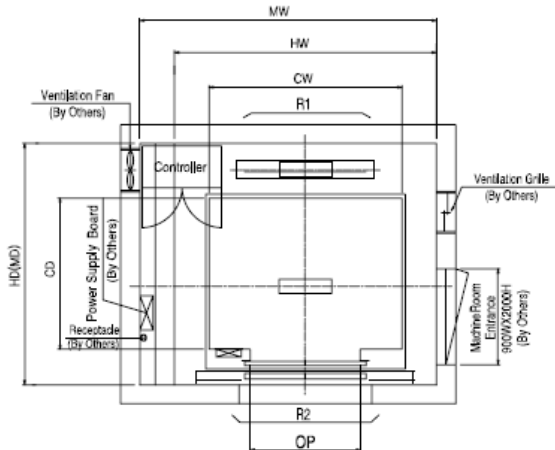
### 5.4 Perencanaan Balok Lift

Balok *lift* yang direncanakan merupakan balok-balok yang berkaitan dengan ruang mesin *lift* dan beban yang terjadi pada *lift* yang terdiri dari balok penggantung dan balok penumpu *lift*.

#### 5.4.1 Spesifikasi *lift*

*Lift* yang digunakan dalam perencanaan ini adalah *lift* yang diproduksi oleh *sigma elevator company* dengan data sebagai berikut:

- Merek = Sigma
- Kapasitas = 20 orang (1150 kg)
- Lebar pintu = 1100 mm
- *Car size* = 1800 x 1700 mm<sup>2</sup>
- *Hostway size* = 2350 x 2400 mm<sup>2</sup>
- Beban reaksi ruang mesin =
  - R1 = 8900 kg
  - R2 = 6000 kg



Gambar 5. 7 Denah Lift

#### 5.4.2 Perencanaan balok lift

Balok lift direncanakan menggunakan profil WF 500x200x11x19 dengan BJ 41, dengan data – data sebagai berikut:

$$W = 103 \text{ kg/m}$$

$$A = 131,3 \text{ cm}^2$$

$$d = 506 \text{ mm}$$

$$b_f = 201 \text{ mm}$$

$$t_w = 11 \text{ mm}$$

$$t_f = 19 \text{ mm}$$

$$r = 20 \text{ mm}$$

$$Z_x = 2462 \text{ cm}^3$$

$$Z_y = 398 \text{ cm}^3$$

$$i_x = 20,7 \text{ cm}$$

$$i_y = 4,43 \text{ cm}$$

$$I_x = 56500 \text{ cm}^4$$

$$I_y = 2580 \text{ cm}^4$$

$$h = d - 2(t_f + r)$$

$$= 428 \text{ mm}$$

$$S_x = 2230 \text{ cm}^3$$

$$S_y = 257 \text{ cm}^3$$

$$f_y = 250 \text{ MPa}$$

$$f_u = 410 \text{ MPa}$$

$$E = 200000 \text{ MPa}$$

##### 1. Perhitungan pembebahan

###### Beban merata

- Beban mati

Berat profil balok penggantung lift = 103 kg/m

Berat sambungan (10%) = 10,3 kg/m+

Total ( $q_D$ ) = 113,3 kg/m

- Beban berfaktor

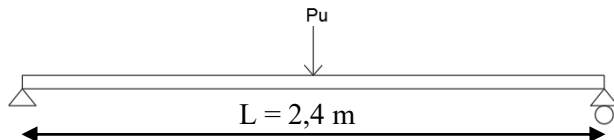
$$q_U = 1,4q_D = 1,4 \times 113,3 = 158,62 \text{ kg/m}$$

### Beban terpusat

Pada pasal 4.6 SNI 1727:2013 tentang beban minimum untuk perancangan gedung dan struktur lain menyatakan bahwa semua beban mesin harus ditingkatkan 50% untuk unit mesin yang bergerak maju mundur atau unit tenaga driven.

$$PU_1 = R_1 \cdot (1 + 50\%) = 8900 \cdot (1+0.5) = 13350 \text{ kg}$$

$$PU_2 = R_2 \cdot (1 + 50\%) = 6000 \cdot (1+0.5) = 9000 \text{ kg}$$



Gambar 5. 8 Pembebatan Balok Penggantung Lift

2. Gaya dalam pada balok penggantung

- o Momen yang terjadi:

$$Mu = \frac{1}{8} x q_U x L^2 + \frac{1}{4} x P_u x L$$

$$Mu = \frac{1}{8} x 113,3 x 2,65^2 + \frac{1}{4} x 13350 x 2,4 \\ = 8943,83 \text{ kgm}$$

- o Gaya geser yang terjadi:

$$Vu = \frac{1}{2} x q_U x L + \frac{1}{2} x P_u$$

$$Vu = \frac{1}{2} x 113,3 x 2,4 + \frac{1}{2} x 13350 = 6825,1225 \text{ kg}$$

3. Kontrol penampang profil terhadap gaya lentur

- o Pelat sayap

$$\lambda = \frac{b_f}{2t_f} = \frac{201}{38} = 5,28$$

$$\lambda p = 0,38 \sqrt{\frac{E}{F_y}} = 0,38 \sqrt{\frac{200000}{250}} = 10,748$$

$\lambda < \lambda p$  (Penampang kompak)

- Pelat badan

$$\lambda = \frac{h}{tw} = \frac{428}{11} = 38,9$$

$$\lambda p = 3,76 \sqrt{\frac{E}{Fy}} = 3,76 \sqrt{\frac{200000}{250}} = 106,348$$

$\lambda < \lambda p$  (Penampang kompak)

Penampang kompak sehingga,  $M_n = M_p$

$$M_n = Z_x F_y = 2462 \times 2500 = 6155000 \text{ kgcm}$$

$$M_u \leq \phi M_n$$

$$894383 \text{ kgcm} \leq 0.9 \times 6155000 \text{ kgcm}$$

$$894383 \text{ kgcm} \leq 5539500 \text{ kgcm} (\mathbf{OK})$$

- Kontrol Tekuk Lateral

$$L_b = 265 \text{ cm}$$

$$L_p = 220,527 \text{ cm}$$

$$L_r = 694,296 \text{ cm}$$

$L_p < L_b < L_r$  (Bentang Menengah)

$$M_{\max} = 8943,83 \text{ kgm}$$

$$M_A = 4496,77 \text{ kgm}$$

$$M_B = 8943,83 \text{ kgm}$$

$$M_C = 4496,77 \text{ kgm}$$

$$C_b = \frac{12,5 M_{\max}}{2,5 M_{\max} + 3 M_A + 4 M_B + 3 M_C} \leq 2,3$$

$$= \frac{12,5 \times 8943,83}{2,5 \times 8943,83 + 3 \times 4496,77 + 4 \times 8943,83 + 3 \times 4496,77}$$

$$= 1,313 \leq 2,3$$

$$M_n = C_b \left[ M_p - (M_p - 0,7 F_y S_x) \left( \frac{L_b - L_p}{L_r - L_p} \right) \right] < M_p$$

$$= 7799272 \text{ kgcm} \geq 5539500 \text{ kgcm} (\text{Tidak OK}),$$

maka  $M_n = M_p$

$$M_u \leq \phi M_n$$

$$894383 \text{ kgcm} \leq 0.9 \times 6155000 \text{ kgcm}$$

$$894383 \text{ kgcm} \leq 5539500 \text{ kgcm} (\mathbf{OK})$$

4. Kontrol penampang profil terhadap gaya geser

$$\lambda = \frac{h}{tw} = \frac{428}{11} = 38,9$$

$$\lambda p = 2,24 \sqrt{\frac{E}{Fy}} = 2,24 \sqrt{\frac{200000}{250}} = 63.356$$

$$\frac{h}{tw} \leq 2,24 \sqrt{\frac{E}{Fy}}, \text{ sehingga } \phi_v = 1,00 \text{ dan } C_v = 1,0$$

$$V_n = 0,6 F_y A_w C_v$$

$$= 0,6 \times 2500 \times 42,8 \times 1,1 \times 1$$

$$= 70620 \text{ kg}$$

$$V_u \leq \phi_v V_n$$

$$V_u \leq 1 V_n$$

$$6825,1225 \text{ kg} \leq 70620 \text{ kg} \rightarrow (\text{OK})$$

5. Kontrol lendutan

$$L = 265 \text{ cm}$$

$$f_{ijin} = \frac{L}{360} = \frac{265}{360} = 0,736 \text{ cm}$$

$$f^0 = \left[ \frac{5}{384} \times \frac{(q_D) \cdot L^4}{E \cdot I_x} \right] + \left[ \frac{23PL^3}{648 \cdot E \cdot I_x} \right] = \\ = \left[ \frac{5}{384} \times \frac{(1,13) \cdot 265^4}{2000000.56500} \right] + \left[ \frac{23 \cdot 13350 \cdot 265^3}{648 \cdot 2000000.56500} \right] = 0,078 \text{ cm}$$

$$f^0 < f_{ijin} \rightarrow 0,078 \text{ cm} < 0,736 \text{ cm} \rightarrow (\text{OK})$$

## **BAB VI**

### **PEMODELAN DAN PEMBEBANAN STRUKTUR**

#### **6.1 Umum**

Dalam perencanaan gedung bertingkat perlu dilakukan adanya perencanaan pembebahan gravitasi maupun pembebahan gempa. Hal ini bertujuan agar struktur gedung tersebut mampu untuk memikul beban-beban yang terjadi. Pembebahan gravitasi mengacu pada ketentuan SNI 1727:2013, SNI 2847:2019, dan pembebahan gempa mengacu pada SNI 1726:2019, yang di dalamnya terdapat ketentuan dan persyaratan perhitungan beban gempa.

#### **6.2 Permodelan Struktur**

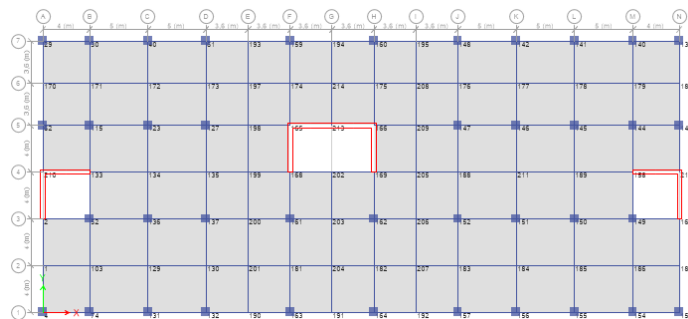
Dalam perhitungan analisis beban gempa, perlu suatu pemodelan struktur. Struktur dimodelkan tiga dimensi sebagai portal terbuka dengan penahan gaya lateral (gempa) menggunakan sistem ganda yaitu Sistem Rangka Pemikul Momen Khusus (SRPMK) dan dinding geser. Struktur permodelan gedung yang akan dianalisa memiliki 14 lantai dan 1 basemen dengan tinggi total gedung  $\pm 56,2$  m. Tinggi basemen 4 meter, tinggi lantai pertama 4 meter, tinggi lantai 14 adalah 5 meter sedangkan tinggi lantai lainnya 3,6 meter. Pemodelan gedung berlokasi di Denpasar, Bali dengan kelas situs SE. Permodelan struktur ini dilakukan dengan menggunakan *software* ETABS.

Permodelan pada ETABS untuk masing-masing elemen struktur adalah sebagai berikut:

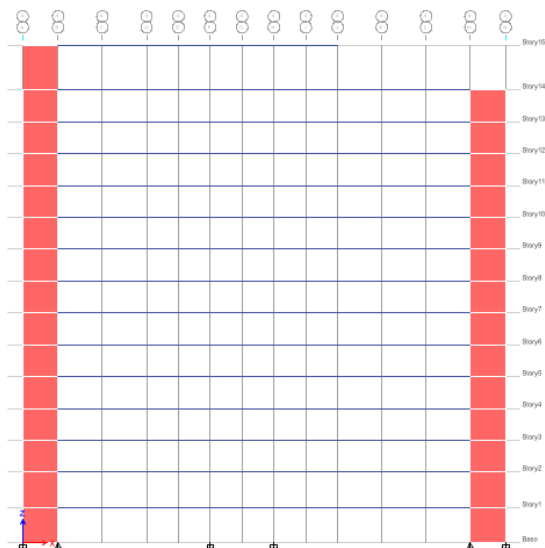
- a. Permodelan pondasi dilakukan dengan menganggap bahwa pondasi memberikan kekangan translasi dan rotasi yang cukup pada semua arah sumbu bangunan. Berdasarkan asumsi yang digunakan tersebut, pondasi dimodelkan sebagai perletakan jepit pada lantai dasar bangunan, yaitu pada ujung-ujung bawah kolom basemen.

- b. Balok dan kolom dimodelkan sebagai elemen *frame* dengan memiliki hubungan (*joint*) yang kaku. Tetapi khusus untuk balok prategang pada lantai atap (saat *jacking*) dimodelkan sebagai elemen *frame release* sedangkan kolom lantai 15 ujung atasnya juga dimodelkan *frame release* sehingga momen pada muka join balok prategang sebesar nol.
- c. Dinding geser dimodelkan sebagai elemen *shell* dengan diberi label *pier* pada setiap segmen dinding geser. Dinding geser memiliki hubungan (*joint*) yang kaku.
- d. Pelat lantai dan atap dimodelkan sebagai elemen *shell*.
- e. Pada struktur beton, pengaruh keretakan beton harus diperhitungkan terhadap kekakuananya. Maka, momen inersia penampang struktur dapat ditentukan sebesar momen inersia penampang utuh dikalikan dengan persentase efektifitas penampang berdasarkan SNI 2847 : 2019 tabel 6.6.3.1.1 (a). Sehingga untuk balok digunakan sebesar 0,35 Ig, kolom digunakan sebesar 0,7 Ig, pelat digunakan sebesar 0,25 Ig dan dinding geser digunakan sebesar 0,35 Ig.

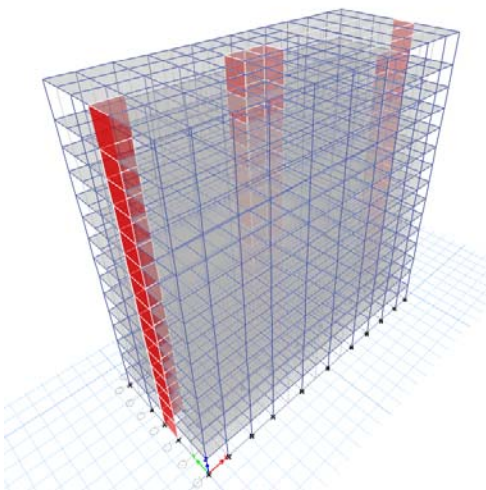
Denah struktur, tampak dan gambar 3D permodelan struktur ini dapat dilihat pada gambar berikut.



Gambar 6. 1 Denah Struktur pada Lantai 9



Gambar 6. 2 Tampak Struktur dari *Elevation View 3*



Gambar 6. 3 Tampak Permodelan 3D

### 6.3 Pembebanan

#### 6.3.1 Pembebanan Gravitasi

Data-data perencanaan pembebanan Gedung Fakultas Kedokteran Universitas Udayana yang digunakan adalah sebagai berikut:

- Input beban sendiri:

Mutu beton (F'c)	:	40 MPa
Mutu baja (Fy)	:	420 MPa
Dimensi Balok	:	
Balok induk	:	45/65; 35/50; 40/60
Balok anak	:	25/40; 35/50
Balok Prategang	:	50/120
Tebal Pelat Lantai	:	12 cm
Tebal Pelat Atap	:	14 cm
Tebal Pelat Basemen	:	30 cm
Dimensi Kolom	:	
Basemen – Lt.4	:	90/90
Lt 5 – 9	:	75/75
Lt 10 – atap	:	60/60

Faktor keutamaan: 1,5 (Gedung Kuliah)

Beban mati struktur ini dikalkulasi sendiri oleh ETABS.

- Input beban hidup:

Lantai Kelas	:	1,92 kN/m <sup>2</sup>
Lantai Koridor	:	3,83 kN/m <sup>2</sup>
Lantai <i>Ballroom</i>	:	4,79 kN/m <sup>2</sup>
Lantai Atap	:	0,96 kN/m <sup>2</sup>
Air Hujan	:	0,2 kN/m <sup>2</sup>

- Input beban mati tambahan (*superdead*):

Input beban mati tambahan pada pelat lantai:

Penggantung	:	0,07 kN/m <sup>2</sup>
Plafond	:	0,11 kN/m <sup>2</sup>
Spesi (t = 2 cm)	:	0,42 kN/m <sup>2</sup>
Tegel (t = 1 cm)	:	0,24 kN/m <sup>2</sup>
Ducting & Plumbing	:	<u>0,30 kN/m<sup>2</sup></u>

1,14 kN/m<sup>2</sup>

- Input beban mati tambahan pada balok :
- |  |  |
|--|--|
| Dinding bata                                 | : 9 kN/m <sup>2</sup>                                    |
| ○ Input beban mati tambahan pada pelat atap: |  |
| Penggantung                                  | : 0,07 kN/m <sup>2</sup>                                 |
| Plafond                                      | : 0,11 kN/m <sup>2</sup>                                 |
| Spesi (t = 2 cm)                             | : 0,42 kN/m <sup>2</sup>                                 |
| Aspal (t = 1 cm)                             | : 0,14 kN/m <sup>2</sup>                                 |
| Ducting & Plumbing                           | : <u>0,30 kN/m<sup>2</sup></u><br>1,04 kN/m <sup>2</sup> |

Pembebanan yang diinput pada ETABS haruslah mendekati perhitungan manual ( $\pm 5\%$ ) sehingga pembebanan pada ETABS dapat dinyatakan benar. Berikut merupakan rasio selisih pembebanan gravitasi yang didapat dari ETABS dan Manual (**Tabel 5.1**).

Tabel 6. 1 Rekap Pembebanan Gravitasi

Keterangan	n Lantai	W <sub>D</sub>	W <sub>L</sub>
		kg	kg
Lt. atap	1	1.140.079,20	139.886,72
Lantai 14	1	1.194.882,24	404.306,44
Lantai 13-10	4	4.779.528,96	1.111.187,36
Lt. 9-5	5	6.289.339,20	1.388.984,20
Lt. 4-basemen	4	5.453.268,16	1.111.187,36
Dinding geser	15	3.135.168,00	-
Total		21.992.265,76	4.155.552,08
W <sub>D</sub> + W <sub>L</sub>		26.147.817,84	
W <sub>D</sub> + W <sub>L</sub> ETABS		25.511.536,37	
Kontrol Selisih		2,49%	

Didapatkan total beban mati dan beban hidup (1D + 1L) yang dihitung manual sebesar 26.147.817,84 kg. Pembebanan yang di input pada ETABS harus mendekati dengan hasil perhitungan manual dengan batas toleransi 5%.

Tabel 6. 2 Output *Base Reactions* ETABS

<b>TABLE: Base Reactions</b>	
<i>Load Case/Combo</i>	FZ
	kg
D+L	25511536,37

Dari hasil pembebanan melalui program bantu ETABS didapat sebesar 25.511.536,37kg. Maka, didapatkan selisih perhitungan beban secara manual dan ETABS sebesar 2,49%.

### 6.3.2 Pembebanan Gempa Dinamis

Pembebanan gempa mengacu pada SNI 1726:2019

#### 1. Faktor Keutamaan Gempa

Faktor keutamaan gempa ditentukan dari jenis pemanfaatan gedung sesuai dengan kategori resiko pada peraturan. Kategori resiko untuk gedung fasilitas pendidikan termasuk dalam kategori resiko IV dengan faktor keutamaan gempa ( $I$ ) = 1,5.

#### 2. Kelas Situs

SNI 1726:2019 pasal 5.3 mengatur tata cara untuk menentukan klasifikasi situs. Salah satu cara yang dapat dilakukan yaitu dengan menentukan nilai  $N$  berdasarkan data hasil SPT. Adapun definisi parameter kelas situs yang menggunakan data SPT dapat dilihat pada SNI 1726:2019 pasal 5.4.2 persamaan (2). Berikut adalah hasil pengolahan data tanah untuk menentukan kelas situs.

Tabel 6. 3 Perhitungan Data Tanah untuk Menentukan Kelas Situs

Kedalaman	Tebal	N	Tebal/N
0			
2	2	2	1
4	2	3	0.667
6	2	4	0.5
8	2	16	0.125
10	2	24	0.083

Kedalaman	Tebal	N	Tebal/N
12	2	31	0.065
14	2	36	0.056
16	2	16	0.125
18	2	23	0.087
20	2	17	0.118
22	2	15	0.133
24	2	7	0.286
26	2	34	0.059
28	2	29	0.069
30	2	50	0.04
	30		3.41

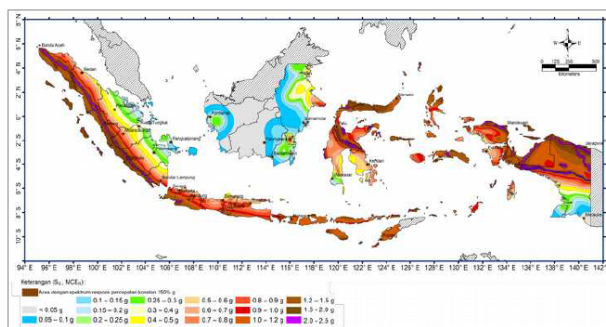
$$\bar{N} = \frac{30}{3,41} = 8,794$$

Mengacu pada tabel 5 SNI 1726 : 2019, dengan nilai  $\bar{N} = 8,794$ , lokasi bangunan berada pada kelas situs SE (Tanah lunak).

### 3. Parameter Respon Spektral

Sebagai input data pada ETABS, diperlukan data Percepatan Respon Spektrum (MCE).

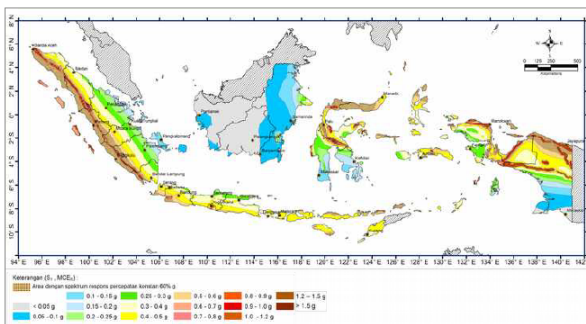
Penentuan wilayah gempa dapat dilihat pada gambar dibawah ini:



Gambar 12 – Parameter gerak tanah  $S_s$ , gempa maksimum yang dipertimbangkan risiko-tertarget (MCE<sub>r</sub>) wilayah Indonesia untuk spektrum respons 0,2-detik (redaman kritis 5%), pada kelas situs BC (Sec)

Gambar 6. 4 Peta untuk Menentukan Nilai S<sub>s</sub>

S<sub>s</sub>, Gempa Maksimum yang dipertimbangkan resiko tersesuaikan (MCE<sub>R</sub>). Parameter gerak tanah, untuk percepatan respons spectral 0,2 detik dalam g, (5% redaman kritis), Kelas situs SE. Dari Gambar 6.4 untuk daerah Denpasar, Bali didapatkan nilai S<sub>s</sub> = 0.98 g.



Gambar 13 – Parameter gerak tanah, S<sub>s</sub>, gempa maksimum yang dipertimbangkan risiko-tertarget (MCE<sub>r</sub>) wilayah Indonesia untuk spektrum respons 0,2- detik (redaman kritis 5%), pada kelas situs BC (Sec)

Gambar 6. 5 Peta untuk Menentukan Nilai S<sub>1</sub>

S<sub>1</sub>, Gempa maksimum yang dipertimbangkan resiko tersesuaikan (MCER) parameter gerak tanah, untuk percepatan respons spectral 1 detik dalam g (5% redaman kritis), kelas situs SE. Dari Gambar 6.5 untuk wilayah Denpasar Bali S<sub>1</sub> = 0,362 g.

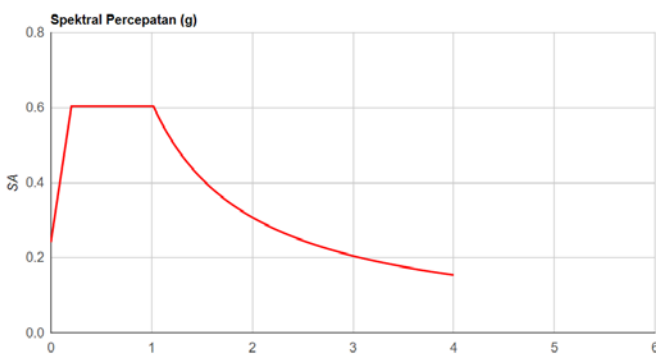
Tabel 6. 4 Parameter Percepatan Spektral Desain Denpasar Situs Tanah SE

Parameter	Nilai
PGA (g)	0,44
S <sub>s</sub> (g)	0,98
S <sub>1</sub> (g)	0,362
F <sub>PGA</sub>	0,9
F <sub>A</sub>	0,924
F <sub>V</sub>	2,552
S <sub>MS</sub> (g)	0,906
S <sub>M1</sub> (g)	0,924
S <sub>DS</sub> (g)	0,604
S <sub>D1</sub> (g)	0,616
T <sub>0</sub> (detik)	0,204
T <sub>s</sub> (detik)	1,02

Tabel 6. 5 Hasil Perhitungan Respon Spektrum Desain

T (s)	Sa (g)	T (s)	Sa (g)
0	0.242	2.420	0.244
0.204	0.604	2.520	0.235
1.020	0.604	2.620	0.226
1.020	0.550	2.720	0.218
1.120	0.505	2.820	0.211
1.220	0.467	2.920	0.204
1.320	0.434	3.020	0.197
1.420	0.405	3.120	0.191
1.520	0.380	3.220	0.185
1.620	0.358	3.320	0.180

T (s)	Sa (g)	T (s)	Sa (g)
1.720	0.338	3.420	0.175
1.820	0.321	3.520	0.170
1.920	0.305	3.620	0.166
2.020	0.290	3.720	0.161
2.120	0.277	3.820	0.157
2.220	0.265	4.000	0.154
2.320	0.254		



Gambar 6. 6 Grafik Respon Spektrum Desain

#### 4. Kategori Desain Seismik

Berdasarkan SNI 1726:2019 Tabel 3, bangunan dengan fungsi gedung kampus masuk ke dalam kategori resiko IV dengan  $I_e = 1,5$ . Penentuan Kategori desain gempa sesuai dengan SNI 1726:2019, dimana,  $S_{DS} = 0,604 \text{ g}$  dan  $S_{DI} = 0,616 \text{ g}$  sehingga diketahui bahwa kategori desain seismik masuk dalam kategori D.

#### 5. Koefisien Modifikasi Response

Struktur Gedung Fakultas Kedokteran Universitas Udayana direncanakan akan menggunakan sistem rangka pemikul momen khusus. Untuk memperoleh <sup>a</sup> (Koefisien Modifikasi Respon),  $\Omega_0^g$  (Faktor Kuat Lebih Sistem), dan  $C_d$  <sup>b</sup> (Faktor Pembesaran Defleksi), tabel 12 pada SNI 1726-2019 akan digunakan.

Dengan kategori desain seismik D, diperoleh:

$$R^a = 7$$

$$\Omega_0^g = 2,5$$

$$C_d^b = 5,5$$

#### 6.4 Kontrol Waktu Getar Alami Fundamental

$$T = C_u \times T_a$$

Berdasarkan SNI 1726:2019 Tabel 18, tipe struktur sistem rangka pemikul momen menggunakan nilai parameter periode pendekatan Ct adalah 0,0466, nilai x digunakan 0,9 dan ketinggian gedung 56,2 m.

$$T_a = C_t \times h_n^x$$

$$T_a = 0,0466 \times 56,2^{0,9}$$

$$T_a = 1,75 \text{ s}$$

Dimana:

Ta = Periode fundamental pendekatan

Ct = Koefisien Pendekatan

hn = Ketinggian Struktur

Tabel 6. 6 Koefisien Batas Atas Perioda Gedung

Parameter percepatan respons spektral desain pada 1 detik, $S_{D1}$	Koefisien $C_u$
$\geq 0,4$	1,4
0,3	1,4
0,2	1,5
0,15	1,6
$\leq 0,1$	1,7

Perhitungan waktu getar alami fundamental menggunakan rumus sebagai berikut:

$$T = C_u \times T_a$$

$$T = 1,4 \times 1,75$$

$$T = 2,45 \text{ s}$$

Periode fundamental struktur, T, tidak boleh melebihi hasil koefisien untuk batasan atas pada perioda yang dihitung (Cu).

$$T < C_u \times T_a$$

Nilai T didapat dari permodelan ETABS yang telah di input gaya gempa dinamik.

Tabel 6. 7 Modal Periode dan Frekuensi

Case	Mode	Period
		sec
Modal	1	2,35
Modal	2	2,073
Modal	3	1,83
Modal	4	0,703
Modal	5	0,6
Modal	6	0,477
Modal	7	0,34
Modal	8	0,285
Modal	9	0,216
Modal	10	0,204
Modal	11	0,17
Modal	12	0,137
Modal	13	0,131
Modal	14	0,115
Modal	15	0,1
Modal	16	0,091
Modal	17	0,085
Modal	18	0,077
Modal	19	0,07
Modal	20	0,067

Nilai T yang didapat dari ETABS sebesar 2,165 s, maka

$$Ta < T \text{ ETABS} < C_u \times T_a$$

$$1,75 s < 2,35 < 2,45 s \dots \text{OK!}$$

Sehingga diambil nilai  $T = 2,35$  s

### 6.5 Kontrol Gaya Geser Dasar (*Base Shear*)

Koefisien respon seismic,  $C_s$ , harus ditentukan sesuai dengan SNI 1726:2019 pasal 7.8.1.1.

$$C_s = \frac{S_{DS}}{\frac{R}{I_e}}; S_{DS} = 0,604; I_e = 1,5; R = 7$$

$$C_s = \frac{0,604}{\frac{7}{1,5}} = 0,12942$$

Nilai R yang dipakai yaitu R untuk sistem ganda dengan Rangka Beton Bertulang Pemikul Momen Khusus dan Dinding Geser Beton Bertulang Khusus = 7. (SNI 1726:2019 Tabel 12) dan nilai  $C_s$  tidak lebih dari :

$$C_s = \frac{S_{D1}}{T \left( \frac{R}{I_e} \right)}$$

Dimana:

$$S_{D1} = 0,616$$

$$R = 7$$

$$T = 2,35$$

$$I_e = 1,5$$

$$C_s = \frac{0,616}{2,35 \left( \frac{7}{1,5} \right)}$$

$$C_s = 0,0561$$

Dan nilai  $C_s$  tidak kurang dari:

$$C_s = 0,044 \times S_{DS} \times I_e \geq 0,01$$

$$C_s = 0,044 \times 0,604 \times 1,5 = 0,0398 \geq 0,01$$

Maka nilai  $C_s$  diambil **0,0561**

Untuk perhitungan gempa faktor reduksi beban hidup untuk bangunan fasilitas pendidikan sebesar 0,5 sehingga didapatkan berat seismic efektif bangunan (W) sebagai berikut:

Tabel 6. 8 Berat Efektif Struktur

<i>Load Case/Combo</i>	FZ kN
D+0,5L	232064,2

Gaya geser yang telah didapatkan dari perhitungan di atas akan didistribusikan secara vertikal ke masing-masing lantai sesuai dengan RSNI 1726:2019.

$$Cs = 0,0561$$

$$W = 232064,2 \text{ kN}$$

$$\begin{aligned} V &= Cs \times W \\ &= 0,0561 \times 232064,2 \text{ kN} \\ &= 13018,8 \text{ kN} \end{aligned}$$

Apabila kombinasi respons untuk gaya geser dasar hasil analisis ragam ( $V_t$ ) kurang dari 100% dari gaya geser  $V$  yang dihitung melalui metode statik ekuivalen, maka gaya tersebut harus dikalikan dengan  $\frac{V}{V_t}$  (SNI 1726:2019 Pasal 7.9.1.4.1.). Dari hasil analisa struktur menggunakan program bantu ETABS didapatkan gaya geser dasar ragam ( $V_t$ ) sebagai berikut:

Tabel 6. 9 Reaksi Beban Gempa Arah X dan Y

<i>Load Case/Combo</i>	FX kN	FY kN
Eq x Max	10314,58	6044,25
Eq y Max	6222,49	11140,71

$$V = 13018,8 \text{ kN}$$

$$V_{xt} = 10314,58 \text{ kN}$$

$$V_{yt} = 11140,71 \text{ kN}$$

Maka untuk arah x,

$$V_{xt} > V \\ 10314,58 \text{ kN} > 13018,8 \text{ kN} \dots \text{Not Ok!}$$

Maka untuk arah y,

$$V_{yt} > V \\ 11140,71 \text{ kN} > 13018,8 \text{ kN} \dots \text{Not Ok!}$$

Oleh karena itu, untuk memenuhi persyaratan SNI 1726:2019 Pasal 7.9.1.4.1, maka gaya geser tingkat nominal akibat gempa rencana struktur gedung hasil analisis harus dikalikan dengan faktor skala  $V/V_t$

Untuk Arah x :

$$\frac{V}{V_{xt}} = \frac{13018,8}{10314,58} = 1,263$$

Untuk Arah y :

$$\frac{V}{V_{yt}} = \frac{13018,8}{11140,71} = 1,169$$

Setelah didapatkan faktor skala untuk masing-masing arah pembebanan, selanjutnya dilakukan analisa ulang struktur dengan mengalikan skala faktor yang diperoleh di atas pada *scale factor* untuk *Define Respons Spectra*. Kemudian dilakukan running ulang pada program analisis. Hasilnya adalah sebagai berikut:

Tabel 6. 10 Reaksi Beban Gempa Arah X dan Y Setelah Koreksi

<i>Load Case/Combo</i>	<b>FX</b>	<b>FY</b>
	kN	kN
<i>Eq x Max</i>	13031,46	7764,28
<i>Eq y Max</i>	7893,27	13046,96

$$V = 13018,8 \text{ kN}$$

$$V_{xt} = 13031,46 \text{ kN}$$

$$V_{yt} = 13046,96 \text{ kN}$$

Maka untuk arah x,

$$V_{xt} > V$$

$$13031,46 \text{ kN} > 13018,8 \text{ kN} \dots \text{Ok!}$$

Maka untuk arah y,

$$V_{yt} > V$$

$$13046,96 \text{ kN} < 13018,8 \text{ kN} \dots \text{Ok!}$$

Hasil dari running ulang tersebut sudah memenuhi persyaratan SNI 1726 : 2019 Pasal 7.9.1.4.1. Selanjutnya geser dasar ragam hasil *running ulang* tersebut akan digunakan sebagai beban gempa desain.

## 6.6 Kontrol Sistem Ganda (*Dual System*)

Persyaratan sistem ganda mengacu pada (SNI 1726 : 2019 pasal 7.2.5.1). Sistem Rangka Pemikul Momen (SRPM) harus memikul minimum 25% dari beban geser nominal total yang bekerja dalam arah kerja beban gempa tersebut. Berikut total reaksi perletakan SPRM dan Dinding Geser (*Shearwall*).

Tabel 6. 11 Reaksi Perletakan dan Persentase Gaya Geser yang Dipikul akibat Gempa Arah X dan Y

Jenis	Arah X	Persentase	Arah Y	Persentase
	kN	%	kN	%
<i>Shear Wall</i>	9765,09	74,93	9666,19	74,09
SRPMK	3266,37	25,07	3380,77	25,91
Total	13031,46	100	13046,96	100

Dari hasil perhitungan diatas, dapat dilihat bahwa persentase total dari SRPM memiliki nilai minimum 25%, sehingga konfigurasi struktur gedung telah memenuhi syarat sebagai struktur *dual system*.

## 6.7 Kontrol Partisipasi Massa

Sesuai dengan SNI 1726:2019 pasal 7.9.1.1, perhitungan respons dinamik struktur harus sedemikian rupa sehingga partisipasi massa dalam menghasilkan respon total sekurang-kurangnya adalah 90%.

Tabel 6. 12 *Modal Partisipasi Massa*

<i>Case</i>	<i>Mode</i>	<i>Period</i>	<i>Sum UX</i>	<i>Sum UY</i>
		sec		
<i>Modal</i>	1	2,35	0,0497	0,4691
<i>Modal</i>	2	2,073	0,4303	0,656
<i>Modal</i>	3	1,83	0,6863	0,708
<i>Modal</i>	4	0,703	0,701	0,78
<i>Modal</i>	5	0,6	0,7408	0,8467
<i>Modal</i>	6	0,477	0,8585	0,8495
<i>Modal</i>	7	0,34	0,8657	0,8728
<i>Modal</i>	8	0,285	0,8765	0,9083
<i>Modal</i>	9	0,216	0,9232	0,9098
<i>Modal</i>	10	0,204	0,9249	0,9201
<i>Modal</i>	11	0,17	0,9302	0,94
<i>Modal</i>	12	0,137	0,9369	0,947
...	...	...	...	...
<i>Modal</i>	36	0,031	0,9993	0,9989
<i>Modal</i>	37	0,03	0,9993	0,9991
<i>Modal</i>	38	0,029	0,9996	0,9991
<i>Modal</i>	39	0,028	0,9996	0,9994
<i>Modal</i>	40	0,028	0,9997	0,9997
<i>Modal</i>	41	0,027	1	0,9997
<i>Modal</i>	42	0,026	1	0,9998
<i>Modal</i>	43	0,025	1	0,9999
<i>Modal</i>	44	0,024	1	1
<i>Modal</i>	45	0,005	1	1

Tabel 6. 13 Partisipasi Massa Statis dan Dinamis

Case	Item Type	Item	Static	Dynamic
			%	%
Modal	Acceleration	UX	100	100
Modal	Acceleration	UY	100	100

Dari tabel diatas didapatkan bahwa dalam penjumlahan respon ragam menghasilkan respon total telah mencapai lebih dari 90% untuk arah X dan arah Y, maka ketentuan menurut SNI 1726:2019 pasal 7.9.1.1 telah terpenuhi.

### 6.8 Kontrol Simpangan (*Drift*)

Kinerja batas layan struktur gedung sangat ditentukan oleh simpangan antar tingkat akibat pengaruh gempa rencahan. Dimaksudkan untuk menjaga kenyamanan pengguna jasa, mencegah kerusakan non-struktural, serta membatasi keretakan beton yang berlebihan. Nilai dari simpangan antar lantai ini dihitung dengan aplikasi program bantu struktur yang selanjutnya batasan simpangan dinyatakan tabel batas simpangan pada SNI 1726:2019, sebagai berikut:

Tabel 6. 14 Batas Simpangan Antar Lantai Ijin

Struktur	Kategori risiko		
	I atau II	III	IV
Struktur, selain dari struktur dinding geser batu bata, 4 tingkat atau kurang dengan dinding interior, partisi, langit-langit dan sistem dinding eksterior yang telah didesain untuk mengakomodasi simpangan antar lantai tingkat.	0,025 $h_{zx}^c$	0,020 $h_{zx}$	0,015 $h_{zx}$
Struktur dinding geser kantilever batu bata <sup>d</sup>	0,010 $h_{zx}$	0,010 $h_{zx}$	0,010 $h_{zx}$
Struktur dinding geser batu bata lainnya	0,007 $h_{zx}$	0,007 $h_{zx}$	0,007 $h_{zx}$
Se semua struktur lainnya	0,020 $h_{zx}$	0,015 $h_{zx}$	0,010 $h_{zx}$

Untuk sistem struktur rangka pemikul momen khusus termasuk ke dalam semua struktur lainnya, *drift* dibatasi sebesar:

$$\begin{aligned}
 \Delta_{ijin} &= 0,010 \times h_{sx} \\
 &= 0,010 \times 4000 = 40 \text{ mm (Lantai basemen dan 1)} \\
 &= 0,010 \times 3600 = 36 \text{ mm (Lantai 2-13)} \\
 &= 0,010 \times 5000 = 50 \text{ mm (Lantai 14)}
 \end{aligned}$$

Simpangan yang terjadi didapat dari hasil program bantu ETABS. Berdasarkan persyaratan besarnya kinerja layan yang terjadi pada SNI 1726:2019 pasal 7.9, yaitu:

$\delta_i = Drift \times Cd / Ie$ ; dengan  $Cd = 5,5$  dan  $Ie = 1,5$  (SNI 1726:2019, tabel 4) sehingga faktor pembesaran *drift* adalah sebagai berikut.

$$\Delta i = Drift \times \frac{5,5}{1,5}$$

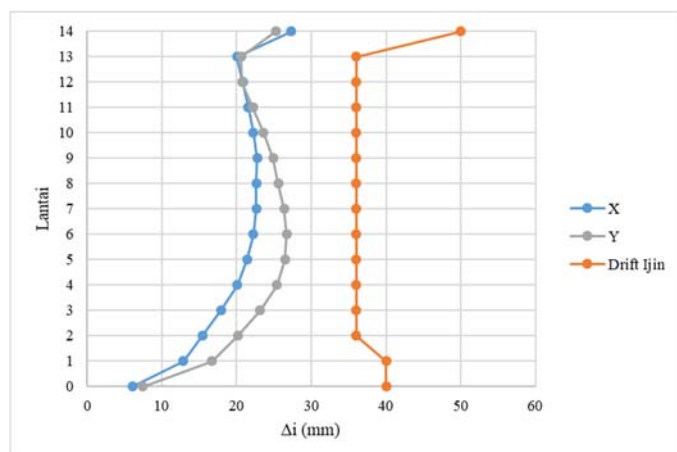
Dari hasil perhitungan ETABS, didapatkan *drift* dan  $\Delta i$  sesuai dengan SNI 1726:2019 sebagai berikut

Tabel 6. 15 Simpangan Antar Lantai Gempa Arah X

Lantai	Tinggi Lantai	Simpangan	Drift	$\Delta_i$	$\Delta_{ijin}$	Kontrol
	(mm)	(mm)	(mm)	(mm)	(mm)	
14	5000	80,719	7,459	27,350	50	OK
13	3600	73,26	5,467	20,046	36	OK
12	3600	67,793	5,682	20,834	36	OK
11	3600	62,111	5,884	21,575	36	OK
10	3600	56,227	6,06	22,220	36	OK
9	3600	50,167	6,199	22,730	36	OK
8	3600	43,968	6,171	22,627	36	OK
7	3600	37,797	6,174	22,638	36	OK
6	3600	31,623	6,065	22,238	36	OK
5	3600	25,558	5,84	21,413	36	OK
4	3600	19,718	5,478	20,086	36	OK
3	3600	14,24	4,889	17,926	36	OK
2	3600	9,351	4,199	15,396	36	OK
1	4000	5,152	3,508	12,863	40	OK
Base	4000	1,644	1,644	6,028	40	OK

Tabel 6. 16 Simpangan Antar Lantai Gempa Arah Y

Lantai	Tinggi Lantai	Simpangan	<i>Drift</i>	$\Delta_i$	$\Delta_{ijin}$	Kontrol
	(mm)	(mm)	(mm)	(mm)	(mm)	
14	5000	91,425	6,881	25,230	50	OK
13	3600	84,544	5,626	20,629	36	OK
12	3600	78,918	5,647	20,706	36	OK
11	3600	73,271	6,049	22,180	36	OK
10	3600	67,222	6,434	23,591	36	OK
9	3600	60,788	6,785	24,878	36	OK
8	3600	54,003	6,971	25,560	36	OK
7	3600	47,032	7,198	26,393	36	OK
6	3600	39,834	7,284	26,708	36	OK
5	3600	32,55	7,215	26,455	36	OK
4	3600	25,335	6,933	25,421	36	OK
3	3600	18,402	6,319	23,170	36	OK
2	3600	12,083	5,49	20,130	36	OK
1	4000	6,593	4,564	16,735	40	OK
Base	4000	2,029	2,029	7,440	40	OK



Gambar 6. 7 Drift Ijin

Sehingga berdasarkan simpangan yang terjadi searah sumbu X dan Sumbu Y memenuhi persyaratan.

## 6.9 Analisa Eksentrisitas

Antara pusat massa dan pusat rotasi lantai tingkat harus ditinjau suatu eksentrisitas rencana ed sesuai dengan ketentuan SNI 1726:2019 pasal 7.8.4.2 dengan jarak sama dengan 5% dimensi struktur tegak lurus terhadap arah gaya yang diterapkan.

- o  $e_{dx}=1,5ex+(0,05Bx)$  atau  $ex-(0,05Bx)$
- o  $e_{dy}=1,5ey+(0,05By)$  atau  $ey-(0,05By)$

Dimana:

$ex$ dan $ey$	= eksentrisitas bawaan gedung
$0,05 Bx$ dan $0,05 By$	= eksentrisitas tak terduga
$Bx$	= panjang gedung arah x
$By$	= panjang gedung arah y

Berdasarkan hasil dari ETABS maka didapatkan eksentrisitas pada Tabel berikut:

Tabel 6. 17 Eksentrisitas Aktual dan Tak Terduga

Lantai	Pusat Massa		Pusat Rotasi		Eksentrisitas (e)		0,05bx	0,05by
	X	Y	X	Y	X	Y		
Base	29,85	12,98	26,47	15,72	3,38	-2,74	2,73	1,16
1	29,85	12,98	26,48	17,43	3,37	-4,45	2,73	1,16
2	29,85	12,98	26,54	17,58	3,30	-4,60	2,73	1,16
3	29,83	12,98	26,61	17,40	3,22	-4,42	2,73	1,16
4	29,81	12,98	26,67	17,14	3,15	-4,16	2,73	1,16
5	29,81	12,98	26,72	16,86	3,09	-3,88	2,73	1,16
6	29,81	12,98	26,77	16,56	3,04	-3,59	2,73	1,16
7	29,79	12,98	26,85	15,98	2,95	-3,01	2,73	1,16
8	29,80	12,98	26,81	16,27	2,99	-3,29	2,73	1,16
9	29,78	12,98	26,88	15,71	2,90	-2,73	2,73	1,16
10	29,78	12,98	26,90	15,44	2,88	-2,46	2,73	1,16
11	29,78	12,98	26,91	15,18	2,87	-2,20	2,73	1,16
12	29,77	12,97	26,91	14,92	2,86	-1,95	2,73	1,16
13	30,01	13,00	26,90	14,69	3,12	-1,69	2,73	1,16
14	29,86	12,97	26,76	14,53	3,10	-1,56	2,73	1,16

Tabel 6. 18 Perhitungan Eksentrisitas Rencana Tiap Lantai

<b>Lantai</b>	<b>Eksentrisitas (e)</b>		<b><math>e_d = 1.5e + 0.05b</math></b>		<b><math>e_d = e - 0.05b</math></b>		<b><math>e_d</math> pakai</b>	
	<b>X</b>	<b>Y</b>	<b>X</b>	<b>Y</b>	<b>X</b>	<b>Y</b>	<b>X</b>	<b>Y</b>
Base	3,38	-2,74	7,801	2,95	0,651	3,90	7,80	3,90
1	3,37	-4,45	7,786	5,52	0,641	5,61	7,79	5,61
2	3,30	-4,60	7,680	5,74	0,570	5,76	7,68	5,76
3	3,22	-4,42	7,557	5,47	0,488	5,58	7,56	5,58
4	3,15	-4,16	7,448	5,08	0,415	5,32	7,45	5,32
5	3,09	-3,88	7,366	4,66	0,361	5,04	7,37	5,04
6	3,04	-3,59	7,293	4,22	0,312	4,75	7,29	4,75
7	2,95	-3,01	7,148	3,35	0,215	4,17	7,15	4,17
8	2,99	-3,29	7,216	3,78	0,261	4,45	7,22	4,45
9	2,90	-2,73	7,084	2,94	0,173	3,89	7,08	3,89
10	2,88	-2,46	7,051	2,54	0,151	3,62	7,05	3,62
11	2,87	-2,20	7,032	2,14	0,138	3,36	7,03	3,36
12	2,86	-1,95	7,014	1,76	0,126	3,11	7,01	3,11
13	3,12	-1,69	7,403	1,37	0,385	2,85	7,40	2,85
14	3,10	-1,56	7,376	1,18	0,368	2,72	7,38	2,72

## BAB VII

### PERENCANAAN STRUKTUR PRATEGANG

#### 7.1 Umum

Perencanaan beton prategang dilakukan pada lantai atap gedung. Sehingga jumlah balok prategang yang terdapat dalam modifikasi perencanaan gedung ini adalah 3 balok dengan bentang 23,2 m. Pada perencanaan ini metode yang digunakan pada balok prategang adalah metode pasca tarik (*post-tension*) dengan sistem sendi. Metode pasca tarik adalah metode prategang dimana tendon baja ditarik setelah beton mengeras. Jadi tendon prategang diangkurkan pada beton tersebut segera setelah gaya prategang diberikan.

Pada desain balok, dilakukan permodelan *frame-release* pada setiap hubungan balok kolom. Tujuan dari permodelan ini adalah untuk mengurangi kekangan pada kolom akibat momen negatif balok. Momen negatif yang terjadi pada hubungan balok-kolom tidak dipikul oleh kolom melainkan oleh tendon prategang pada balok dikarenakan hubungan balok-kolom yang tidak monolit.

#### 7.2 Data Perencanaan Beton Prategang

Berikut ini adalah data-data perencanaan beton prategang pada lantai atap balok:

- Panjang bentang : 23,2 m
- Dimensi balok prategang : 1200/500 mm
- $f'_c$  beton prategang : 45 MPa
- $f'_c$  beton pelat atap : 45 MPa
- $d'$  (jarak serat terluar tarik hingga titik berat tendon) = 20 cm

Untuk mendapatkan nilai kuat tekan beton saat belum keras, diambil waktu *curing* 14 hari, sehingga nilai  $f_{ci}$  dihitung dengan cara sebagai berikut (acuan koefisien berdasarkan PBI) :

- $f_{ci} = 0,88 \times 45 = 39,6 \text{ MPa}$
- $t_f = 14 \text{ cm}$

Untuk tebal pelat yang digunakan, perencanaan pada tiap lantai atap dengan balok prategang ketebalan yang digunakan yaitu 14 cm.

- o Jarak antar balok prategang  
 $s_1 = 5 \text{ m}$  dan  $s_2 = 4\text{m}$

### 7.3 Mencari Lebar Efektif

Dalam mencari lebar efektif ( $b_w$ ), lebar efektif sayap balok T sesuai SNI 2847:2019 pasal 6.3.2 tidak boleh melebihi seperempat bentang balok, dan lebar efektif sayap dari masing - masing sisi badan balok tidak boleh melebihi:

- o Setengah jarak bersih antara balok yang bersebelahan
- o Delapan kali tebal pelat

Perhitungan lebar efektif balok ialah sebagai berikut:

$$\begin{aligned}
 b_{eff} &= L/4 \\
 &= 23200/4 = 5800 \text{ mm} \\
 b_{eff} &= bw + 2 \times (8 \times t_f) \\
 &= 500 + 2 \times (8 \times 140) = 2740 \text{ mm (menentukan)} \\
 b_{eff} &= bw + b_0 \\
 &= 500 + 5000 = 5500 \text{ mm}
 \end{aligned}$$

Sehingga nilai  $b_{eff}$  yang terkecil adalah 2740 mm. Sesuai dengan persyaratan pertama dimana lebar efektif sayap balok T tidak boleh melebihi seperempat bentang balok atau 5,8 m. Penggunaan lebar efektif di dalam perhitungan beton prategang hanya digunakan pada saat analisa tegangan yang terjadi pada beton prategang sendiri, sementara untuk perhitungan beban yang ada lebar yang digunakan ialah sebesar  $s_1 = 5 \text{ m}$ , sesuai dengan jarak antar balok prategang yang sesungguhnya.

### 7.4 Penentuan Tegangan Ijin Baja dan Beton

Tegangan baja tidak boleh melampaui nilai-nilai berikut:

- a. Tegangan ijin akibat gaya pengangkuran tendon  $0,94 f_{py}$ , tetapi tidak lebih besar dari nilai terkecil dari  $0,8 f_{pu}$  dan nilai maksimum yang direkomendasikan oleh pabrik pembuat tendon prategang atau perangkat angkur.

- b. Tendon pasca tarik pada daerah angkur dan sambungan sesaat setelah penyaluran gaya prategang  $0,70 f_{pu}$

Tegangan ijin pada beton tidak boleh melebihi nilai-nilai berikut:

- a. Segera setelah peralihan gaya prategang (sebelum kehilangan), tegangan serat-serat terluar memiliki nilai sebagai berikut:

- o Tegangan tekan (SNI 2847:2019 pasal 24.5.3.1)

$$\sigma_{tk} = 0,6 \times f_{ci} = 0,6 \times 39,6 = 23,76 \text{ MPa}$$

- o Tegangan tarik terluar direncanakan untuk dapat terjadi retak, sehingga diklasifikasikan sebagai kelas T:

$$\sigma_{tr} = f_t > 0,5\sqrt{f_{ci}} \quad (\text{SNI 2847:2019 pasal 24.5.3.2})$$

$$\sigma_{tr} = 0,5 \times \sqrt{f_{ci}} = 0,5 \times \sqrt{39,6} = 3,15 \text{ MPa}$$

- o Tegangan tekan terluar pada ujung-ujung komponen struktur di atas perletakan sederhana: (SNI 2847:2019 pasal 24.5.3.1)

$$\sigma_{tk} = 0,7 \times f_{ci} = 0,7 \times 39,6 = 27,72 \text{ MPa}$$

- o Tegangan tarik terluar pada ujung-ujung komponen struktur di atas perletakan sederhana :  $(0,5) \times \sqrt{f_{ci}}$  (SNI 2847:201X pasal 24.5.3.2)

$$\sigma_{tr} = 0,5 \times \sqrt{f_{ci}} = 0,5 \times \sqrt{39,6} = 3,15 \text{ MPa}$$

- b. Pada beban kerja setelah terjadi kehilangan gaya prategang.

- o Tegangan tekan (beban tetap):  $0,45 \times f'_c$  (SNI 2847:2019 pasal 24.5.4.1)

$$\sigma_{tk} = 0,45 \times f'_c = 0,45 \times 45 = 20,25 \text{ MPa}$$

- o Tegangan tekan (beban tetap + beban hidup):  $0,6 \times f'_c$  (SNI 2847:2019 pasal 24.5.4.1)

$$\sigma_{tk} = 0,6 \times f'_c = 0,6 \times 45 = 27 \text{ MPa}$$

- o Tegangan tarik (SNI 2847:2019 pasal 24.5.2.1)

$$\text{Kelas U} = f_t \leq 0,62\sqrt{f'_c}$$

$$= f_t \leq 0,62\sqrt{45}$$

$$= f_t \leq 4,16 \text{ MPa}$$

$$\begin{aligned}\text{Kelas T} &= 0,62\sqrt{f'_c} < ft \leq \sqrt{f'_c} \\ &= 0,62\sqrt{45} < ft \leq \sqrt{45} \\ &= 4,16 < ft \leq 6,71 \text{ MPa}\end{aligned}$$

$$\begin{aligned}\text{Kelas C} &= ft > \sqrt{f'_c} \\ &= ft > \sqrt{45} \\ &= ft > 6,71 \text{ MPa}\end{aligned}$$

Pada perencanaan ini beton prategang diijinkan tarik berdasarkan kelas T dengan tegangan ijin tarik sebesar

$$0,8\sqrt{f'_c} = 5,37 \text{ MPa.}$$

Dimana:

- $f_{pu}$  = kuat tarik tendon prategang yang diisyaratkan, MPa
- $f_{py}$  = kuat leleh tendon prategang yang diisyaratkan, MPa
- $f_c$  = kuat tekan beton saat pemberian prategang awal, MPa
- $f_{ci}$  = kuat tekan beton yang diisyaratkan, MPa

## 7.5 Perhitungan Pembebaan

Perhitungan pembebaan dilakukan dalam 2 tahapan, yaitu:

### Tahap Awal

Tahap dimana struktur diberi gaya prategang sehingga hanya beban mati dan beban mati tambahan yang bekerja.

### Tahap Akhir

Merupakan tahap dimana beban mati tambahan dan beban hidup telah bekerja pada struktur (Lin & Burns, 1996).

## 7.6 Penentuan Gaya Prategang

### 7.6.1 Analisa Penampang Global

Balok prategang memiliki ukuran yang sama sehingga analisa penampang dapat memiliki nilai yang sama. Penampang balok prategang menjadi penampang balok T, karena ada pelat lantai. Perhitungan dapat menggunakan perumusan dibawah

$$E_{pelat} = 4700\sqrt{f'_c} = 4700\sqrt{45} = 31528,56 \text{ MPa}$$

$$E_{balok} = 4700\sqrt{f'_c} = 4700\sqrt{45} = 31528,56 \text{ MPa}$$

$$n = \frac{E_{balok}}{E_{pelat}} = \frac{31528,56}{31528,56} = 1$$

Luas penampang balok prategang didapat sebagai berikut:

$$\begin{aligned} be \text{ pakai} &= be/n \\ &= 2740 \text{ mm}/1 \\ &= 2740 \text{ mm} \end{aligned}$$

$$\begin{aligned} A \text{ pelat} &= be \times tf \\ &= 2740 \text{ mm} \times 140 \text{ mm} \\ &= 383600 \text{ mm}^2 \end{aligned}$$

$$\begin{aligned} A \text{ balok} &= b \times (h-tf) \\ &= 500 \times (1200 - 140) \\ &= 530000 \text{ mm}^2 \end{aligned}$$

$$\begin{aligned} A \text{ tot} &= 383600 \text{ mm}^2 + 530000 \text{ mm}^2 \\ &= 913600 \text{ mm}^2 \end{aligned}$$

$$Y_b = \frac{Apelat \times Yb \text{ pelat} + Abalok \times Yb \text{ balok}}{Apelat + Abalok}$$

$$Y_b = \frac{\left(383600 \times (1200 - \frac{140}{2})\right) + (530000 \times 530)}{913600}$$

$$Y_t = \frac{\left(383600 \times \frac{140}{2}\right) + (530000 \times 670)}{913600}$$

$$= 418,08 \text{ mm}$$

$$\begin{aligned} I_1 &= 1/12 \times b \text{ balok} \times (h \text{ balok})^3 + A \text{ balok} \times d^2 \\ &= 83263141478 \text{ mm}^4 \end{aligned}$$

$$\begin{aligned} I_2 &= 1/12 \times b \text{ pelat} \times (h \text{ pelat})^3 + A \text{ pelat} \times d^2 \\ &= 47101681312 \text{ mm}^4 \end{aligned}$$

$$I_{komp} = I_1 + I_2 = 130364822790 \text{ mm}^4$$

$$W_t = \frac{I}{Y_t} = 311822695,3 \text{ mm}^3$$

$$W_b = \frac{I}{Y_b} = 166722616,5 \text{ mm}^3$$

$$Kt = \frac{W_b}{A_{total}} = 182,48 \text{ mm}$$

$$Kb = \frac{W_t}{A_{total}} = 341,18 \text{ mm}$$

### 7.6.2 Mencari Gaya Prategang Awal (F<sub>o</sub>)

Besar gaya prategang yang dibutuhkan harus memenuhi tegangan beton yang diijinkan.

Tegangan pada beton yang diijinkan:

- Pada saat transfer

Tengah bentang:

$$\text{Tarik ijin} = 3,15 \text{ MPa}$$

$$\text{Tekan ijin} = 23,76 \text{ MPa}$$

Tumpuan:

$$\text{Tarik ijin} = 3,15 \text{ MPa}$$

$$\text{Tekan ijin} = 27,72 \text{ MPa}$$

- Pada saat beban layan

Tengah bentang:

$$\text{Tarik ijin} = 5,37 \text{ MPa}$$

$$\text{Tekan ijin} = 20,25 \text{ MPa}$$

Tumpuan:

$$\text{Tarik ijin} = 5,37 \text{ MPa}$$

$$\text{Tekan ijin} = 20,25 \text{ MPa}$$

- Eksentrisitas rencana:

$$\begin{aligned} \text{Eksentrisitas tengah bentang (e)} &= y_b - d' \\ &= 781,92 - 200 \\ &= 581,92 \text{ mm} \end{aligned}$$

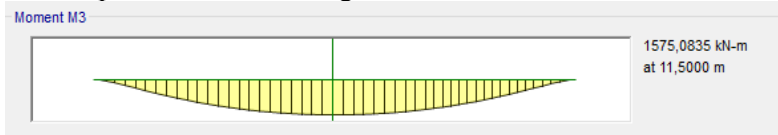
$$\text{Eksentrisitas tumpuan (e)} = 100 \text{ mm (di atas cgc)}$$

Besar gaya prategang yang dibutuhkan diambil berdasarkan beberapa persamaan, yaitu persamaan pada serat atas dan bawah tengah bentang saat transfer dan saat beban layan.

## 1. Kondisi Saat Transfer Gaya Prategang

### Tengah Bentang

Ada output dari ETABS dengan kombinasi 1D



Gambar 7. 1 Diagram Momen Akibat Beban Mati dari ETABS

$$\text{Momen tumpuan kiri} = 0 \text{ kNm}$$

$$\text{Momen lapangan} = 1575,0835 \text{ kNm}$$

$$\text{Momen tumpuan kanan} = 0 \text{ kNm}$$

- Serat atas:

$$\begin{aligned}\sigma_t &\geq -\frac{F_o}{A} + \frac{F_o \times e}{Wt} - \frac{M_{lapangan}}{Wt} \\ 3,15 &\geq -\frac{F_o}{913600} + \frac{F_o \times 581,92}{311822695,3} - \frac{1575083500}{311822695,3}\end{aligned}$$

$$F_o = 10623,68 \text{ kN}$$

- Serat bawah:

$$\begin{aligned}\sigma_b &\leq -\frac{F_o}{A} - \frac{F_o \times e}{Wb} + \frac{M_{lapangan}}{Wb} \\ -23,76 &\leq -\frac{F_o}{913600} - \frac{F_o \times 581,92}{166722616,5} + \frac{1575083500}{166722616,5}\end{aligned}$$

$$F_o = 7242,67 \text{ kN}$$

### Tumpuan

- Serat atas:

$$\begin{aligned}\sigma_t &\leq -\frac{F_o}{A} + \frac{F_o \times e}{Wt} - \frac{M_{tumpuan}}{Wt} \\ -27,72 &\leq -\frac{F_o}{913600} + \frac{F_o \times -100}{311822695,3} - \frac{0}{311822695,3}\end{aligned}$$

$$F_o = 19586,42 \text{ kN}$$

- Serat bawah:

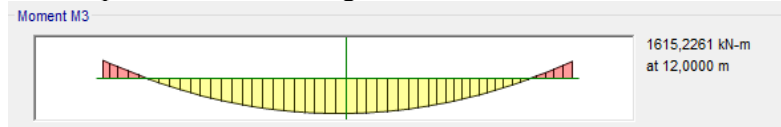
$$\begin{aligned}\sigma_b &\geq -\frac{F_o}{A} - \frac{F_o \times e}{Wb} + \frac{M_{tumpuan}}{Wb} \\ 3,15 &\geq -\frac{F_o}{913600} - \frac{F_o \times -100}{166722616,5} + \frac{0}{166722616,51}\end{aligned}$$

$$F_o = -6359,34 \text{ kN}$$

## 2. Kondisi Saat Beban Layan (Setelah Grouting)

### Tengah Bentang

Ada output dari ETABS dengan kombinasi 1D+1L



Gambar 7. 2 Diagram Momen Akibat Beban Mati dan Hidup dari ETABS

$$\text{Momen tumpuan kiri} = -832,61 \text{ kNm}$$

$$\text{Momen lapangan} = 1615,27 \text{ kNm}$$

$$\text{Momen tumpuan kanan} = -782,48 \text{ kNm}$$

- Serat atas:

$$\begin{aligned}\sigma_t &\leq -\frac{F}{A} + \frac{F \times e}{Wt} - \frac{M_{lapangan}}{Wt} \\ -20,25 &\leq -\frac{F}{913600} + \frac{F \times 581,92}{311822695,3} - \frac{1615270000}{311822695,3}\end{aligned}$$

$$F = -19529,75 \text{ kN}$$

Fo = -24412,19 kN (asumsi kehilangan gaya prategang 20%)

- Serat bawah (Asumsi kelas T):

$$\begin{aligned}\sigma_b &\geq -\frac{F}{A} - \frac{F \times e}{Wb} + \frac{M_{lapangan}}{Wb} \\ 5,37 &\geq -\frac{F}{913600} - \frac{F \times 581,92}{166722616,5} + \frac{1615270000}{166722616,5}\end{aligned}$$

$$F = 942,6 \text{ kN}$$

Fo = 1178,25 kN (asumsi kehilangan gaya prategang 20%)

### Tumpuan

- Serat atas:

$$\begin{aligned}\sigma_t &\geq -\frac{F}{A} + \frac{F \times e}{Wt} - \frac{M_{tumpuan}}{Wt} \\ 5,37 &\geq -\frac{F}{913600} + \frac{F \times -100}{311822695,3} - \frac{(-832610000)}{311822695,3}\end{aligned}$$

$$F = -1905,26 \text{ kN}$$

Fo = -2381,58 kN (asumsi kehilangan gaya prategang 20%)

- Serat bawah:

$$\sigma_b \leq -\frac{F}{A} - \frac{F \times e}{Wb} + \frac{M_t u p u a n}{Wb}$$

$$-20,25 \leq -\frac{F}{913600} - \frac{F \times 100}{166722616,5} + \frac{(-832610000)}{166722616,51}$$

$$F = 30834,54 \text{ kN}$$

$$F_o = 38543,17 \text{ kN} \text{ (asumsi kehilangan gaya prategang 20%)}$$

### 7.6.3 Kontrol Gaya Prategang

Kontrol dilakukan dengan memasukkan satu persatu  $F_o$  dan  $F$  pada semua kondisi, maka  $F_o$  yang membuat tegangan yang terjadi tidak melebihi tegangan ijinnya baik tarik maupun tekan adalah  $F_o = 3000 \text{ kN}$ .  $F_e = 2400 \text{ kN}$  (asumsi kehilangan gaya prategang 20%)

#### 1. Kondisi Saat Transfer Gaya Prategang

##### Tengah Bentang

- Serat atas:

$$\sigma_t \geq -\frac{F_o}{A} + \frac{F_o \times e}{Wt} - \frac{M_l a p a n g a n}{Wt}$$

$$3,15 \geq -\frac{3000000}{913600} + \frac{3000000 \times 581,92}{311822695,3} - \frac{1575083500}{311822695,3}$$

$$3,15 \text{ MPa} \geq -2,73 \text{ MPa} \text{ (OK)}$$

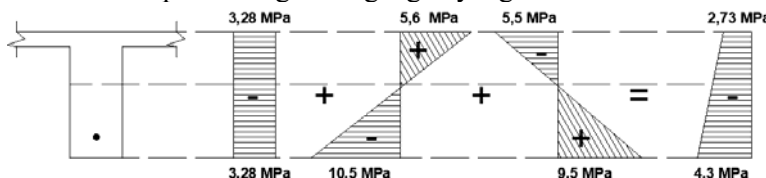
- Serat bawah:

$$\sigma_b \leq -\frac{F_o}{A} - \frac{F_o \times e}{Wb} + \frac{M_l a p a n g a n}{Wb}$$

$$-23,76 \leq -\frac{3000000}{913600} - \frac{3000000 \times 581,92}{166722616,5} + \frac{1575083500}{166722616,5}$$

$$-23,76 \text{ MPa} \leq -4,3 \text{ MPa} \text{ (OK)}$$

Berikut merupakan diagram tegangan yang dihasilkan



Gambar 7. 3 Diagram Tegangan Tengah Bentang Saat Transfer

Tumpuan

- Serat atas:

$$\sigma_t \leq -\frac{F_o}{A} + \frac{F_o \times e}{Wt} - \frac{Mtumpuan}{Wt}$$

$$-27,72 \leq -\frac{3000000}{913600} + \frac{3000000 \times 100}{311822695,3} - \frac{0}{311822695,3}$$

$$-27,72 \text{ MPa} \leq -4,25 \text{ MPa (OK)}$$

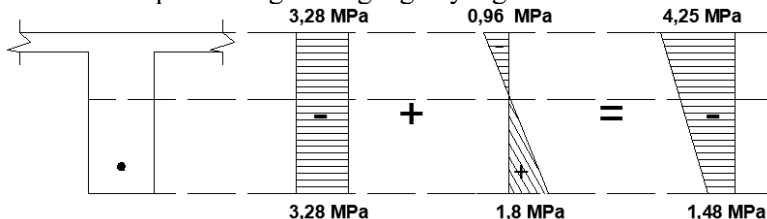
- Serat bawah:

$$\sigma_b \geq -\frac{F_o}{A} - \frac{F_o \times e}{Wb} + \frac{Mtumpuan}{Wb}$$

$$3,15 \geq -\frac{3000000}{913600} - \frac{3000000 \times 100}{166722616,5} + \frac{0}{166722616,5}$$

$$3,15 \text{ MPa} \geq -1,48 \text{ MPa (OK)}$$

Berikut merupakan diagram tegangan yang dihasilkan



Gambar 7. 4 Diagram Tegangan di Tumpuan Saat Transfer

## 2. Kondisi Saat Beban Layan (Setelah *Grouting*)

### Tengah Bentang

- Serat atas:

$$\sigma_t \leq -\frac{F}{A} + \frac{F \times e}{Wt} - \frac{Mlapangan}{Wt}$$

$$-20,25 \leq -\frac{2400000}{913600} + \frac{2400000 \times 581,92}{311822695,3} - \frac{1615270000}{311822695,3}$$

$$-20,25 \text{ MPa} \leq -3,3 \text{ MPa (OK)}$$

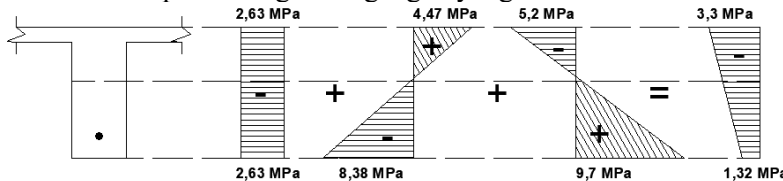
- Serat bawah (Asumsi kelas T):

$$\sigma_b \geq -\frac{F}{A} - \frac{F \times e}{Wb} + \frac{Mlapangan}{Wb}$$

$$5,37 \geq -\frac{2400000}{913600} - \frac{2400000 \times 581,92}{166722616,5} + \frac{1615270000}{166722616,5}$$

$$5,37 \text{ MPa} \geq -1,35 \text{ MPa} (\text{OK})$$

Berikut merupakan diagram tegangan yang dihasilkan



Gambar 7. 5 Diagram Tegangan Tengah Bentang Saat Beban Layan

### Tumpuan

- Serat atas:

$$\sigma_t \geq -\frac{F}{A} + \frac{F \times e}{Wt} - \frac{Mt \text{ tumpuan}}{Wt}$$

$$5,37 \geq -\frac{2400000}{913600} + \frac{2400000 \times (-100)}{311822695,3} - \frac{(-832610000)}{311822695,3}$$

$$5,37 \text{ MPa} \geq -0,73 \text{ MPa} (\text{OK})$$

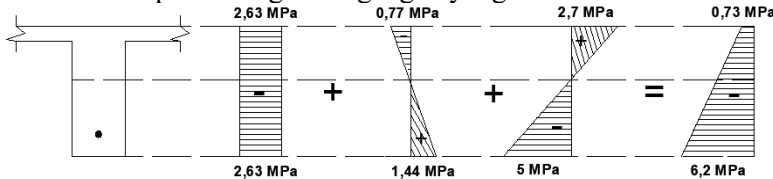
- Serat bawah:

$$\sigma_b \leq -\frac{F}{A} - \frac{F \times e}{Wb} + \frac{Mt \text{ tumpuan}}{Wb}$$

$$-20,25 \leq -\frac{2400000}{913600} - \frac{2400000 \times (-100)}{166722616,5} + \frac{(-832610000)}{166722616,51}$$

$$-20,25 \text{ MPa} \leq -6,18 \text{ MPa} (\text{OK})$$

Berikut merupakan diagram tegangan yang dihasilkan



Gambar 7. 6 Diagram Tegangan di Tumpuan Saat Beban Layan

### 7.6.4 Penentuan Tendon yang Digunakan

Dipakai tipe baja prategang dengan nilai  $f_{pu} = 1860$  (strand stress-relieved).

$$F_{p_{max}} = 0,74 \times 1860 = 1396 \text{ MPa}$$

Luas tendon yang diperlukan adalah:

$$A_{perlu} = \frac{F_o}{f_{pmax}} = \frac{3000000}{1396} = 2148,99 \text{ mm}^2$$

Tendon baja yang digunakan ialah spesifikasi dari *multistrand post-tensioning*, dengan spesifikasi sebagai berikut:

- o Tendon unit : 5-19
- o Jumlah strand : 19
- o *Minimum breaking load* : 3860 kN
- o Diameter strand : 12,7 mm
- o Jumlah tendon : 1
- o Luas tendon yang digunakan :
 
$$\begin{aligned} \text{Apakai} &= \frac{1}{4} \pi d^2 n = \frac{1}{4} \cdot \pi \cdot 12,7^2 \times 19 \\ &= 2407,83 \text{ mm}^2 > \text{Aperlu (OK)} \end{aligned}$$
- o Nilai tegangan pakai :
 
$$f_{pakai} = \frac{F_o}{Apakai} = \frac{3000000}{2407,83} = 1245,93 \text{ MPa}$$

### 7.6.5 Perhitungan Kehilangan Gaya Prategang

Berikut merupakan perhitungan kehilangan prategang pada balok:

#### 1. Kehilangan Segera (kehilangan langsung)

Kehilangan langsung adalah kehilangan gaya awal prategang sesaat setelah pemberian gaya prategang pada komponen balok prategang. Kehilangan secara langsung terdiri dari:

##### a. Kehilangan akibat slip angker

Perhitungan kehilangan prategang akibat pengangkuran harus dicek apakah kehilangan prategang akibat pengangkuran berpengaruh sampai ke tengah bentang:

$$x = \sqrt{\frac{E_s \times g}{f_{pakai} \times (\mu \frac{\alpha}{L} + K)}}$$

Dengan ketentuan sebagai berikut :

$$E_s = 200000 \text{ MPa}$$

$$g = 2,5 \text{ mm}$$

$$f_{pakai} = 1245,93 \text{ MPa}$$

$$\begin{aligned}
 \mu &= 0,15 \text{ (wire strand tendon)} \\
 K &= 0,016 \text{ (wire strand tendon)} \\
 f &= 581,92 + 100 = 681,92 \text{ mm} \\
 \alpha &= \text{sudut kelengkungan tendon } \left( \frac{8f}{L} \right) = 0,235 \\
 L &= 23,2 \text{ m} \\
 x &= \sqrt{\frac{200000 x 2,5}{1245,93 x (0,15 \frac{0,235}{23200} + 0,016)}} = 500,57 \text{ mm}
 \end{aligned}$$

Sehingga diperoleh nilai dari  $x = 500,57$  mm. Dengan hasil perhitungan pengaruh pengangkuran sampai ke tumpuan kantilever  $x < 8$  m, maka kehilangan akibat pengangkuran tidak mempengaruhi.

b. Kehilangan akibat perpendekan elastis

Dikarenakan jumlah tendon yang digunakan hanya berjumlah 1 buah, maka kehilangan gaya prategang akibat perpendekan elastis tidak mempengaruhi.

c. Kehilangan akibat gesekan (*Wobble Effect*)

Perhitungan kehilangan prategang diakibatkan oleh gesekan antara material beton dan baja prategang saat proses pemberian gaya prategang. Kehilangan prategang akibat gesekan (*wobble effect*) dihitung dengan perumusan sebagai berikut :

$$\begin{aligned}
 F_{pf} &= F_i \cdot e^{-(\mu\alpha + KL)} \\
 F_{pf} &= 3000 \cdot e^{-(\mu\alpha + KL)}
 \end{aligned}$$

Dengan ketentuan sebagai berikut :

$$\begin{aligned}
 \mu &= 0,15 \text{ (wire strand tendon)} \\
 K &= 0,016 \text{ (wire strand tendon)} \\
 \alpha &= \text{sudut kelengkungan tendon } \left( \frac{8f}{L} \right) = 0,235 \\
 L &= 23,2 \text{ m} \\
 \text{Nilai } F_{pf} &= 3000 \cdot e^{-(\mu\alpha + KL)} \\
 &= 3000 \cdot e^{-(0,15 \times 0,235 + 0,016 \times 23,2)} \\
 &= 2790,5 \text{ kN} \\
 \Delta F_{pf} &= 3000 - 2790,5 = 209,5 \text{ kN} \\
 \Delta f_{pf} &= \frac{209,5 \times 10^3}{2407,83} = 87 \text{ MPa}
 \end{aligned}$$

Percentase kehilangan prategang akibat gesekan ialah :

$$\Delta f_{pf} = \frac{87}{1245,93} \times 100\% = 6,98\%$$

d. Kehilangan akibat kekangan kolom

Perumusan yang digunakan untuk kehilangan gaya prategang akibat kekangan kolom ialah sebagai berikut :

$$\Delta P = \frac{M_B - M_A}{h}$$

Dari hasil perhitungan ETABS, diperoleh nilai maksimum nilai momen ialah sebagai berikut.

Perhitungan pada kolom.

$$M_B = 272,51 \text{ kNm}$$

$$M_A = 0 \text{ kNm}$$

$$\Delta P = \frac{(272,51-0)}{5} = 54,5 \text{ kN}$$

$$\Delta f_p = \frac{54,5 \times 1000}{2047,83} = 22,63 \text{ MPa}$$

Percentase kehilangan prategang akibat kekangan kolom ialah :

$$\Delta f_p = \frac{22,63}{1245,93} \times 100\% = 1,82\%$$

2. Kehilangan yang tergantung oleh waktu (kehilangan tidak langsung)

Hilangnya gaya awal yang ada terjadi secara bertahap dan dalam waktu yang relatif lama (tidak secara langsung seketika saat pemberian gaya prategang), adapun macam kehilangan tidak langsung adalah sebagai berikut:

a. Kehilangan akibat rangkak

Rumus perhitungan kehilangan prategang akibat rangkak:

$$CR = K_{cr} \cdot (E_s/E_c) \cdot [f_{c'ir} - f_{c'ds}]$$

dimana :

$K_{cr} = 2$  untuk metode pra-tarik

$= 1,6$  untuk metode pasca-tarik

$f_{c'ds}$  = tegangan beton didaerah c.g.s. akibat seluruh beban mati pada struktur setelah diberi gaya prategang

$f_{c_{ir}}$  = tegangan beton didaerah c.g.s. akibat gaya awal prategang

$$f_{c_{ir}} = \frac{3000000}{913600} + \frac{3000000 \times 581,92^2}{130364822790} - \frac{1575083500 \times 581,92}{130364822790}$$

$$= 4,04 \text{ MPa}$$

$$f_{c_{ds}} = \frac{261,5 \times 10^6 \times 581,92}{130364822790}$$

$$= 1,17 \text{ MPa}$$

$$\text{CR} = K_{cr} \cdot (E_s/E_c) \cdot [f_{c_{ir}} - f_{c_{ds}}]$$

$$= 1,6 \times 6,34 \times (4,04 - 1,17)$$

$$= 29,21 \text{ MPa}$$

Persentase kehilangan prategang akibat rangkak ialah:

$$\Delta f_{cr} = \frac{29,21}{1245,93} \times 100\% = 2,35\%$$

b. Kehilangan akibat susut

Rumus perhitungan kehilangan prategang akibat susut:

$$SH = (8,2 \times 10^{-6}) K_{SH} \cdot E_s \cdot \left[ 1 - 0,06 \left( \frac{V}{S} \right) \right] \cdot [100-RH]$$

$$RH = 80\%$$

$$K_{sh} = 0,77 \text{ (7 hari)}$$

$$\frac{V}{S} = \frac{\text{luas penampang beton}}{\text{keliling penampang beton}}$$

$$= \frac{913600}{7880}$$

$$= 115,9 \text{ mm} = 11,59 \text{ cm}$$

$$Es = 200000 \text{ MPa}$$

$$SH = 7,68 \text{ MPa}$$

Persentase kehilangan prategang akibat susut ialah :

$$\Delta f_{sh} = \frac{7,68}{1245,93} \times 100\% = 0,62\%$$

c. Kehilangan akibat relaksasi baja

Rumus perhitungan kehilangan prategang akibat relaksasi baja.

$$RE = [\text{Kre-J}(SH+CR+ES)] * C$$

$$K_{re} = 20000 \text{ psi} = 138 \text{ MPa}$$

$$J = 0,15$$

$$\frac{f_{pi}}{f_{pu}} = \frac{1245,93}{1860} = 0,67, \text{ sehingga diambil nilai C harus diinterpolasi}$$

$$C = 0,83$$

$$RE = [138 - 0,15 \cdot (7,68 + 29,21 + 0)] \times 0,83 \\ = 109,76 \text{ MPa}$$

Persentase kehilangan prategang akibat relaksasi baja ialah

$$\Delta f_{re} = \frac{109,76}{1245,93} \times 100\% = 8,81\%$$

Sehingga, total kehilangan prategang:

Tabel 7. 1 Rekapitulasi Perhitungan Kehilangan Prategang

Jenis Kehilangan	% Besar Kehilangan	Kehilangan Total (%)	Fo (kN)	Fe (kN)
<i>Wobble Effect</i>	6,98	20,58	3000	2383
Kekangan Kolom	1,82			
Rangkak	2,35			
Susut	0,62			
Relaksasi	8,81			

### 7.6.6 Kontrol Gaya Prategang Setelah Kehilangan

Berikut merupakan perhitungan kontrol gaya prategang setelah kehilangan.

#### a. Kontrol akibat beban layan

Ada output dari ETABS dengan kombinasi 1D+1L

Momen tumpuan kiri = -832,61 kNm

Momen lapangan = 1615,27 kNm

Momen tumpuan kanan = -782,48 kNm

#### Tengah Bentang

- Serat atas:

$$\sigma_t \leq -\frac{F}{A} + \frac{F \times e}{Wt} - \frac{M_{lapangan}}{Wt}$$

$$-20,25 \leq -\frac{2383000}{913600} + \frac{2383000 \times 581,92}{311822695,3} - \frac{1615270000}{311822695,3}$$

$-20,25 \text{ MPa} \leq -3,3 \text{ MPa (OK)}$

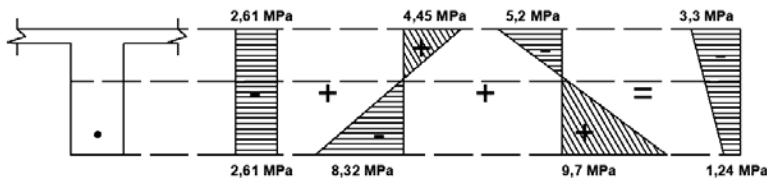
- Serat bawah:

$$\sigma_b \geq -\frac{F}{A} - \frac{F \times e}{Wb} + \frac{M_{lapangan}}{Wb}$$

$$5,37 \geq -\frac{2383000}{913600} - \frac{2383000 \times 581,92}{166722616,5} + \frac{1615270000}{166722616,5}$$

$5,37 \text{ MPa} \geq -1,24 \text{ MPa (OK)}$

Berikut merupakan diagram tegangan yang dihasilkan



Gambar 7. 7 Diagram Tegangan Tengah Bentang Saat Beban Layan

### Tumpuan

- Serat atas:

$$\sigma_t \geq -\frac{F}{A} + \frac{F \times e}{Wt} - \frac{Mtumpuan}{Wt}$$

$$5,37 \geq -\frac{2383000}{913600} + \frac{2383000 \times -100}{311822695,3} - \frac{(-832610000)}{311822695,3}$$

$5,37 \text{ MPa} \geq -0,7 \text{ MPa (OK)}$

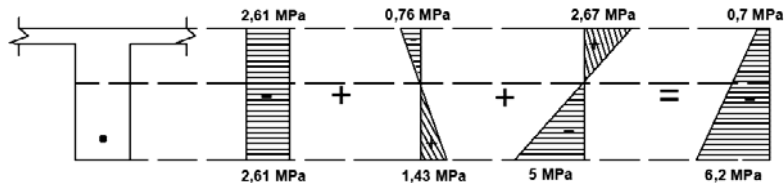
- Serat bawah:

$$\sigma_b \leq -\frac{F}{A} - \frac{F \times e}{Wb} + \frac{Mtumpuan}{Wb}$$

$$-20,25 \leq -\frac{2383000}{913600} - \frac{2383000 \times -100}{166722616,5} + \frac{(-832610000)}{166722616,5}$$

$-20,25 \text{ MPa} \leq -6,2 \text{ MPa (OK)}$

Berikut merupakan diagram tegangan yang dihasilkan



Gambar 7. 8 Diagram Tegangan di Tumpuan Saat Beban Layan

### 7.6.7 Kontrol Terhadap SNI 2847:2019 pasal 21.5.2.5

Prategang rata-rata,  $f_{pc}$ , yang dihitung untuk luas yang sama dengan dimensi penampang komponen struktur terkecil yang dikalikan dengan dimensi penampang tegak lurus tidak boleh melebihi yang lebih kecil dari 3,5 MPa dan  $f_c/10$ .

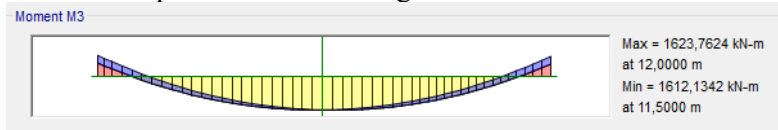
Dimana:

$$\frac{f_c}{10} = \frac{45}{10} = 4,5 \text{ MPa} \text{ dan } 3,5 \text{ MPa}, \text{ maka diambil nilai } 3,5 \text{ MPa}$$

$$f_{pc} = \frac{F_e}{A} = \frac{2383}{913600} = 2,61 \text{ MPa} < 3,5 \text{ MPa (OK)}$$

### 7.6.8 Kontrol gaya prategang akibat gempa

- Ada output dari ETABS dengan kombinasi 1D+1L+1E



Gambar 7. 9 Diagram Momen akibat Gempa dari ETABS

$$\text{Momen tumpuan kiri} = -1018,27 \text{ kNm}$$

$$\text{Momen lapangan} = 1623,76 \text{ kNm}$$

$$\text{Momen tumpuan kanan} = -967,3 \text{ kNm}$$

### Tengah Bentang

- Serat atas:

$$\sigma_t \leq -\frac{F}{A} + \frac{F \times e}{Wt} - \frac{M_{lapangan}}{Wt}$$

$$-20,25 \leq -\frac{2383000}{913600} + \frac{2383000 \times 581,92}{311822695,3} - \frac{1623760000}{311822695,3}$$

$-20,25 \text{ MPa} \leq -3,34 \text{ MPa}$  (OK)

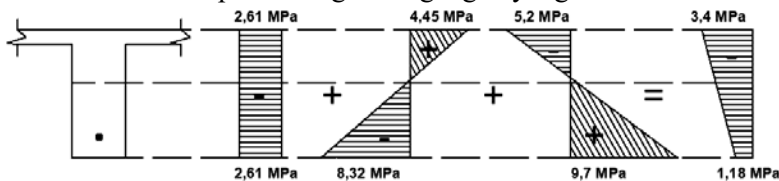
- Serat bawah (Asumsi kelas T):

$$\sigma_b \geq -\frac{F}{A} - \frac{F \times e}{Wb} + \frac{M_{lapangan}}{Wb}$$

$$5,37 \geq -\frac{2383000}{913600} - \frac{2383000 \times 581,92}{166722616,5} + \frac{1623760000}{166722616,5}$$

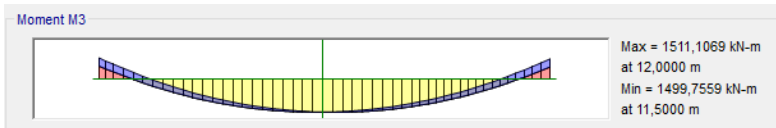
5,37 MPa  $\geq -1,18 \text{ MPa}$  (OK)

Berikut merupakan diagram tegangan yang dihasilkan



Gambar 7. 10 Diagram Tegangan Tengah Bentang Saat Beban Layan

## 2. Ada output dari ETABS dengan kombinasi 1D+0.5L+1E



Gambar 7. 11 Diagram Momen akibat Gempa dari ETABS

Momen tumpuan kiri = -953,67 kNm

Momen lapangan = 1511,1 kNm

Momen tumpuan kanan = -909,37 kNm

### Tengah Bentang

- Serat atas:

$$\sigma_t \leq -\frac{F}{A} + \frac{F \times e}{Wt} - \frac{M_{lapangan}}{Wt}$$

$$-20,25 \leq -\frac{2383000}{913600} + \frac{2383000 \times 581,92}{311822695,3} - \frac{1511100000}{311822695,3}$$

$-20,25 \text{ MPa} \leq -3 \text{ MPa}$  (OK)

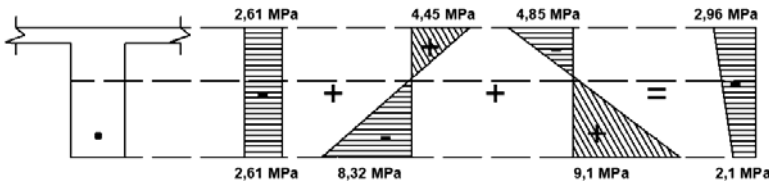
- Serat bawah (Asumsi kelas T):

$$\sigma_b \geq -\frac{F}{A} - \frac{F \times e}{W_b} + \frac{M_{lapangan}}{W_b}$$

$$5,37 \geq -\frac{2383000}{913600} - \frac{2383000 \times 581,92}{166722616,5} + \frac{1511100000}{166722616,5}$$

$$5,37 \text{ MPa} \geq -1,86 \text{ MPa (OK)}$$

Berikut merupakan diagram tegangan yang dihasilkan



Gambar 7. 12 Diagram Tegangan Tengah Bentang Saat Beban Layan

## 7.7 Daerah Limit Tendon

Daerah limit kabel adalah daerah batas dimana tendon dapat diletakkan. Tegangan tarik pada serat beton terjauh akibat beban layan tidak boleh melebihi nilai maksimum yang diijinkan persyaratan yang ada. Oleh karena itu diperlukan daerah batas pada penampang beton dimana pada daerah tersebut gaya prategang dapat diterapkan pada penampang tanpa menyebabkan terjadinya tegangan tarik pada penampang beton. Tegangan tarik diperbolehkan sebesar tegangan ijin beton prategang sehingga terdapat perluasan daerah limit kabel dengan menaikkan atau menurunkan daerah limit sesuai dengan rumus di bawah ini:

$$et = \frac{fb' \times A \times kt}{F}$$

$$eb = \frac{ft' \times A \times kb}{Fo}$$

Dimana:

- et = batas atas yang memperbolehkan terjadinya tarik
- eb = batas bawah yang memperbolehkan terjadinya tarik
- ft' = tegangan tarik ijin pada serat atas saat transfer
- fb' = tegangan tarik ijin pada serat bawah akibat beban kerja

- F = gaya prategang efektif  
 Fo = gaya prategang awal  
 kt = kern atas  
 kb = kern bawah

Berikut merupakan perhitungan daerah limit kabel.

- Limit atas kabel dipengaruhi oleh momen maksimum yang terdiri dari beban mati dan beban hidup dan gaya prategang efektif (Fe).

Momen pada koordinat  $x = L/2$  pada balok

$$a1 \text{ (atas)} = \frac{M_{max}}{F} = \frac{1615270}{2383} = 667,83 \text{ mm}$$

$$kt = 182,48 \text{ mm}$$

$$Kt = Y_b + kt = 964,42 \text{ mm}$$

$$\text{Limit atas} = Kt - a1 = 296,59 \text{ mm}$$

- Limit bawah kabel dipengaruhi oleh momen minimum yang terdiri dari beban mati dan gaya prategang (Fo).

Momen pada koordinat  $x = L/2$  pada balok

$$a2 \text{ (bawah)} = \frac{M_{max}}{F_o} = \frac{1575083}{3000} = 525 \text{ mm}$$

$$kb = 335,502 \text{ mm}$$

$$Kb = Y_b - kb = 440,61 \text{ mm}$$

$$\text{Limit atas} = Kt - a2 = -84,41 \text{ mm}$$

Berikut adalah rekapitulasi perhitungan limit tendon:

Tabel 7. 2 Hasil Perhitungan Limit Kabel

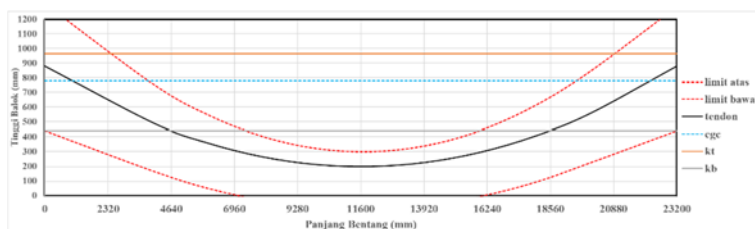
x	M DL	M total	a2	a1
	(kNm)	(kNm)		
mm	1D	1D+1L	(Md/Fo)	(Mt/Fe)
0	0,00	-832,61	0,00	-349,47
4000	822,80	510,99	274,27	214,47
6000	1171,80	1015,02	390,60	426,03
8000	1410,49	1366,08	470,16	573,38
10000	1543,81	1565,56	514,60	657,10
12000	1574,61	1615,23	524,87	677,95

x mm	M DL (kNm)	M total (kNm)	a2 (Md/Fo)	a1 (Mt/Fe)
	1D	1D+1L		
14000	1503,48	1515,48	501,16	636,08
16000	1329,09	1265,37	443,03	531,11
18000	1046,00	857,83	348,67	360,05
20000	653,23	296,75	217,74	124,55
23200	0,00	-782,48	0,00	-328,43

Tabel 7. 3 Perhitungan Layout Tendon

x mm	Kt (mm)	Kb (mm)	Limit atas	Limit bawah	cgs (mm)	y cgs act (mm)
0	964,42	440,61	1313,9	440,6	0,0	881,9
4000	964,42	440,61	749,9	166,3	389,2	492,7
6000	964,42	440,61	538,4	50,0	523,0	358,9
8000	964,42	440,61	391,0	-29,5	616,2	265,7
10000	964,42	440,61	307,3	-74,0	669,0	213,0
12000	964,42	440,61	286,5	-84,3	681,1	200,8
14000	964,42	440,61	328,3	-50,5	652,7	229,2
16000	964,42	440,61	433,3	-2,4	583,8	298,1
18000	964,42	440,61	604,4	91,9	474,3	407,6
20000	964,42	440,61	839,9	222,9	324,3	557,6
23200	964,42	440,61	1292,8	440,6	0,0	881,9

Berikut adalah layout daerah limit tendon:



Gambar 7. 13 Daerah Limit Tendon

## 7.8 Kontrol Lendutan

Kemampuan layan struktur beton prategang ditinjau dari perilaku defleksi komponen tersebut. Elemen beton prategang memiliki dimensi yang lebih langsing dibanding beton bertulang biasa sehingga kontrol lendutan sangat diperlukan untuk memenuhi batas layan yang disyaratkan pada SNI 2847:2019.

$$f_{ijin} = \frac{L}{480} = \frac{23200}{480} = 48,33 \text{ mm}$$

### a. Lendutan saat *jacking*

#### 1) Lendutan akibat tekanan tendon

Tekanan tendon menyebabkan balok tertekuk ke atas sehingga lendutan yang terjadi berupa lendutan ke atas (chambre).

$$\begin{aligned} p' &= 8 \times F_o \times f / L^2 \\ &= 8 \times 3000000 \times 681,92 / (23200)^2 \\ &= 30,4 \text{ N/mm} \\ \Delta p' &= 5/384 \times (p' \times l^4 / (E_c \times I)) \\ &= 5/384 \times (30,4 \times (23200)^4 / (31528,56 \times 130364822790)) \\ &= 27,9 \text{ mm (ke atas)} \\ M(-) &= F_o \times e_o \\ &= 3000000 \times (-100) \\ &= -300000000 \text{ Nmm} \\ \Delta M(-) &= M \times L^2 / (8 \times E_c \times I) \\ &= -300000000 \times 23200^2 / (8 \times 31528,56 \times 130364822790) \\ &= -4,9 \text{ mm} \end{aligned}$$

Total lendutan akibat tendon sebesar:

$$27,9 \text{ mm} + (-4,9) \text{ mm} = 23 \text{ mm (ke atas)}$$

#### 2) Lendutan akibat beban sendiri

$$\begin{aligned} \Delta &= -5/384 \times (g \times L^4 / (E_c \times I)) \\ &= -\frac{5}{384} \times \frac{(2400 \times 0,9136 \times 0,01) \times 23200^4}{31528,56 \times 130364822790} \\ &= -20,1 \text{ mm (ke bawah)} \end{aligned}$$

$$\Delta \text{ total} = 23 - 20,1 = 2,9 \text{ mm (ke atas)} < 48,33 \text{ mm (OK)}$$

### b. Lendutan saat beban layan

1) Lendutan akibat tekanan tendon

$$\begin{aligned}\Delta &= \frac{Fe}{F_o} \times \Delta p' + \frac{Fe}{F_o} \times \Delta M \\ &= \frac{2383}{3000} \times 27,9 \text{ mm} + \frac{2383}{3000} \times -4,9 \\ &= 18,26 \text{ mm (ke atas)}\end{aligned}$$

2) Lendutan akibat beban sendiri

Akibat beban sendiri balok T:

$$\Delta = -20,1 \text{ mm (ke bawah)}$$

Akibat beban mati merata:

$$\begin{aligned}\Delta &= -5/384 \times (g \times L^4 / (Ec \times I)) \\ &= -\frac{5}{384} \times \frac{(0,0104) \times 23200^4}{31528,56 \times 130364822790} \\ &= -1,094 \text{ (ke bawah)}\end{aligned}$$

Akibat beban hidup merata:

$$\begin{aligned}\Delta &= -5/384 \times (g \times L^4 / (Ec \times I)) \\ &= -\frac{5}{384} \times \frac{(0,0116) \times 23200^4}{31528,56 \times 130364822790} \\ &= -1,368 \text{ mm (ke bawah)}\end{aligned}$$

$$\begin{aligned}\Delta \text{ total} &= 18,26 - (20,1 + 1,094 + 1,368) \\ &= -4,3 \text{ mm (ke bawah)}\end{aligned}$$

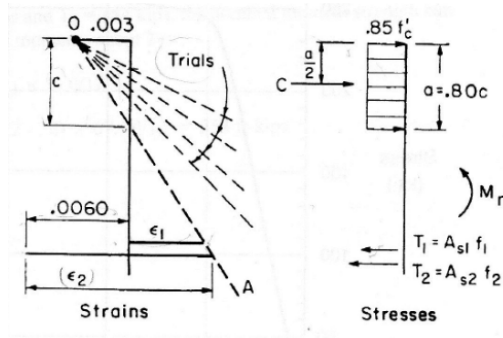
Pengaruh rangkak:

$$\begin{aligned}\Delta \text{ total} &= -4,3 \text{ mm} \times 1,8 \\ &= -7,74 \text{ mm (ke bawah)} < 48,33 \text{ mm (OK)}\end{aligned}$$

Maka nilai lendutan memenuhi persyaratan.

### 7.9 Kontrol Momen Nominal

Nilai momen nominal dapat dihitung dengan menggunakan cara dari *ACI Notes*, dimana nilai c balok didapat dari iterasi, dimana nilai c dimisalkan terlebih dahulu dan nilai C sama dengan  $T_1+T_2$ .



Gambar 7. 14 Diagram Equilibrium Kekuatan Nominal Beton  
(Sumber: ACI Notes)

- Daerah Lapangan

Di bawah ini merupakan hasil iterasi  $c = 356,5$  mm (tanda kuning pada Tabel 7.4) dengan data sebagai berikut:

- Tulangan atas = 2 D25
- Tulangan bawah = 3 D25
- Tulangan Sengkang = D13
- $f_y$  = 420 MPa
- $A_{ps}$  = 2407,83 mm<sup>2</sup>
- $F_{ps}$  = 1396 MPa
- $E$  = 200000 MPa
- $d$  = 1132,5 mm
- $dt$  = 1000 mm

Tabel 7. 4 Hasil Iterasi c di Lapangan

No	Asumsi c (mm)	$\epsilon_1$	$\epsilon_2$	$f_1$ (Mpa)	$f_2$ (Mpa)	a (mm)	C (kN)	T1 (kN)	T2 (kN)	T (kN)
								Tendon Pratekan	Tulangan Lentur	T1 + T2
1	100	0,033	0,031	1913,22	1902,21	83,79	1602,40	4114,45	2801,24	6915,69
2	200	0,018	0,014	1813,59	1788,71	167,57	3204,80	3900,19	2634,09	6534,28
3	300	0,013	0,008	1778,75	1611,17	251,36	4807,21	3825,28	2372,65	6197,93
4	356,5	0,011	0,007	1761,84	1306,29	298,70	5712,56	3788,90	1923,68	5712,57
5	400	0,010	0,006	1742,36	1101,42	335,14	6409,61	3747,02	1621,97	5368,99
6	500	0,009	0,004	1651,23	761,40	418,93	8012,01	3551,02	1121,25	4672,27
7	600	0,008	0,003	1515,42	534,50	502,71	9614,41	3258,97	787,12	4046,08

$$\text{Sehingga } Mn = C \left( d - \frac{a}{2} \right) - T1(d - dt)$$

$$Mn = 5118,1 \text{ kNm}$$

$$\emptyset Mn = 0,8 \times 5118,1 \text{ kNm}$$

$$= 4094,5 \text{ kNm} > 1615,27 \dots \text{OK}$$

- Daerah Tumpuan

Di bawah ini merupakan hasil iterasi  $c = 354,6 \text{ mm}$  (tanda kuning pada Tabel 7.5) dengan data sebagai berikut:

- Tulangan atas = 3 D25
- Tulangan bawah = 2 D25
- Tulangan Sengkang = D13
- $f_y$  = 420 MPa
- $A_{ps}$  = 2407,83 mm<sup>2</sup>
- $F_{ps}$  = 1396 MPa
- $E$  = 200000 MPa
- $d$  = 1132,5 mm
- $dt$  = 882 mm

Tabel 7. 5 Hasil Iterasi c di Tumpuan

No	Asumsi $c$ (mm)	$\epsilon_1$	$\epsilon_2$	$f_1$ (Mpa)	$f_2$ (Mpa)	a (mm)	C (kN)	T1 (kN)	T2 (kN)	T (kN)
								Tendon Pratekan	Tulangan Lentur	T1 + T2
1	100	0,029	0,031	1889,71	1902,21	83,79	1602,40	4063,90	2801,24	6865,14
2	200	0,016	0,014	1801,76	1788,71	167,57	3204,80	3874,75	2634,09	6508,84
3	300	0,012	0,008	1767,28	1611,17	251,36	4807,21	3800,61	2372,65	6173,26
4	354,6	0,010	0,007	1741,21	1316,20	297,10	5682,12	3744,53	1938,27	5682,79
5	400	0,009	0,006	1702,42	1101,42	335,14	6409,61	3661,12	1621,97	5283,09
6	500	0,008	0,004	1561,30	761,40	418,93	8012,01	3357,64	1121,25	4478,89
7	600	0,007	0,003	1411,83	534,50	502,71	9614,41	3036,20	787,12	3823,32

$$\text{Sehingga } Mn = C \left( d - \frac{a}{2} \right) - T1(d - dt)$$

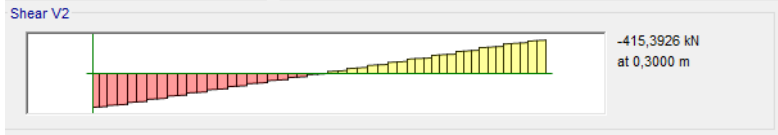
$$Mn = 4656,8 \text{ kNm}$$

$$\emptyset Mn = 0,8 \times 4656,8 \text{ kNm}$$

$$= 3725,4 \text{ kNm} > 832,61 \text{ kNm} \dots \text{OK}$$

## 1. Penulangan Geser

Berikut adalah diagram gaya geser pada balok prategang dengan menggunakan program bantu ETABS



Gambar 7. 15 Diagram Geser dari ETABS

Gaya geser rencana didapat dengan menggunakan program bantu ETABS, yaitu sebagai berikut:

- o  $V_u = 415,39 \text{ kN} = 415390 \text{ N}$
- o  $M_u = 1615,27 \text{ kNm}$   
 $= 1615270000 \text{ Nmm}$
- o  $V_c = (0,05\lambda\sqrt{f'c} + 4,8 \frac{V_u.dp}{M_u}) bw.d$   
 $b = 500 \text{ mm}$   
 $h = 1200 \text{ mm}$   
 $dp = yb + e = 781,92 + 100 = 881,92 \text{ mm}$   
 $\lambda = 1$   
 $d = 1132,5 \text{ mm}$
- o  $V_c = (0,05 \cdot 1 \cdot \sqrt{45} + 4,8 \frac{415390 \times 881,92}{1615270000}) 500 \times 1132,5$   
 $= 618319,53 \text{ N}$
- o  $V_c \text{ min} = 0,17 \cdot \lambda\sqrt{f'c} \cdot bw \cdot d$   
 $= 0,17 \times 1 \times \sqrt{45} \times 500 \times 1132,5$   
 $= 645748,48 \text{ N}$
- o  $V_c \text{ max} = 0,42 \cdot \lambda\sqrt{f'c} \cdot bw \cdot d$   
 $= 0,42 \times 1 \times \sqrt{45} \times 500 \times 1132,5$   
 $= 1595378,6 \text{ N}$
- o  $V_c \text{ pakai} = V_c \text{ min} = 645748,48 \text{ N} (V_{cmin} > V_c)$

Berikut persyaratan pemasangan tulangan geser

- $V_u \leq 0,5\phi V_c$  (tidak butuh tulangan geser)  
 $415390 \text{ N} \leq 0,5 \cdot 0,75 \cdot 645748,48$   
 $415390 \text{ N} \geq 242155,68 \text{ N}$  (Tidak OK)  
 Sehingga butuh tulangan geser
- $0,5\phi V_c \leq V_u \leq \phi V_c$  (Butuh tulangan geser minimum)  
 $242155,68 \text{ N} \leq 415390 \text{ N} \leq 0,75 \cdot 645784,48 \text{ N}$   
 $242155,68 \text{ N} \leq 415390 \text{ N} \leq 484338,36 \text{ N}$  (OK)  
 sehingga butuh tulangan geser minimum
- $\phi V_c \leq V_u \leq \phi V_c + 0,66\sqrt{f c'} bw.d$   
 $484338,36 \text{ N} \geq 415390 \text{ N} \leq 2363644,4 \text{ N}$  (tidak OK)

Berdasarkan persyaratan tulangan geser, maka dibutuhkan tulangan geser.

Direncanakan tulangan sengkang 2 kaki berdiameter 13 dengan jarak 200 mm

- $A_s D_{13} = \frac{1}{4}\pi 13^2$   
 $= 132,78 \text{ mm}^2$
- $A_v_{min} = 0,062 \sqrt{f c} \frac{bw.s}{f_y t}$
- $A_v_{min} = 0,062 \sqrt{45} \frac{500.200}{420}$   
 $= 99,03 \text{ mm}^2$

Dipakai 2D13 ( $A_v = 132,78 \text{ mm}^2 \geq A_v min$ )

Jadi tulangan geser pakai = 2D13-200

Pada daerah sendi plastis, jarak maksimum antar sengkang tertutup tidak boleh melebihi RSNI 2847:2019 Pasal. 21.5.3.2:

1.  $d/4 = 1132,5/4 = 283,125 \text{ mm}$
2.  $6 \times D \text{ utama} = 6 \times 29 = 174 \text{ mm}$
3. 150 mm

Dari jarak yang sudah di hitung, diambil jarak sengkang yang paling kecil, yaitu = 150 mm. Sengkang dipasang sepanjang  $2h =$

$2 \times 1200 = 2400$  mm dari muka kolom. Sengkang pertama dipasang 50 mm dari muka kolom di kedua ujung balok.

## 2. Penulangan Torsi

Perencanaan torsi didasarkan dari SNI 2847:2019, yaitu pengaruh puntir dapat diabaikan jika momen puntir terfaktor Tu memenuhi syarat sebagai berikut:

$$Tu < \phi \cdot 0,083\lambda\sqrt{fc} \left( \frac{Acp^2}{Pcp} \right) \sqrt{1 + \frac{fpc}{0,33\lambda\sqrt{fc}}}$$

Keterangan :

Acp = Luas penampang keseluruhan

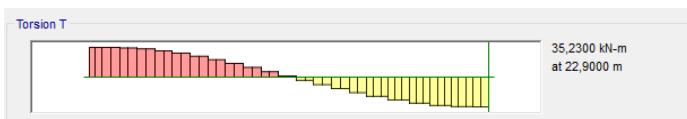
Pcp = Keliling penampang keseluruhan

$\lambda = 1$  (beton)

$\phi = 0,75$  (faktor reduksi beban torsi)

Fcp = 2,61 MPa

Berikut adalah diagram momen puntir pada balok prategang dengan program bantu ETABS.



Gambar 7. 16 Diagram Momen Puntir dari ETABS

Kontrol kebutuhan torsi :

$$\begin{aligned} Acp &= b \times h \\ &= 500 \times 1200 = 600000 \text{ mm}^2 \end{aligned}$$

$$\begin{aligned} Pcp &= 2(b+h) \\ &= 2 \times (500 + 1200) \\ &= 3400 \text{ mm} \end{aligned}$$

$$Tu = 35,23 \text{ kN.m} = 35230000 \text{ N.mm}$$

$$Tu < 0,75 \cdot 0,083 \cdot 1 \cdot \sqrt{45} \cdot \left( \frac{600000^2}{3400} \right) \cdot \sqrt{1 + \frac{2,61}{0,33 \cdot 1 \cdot \sqrt{45}}}$$

$$35230000 \text{ Nmm} < 65655699 \text{ N.mm (OK)}$$

Persyaratan diatas terpenuhi, maka balok prategang tidak memerlukan tulangan torsi.

## 7.10 Kontrol Momen Retak

Perhitungan kuat ultimate dari beton prategang adalah jumlah total baja tulangan non prategang dan prategang harus cukup untuk menghasilkan beban terfaktor paling sedikit 1,2 beban retak yang terjadi berdasarkan nilai modulus retak sebesar  $0,62 \sqrt{f'_c}$  sehingga didapatkan  $\phi M_n > 1,2 M_{cr}$ , dengan nilai  $\phi = 0,9$ .

### 1. Tumpuan

$$\begin{aligned}
 F &= 2383 \text{ kN} \\
 kb &= 341,31 \text{ mm} \\
 e &= 100 \text{ mm} \\
 W_T &= 311822695,3 \text{ mm}^3 \\
 f_r &= 0,62 \sqrt{f'_c} = 0,62 \sqrt{45} \\
 &= 4,16 \text{ MPa} \\
 M_1 &= F(e+kb) \\
 &= 2383 \text{ kN} \times 10^3 (100 \text{ mm} + 341,31 \text{ mm}) \\
 &= 1051434797 \text{ Nmm} = 1051,43 \text{ kNm} \\
 M_2 &= f_r \times W_T \\
 &= 4,16 \text{ MPa} \times 311822695,3 \text{ mm}^3 \\
 &= 1296897543 \text{ Nmm} = 1296,9 \text{ kNm} \\
 M_{cr} &= M_1 + M_2 \\
 &= 2348332340 \text{ Nmm} \\
 &= 2348,3 \text{ kNm}
 \end{aligned}$$

Berdasarkan persyaratan kontrol momen retak dapat dihitung sebagai berikut:

$$\begin{aligned}
 \phi M_n &> 1,2 M_{cr} \\
 3725,4 \text{ kNm} &> 1,2 \times 2348,3 \text{ kNm} \\
 3725,4 \text{ kNm} &> 2817,9 \text{ kNm} \text{ (OK)}
 \end{aligned}$$

### 2. Lapangan

$$\begin{aligned}
 F &= 2383 \text{ kN} \\
 Kt &= 182,49 \text{ mm} \\
 e &= 100 \text{ mm} \\
 W_B &= 166722616,5 \text{ mm}^3 \\
 f_r &= 0,62 \sqrt{f'_c} = 0,62 \sqrt{45} \\
 &= 4,16 \text{ MPa} \\
 M_1 &= F(e+Kt)
 \end{aligned}$$

$$\begin{aligned}
 &= 2383 \text{ kN} \times 10^3 (100 \text{ mm} + 182,49 \text{ mm}) \\
 &= 1821236814 \text{ Nmm} = 1821,23 \text{ kNm} \\
 M_2 &= f_r \times W_T \\
 &= 4,16 \text{ MPa} \times 166722616,5 \text{ mm}^3 \\
 &= 693413773,2 \text{ Nmm} = 6934,14 \text{ kNm} \\
 M_{cr} &= M_1 + M_2 \\
 &= 2514650587 \text{ Nmm} \\
 &= 2514,65 \text{ kNm}
 \end{aligned}$$

Berdasarkan persyaratan kontrol momen retak dapat dihitung sebagai berikut:

$$\begin{aligned}
 \phi M_n &> 1,2 M_{cr} \\
 4094,5 \text{ kNm} &> 1,2 \times 2514,65 \text{ kNm} \\
 4094,5 \text{ kNm} &> 3017,58 \text{ kNm} \quad (\text{OK})
 \end{aligned}$$

## 7.11 Pengangkuran Ujung

Balok prategang pasca tarik, kegagalan bisa disebabkan oleh hancurnya bantalan beton pada daerah tepat di belakang angkur tendon akibat tekanan yang sangat besar. Kegagalan ini diperhitungkan pada kondisi ekstrim saat transfer, yaitu saat gaya prategang maksimum dan kekuatan beton minimum. Bila diperlukan, pada daerah pengangkuran dapat dipasang tulangan untuk memikul gaya pencar, pengelupasan dan gaya tarik tepi longitudinal yang timbul akibat pengankuran tendon.

Dalam studi ini digunakan angkur hidup. Hal ini dikarenakan metode pemberian gaya prategang dengan sistem pasca tarik. Penulangan pengekangan di seluruh pengangkuran harus sedemikian rupa hingga mencegah pembelahan dan bursting yang merupakan hasil dari gaya tekan terpusat besar yang disalurkan melalui alat angkur.

$$\begin{aligned}
 P_u &= 1,2 \times P \\
 P &= 3000 \text{ kN} = 3000000 \text{ N} \\
 P_u &= 1,2 \times 3000000 = 3600000 \text{ N} \\
 T_{pencar} &= 0,25 \times P_u \left(1 - \frac{a}{h}\right) \\
 d_{pencar} &= 0,5 (h - 2e)
 \end{aligned}$$

Dimana:

- P<sub>u</sub> = Jumlah gaya tendon terfaktor total untuk pengaturan penarikan tendon yang ditinjau
- a = Tinggi angkur atau kelompok angkur yang berdekatan pada arah yang ditinjau
- e = Eksentrisitas angkur atau kelompok angkur yang berdekatan terhadap sumbu berat penampang
- h = Tinggi Penampang pada arah yang ditinjau

Diperoleh:

- a = 265 mm (angkur strand 5-19, VSL tabel)
- e = 100 mm
- h = 1200 mm

Maka:

$$T_{\text{pencar}} = 0,25 \times 3600000 \left(1 - \frac{265}{1200}\right) = 701250 \text{ N}$$

$$d_{\text{pencar}} = 0,5 \times (1200 - 2 \times 100) = 500 \text{ mm}$$

$$A_{\text{vp}} = \frac{T_{\text{pencar}}}{f_y} = \frac{701250}{420} = 1669,64 \text{ mm}^2$$

Digunakan tulangan 2D16 ( $A_v = 402,12 \text{ mm}^2$ ), maka kebutuhan tulangan ialah sebanyak

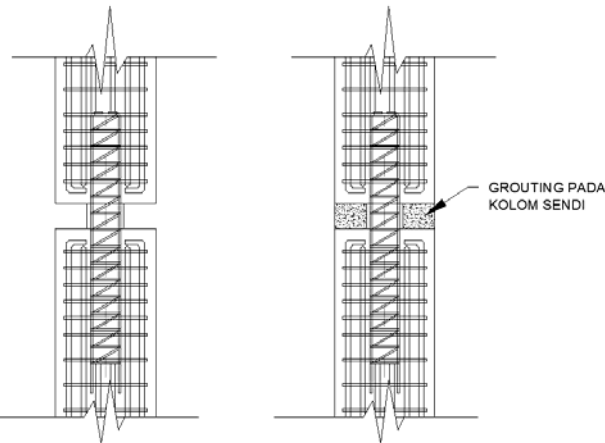
$$n = \frac{1669,64}{402,12} = 4,15 = 5 \text{ buah}$$

Spasi antar sengkang (s) dihitung dengan cara sebagai berikut:

$$S = \frac{d_{\text{pencar}}}{n} = \frac{500}{5} = 100 \text{ mm}$$

## 7.12 Perencanaan Kolom Sendi

Sebagai usaha mengeliminasi kehilangan prategang oleh kekangan kolom dan menghindari momen komulatif yang terjadi pada dasar kolom paling bawah akibat *post tension* yang di kenakan setiap lantainya, maka desain dasar kolom harus didesain sendi sementara (Gambar 7.17). Setelah *post tension* selesai dikerjakan, setelah creep dan pemendekan elastis berakhir setelah *jacking*, barulah dasar kolom tersebut di *grouting* untuk menjadikannya jepit. (Mark Fintel dan S.K. Ghosh, 1989).



Gambar 7. 17 Sendi Sementara dan Bentuk Sendi yang di-  
*Grouting* (Jepit)

Untuk kolom dengan penampang  $600 \times 600$  mm direncanakan:

- diameter sendi ( $D_c$ ) = 200 mm
- tulangan ( $d$ ) = 13 mm
- sengkang ( $db$ ) = 10 mm
- decking = 20 mm
- jarak sengkang ( $s$ ) = 100 mm

Kekuatan tulangan spiral adalah

$$T_s = 2 \rho_s A_c f_y$$

Dimana  $\rho_s$  = presentasi tulangan spiral.

Dengan tulangan spiral, kuat tekan beton semakin meningkat

$$f'_c = f_c + 4,1 (\sigma_s)$$

dimana  $s$  adalah jarak spiral

$$s = \frac{4 \cdot A_s (D_c - db)}{D_c^2 \cdot \rho_s}$$

$$\rho = \frac{4 \cdot A_s (D_c - db)}{D_c^2 \cdot s}$$

dimana:

$A_s$  = luas penampang spiral

$db$  = diameter tulangan spiral

Dc = diameter inti beton luar keluar dari spiral

$$As = 0,25\pi \times 10^2 = 78,53 \text{ mm}^2$$

$$Ac = 0,25\pi \times (200-20)^2 = 25446.9 \text{ mm}^2$$

rasio tulangan

$$\rho = \frac{4 \times 78,53 (200-10)}{200^2 \cdot 100} = 0,0149$$

tegangan yang dihasilkan sengkang:

$$T_s = 2 \times 0,0149 \times 25446.9 \times 420 = 318975,7 \text{ N}$$

untuk mendapat tegangan, maka  $T_s$  dibagi dengan luasan penampang beton:

$$\sigma_s = 318975,7 / 25446,9 = 12,53 \text{ N/mm}^2$$

Sehingga peningkatan kemampuan beton yang terjadi adalah

$$f'c = 40 + 4,1 (\sigma_s)$$

$$= 40 + 4,1 (12,53 \text{ MPa})$$

$$= 91,39 \text{ MPa}$$

### 7.12.1 Kontrol Kapasitas Beban Aksial Kolom Terhadap Beban Aksial Terfaktor

Dalam pembuatan sendi tersebut harus mempertimbangkan kemampuannya dalam menahan beban searah gravitasi, sehingga dalam tahap pelaksanaan sejak dasar kolom berupa sendi mampu menahan beban konstruksi yang terjadi (E.G. Nawy, 2000)

Kapasitas beban aksial tidak boleh kurang dari beban aksial terfaktor hasil analisa struktur.

- $\emptyset P_n = 0,8 \times \emptyset \times (0,85 \times f'c \times (Ag - Ast) + fy \times Ast) > Pu_{max}$
- $Pu_{max} = 628,311 \text{ kN}$
- $Ag = 0,25\pi \times (200)^2 = 31415,93 \text{ mm}^2$
- $As = 6 \text{ D13} = 796,393 \text{ mm}^2$
- $\emptyset P_n = 0,8 \cdot 0,7 (0,85 \cdot 40 \cdot (31415,93 - 796,393) + 420 \cdot 796,393)$
- $\emptyset P_n = 770 \text{ kN} > Pu_{max} = 628,311 \text{ kN (OK)}$

### 7.13 Metode Pelaksanaan

Metode pelaksanaan beton prategang sistem bawah adalah sebagai berikut:

1. Dimulai dengan pekerjaan penulangan kolom lantai 14 dan kemudian dilanjutkan dengan penulangan sendi spiral pada kolom bagian atas.
2. Setelah tulangan siap dilanjutkan dengan pengecoran kolom dan sendi spiral lantai 14.
3. Setelah beton di cor dan cukup umur (7 hari) dilanjutkan dengan penulangan lunak balok prategang berupa tulangan longitudinal dan transversal.
4. Setelah semua tulangan terpasang dilanjutkan dengan pemasangan beton decking dan *strand tendon* prategang serta pemasangan angkur mati sesuai koordinat yang telah diberikan.
5. Lalu dilanjutkan dengan pengecoran balok prategang dengan mutu beton  $f'_c$  45 MPa, dan *curing* dilakukan pada 7 hari.
6. Setelah beton berumur 14 hari, dilanjutkan dengan pemberian gaya prategang pada balok prategang dimana angkur hidup diletakkan dimuka *joint*.
7. Setelah 24 jam terhitung setelah *jacking* atau pemberian prategang maka dilakukan perubahan perilaku yang sebelumnya kolom berperilaku sebagai sendi diubah menjadi jepit (monolit) dengan melakukan *grouting* pada kolom sendi.

*“Halaman ini sengaja dikosongkan”*

## **BAB VIII**

### **PERENCANAAN STRUKTUR UTAMA NON PRATEGANG**

#### **8.1 Perencanaan Balok Induk**

Balok induk merupakan struktur utama yang memikul beban struktur sekunder dan meneruskan beban tersebut ke kolom. Di dalam *preliminary* desain direncanakan beberapa balok induk seperti :

Tabel 8. 1 Rekapitulasi Dimensi Balok Induk

Nama	Bentang (mm)	Arah	Dimensi	
			h (mm)	b (mm)
BI 1	7200	Memanjang	650	450
BI 2	5000	Memanjang	500	350
BI 3	4000	Memanjang	500	350
BI 4	7200	Melintang	650	450
BI 5	8000	Melintang	650	450
BI 6	4000	Melintang	600	400

##### **8.1.1 Data Perencanaan Penulangan Balok Induk**

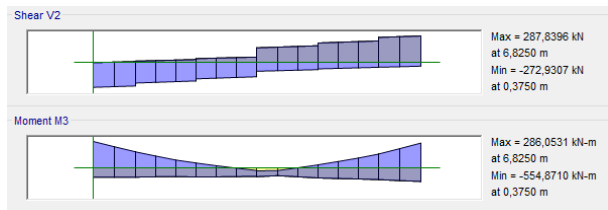
Pada perencanaan penulangan lentur balok induk ini akan dicontohkan melalui perhitungan balok induk BI 1.

A. Data perencanaan:

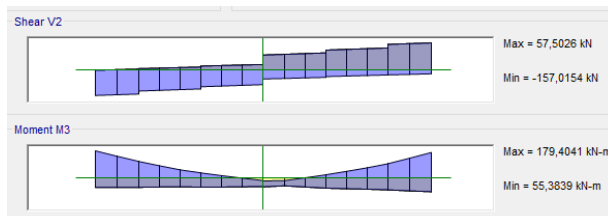
- o L = 7200 mm
- o F'c = 40 MPa
- o Fy = 420 MPa
- o Tulangan lentur (D) = 25 mm
- o As tulangan lentur = 490,873 mm<sup>2</sup>
- o Tul. sengkang (D) = 13 mm
- o As tulangan sengkang = 132,73 mm<sup>2</sup>
- o b = 450 mm
- o h = 650 mm
- o Decking = 40 mm

- o  $d'$  = decking + Øsengkang +  $\frac{1}{2} \varnothing$  lentur  
= 65,5 mm
- o  $d$  =  $h - (\text{decking} + \varnothing\text{sengkang} + \frac{1}{2} \varnothing\text{lentur})$   
= 584,5 mm

Melalui program bantu ETABS didapatkan momen dan gaya geser maksimum pada tumpuan dan lapangan akibat kombinasi beban *ENVELOPE*, dengan diagram sebagai berikut



Gambar 8.1 Diagram Momen dan Geser Tumpuan



Gambar 8.2 Diagram Momen dan Geser Lapangan

Tabel 8. 2 Hasil Analisa Struktur pada BI1

Component	Hasil
Mu Lapangan (+)	179,4 kNm
Mu Tumpuan (-)	-554,871 kNm
Mu Tumpuan (+)	322,65 kNm
Vu (Envelope)	287,8396 kN
Vu (1,2D+1,6L)	210,2 kN
Tu	71,95 kNm

Karena struktur menggunakan sistem pemikul rangka momen khusus, maka syarat yang harus dipenuhi untuk komponen struktur pada sistem rangka yang memikul gaya akibat gempa yang direncanakan memikul lentur adalah :

- Gaya aksial tekan terfaktor pada komponen struktur tidak boleh melebihi  $0,1 \times A_g \times f'_c$   
 $0 \text{ N} < 0,1 \times 450 \times 650 \times 40 = 1170000 \text{ N}$  (OK)
- Bentang bersih minimum  $\geq 4d$   
 $(7200 \text{ mm} - 750 \text{ mm}) \geq 4 \times 584,5 \text{ mm}$   
 $6450 \text{ mm} \geq 4 \times 584,5 = 2338 \text{ mm}$  (OK)
- Perbandingan Lebar/Tinggi balok  $> 0,3$  dan  
 $\frac{\text{Lebar}}{\text{Tinggi}} = \frac{45}{65} = 0,69 > 0,3$  (OK)
- Lebar balok tidak boleh melebihi 1,75 lebar kolom  
 $450 \text{ m} < (1,75 \times 750) = 1312,5 \text{ mm}$  (OK)

### 8.1.2 Perencanaan Penulangan Lentur

#### Penulangan Tumpuan

Asumsi awal berada pada kondisi *tension controlled section* (penampang terkontrol tarik), dimana  $\emptyset = 0,9$

##### a. Penulangan tumpuan atas

- $M_u = -554,871 \text{ kNm}$
- $M_n = \frac{M_u}{\emptyset}$   
 $= \frac{-554,871 \times 10^6}{0,9}$   
 $= 616523333 \text{ N.mm}$
- $\beta_1 = 0.85 - 0.05 \frac{(F'_c - 28)}{7}$   
 $= 0.85 - 0.05 \frac{(40 - 28)}{7}$   
 $= 0.764$
- $\rho_{\max} = 0.025$  (menentukan)
- $\rho_{\min} = \frac{0.25x\sqrt{f'_c}}{f_y}$

$$= \frac{0,25x\sqrt{40}}{420} = 0,00376 \text{ (menentukan)}$$

- $\rho_{\min} = \frac{1,4}{fy} = \frac{1,4}{420} = 0,0035$

- $m = \frac{fy}{0,85 f_{c'}} = \frac{420}{0,85 \times 40} = 12,353$

- $R_n = \frac{Mn}{bd^2} = \frac{616523333}{450 \times 584,5^2} = 4,01 \text{ N/mm}^2$

- $\rho_{\text{perlu}} = \frac{1}{m} \left( 1 - \sqrt{1 - \frac{2 \times m \times R_n}{fy}} \right)$   
 $= \frac{1}{12,353} \left( 1 - \sqrt{1 - \frac{2 \times 12,353 \times 4,01}{420}} \right)$   
 $= 0,01019$

- Maka dipakai  $\rho = 0,01019$  ( $\rho_{\min} < \rho_{\text{pakai}} < \rho_{\max}$ )
- Tulangan tumpuan atas

As perlu  $= \rho \cdot b \cdot d$   
 $= 0,01019 \times 450 \times 584,5 = 2680,067 \text{ mm}^2$

n (jumlah)  $= \frac{\text{As perlu}}{\text{As tulangan}}$   
 $= \frac{2680,067}{490,873} = 5,46 \sim 6 \text{ buah}$

Maka akan direncanakan dipasang 2 lapis

- Kontrol jarak tulangan lapis pertama

Jarak tulangan (s)  $= \frac{b - n \cdot \emptyset L - 2d' - 2\emptyset s}{n-1}$   
 $= \frac{450 - 4(25) - 2(65,5) - 2(13)}{4-1}$   
 $= 81 \text{ mm} > 25 \text{ mm (OK)}$

Maka tulangan dapat dipasang susun 2 lapis

- As pakai  $= n \times \text{As (D25)}$   
 $= 6 \times 490,873 \text{ mm}^2$   
 $= 2945,243 \text{ mm}^2 > \text{As Perlu (OK)}$

Maka digunakan tulangan lentur negatif tumpuan **6D25**.

- Menghitung  $d'$  dan  $d$  baru untuk tumpuan atas

$d'$   $= \text{decking} + \emptyset \text{sengkang} + \emptyset \text{lentur} + 20 \text{ mm}$   
 $= 98 \text{ mm}$

$d = h - d' = 552 \text{ mm}$

- Menghitung momen nominal tulangan tumpuan atas

$$\begin{aligned} a &= \frac{As.fy}{0,85.f'c.b} \\ &= \frac{2945,243 \times 420}{0,85 \times 40 \times 450} = 80,849 \text{ mm} \end{aligned}$$

$$\begin{aligned} \varnothing M_n &= 0,9 \cdot As \cdot fy \cdot (d-a/2) \\ &= 0,9 \times 2945,243 \times 420 \times (552 - (80,849 / 2)) \\ &= 0,9 \times 632819470 \text{ Nmm} \\ &= 569537523 \text{ Nmm} \\ &= 569,537 \text{ kNm} > M_u = 554,871 \text{ kNm} (\text{OK}) \end{aligned}$$

b. Penulangan tumpuan bawah

Kuat lentur positif komponen struktur lentur pada muka kolom tidak boleh lebih kecil dari setengah kuat lentur negatifnya pada komponen tersebut.

- $M_u$  tumpuan (+) = 322,65 kNm
- $0,5 \varnothing M_n$  tumpuan atas =  $0,5 \times 569,537$  kNm  
= 284,77 kNm < 322,65 kNm

$0,5 M_n$  tulangan atas <  $M_u$  tumpuan positif, sehingga gunakan momen lentur ultimate tumpuan (+).

- $M_n = \frac{M_u}{\beta_1} = 358,5 \text{ kNm}$
- $\beta_1 = 0,85 - 0,05 \frac{(f'c - 28)}{7}$   
 $= 0,85 - 0,05 \frac{(40 - 28)}{7}$   
 $= 0,764$
- $\rho_{max} = 0,025$  (menentukan)
- $\rho_{min} = \frac{0,25x\sqrt{f'c}}{fy}$   
 $= \frac{0,25x\sqrt{40}}{420} = 0,00376$  (menentukan)
- $\rho_{min} = \frac{1,4}{fy} = \frac{1,4}{420} = 0,0035$
- $m = \frac{fy}{0,85 f'c} = \frac{420}{0,85 \times 40} = 12,353$
- $R_n = \frac{M_n}{bd^2} = \frac{358500000}{450 \times 584,5^2}$

- $$= 2,332 \text{ N/mm}^2$$
- $\rho_{\text{perlu}} = \frac{1}{m} \left( 1 - \sqrt{1 - \frac{2 \times m \times Rn}{f_y}} \right)$
  - $= \frac{1}{12,353} \left( 1 - \sqrt{1 - \frac{2 \times 12,353 \times 2,332}{420}} \right)$
  - $= 0,00576$
  - Maka dipakai  $\rho = 0,00576$  ( $\rho_{\text{min}} < \rho_{\text{pakai}} < \rho_{\text{max}}$ )
  - Tulangan tumpuan atas
    - As perlu  $= \rho \cdot b \cdot d$
    - $= 0,00576 \times 450 \times 584,5 = 1514,18 \text{ mm}^2$
    - n (jumlah)  $= \frac{\text{As perlu}}{\text{As tulangan}}$
    - $= \frac{1514,18}{490,873} = 3,08 \sim 4 \text{ buah}$
  - Kontrol jarak tulangan
    - Jarak tulangan (s)  $= \frac{b - n \cdot \emptyset L - 2d' - 2\emptyset s}{n-1}$
    - $= \frac{450 - 4(25) - 2(65,5) - 2(13)}{4-1}$
    - $= 81 \text{ mm} > 25 \text{ mm (OK)}$

Maka tulangan dapat dipasang susun 1 lapis
  - As pakai  $= n \times \text{As (D25)}$
  - $= 4 \times 490,873 \text{ mm}^2$
  - $= 1963,495 \text{ mm}^2 > \text{As Perlu (OK)}$
- Maka Digunakan tulangan lentur positif tumpuan **4D25**.

Jadi tulangan lentur yang digunakan pada tumpuan adalah:  
 Tulangan atas : **6D25** (As pasang = 2945,243 mm<sup>2</sup>)  
 Tulangan bawah : **4D25** (As pasang = 1963,495 mm<sup>2</sup>)

- c. Cek apakah tulangan leleh atau tidak

$$\rho = \frac{As}{bd} = \frac{2945,243}{450 \times 552} = 0,01185$$

$$\rho' = \frac{As'}{bd} = \frac{1963,495}{450 \times 584,5} = 0,0074$$

$$\rho_{cy} = \frac{0,85 \times f_c' \times d' \times \beta}{d \times f_y} \left( \frac{600}{600 - f_y} \right) + \rho' = 0,0319 > \rho = 0,01185$$

Sehingga tulangan belum leleh

d. Kontrol kekuatan dalam menahan momen negatif

- o  $M_u = -554,871 \text{ kNm}$
- o  $M_n = \frac{M_u}{\varnothing} = \frac{-554,871 \times 10^6}{0,9}$   
 $= 616523333 \text{ N.mm}$

- o Decking,  $t_s = 40 \text{ mm}$
- o Jarak ke as tulangan, tarik ( $d_1$ ) = 98 mm
- o Jarak ke as tulangan, tekan ( $d_2$ ) = 65,5 mm
- o Tinggi efektif,  $d = 552 \text{ mm}$
- o Tul. Tarik 6D25,  $A_{s1} = 2945,243 \text{ mm}^2$
- o Tul. Tekan 4D25,  $A_{s2} = 1963,495 \text{ mm}^2$
- o Mencari nilai X

$$(0,85.f_c.b.\beta_1)X^2 + (A_{s2}.600 - A_{s1}.f_y)X - A_{s2}.d.600 = 0$$

$$11693,57 X^2 - 353429,1735X - 77.165.370 = 0$$

$$X = 83,79 \text{ mm} \text{ (Menggunakan goal seek pada Ms. Excel)}$$

- o Mencari nilai  $f_s'$  tulangan terpasang

$$f_s' = (1 - \frac{d_2}{x}) \times 600$$

$$= 130,97 \text{ MPa} < 400 \text{ MPa} \text{ (tulangan tidak leleh)}$$

- o  $M_{n_{act}} = 0,85.f_c.b.\beta_1.X. (d - \frac{\beta_1 \cdot X}{2}) + A_{s2}.f_s'.(d - d_2)$   
 $= 634605648,6 \text{ Nmm} > M_n = 616523333 \text{ Nmm}$   
**(OK)**

- o Cek kondisi penampang

$$c = 83,79 \text{ mm}$$

$$\varepsilon_t = 0,003 \left( \frac{dt - c}{c} \right) = 0,0167 > 0,005 \text{ (OK)}$$

Penampang *tension controlled!*, penampang dapat digunakan.

e. Kontrol kekuatan dalam menahan momen positif

- o  $M_n = 358,5 \text{ kNm}$
- o Decking,  $t_s = 40 \text{ mm}$
- o Jarak ke as tulangan, tarik ( $d_1$ ) = 65,5 mm
- o Jarak ke as tulangan, tekan ( $d_2$ ) = 98 mm
- o Tinggi efektif,  $d = 584,5 \text{ mm}$

- o Tul. Tarik 4D25, As<sub>1</sub> = 1963,495 mm<sup>2</sup>
- o Tul. Tekan 6D25, As<sub>2</sub> = 2945,243 mm<sup>2</sup>
- o Mencari nilai X  

$$(0,85.fc.b.\beta_1)X^2 + (As_2.d.600 - As_1.fy)X - As_2.d.600 = 0$$

$$11693,57 X^2 + 942477,7961X - 115748054,3 = 0$$

$$X = 67,04 \text{ mm (Menggunakan goal seek pada Ms. Excel)}$$
- o Mencari nilai fs' tulangan terpasang  

$$fs' = (1 - \frac{d_2}{x}) \times 600$$

$$= 13,81 \text{ MPa} < 400 \text{ MPa (tulangan tidak leleh)}$$
- o Mn<sub>act</sub> =  $0,85.fc.b.\beta_1.X.(d - \frac{\beta_1 \cdot X}{2}) + As_2.fs'.(d - d_2)$   

$$= 459267645 \text{ Nmm} > Mn = 335297000 \text{ Nmm}$$
**(OK)**
- o Cek kondisi penampang  
 $c = 67,04 \text{ mm}$   
 $\varepsilon_t = 0,003\left(\frac{dt-c}{c}\right) = 0,0231 > 0,005$ 
**(OK)**  
Asumsi penampang dapat digunakan.

### Kontrol

$$Mn^+ \geq \frac{1}{2} \times Mn^-$$

$$459267645 \text{ Nmm} \geq 0,5 \times 634605648,6 \text{ Nmm}$$

$$459267645 \text{ Nmm} \geq 317302824,3 \text{ Nmm}$$
**(OK)**

- f. Kontrol batas penulangan tumpuan
- o  $\frac{1,4.bw.d}{fy} = \frac{1,4.450.552}{420} = 828 \text{ mm}^2$   
 $828 \text{ mm}^2 < \text{As tul. atas} = 2945,243 \text{ mm}^2$ 
**(OK)**
  - o  $\frac{0,25 \cdot \sqrt{fc}}{fy} \cdot bw \cdot d = \frac{0,25 \cdot \sqrt{40}}{420} \cdot 450 \cdot 552 = 935,130 \text{ mm}^2$   
 $935,130 \text{ mm}^2 < \text{As tul. atas} = 2945,243 \text{ mm}^2$ 
**(OK)**
- g. Kontrol jarak tulangan tumpuan
- Cc = tebal selimut + Ø sengkang  
 $= 40 + 13 = 53 \text{ mm}$

$$\begin{aligned}
 f_s &= 2/3 \cdot f_y = 2/3 \cdot 420 = 280 \text{ MPa} \\
 S_1 &= 380 \cdot \left(\frac{280}{f_s}\right) - 2,5 \text{ Cc} \\
 &= 247,5 \text{ mm} > 98 \text{ mm (OK)} \\
 S_2 &= 300 \cdot \left(\frac{280}{f_s}\right) \\
 &= 300 \text{ mm} > 98 \text{ mm (OK)}
 \end{aligned}$$

### Penulangan Lapangan

#### a. Penulangan lapangan bawah

Nilai momen positif maupun negatif sepanjang balok tidak boleh kurang dari seperempat nilai momen maksimum pada tumpuan.

- o Penentuan nilai Momen:

$$\begin{aligned}
 \frac{1}{4}Mu_{\text{tumpuan}} &= \frac{1}{4} \times 554,871 \text{ kNm} \\
 &= 138,717 \text{ kNm}
 \end{aligned}$$

$$Mu_{\text{lapangan}} = 179,4 \text{ KN.m} > \frac{1}{4} \cdot Mu_{\text{tumpuan}} \text{ (OK)}$$

Maka digunakan Mu lapangan

$$\begin{aligned}
 o \quad Mn &= \frac{Mu}{\emptyset} \\
 &= \frac{179,4 \times 10^6}{0,9} \\
 &= 199333333,3 \text{ N.mm}
 \end{aligned}$$

$$\begin{aligned}
 o \quad \beta_1 &= 0,85 - 0,05 \frac{(F'c - 28)}{7} \\
 &= 0,85 - 0,05 \frac{(40 - 28)}{7} \\
 &= 0,764
 \end{aligned}$$

$$o \quad \rho_{\max} = 0,025 \text{ (menentukan)}$$

$$\begin{aligned}
 o \quad \rho_{\min} &= \frac{0,25x\sqrt{f'y}}{f'y} \\
 &= \frac{0,25x\sqrt{40}}{420} = 0,00376 \text{ (menentukan)}
 \end{aligned}$$

$$o \quad \rho_{\min} = \frac{1,4}{f'y} = \frac{1,4}{420} = 0,0035$$

$$o \quad m = \frac{fy}{0,85 f'c'} = \frac{420}{0,85 \times 40} = 12,353$$

$$o \quad Rn = \frac{Mn}{bd^2} = \frac{199333333,3}{450 \times 584,5^2}$$

- $= 1,2965 \text{ N/mm}^2$
- $\rho_{\text{perlu}} = \frac{1}{m} \left( 1 - \sqrt{1 - \frac{2 \times m \times Rn}{fy}} \right)$   
 $= \frac{1}{12,353} \left( 1 - \sqrt{1 - \frac{2 \times 12,353 \times 1,3055}{420}} \right)$   
 $= 0,003148$
  - Maka dipakai  $\rho_{\text{min}} = 0.00376$  ( $\rho_{\text{perlu}} < \rho_{\text{min}}$ )
  - Tulangan tumpuan atas  
As perlu  $= \rho \cdot b \cdot d$   
 $= 0.00376 \times 450 \times 584,5 = 990,188 \text{ mm}^2$   
n (jumlah)  $= \frac{\text{As perlu}}{\text{As tulangan}}$   
 $= \frac{990,188}{490,873} = 2,02 \sim 3 \text{ buah}$
  - Kontrol jarak tulangan  
Jarak tulangan (s)  $= \frac{b - n \cdot \emptyset L - 2d' - 2\emptyset s}{n-1}$   
 $= \frac{450 - 3(25) - 2(65,5) - 2(13)}{3-1}$   
 $= 135 \text{ mm} > 25 \text{ mm (OK)}$
  - Maka tulangan dapat dipasang susun 1 lapis
  - As pakai  $= n \times \text{As (D25)}$   
 $= 3 \times 490,873 \text{ mm}^2$   
 $= 1472,621 \text{ mm}^2 > \text{As Perlu (OK)}$
  - Maka Digunakan tulangan lentur positif tumpuan **3D25**
  - b. Penulangan lapangan atas
    - As min  $= \frac{1}{2} \times \text{As}$   
 $= \frac{1}{2} \times 1472,621 = 495,09 \text{ mm}^2$
    - n (jumlah)  $= \frac{\text{As perlu}}{\text{As tulangan}}$   
 $= \frac{495,09}{490,873} = 1,01 \sim \text{digunakan 2 buah}$
Dipakai 2D25 (As. pasang =  $981,74 \text{ mm}^2$ )
  - Kontrol jarak tulangan  
Jarak tulangan (s)  $= \frac{b - n \cdot \emptyset L - 2d' - 2\emptyset s}{n-1}$

$$= \frac{450 - 2(25) - 2(65,5) - 2(13)}{2-1} \\ = 294 \text{ mm} > 25 \text{ mm (OK)}$$

Maka tulangan harus dipasang susun 1 lapis

Jadi tulangan lentur yang digunakan pada lapangan adalah:

Tulangan atas : **2D25** (As. pasang = 981,74 mm<sup>2</sup>)

Tulangan bawah : **3D25** (As. pasang = 1472,621 mm<sup>2</sup>)

c. Kontrol balok T

- o  $be < \frac{L}{4} = \frac{7200}{4}$   
 $< 1800 \text{ mm (menentukan)}$
- o  $be < bw + 16hf$   
 $< 450 + 16.120$   
 $< 2370 \text{ mm}$
- o  $be < bw + 2b_0$   
 $< 450 + (7200 - 450) = 7200 \text{ mm}$

Maka nilai  $be = 1800 \text{ mm}$

- o  $a = \frac{As fy}{0,85f'c.be}$   
 $= \frac{1472,621}{0,85 \cdot 40} \cdot 420$   
 $= 10,106 \text{ mm}$
- o  $x = \frac{a}{\beta_1}$   
 $= \frac{10,106}{0,764}$   
 $= 13,223 \text{ mm} < hf = 120 \text{ mm (Balok T palsu)}$
- o  $a_{\text{baru}} = \frac{As fy}{0,85f'c.bw}$  (analisa dengan balok persegi)  
 $= \frac{1472,621}{0,85 \cdot 40} \cdot 450$   
 $= 40,425 \text{ mm}$
- o  $Mn_{\text{act}} = As fy (d - \frac{a}{2})$   
 $= 1472,621 \cdot 420 (584,5 - \frac{40,425}{2})$   
 $= 349012442,6 \text{ Nmm}$
- o  $\emptyset Mn = 0,9 \times Mn$

$$\begin{aligned}
 &= 0,9 \times 349012442,6 \text{ Nmm} \\
 &= 314111198,3 \text{ Nmm} > M_u = 179400000 \text{ Nmm}
 \end{aligned}$$

**(OK)**

- o  $c = \frac{a}{\beta_1}$
- $= \frac{40,425}{0,764}$
- $= 52,91 \text{ mm}$

o *Check Strain*

$$\begin{aligned}
 \varepsilon_t &= \frac{d-c}{c} 0,003 > 0,005 \\
 &= \frac{584,5 - 52,91}{52,91} 0,003 > 0,005 \\
 &= 0,0303 > 0,005 \text{ (OK)}
 \end{aligned}$$

### 8.1.3 Perencanaan Penulangan Geser

Syarat spasi maksimum tulangan geser balok

- o  $s < \frac{1}{4}d = 145,6 \text{ mm}$
- o  $s < 6\varnothing = 132 \text{ mm}$  (menentukan)
- o  $s < 150 \text{ mm}$
- o Sengkang pertama harus dipasang tidak lebih dari 50 mm dari muka tumpuan.

Pada daerah lapangan syarat maksimum tulangan geser balok:

- o  $s < \frac{1}{2}d = 291,25 \text{ mm} \approx 300 \text{ mm}$

#### Penulangan geser tumpuan

Perhitungan tulangan geser yang dipengaruhi beban gempa dihitung dari kapasitas balok memikul momen probable. Gaya geser rencana  $V_e$  harus ditentukan dari peninjauan gaya statik pada bagian tumpuan. Momen-momen dengan tanda berlawanan sehubungan dengan kuat lentur maksimum  $M_{pr}$ , dan komponen struktural tersebut dibebani penuh beban gravitasi terfaktor.

##### a. Momen ujung $M_{pr}$

$M_{pr}$  merupakan kuat momen lentur mungkin dari suatu komponen struktural yang ditentukan menggunakan sifat-sifat

komponen struktur pada muka join dengan menganggap kuat tarik pada tulangan longitudinal sebesar minimum 1,25 fy. karena nilai gempa arah ke kanan dan ke kiri sama maka ditinjau 1 arah saja.

- o a1 
$$\begin{aligned} &= \frac{As \cdot 1,25 \cdot fy}{0,85f'c.bw} \\ &= \frac{2945,243 \cdot 1,25 \cdot 420}{0,85 \cdot 40 \cdot 450} \\ &= 101,062 \text{ mm} \end{aligned}$$
- o Mpr1 
$$\begin{aligned} &= As \cdot 1,25 \cdot fy \left( d - \frac{a}{2} \right) \\ &= 2945,243 \cdot 1,25 \cdot 420 \left( 552 - \frac{101,062}{2} \right) \\ &= 1093 \text{ kN.m} \end{aligned}$$
- o a2 
$$\begin{aligned} &= \frac{As' \cdot 1,25 \cdot fy}{0,85f'c.bw} \\ &= \frac{1963,495 \cdot 1,25 \cdot 420}{0,85 \cdot 40 \cdot 450} \\ &= 67,374 \text{ mm} \end{aligned}$$
- o Mpr2 
$$\begin{aligned} &= As' \cdot 1,25 \cdot fy \left( d - \frac{a}{2} \right) \\ &= 1963,495 \cdot 1,25 \cdot 420 \left( 584,5 - \frac{50,531}{2} \right) \\ &= 567,796 \text{ kN.m} \end{aligned}$$

- b. Gaya geser total pada muka tumpuan

Gaya geser akibat beban gravitasi

$$V_G = 210,2 \text{ kN}$$

#### Akibat gempa

- o  $ln = \text{panjang balok} - \text{lebar kolom}$   
 $= 7200 - 750$   
 $= 6450 \text{ mm}$   
 $= 6,45 \text{ m}$
- o  $V_{\text{sway}} = \frac{Mpr1 + Mpr2}{ln}$   
 $= \frac{1093 + 567,796}{6,45}$   
 $= 257,488 \text{ kN}$

- o  $V_{ekn} = Vg - \frac{Mpr1+Mpr2}{Ln}$   
 $= 210,2 \text{ kN} - 257,488 \text{ kN}$   
 $= -47,49 \text{ kN}$
- o  $V_{ekn} = Vg + \frac{Mpr1+Mpr2}{Ln}$   
 $= 196,22 \text{ kN} + 236,489 \text{ kN}$   
 $= 467,49 \text{ kN}$

- c. Perhitungan kebutuhan tulangan geser di sendi plastis  
Kuat geser beton ( $Vc=0$ ) apabila:

- o  $V_{sway} > 0,5 \times \text{gaya geser total}$   
 $257,488 \text{ kN} > 0,5 \times 467,49 \text{ kN}$   
 $257,488 \text{ kN} > 233,745 \text{ kN (OK)}$
- o Gaya geser aksial tekan  $< Ag \times \frac{fc}{20}$   
 $0 \text{ N} < 0,05 \times 450 \times 650 \times 40 = 585000 \text{ N (OK)}$

Dikarenakan kedua syarat memenuhi, maka  $Vc$  dianggap 0.

- o  $Vs = \frac{Ve}{\phi} - Vc$   
 $= \frac{467490}{0,75} - 0$   
 $= 623317,28 \text{ N}$
- o  $Av = 2.A(D13) (\text{dipasang 2 kaki})$   
 $= 265,46 \text{ mm}^2$
- o  $\frac{Av}{s} = \frac{Vs}{fy \times d \text{ aktual}}$
- o  $s = \frac{Av \cdot fy \cdot d}{Vs}$   
 $= \frac{265,46 \cdot 420 \cdot 584,5}{623317,28}$   
 $= 104,55 \text{ mm} \sim 100 \text{ mm}$
- o  $s \text{ max} < \frac{1}{4} \cdot d = 145,6 \text{ mm}$   
 $< 6 \cdot \phi = 132 \text{ mm (menentukan)}$   
 $< 150 \text{ mm}$

Maka digunakan sengkang **2D13-100 mm**

- d. Penulangan geser di luar daerah sendi plastis  
Tulangan geser di luar sendi plastis ( $> 2h = 1300$ )

- $V_{u2h}$  hasil interpolasi Ve

$$-47,49 + \frac{(6,45 - 1,3)}{6,45} \times (467,49 + 47,49) = 337,38 \text{ kN}$$

- $V_c = \frac{1}{6} x \sqrt{f_c} x bw x d$   
 $= \frac{1}{6} x \sqrt{40} x 450 x 584,5$   
 $= 276304,01 \text{ N}$

- $V_{smax} = \frac{2}{3} x \sqrt{f_c} x bw. d$   
 $= \frac{2}{3} x \sqrt{40} x 450 x 584,5$   
 $= 1105216,04 \text{ N}$

- $V_{smin} = \frac{1}{16} x \sqrt{f_c} x bw. d$   
 $= \frac{1}{16} x \sqrt{40} x 450 x 584,5$   
 $= 103614 \text{ N}$

- $V's = \frac{1}{3} x \sqrt{f_c} x bw. d$   
 $= \frac{1}{3} x \sqrt{40} x 450 x 584,5$   
 $= 552608,0211 \text{ N}$

#### Persyaratan

- $V_s = \frac{V_u}{\emptyset} - V_c < V_{s max}$  (penampang dapat digunakan)  
 $360593,55 \text{ N} < 1105216,04 \text{ N} (\text{OK})$
- $V_u \leq \frac{1}{2} \emptyset V_c$  (tidak perlu tulangan geser)  
 $364220 \text{ N} \geq 103614 \text{ N} (\text{Tidak OK})$

Maka dibutuhkan tulangan geser dengan perhitungan sebagai berikut:

- $A_v = 2.A_s (\text{D13})$   
 $= 265,46 \text{ mm}^2$

- $\frac{A_v}{s} = \frac{V_s}{f_y x d \text{ aktual}}$

- $s = \frac{A_v \cdot f_y \cdot d}{V_s}$

$$\begin{aligned}
 &= \frac{265,46 \cdot 420 \cdot 584,5}{360593,55} \\
 &= 180,11 \text{ mm} \sim \text{digunakan } 150\text{mm} \\
 \circ \quad s_{\max} &\leq \frac{d}{2} = \frac{636}{2} = 318 \text{ mm} > s = 150\text{mm (OK)} \\
 &\leq 600 \text{ mm} > s = 150\text{mm (OK)}
 \end{aligned}$$

Maka dipakai sengkang **2D13-150 mm** pada daerah luar sendi plastis ( $<2h = 1300\text{mm}$ ).

#### 8.1.4 Perencanaan Penulangan Torsi

Didapatkan besarnya torsi maksimum dengan program bantu ETABS sebagai berikut:

- o  $T_u = 81,37 \text{ kN.m}$
- o  $V_u = 467,49 \text{ kN}$

##### a. Perhitungan Luas dan Keliling Penampang

- o  $A_{cp} = \text{Luas bruto penampang beton}$   
 $= b \times h$   
 $= 450 \times 650 = 292500 \text{ mm}^2$
- o  $P_{cp} = \text{keliling luar penampang beton}$   
 $= 2 \times (b + h)$   
 $= 2 \times (450 + 650) = 2200 \text{ mm}$
- o  $b_h = (b - 2.\text{cover} - \text{Øgeser})$   
 $= 357 \text{ mm}$
- o  $h_h = (h - 2.\text{cover} - \text{Øgeser})$   
 $= 557 \text{ mm}$
- o  $A_{oh} = \text{Luasan penampang yang dibatasi tulangan sengkang}$   
 $= b_h \times h_h = 198849 \text{ mm}^2$
- o  $P_{oh} = \text{Keliling penampang yang dibatasi tulangan sengkang}$   
 $= 2 \times (b_h + h_h) = 1828 \text{ mm}$

##### b. Kontrol kebutuhan tulangan torsi

Pengaruh torsi dapat diabaikan jika momen torsi terfaktor  $T_u$  kurang dari perumusan berikut:

$$Tu < \emptyset \cdot 0,083 \lambda \sqrt{fc} \left( \frac{Acp^2}{Pcp} \right)$$

Dimana:

$Acp$  = Luas penampang total

$Pcp$  = Keliling penampang total

$\lambda$  = 1 (beton normal)

$\emptyset$  = 0,75 (faktor reduksi beban torsi)

Sehingga dapat dihitung:

$$Tu < \emptyset \cdot 0,083 \lambda \sqrt{fc} \left( \frac{Acp^2}{Pcp} \right)$$

$$Tu < \emptyset \cdot 0,083 \cdot 1 \cdot \sqrt{40} \left( \frac{292500^2}{2200} \right)$$

$$81370000 \text{ Nmm} > 15218584,77 \text{ N.mm} \quad (\text{Tidak OK})$$

Maka diperlukan tulangan torsi.

- o Cek penampang balok:

$$\sqrt{\left(\frac{Vu}{bw \times d}\right)^2 + \left(\frac{Tu \times Poh}{1,7 \times Aoh^2}\right)^2} \leq \emptyset \left(\frac{Vc}{bw \times d} + 0,66 \sqrt{fc}\right)$$

Dimana:

$$\begin{aligned} o \quad Vc &= \frac{1}{6} \times \sqrt{fc} \times bw \times d \\ &= \frac{1}{6} \times \sqrt{40} \times 450 \times 584,5 \\ &= 276304,01 \text{ N} \end{aligned}$$

Sehingga:

$$\begin{aligned} o \quad &\sqrt{\left(\frac{Vu}{bw \times d}\right)^2 + \left(\frac{Tu \times Poh}{1,7 \times Aoh^2}\right)^2} \\ &\sqrt{\left(\frac{467,49}{450 \times 584,5}\right)^2 + \left(\frac{81,37 \times 1828}{1,7 \times 198849^2}\right)^2} = 2,75 \text{ MPa} \end{aligned}$$

$$o \quad \emptyset \left(\frac{Vc}{bw \times d} + 0,66 \sqrt{fc}\right)$$

$$0,75 \cdot \left(\frac{276304,01}{450 \times 584,5} + 0,66 \sqrt{40}\right) = 3,921 \text{ MPa}$$

$$o \quad 2,75 \text{ MPa} < 3,921 \text{ MPa} \quad (\text{OK})$$

c. Perhitungan tulangan transversal penahan torsi

Perhitungan tulangan transversal penahan torsi nilai  $A_o$  dapat diambil sama dengan  $0,85 A_{oh}$  dan nilai  $\Theta = 45^\circ$

- o  $A_o = 0,85 \times A_{oh} = 0,85 \times 198849 \text{ mm}^2 = 184194 \text{ mm}^2$

- o  $\emptyset T_n \geq T_u$

$$\frac{T_u}{\emptyset} = \frac{2 \cdot A_o \cdot A_t \cdot f_y t}{s} \cdot \cot \Theta$$

$$\frac{A_t}{s} = \frac{T_u}{\emptyset \cdot 2 \cdot A_o \cdot f_y t \cdot \cot \Theta} = 0,7642 \text{ mm}^2/\text{mm}$$

Kebutuhan tulangan transversal penahan geser dan torsi:

- o Pada daerah sendi plastis ( $<2h = 1300 \text{ mm}$ )

$$\begin{aligned} \frac{Av}{s} + 2x \frac{At}{s} &= 1,2208 + (2 \times 0,7642) \\ &= 2,7491 \text{ mm}^2/\text{mm} \end{aligned}$$

$$\begin{aligned} A_{(v+t)} &= 2,7491 \text{ mm}^2/\text{mm} \times 100 \text{ mm} \\ &= 274,9097 \text{ mm}^2 \end{aligned}$$

$$\text{Jumlah kaki} = \frac{274,9097}{0,25 \times \pi \times 13^2} = 2,07 \approx 3 \text{ buah}$$

Sehingga digunakan **3D13-100** pada daerah sendi plastis ( $<2h = 1300 \text{ mm}$ )

- o Di luar sendi plastis ( $>2h = 1300 \text{ mm}$ )

$$\begin{aligned} \frac{Av}{s} + 2x \frac{At}{s} &= 0,70 + (2 \times 0,7642) \\ &= 2,231 \text{ mm}^2/\text{mm} \end{aligned}$$

$$\begin{aligned} A_{(v+t)} &= 2,231 \text{ mm}^2/\text{mm} \times 150 \text{ mm} \\ &= 334,7 \text{ mm}^2 \end{aligned}$$

$$\text{Jumlah kaki} = \frac{334,7}{0,25 \times \pi \times 13^2} = 2,52 \approx 3 \text{ buah}$$

Sehingga digunakan **2D13-150** pada daerah luar sendi plastis ( $>2h = 1300 \text{ mm}$ )

d. Perhitungan tulangan longitudinal penahan torsi

- o  $A_1 = \frac{At}{s} \cdot P_{oh} \cdot \left(\frac{f_y t}{f_y}\right) \cdot \cot^2 \Theta$

$$\begin{aligned} &= 0,7642 \cdot 1828 \cdot \left(\frac{420}{420}\right) \cdot \cot^2 45^\circ \\ &= 1396,875 \text{ mm}^2 \text{ (menentukan)} \end{aligned}$$

$$\begin{aligned}
 \circ A_{1\min} &= \frac{0,42 \cdot \sqrt{f_c} \cdot Acp}{f_y} - \left(\frac{At}{s}\right) \cdot poh \cdot \left(\frac{fy t}{f_y}\right) \\
 &= \frac{0,42 \cdot \sqrt{40} \cdot 292500}{420} - 0,7642 \cdot 1828 \cdot \left(\frac{420}{420}\right) \\
 &= -1141,125 \text{ mm}^2
 \end{aligned}$$

Tulangan longitudinal untuk torsi dibagi menjadi 4 bagian, 25% didistribusikan ke kiri, 25% ke kanan, 25% ke atas, dan 25% ke bawah bagian balok.

$$\begin{aligned}
 \circ A_1 \text{ torsi untuk kiri kanan} &= 0,5 \times A_l \\
 &= 0,5 \times 1396,875 \text{ mm}^2 \\
 &= 698,43762 \text{ mm}^2
 \end{aligned}$$

**○ Digunakan 2D25 ( $A_s = 981,75 \text{ mm}^2 > A_l$  perlu) (OK)**

Tulangan dipasang masing-masing 1 batang di sisi samping kiri dan kanan balok disepanjang bentang.

### 8.1.5 Panjang Penyaluran Tulangan

Panjang penyaluran ldh sesuai dengan SNI 2847:2019 pasal 25.4 untuk tulangan tarik dengan kait standar  $90^\circ$  dalam beton berat normal adalah sebagai berikut:

$$Ldh > 8.db = 200 \text{ mm}$$

$$Ldh > 150 \text{ mm}$$

$$Ldh > \frac{0,24 \cdot f_y \cdot db}{\sqrt{f_c}} = 398,45 \text{ mm}$$

Maka digunakan  $Ldh = 400 \text{ mm}$  masuk ke dalam kolom, dengan panjang kait  $12.db = 300 \text{ mm}$ .

Tabel 8. 3 Rekapitulasi Tulangan Lentur Balok Induk Lantai 1-14

Nama	L (mm)	Arah	Dimensi (mm)	Tumpuan			Lapangan		
				Atas (M-)	Bawah (M+)	Tengah (Torsi)	Atas (M-)	Bawah (M+)	Tengah (Torsi)
BI 1	7200	Memanjang	450/650	6D25	4D25	2D25	3D25	3D25	2D25
BI 2	5000	Memanjang	350/500	5D25	3D25	2D25	2D25	2D25	2D25
BI 3	4000	Memanjang	350/500	5D25	3D25	2D25	2D25	2D25	2D25
BI 4	7200	Melintang	450/650	7D25	5D25	2D25	3D25	3D25	2D25
BI 5	8000	Melintang	450/650	7D25	5D25	2D25	3D25	3D25	2D25
BI 6	4000	Melintang	400/600	6D25	4D25	2D25	2D25	3D25	2D25

Tabel 8. 4 Rekapitulasi Tulangan Geser Balok Induk Lantai 1-14

Nama	L (mm)	Arah	Dimensi (mm)	Geser + Torsi	
				Sendi Plastis	Diluar Sendi Plastis
BI 1	7200	Memanjang	450/650	3D13-100	3D13-150
BI 2	5000	Memanjang	350/500	2D13-100	2D13-150
BI 3	4000	Memanjang	350/500	2D13-100	2D13-150
BI 4	7200	Melintang	450/650	3D13-100	3D13-150
BI 5	8000	Melintang	450/650	3D13-100	3D13-150
BI 6	4000	Melintang	400/600	3D13-100	2D13-150

Tabel 8. 5 Rekapitulasi Tulangan Lentur Balok Induk Lantai Atap

Nama	L (mm)	Arah	Dimensi (mm)	Tumpuan			Lapangan		
				Atas (M-)	Bawah (M+)	Tengah (Torsi)	Atas (M-)	Bawah (M+)	Tengah (Torsi)
BIA 1	7200	Memanjang	450/650	4D25	3D25	2D25	3D25	3D25	2D25
BIA 2	5000	Memanjang	350/500	3D25	3D25	2D25	3D25	3D25	2D25
BIA 3	4000	Memanjang	350/500	3D25	3D25	2D25	3D25	3D25	2D25
BIA 4	7200	Melintang	450/650	4D25	3D25	2D25	3D25	3D25	2D25
BIA 5	8000	Melintang	450/650	4D25	3D25	2D25	3D25	3D25	2D25
BIA 6	4000	Melintang	400/600	4D25	3D25	2D25	3D25	3D25	2D25

Tabel 8. 6 Rekapitulasi Tulangan Geser Balok Induk Atap

Nama	L (mm)	Arah	Dimensi (mm)	Geser + Torsi	
				Sendi Plastis	Diluar Sendi Plastis
BI 1	7200	Memanjang	450/650	3D13-100	3D13-150
BI 2	5000	Memanjang	350/500	3D13-100	3D13-150
BI 3	4000	Memanjang	350/500	3D13-100	3D13-150
BI 4	7200	Melintang	450/650	3D13-100	3D13-150
BI 5	8000	Melintang	450/650	3D13-100	3D13-150
BI 6	4000	Melintang	400/600	3D13-100	3D13-150

## 8.2 Perencanaan Kolom

Dalam sub bab ini akan diuraikan desain dan *detailing* penulangan struktur kolom K1 pada lantai 1, seperti terlihat pada gambar dibawah ini.

### 8.2.1 Data Perencannan Kolom

- H : 900 mm
- B : 900 mm
- Mutu Beton : 40 MPa
- Mutu Baja Tulangan : 420 MPa
- Tebal decking : 50 mm
- Diameter Tulangan Utama : 29 mm
- Diameter Sengkang : 16 mm
- Pu : 10846,9 kN

### 8.2.2 Syarat Komponen Struktur Kolom

Berikut adalah syarat komponen struktur kolom:

- Gaya aksial terfaktor maksimum yang bekerja pada kolom harus melebihi  $A_g f'_c / 10$ .

$$\frac{A_g \times f'_c}{10} = \frac{900 \times 900 \times 40}{10} = 3240000 N = 3240 kN$$

$$Pu = 10846,9 \text{ kN} > 3240 \text{ kN} (\text{OK})$$

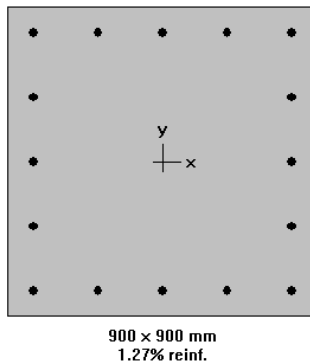
Maka pasal diatas berlaku:

- Sisi terpendek penampang kolom tidak kurang dari 300 mm. Ukuran penampang terpendek 900 mm > 300 mm (**OK**)
- Rasio dimensi penampang tidak kurang dari 0,4  
Ratio b/h = 900/900 = 1 > 0,4 (**OK**)

### 8.2.3 Tulangan Longitudinal Penahan Lentur

Luas tulangan longitudinal penahan lentur tidak boleh kurang dari  $0,01 A_g$  dan lebih dari  $0,06 A_g$ . Sebagai asumsi awal, tulangan longitudinal kolom dipasang sebanyak 16 buah dengan diameter 29 mm. Penampang tersebut selanjutnya dievaluasi menggunakan program bantu *spColumn*.

Dengan konfigurasi kolom memiliki rasio tulangan,  $\rho_g = 1,27\%$  atau 16D29.



Gambar 8. 3 Rasio Tulangan Kolom K1 pada SP Column

#### 8.2.4 Kontrol Spasi Tulangan

Spasi bersih minimum tulangan sejajar dalam suatu lapis harus sebesar db tetapi tidak kurang dari 29 mm.

$$\begin{aligned} S &= \frac{b_w - 2 \cdot \text{decking} - 2 \cdot \phi s_{\text{engkang}} - n \cdot \phi t_{\text{ul}}}{n-1} \\ &= \frac{900 - 2.50 - 2.16 - 5.29}{5-1} = 155,75 \text{ mm} > 29 \text{ mm} \end{aligned}$$

#### 8.2.5 Cek Kapasitas Kolom Terhadap Beban Aksial

Besarnya beban aksial terfaktor hasil analisa struktur harus mampu ditahan oleh kapasitas beban aksial penampang kolom yang dihitung pada persamaan berikut:

- $A_{st} = n \times 0,25 \pi D^2$   
 $= 16 \times 0,25 \pi 29^2 = 10562,96 \text{ mm}^2$

- $\phi P_n(\max) = 0,8 \times \phi \times [0,85 \times f'_c \times (A_g - A_{st}) + f_y \times A_{st}]$   
 $= 0,8 \times 0,65 \times [0,85 \times 40 \times (810.000 - 7.853,98) + 420 \times 7.853,98]$   
 $= 16442,07 \text{ kN} > P_u = 10846,9 \text{ kN (OK)}$

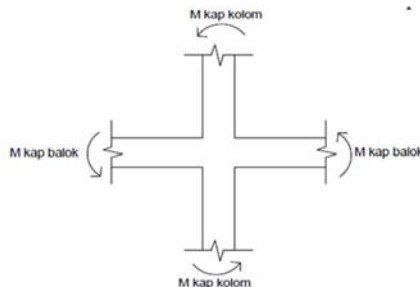
### 8.2.6 Persyaratan *Strong Column – Weak Beam*

Sesuai dengan filosofi desain kapasitas bahwa:

$$\sum M_{nc} \geq \frac{6}{5} \sum M_g$$

Dimana:

$\Sigma M_{nc}$  adalah momen kapasitas kolom dan  $\Sigma M_g$  merupakan momen pada muka *joint*, yang berhubungan dengan kuat lentur nominal balok (termasuk pelat yang berada pada kondisi tarik).



Gambar 8. 4 Ilustrasi Momen yang Bertemu di HBK

#### 1. Menghitung nilai $\sum M_g$

Pada perhitungan ini, struktur mengalami goyangan ke kanan. Pada kolom yang ditinjau merupakan *joint* pertemuan 2 balok BI1 (45/65) disebelah kiri dan kanan pada arah x. Sedangkan BI6 (40/60) sebagai balok kiri dan BI5 (45/65) sebagai balok kanan pada arah y. Sehingga  $\Sigma M_g$  yang dimaksud adalah total jumlah momen nominal dari tulangan bawah balok kanan dan tulangan atas balok kiri serta pelat yang berada dalam kondisi tarik.

##### a. Arah X (BI1 45/65)

###### o Lebar efektif pelat (be)

Lebar efektif flens pelat yang disertakan dengan balok yaitu:

$$be = bw + 2hw$$

$$= 450 + (2 \times (650 - 120)) = 1510 \text{ mm}$$

$$be = bw + 8hf$$

$$= 450 + (8 \times 120) = 1410 \text{ mm}$$

Diambil nilai terkecil, maka be pakai adalah 1410 mm

- o Luas tulangan (As)

$$\begin{aligned} \text{As. tarik} &= \text{As tarik balok} + \text{As tarik pelat} \\ &= \text{As } 6D25 + 1205,76 \\ &= 4151 \text{ mm}^2 \end{aligned}$$

$$\begin{aligned} \text{As. tekan} &= \text{As tekan balok} \\ &= \text{As } 4D25 = 1963,495 \text{ mm}^2 \end{aligned}$$

- o Besar nilai Mg

$$a = \frac{As \times fy}{0,85 \times f'c \times b}$$

$$M_g = \emptyset \times As \times fy \left( d - \frac{a}{2} \right)$$

$$a^+ = 53,89 \text{ mm}$$

$$M_g^+ = 413814361,7 \text{ Nmm} = 413,81 \text{ kNm}$$

$$a^- = 116,78 \text{ mm}$$

$$M_g^- = 776734121,5 \text{ Nmm} = 776,73 \text{ kNm}$$

$$\begin{aligned} M_g \text{ total} &= M_g^+ + M_g^- \\ &= 1190,54 \text{ kN.m} \end{aligned}$$

- b. Arah Y (BI 5 45/65 dan BI 6 40/60)

#### Kanan (BI5)

- o Lebar efektif pelat (be)

Lebar efektif flens pelat yang disertakan dengan balok yaitu:

$$\begin{aligned} be &= bw + 2 hw \\ &= 450 + (2 \times (650-120)) = 1510 \text{ mm} \end{aligned}$$

$$\begin{aligned} be &= bw + 8 hf \\ &= 450 + (8 \times 120) = 1410 \text{ mm} \end{aligned}$$

Diambil nilai terkecil, maka be pakai adalah 1410 mm

- o Luas tulangan (As)

$$\begin{aligned} \text{As. tekan} &= \text{As tekan balok} \\ &= \text{As } 5D25 = 2454,36 \text{ mm}^2 \end{aligned}$$

- Besar nilai  $M_g$

$$\begin{aligned} a &= \frac{As \times fy}{0,85 \times f'c \times b} \\ M_g &= \emptyset \times As \times fy \left( d - \frac{a}{2} \right) \\ a^+ &= 67,37 \text{ mm} \\ M_g^+ &= 511017240,5 \text{ Nmm} \\ &= 511,02 \text{ kNm} \end{aligned}$$

### Kiri (BI6)

- Lebar efektif pelat (be)

Lebar efektif flens pelat yang disertakan dengan balok yaitu:

$$\begin{aligned} be &= bw + 2 \text{ hw} \\ &= 400 + (2 \times (600-120)) = 1360 \text{ mm} \\ be &= bw + 8 \text{ hf} \\ &= 400 + (8 \times 120) = 1360 \text{ mm} \end{aligned}$$

Diambil nilai terkecil, maka be pakai adalah 1360 mm

- Luas tulangan (As)

$$\begin{aligned} \text{As. tarik} &= \text{As tarik balok} + \text{As tarik pelat} \\ &= \text{As } 6D25 + 1205,76 \\ &= 4151 \text{ mm}^2 \end{aligned}$$

- Besar nilai  $M_g$

$$\begin{aligned} a &= \frac{As \times fy}{0,85 \times f'c \times b} \\ M_g &= \emptyset \times As \times fy \left( d - \frac{a}{2} \right) \\ a^- &= 113,95 \text{ mm} \\ M_g^- &= 776734121,5 \text{ Nmm} \\ &= 776,73 \text{ kNm} \end{aligned}$$

Maka:

$$\begin{aligned} M_g \text{ total} &= M_g^+ + M_g^- \\ &= 1287,75 \text{ kN.m} \end{aligned}$$

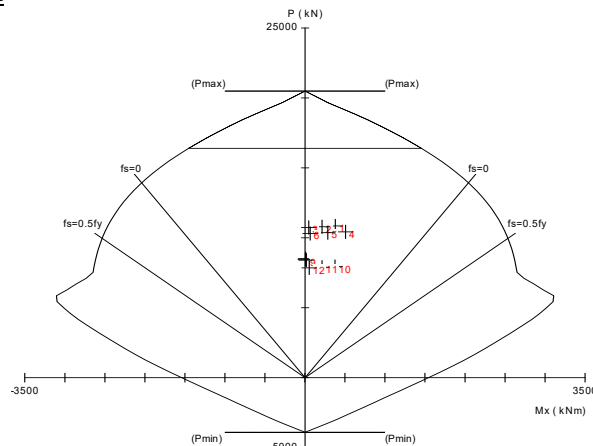
### 2. Menghitung Nilai $\sum M_{nc}$

Nilai  $M_{nc}$  didapat dari diagram interaksi P-M dengan *spColumn*.  $M_{nc}$  merupakan jumlah kuat nominal dari kolom di

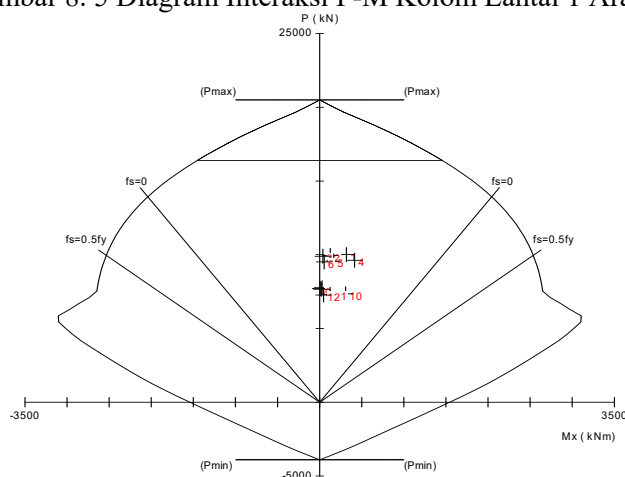
muka sisi atas dan bawah HBK (Hubungan Balok Kolom) dari hasil perhitungan terpasang akibat kombinasi beban berfaktor.

Pada perhitungan ini, yang ditinjau adalah kolom lantai 1 (K1) sebagai kolom bawah dan kolom lantai 2 (K1) sebagai kolom atas dengan dimensi yang sama.

### Arah X



Gambar 8. 5 Diagram Interaksi P-M Kolom Lantai 1 Arah X



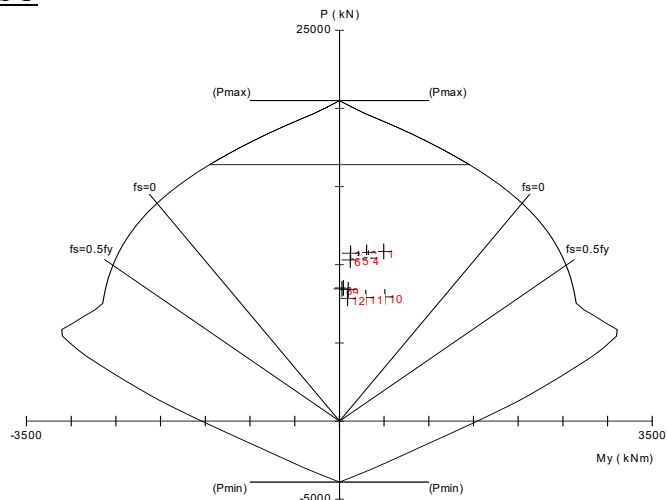
Gambar 8. 6 Diagram Interaksi P-M Kolom Lantai 2 Arah X

Tabel 8. 7 øMnx Kolom Lantai 1 Arah X

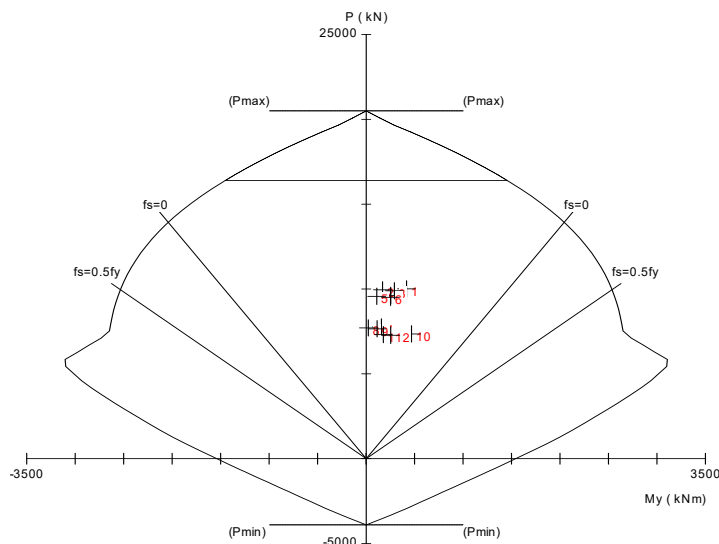
<b>No</b>	<b>P<sub>u</sub></b>	<b>M<sub>ux</sub></b>	<b>ΦM<sub>nx</sub></b>
	kN	kNm	kNm
1	10846,9	377,74	2463,56
2	10790,5	211,52	2468,66
3	10734,1	46,64	2473,67
4	10421,4	505,58	2499,98
5	10365	284,44	2504,46
6	10308,6	64,68	2508,87
7	8511,22	8,47	2614,53
8	8454,81	3,84	2616,81
9	8398,4	16,14	2619,04
10	7938,33	374,53	2635,51
11	7896,03	212,98	2636,88
12	7853,72	52,78	2638,23

Tabel 8. 8 øMnx Kolom Lantai 2 Arah X

<b>No</b>	<b>P<sub>u</sub></b>	<b>M<sub>ux</sub></b>	<b>ΦM<sub>nx</sub></b>
	kN	kNm	kNm
1	10008,9	317,62	2531,03
2	9952,48	124,86	2534,96
3	9896,08	38,29	2538,83
4	9624,01	413,78	2556,48
5	9567,61	166,16	2561,66
6	9511,2	51,96	2565,02
7	7766,04	28,12	2640,96
8	7709,63	4,46	2642,66
9	7653,22	19,21	2644,33
10	7355,1	306,86	2653,28
11	7312,79	123,18	2667,51
12	7270,48	45,7	2681,58

Arah Y

Gambar 8. 7 Diagram Interaksi P-M Kolom Lantai 1 Arah Y



Gambar 8. 8 Diagram Interaksi P-M Kolom Lantai 2 Arah Y

Tabel 8. 9 øMny kolom lantai 1 Arah Y

<b>No</b>	<b>P<sub>u</sub></b>	<b>M<sub>uy</sub></b>	<b>ΦM<sub>ny</sub></b>
	kN	kNm	kNm
1	10846,9	493,52	2463,56
2	10790,5	303,52	2468,66
3	10734,1	123,48	2473,67
4	10421,4	325,21	2499,98
5	10365	212,72	2504,46
6	10308,6	119,75	2508,87
7	8511,22	43,28	2614,53
8	8454,81	27,55	2616,81
9	8398,4	98,38	2619,04
10	7938,33	507,64	2635,51
11	7896,03	294,3	2636,88
12	7853,72	90,92	2638,23

Tabel 8. 10 øMny kolom lantai 2 Arah Y

<b>No</b>	<b>P<sub>u</sub></b>	<b>M<sub>uy</sub></b>	<b>ΦM<sub>ny</sub></b>
	kN	kNm	kNm
1	10008,9	415,94	2531,03
2	9952,48	168,59	2534,96
3	9896,08	290,15	2538,83
4	9624,01	253,16	2556,48
5	9567,61	108,57	2561,66
6	9511,2	250,21	2565,02
7	7766,04	156,57	2640,96
8	7709,63	21,96	2642,66
9	7653,22	112,65	2644,33
10	7355,1	467,46	2653,28
11	7312,79	175,77	2667,51
12	7270,48	253	2681,58

3. Kontrol syarat *strong column - weak beam*

Maka dapat diketahui nilai:

$$M_{nc\text{atas}} = 2463,56 \text{ kNm}$$

$$M_{nc\text{bawah}} = 2531,03 \text{ kNm}$$

$$\begin{aligned}\sum M_{nc} &= 2463,56 \text{ kNm} + 2531,03 \text{ kNm} \\ &= 4814,59 \text{ kNm}\end{aligned}$$

Arah X:

$$\begin{aligned}1,2 \cdot \sum M_{nb} &= 1,2 \times 1090,84 \text{ kNm} \\ &= 1428,648 \text{ kNm}\end{aligned}$$

Sehingga,

$$\sum M_{nc} \geq \sum M_{nb} (\text{OK})$$

Arah Y:

$$\begin{aligned}1,2 \cdot \sum M_{nb} &= 1,2 \times 1287,75 \text{ kNm} \\ &= 1545,3 \text{ kNm}\end{aligned}$$

Sehingga,

$$\sum M_{nc} \geq \sum M_{nb} (\text{OK})$$

### 8.2.7 Desain Tulangan Transversal Kolom

#### 1. Tulangan Transversal Sebagai Pengekang Inti Beton

Selain menahan gaya geser, tulangan transversal memiliki fungsi yang sangat penting untuk diperhitungkan, yaitu sebagai pengekang atau *confinement*. Ketika menerima gaya gempa, kolom mengalami momen maksimum pada bagian ujungnya. Deformasi non-linear dapat terjadi dan sebagai material yang getas, beton sangat rentan mengalami keruntuhan karena tidak memiliki duktilitas yang memadai.

a. Daerah pemasangan tulangan sengkang persegi (hoop) dibutuhkan sepanjang  $l_0$  dari ujung-ujung kolom dengan  $l_0$  merupakan nilai terbesar dari:

- o Tinggi komponen struktur di *joint*,  $h = 900 \text{ mm}$
- o  $\frac{1}{6} \times \text{bentang bersih kolom} = \frac{1}{6} \times (4000 - 650) = 558,3 \text{ mm}$
- o  $450 \text{ mm}$

Maka  $l_0$  yang dipakai =  $900 \text{ mm}$

b. Menentukan spasi maksimum *hoop* (*smax*) pada daerah sepanjang *lo* dari ujung ujung kolom. *Smax* merupakan nilai terbesar dari:

- o  $\frac{1}{4} \times \text{dimensi penampang kolom terkecil} = 225 \text{ mm}$
- o  $6 \times \text{db longitudinal terkecil} = 174 \text{ mm}$
- o So, dengan so tidak melebihi 150 mm dan tidak perlu diambil kurang dari 100 mm.
- o  $hx = \text{nilai terkecil dari}$   
 $hx_1 = \frac{2 \times bc}{3} = \frac{2 \times 784}{3} = 522,67 \text{ mm}$   
 $hx_2 = 330 \text{ mm}$   
Maka dipilih  $hx$  330 mm.
- o  $So = 100 + \frac{350 - 0,5 hx}{3} = 106 \text{ mm}$   
Maka dipakai spasi sebesar 100 mm

c. Penentuan luas tulangan *confinement*

Untuk daerah sepanjang *lo* dari ujung kolom, berdasarkan SNI 2847:2019 pasal 18.7.5.4 total luas penampang hoop tidak boleh kurang dari salah satu yang terbesar antara (kondisi  $P_u > 0,3 \cdot Ag \cdot f_c$ ):

- o  $bc = 900 - 2.50 - 16 = 784 \text{ mm}$
- o  $Ach = (b - 2 \times \text{deck})^2 = 640000 \text{ mm}^2$
- o  $k_f = \frac{f'_c}{175} + 0,6 \geq 1 = 1$
- o  $kn = \frac{n_1}{n_{1-2}} = 1,143$
- o  $Ash_1 = 0,3 \frac{s \cdot bc \cdot f'_c}{f_y} \left( \frac{Ag}{Ach} - 1 \right) = 595 \text{ mm}^2$
- o  $Ash_2 = 0,09 \frac{s \cdot bc \cdot f'_c}{f_y} = 672 \text{ mm}^2$

- Ash3                     $= 0,2 \cdot k_f \cdot k_n \frac{s \cdot b c \cdot P_u}{f_y \cdot A_{ch}}$   
 $= 723,13 \text{ mm}^2$
- As (D16)             $= \frac{1}{4} \cdot \pi \cdot 16^2$   
 $= 200,29 \text{ mm}^2$
- As pakai             $= 4 \text{ As (D16)}$   
 $= 804,25 \text{ mm}^2 > 723,13 \text{ mm}^2 (\text{OK})$

Sehingga digunakan tulangan **4D16-100 mm**

Untuk daerah sepanjang sisa tinggi kolom bersih (tinggi kolom total dikurangi lo di masing-masing ujung kolom / di luar daerah sendi plastis), diberi hoops dengan spasi minimum (tidak lebih dari):

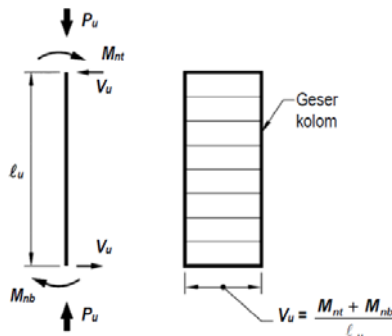
- $6 db = 6 \cdot 29 = 174 \text{ mm}$
- $\leq 150 \text{ mm}$

Sehingga menggunakan tulangan **4D16-150mm.**

## 2. Tulangan Transversal Sebagai Penahan Gaya Geser

### a. Menentukan Gaya Geser Desain

Pendetailan tulangan geser pada struktur rangka pemikul momen khusus. Sama seperti dalam mendesain komponen balok, momen probabilistik ( $M_{pr}$ ) digunakan untuk memperoleh gaya geser desain ( $V_e$ ).



Gambar 8. 9 Penentuan Gaya Geser pada Kolom

Perhitungan besar gaya geser desain yang harus diambil. Nilai  $M_{pr}$  pada ujung-ujung kolom diperoleh dari diagram interaksi dengan faktor kuat lebih pada material tulangan longitudinal sebesar 25% ( $f_s = 1,25f_y$ ). Momen nominal terfaktor paling besar dari semua kombinasi harus diambil sebagai  $M_{pr}$ .

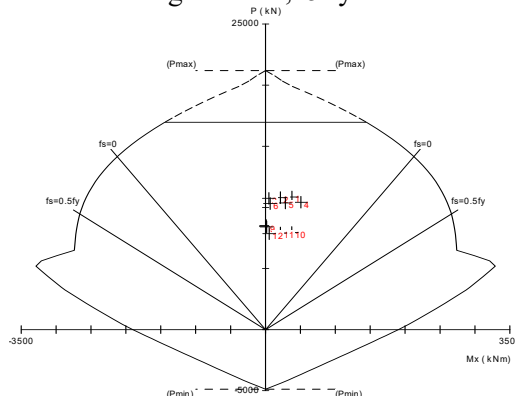
Dengan adanya faktor kuat lebih, tegangan leleh baja sebesar 420 MPa diperbesar 1,25% menjadi 525 MPa. Sehingga gaya geser desain yang digunakan untuk menentukan jarak dan luas tulangan transversal ditentukan dari nilai  $V_{e1}$ , tetapi tidak perlu lebih besar dari nilai  $V_{e2}$  dan harus melebihi nilai  $V_u$  hasil ETABS.

- $V_{e1} = \frac{M_{pr\text{ atas}} + M_{pr\text{ bawah}}}{l_u}$
- $V_{e2} = \frac{M_{pr^+} + M_{pr^-}}{l_n}$
- $V_u$  hasil analisa struktur

#### b. Perhitungan gaya geser desain

- Menghitung nilai  $V_{e1}$

$M_{prc}$  atas dan  $M_{prc}$  bawah didapatkan dari diagram interaksi  $P_n$ - $M_{pr}$  kolom. Diagram interaksi didapat dengan menggunakan  $f_s = 1,25 f_y$  dan  $\phi = 1$ . Berikut merupakan output diagram interaksi dengan  $f_s = 1,25 f_y$ .



Gambar 8. 10 Diagram Interaksi P-M Kolom Desain Atas dan Bawah  $f_s = 1,25 f_y$

Tabel 8. 11 Output Program Sp Column, Ujung Bawah dan Atas  
Kolom Lt.1

<b>No</b>	<b>P<sub>u</sub></b>	<b>M<sub>ux</sub></b>	<b>ΦM<sub>nx</sub></b>
	kN	kNm	kNm
1	10846,9	377,74	2565,77
2	10790,5	211,52	2570,54
3	10734,1	46,64	2575,24
4	10421,4	505,58	2599,84
5	10365	284,44	2604,03
6	10308,6	64,68	2608,14
7	8511,22	8,47	2698,43
8	8454,81	3,84	2700,18
9	8398,4	16,14	2701,88
10	7938,33	374,53	2714,12
11	7896,03	212,98	2715,11
12	7853,72	52,78	2716,08

Maka, dapat dihitung

$$\begin{aligned}
 V_{e1} &= \frac{M_{prc\ bawah} + M_{prc\ atas}}{lu} \\
 &= \frac{2714,12\ kN.m + 2716,08\ kN.m}{(4-0,65)\ m} \\
 &= 1620,955\ kN
 \end{aligned}$$

- Menghitung V<sub>e2</sub>

Nilai Mpr 1 dan Mpr 2 merupakan nilai pada balok yaitu sebesar 1093 kNm dan 567,79 kNm

$$\begin{aligned}
 V_{e2} &= \frac{M_{pr}^+ + M_{pr}^-}{ln} = \frac{(1093\ kN.m + 567,79\ kN.m)}{(4-0,6,5)\ m} \\
 &= 495,76\ kN
 \end{aligned}$$

- Vu hasil analisa struktur ETABS

Berdasarkan output ETABS didapatkan nilai:

V<sub>u</sub> = 191,6 kN < V<sub>e</sub> maks = 1620,955 kN (**OK**)

Nilai Ve tidak boleh lebih kecil dari nilai gaya geser terfaktor yang dibutuhkan berdasarkan analisa struktur.

Sehingga perencanaan geser memenuhi persyaratan (**OK**).

c. Perhitungan Tulangan Geser

- Mengecek kontribusi beton diabaikan atau tidak

Berdasarkan SNI 2847:2019, kontribusi beton diabaikan dalam menahan gaya geser rencana bila:

Gaya geser yang ditimbulkan gempa,  $V_{sway}$ , mewakili setengah atau lebih dari kekuatan geser perlu maksimum dalam lo.

$$V_e > 50\% V_u$$

$$1620,955 \text{ kN} > 95,8 \text{ kN} (\mathbf{OK})$$

$$\frac{Ag \times f'c}{20} = \frac{900 \times 900 \times 40}{20} \\ = 1620 \text{ kN} < P_u = 10846,9 \text{ (NOT OK)}$$

Sehingga  $V_c$  diperhitungkan.

- Menghitung tulangan transversal penahan geser untuk daerah sepanjang lo dari ujung-ujung kolom.

$$d = 900 - 50 - 16 - \frac{29}{2} = 819,5 \text{ mm}$$

$$V_c = \frac{1}{6} \times \sqrt{f'c} \times b \times d \\ = \frac{1}{6} \times \sqrt{40} \times 900 \times 819,5 \\ = 777445 \text{ N} = 777,445 \text{ kN}$$

Kontrol kebutuhan:

$$V_u \leq \frac{1}{2} \varnothing V_c \text{ (tidak perlu tulangan geser)}$$

$$1620,95 \text{ N} \geq 388,722 \text{ N (Tidak OK)}$$

(maka diperlukan tulangan geser)

$$V_s = \frac{V_e}{\varnothing} - V_c \\ = \frac{1620,955}{0,75} - 777,445 \\ = 1023,29 \text{ kN}$$

$$A_v = 4 \times 0,25 \times \pi \times 16^2 = 804 \text{ mm}^2$$

$$s_g = \frac{A_v \times f_y \times d}{V_s} \\ = 200,03 \text{ mm} > \text{spakai}=100 \text{ mm (OK)}$$

Sehingga pada daerah sepanjang lo dipakai **4D16-100 mm**

- Menghitung tulangan transversal penahan geser untuk daerah diluar lo.

Perhitungan kuat geser beton bila ikut berkontribusi menahan geser, dengan nilai  $N_u$  diambil yang terkecil dari semua kombinasi yang ada yaitu:

$$\begin{aligned} V_c &= 0,17 \cdot \left( 1 + \frac{N_u}{14A_g} \right) \cdot \lambda \sqrt{f'_c} \cdot b_w \cdot d \\ &= 0,17 \times \left( 1 + \frac{7853,72 \times 10^3}{14 \times 900 \times 900} \right) \times 1\sqrt{40} \times 900 \times 819,5 \\ &= 1315880 \text{ N} = 1315,88 \text{ kN} \end{aligned}$$

$$\begin{aligned} V_s &= \frac{V_e}{\emptyset} - V_c \\ &= \frac{1620,955}{0,75} - 1315,88 \\ &= 845,3935 \text{ kN} \end{aligned}$$

$$A_v = 4 \times 0,25 \times \pi \times 16^2 = 804 \text{ mm}^2$$

$$\begin{aligned} s &= \frac{A_v \times f_y \times d}{V_s} \\ &= 327,43 \text{ mm} > \text{spakai}=150 \text{ mm (OK)} \end{aligned}$$

Sehingga pada daerah diluar lo dipakai **4D16-150 mm**

### 8.2.8 Sambungan Lewatan Kolom

Karena seluruh tulangan pada sambungan lewatan disalurkan pada lokasi yang sama, maka sambungan lewatan yang digunakan tergolong kelas B. Untuk sambungan kelas B panjang minimum sambungan lewatannya adalah  $1,3ld$ . Besarnya  $ld$  dengan menggunakan nilai  $K_r = 0$  untuk penyederhanaan desain.

$$l_d = \left( \frac{f_y}{1,1 \times \lambda \times \sqrt{f'_c}} \frac{\Psi_t \Psi_e \Psi_s}{\frac{cb + K_{tr}}{db}} \right) \cdot db$$

Dimana:

$\Psi_t = 1$  (situasi lainnya)

$\Psi_e = 1$  (tulangan tanpa pelapis)

$\Psi_s = 1$  (tulangan  $\geq D22$ )

$\lambda = 1$  (beton biasa)

$d = 29 \text{ mm}$

Nilai cb merupakan nilai terkecil dari parameter dibawah ini:

$$c_1 = 50 + 16 + \frac{29}{2} = 80,5 \text{ mm}$$

$$c_2 = \frac{900 - 2 \times 80,5}{2} = 184,75 \text{ mm}$$

maka diambil nilai  $c_b = c_{\min} = 80,5 \text{ mm}$

$$(c_b + k_{tr}) / d_b = 2,775 > 2,5 \text{ sehingga digunakan } 2,5$$

$$l_d = \left( \frac{420}{1,1 \times 1 \times \sqrt{40}} \frac{1,1 \cdot 1}{2,5} \right) \times 29 \\ = 700,3 \text{ mm}$$

$$1,3 l_d = 1,3 \times 700,3 \text{ mm} \\ = 910,39 \text{ mm}$$

Komponen struktur tekan bertulangan pengikat, dimana pengikat sepanjang panjang sambungan lewatan memiliki luas efektif tidak kurang dari **0,0015hs** dalam kedua arah, panjang sambungan lewatan diizinkan untuk dikalikan dengan 0,83, tetapi panjang lewatan tidak boleh kurang dari 300 mm. Kaki pengikat yang tegak lurus terhadap dimensi **h** harus digunakan dalam menentukan luas efektif.

$$0,0015 \times h \times s = 0,0015 \times 900 \times 100 \\ = 135 \text{ mm}^2 < Av = 804,2 \text{ mm}^2 (\text{OK})$$

Sehingga panjang lewatan dapat dikurangi menjadi:

$$0,83 \times 1,3ld = 0,83 \times 910,39 \\ = 755,6 \text{ mm} \sim 760 \text{ mm}$$

Digunakan sambungan lewatan sepanjang **760 mm**

Berikut adalah rekapitulasi penulangan pada kolom:

Tabel 8. 12 Rekap Penulangan Longitudinal dan Panjang Lewatan

Nama	Dimensi (mm)	Tulangan Longitudinal					Panjang Lewatan (mm)
		db (mm)	top- bott	side	n	Ratio (1%-6%)	
K1	900/900	29	10	6	16	1,27%	760
K2	750/750	29	10	6	16	1,83%	760
K3	600/600	29	10	6	16	2,87%	760
K4	600/600	29	12	8	20	3,58%	760

Tabel 8. 13 Rekap Penulangan Transversal

Nama	Dimensi (mm)	Tulangan Transversal		
		Lo (mm)	Daerah Lo	Diluar Daerah Lo
K1	900/900	900	4D16-100	4D16-150
K2	750/750	750	4D16-100	4D16-150
K3	600/600	600	4D16-100	4D16-150
K4	600/600	725	4D16-100	4D16-150

### 8.3 Perencanaan Dinding Geser

Seluruh dinding geser menahan 75% gaya gempa yang disalurkan ke struktur bangunan. Perencanaan dinding geser dibedakan menjadi Dinding Geser Arah X dan dinding Geser Arah Y. Pada perencanaan dinding geser, akan dicontohkan perhitungan dinding geser arah X

#### 8.3.1 Data Perencanaan Dinding Geser

Dinding geser yang akan direncanakan memiliki data sebagai berikut:

- Tebal dinding : 40 cm
- Tebal decking : 40 mm
- Tulangan : 25 mm
- $d'$  : 347,5 mm
- Mutu tulangan ( $f_y$ ) : 420 MPa
- Mutu beton ( $f'_c$ ) : 45 MPa
- Tinggi lantai : 500 cm (maksimum)
- Lebar dinding : 400 cm (x) dan 400 cm (y)

Berdasarkan hasil perhitungan ETABS didapat gaya aksial dan momen yang bekerja pada dinding geser, yaitu:

##### Arah X

$P_u$  : 16544,67 kN

$M_u$  : 30627,66 kNm

$V_u$  : 2060,73 kN

Arah Y

Pu : 16544,67 kN  
 Mu : 23448,26 kNm  
 Vu : 2684,76 kN

### 8.3.2 Kontrol Ketebalan Minimum Dinding Geser

Ketebalan dinding tidak boleh kurang dari:

- $40 \text{ cm} \geq H / 25 = 500 / 25 = 20 \text{ cm}$  (OK)
- $40 \text{ cm} \geq L / 25 = 400 / 25 = 16 \text{ cm}$  (OK)

Jadi, ketebalan *shearwall* 400 mm sudah memenuhi persyaratan.

### 8.3.3 Kontrol Dimensi Penampang Terhadap Gaya Geser

Kontrol dimensi penampang dinding geser terhadap gaya geser, tidak boleh diambil melebihi  $0.83A_{cv}\sqrt{f'c}$

- $V_u < 0.83A_{cv}\sqrt{f'c}$   
 $2060,73 \text{ kN} < 0.83 \times (400 \times 4000) \times \sqrt{45}$   
 $2060,73 \text{ kN} < 8908,948 \text{ kN}$  (OK)

### 8.3.4 Pemeriksaan Kebutuhan Lapisan Tulangan

Terdapat dua kondisi untuk menentukan jumlah lapisan tulangan pada dinding, yaitu:

- Bahwa sedikitnya harus dipasang dua lapis tulangan pada dinding apabila gaya geser terfaktor melebihi  $0.17 \times A_{cv} \times \sqrt{f'c}$

$$Vu < 0.17 \times 400 \times 4000 \times \sqrt{45}$$

$$2060,73 \text{ kN} < 1824,6 \text{ kN} \rightarrow 2 \text{ lapis tulangan}$$

- Bahwa pada dinding yang mempunyai ketebalan lebih besar dari 250 mm, kecuali dinding ruang bawah tanah harus dipasang dua lapis tulangan.

$$400 \text{ mm} > 250 \text{ mm} \rightarrow 2 \text{ lapis tulangan}$$

Maka penulangan pada dinding geser menggunakan dua lapis tulangan.

### 8.3.5 Penulangan Geser Vertikal dan Horizontal

Kuat geser dinding struktural dikatakan mencukupi apabila dipenuhi kondisi berikut:

$$Vu < \emptyset Vn$$

$$Vn = A_{cv} [\alpha_c \sqrt{f'c} + \rho_n f_y]$$

$$\frac{hw}{lw} = \frac{56,2}{4} = 15,88 > 2 ; \text{ maka digunakan } \alpha_c = 0,17$$

Dinding geser direncanakan dengan menggunakan tulangan geser 2 D25 dengan  $s = 150$  mm pada arah vertikal dan horizontal

$$\rho_n = \frac{As}{d' \times s} = \frac{2 \times 0,25 \times \pi \times 25^2}{347,5 \times 150} = 0,0188$$

$$Vn = 400 \times 4000 [0,17\sqrt{45} + 0,0188 \times 420]$$

$$Vn = 16407,03 \text{ kN}$$

$$\emptyset Vu = 12305,27 \text{ kN} > 2060,73 \text{ kN (OK)}$$

### 8.3.6 Kontrol Rasio Tulangan Vertikal dan Horizontal

- Rasio tulangan Vertikal ( $\rho_l$ ) tidak boleh kurang dari 0,0015
- Rasio tulangan horizontal ( $\rho_t$ ) tidak boleh kurang dari 0,0025

Dipakai tulangan vertikal dan horizontal 2D25 dengan rasio tulangan:

$$\rho_n = \frac{As}{d' \times s} = \frac{2 \times \frac{1}{4} \times \pi \times 25^2}{347,5 \times 150} = 0,006 > 0,0025 \text{ (OK)}$$

### 8.3.7 Kontrol Spasi Tulangan Vertikal dan Horizontal

- Spasi tulangan Horizontal tidak boleh lebih dari:

$$s \leq \frac{Lw}{5} = 800 \text{ mm} \quad (\text{OK})$$

$$s \leq 3h = 1200 \quad (\text{OK})$$

$$s \leq 450 \text{ mm} \quad (\text{OK})$$

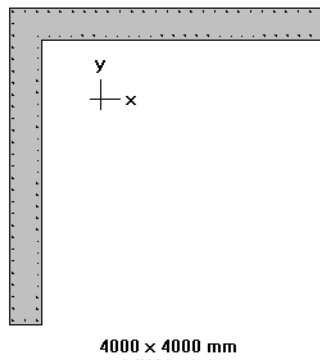
$$S \text{ pakai} = 150 \text{ mm} \quad (\text{OK})$$

- Spasi tulangan vertikal tidak boleh lebih dari:

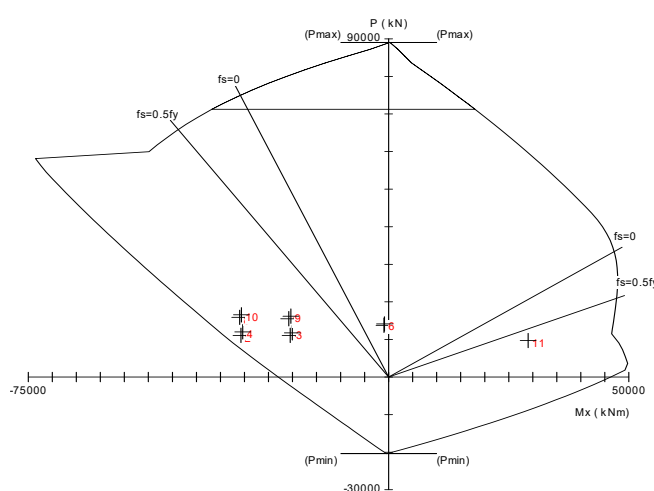
$$s \leq \frac{Lw}{3} = 1333 \text{ mm} \quad (\text{OK})$$

$$\begin{array}{ll}
 s \leq 3h = 1200 & \text{(OK)} \\
 s \leq 450 \text{ mm} & \text{(OK)} \\
 S \text{ pakai} = 150 \text{ mm} & \text{(OK)}
 \end{array}$$

### 8.3.8 Perencanaan Dinding Terhadap Kombinasi Gaya Aksial dan Lentur



Gambar 8. 11 Konfigurasi Penulangan *Shearwall Pier 1*



Gambar 8. 12 Diagram Interaksi P-M *Shearwall Pier 1* Arah X

Pada gambar tersebut dapat disimpulkan bahwa dinding geser (dengan konfigurasi penulangan yang telah direncanakan 2D25 - 150 mm) memiliki kekuatan yang memadai untuk menahan kombinasi gaya aksial dan lentur terfaktor yang bekerja.

### 8.3.9 Kontrol Komponen Batas

Komponen batas diperlukan apabila kombinasi momen dan gaya aksial terfaktor yang bekerja pada *shearwall* lebih dari  $0.2f'c$ .

#### Melalui Pendekatan Tegangan

$$x_a = 2852,631 \text{ mm}$$

$$x_b = 1147,368 \text{ mm}$$

$$I = 4,608 \times 10^{12} \text{ mm}^4$$

- Untuk ujung sisi kanan:

$$\frac{Mu \cdot x_a}{I} + \frac{Pu}{Ac} > 0.2 f'c$$

$$\frac{30627,66 \times 10^6 \times 2852,631}{4,608 \times 10^{12}} + \frac{16544,67 \times 10^3}{400 \times 4000 + 400 \times 3600} > 0.2 \times 45$$

$26,92 \text{ MPa} > 9 \text{ MPa}$  (**Butuh Komponen Batas**)

- Untuk ujung sisi kiri:

$$\frac{Mu \cdot x_b}{I} + \frac{Pu}{Ac} > 0.2 f'c$$

$$\frac{30627,66 \times 10^6 \times 1147,368}{4,608 \times 10^{12}} + \frac{16544,67 \times 10^3}{400 \times 4000 + 400 \times 3600} > 0.2 \times 45$$

$14,08 \text{ MPa} > 9 \text{ MPa}$  (**Butuh Komponen Batas**)

#### Melalui Pendekatan Perpindahan

Nilai  $\delta_u$  adalah nilai displacement pada lantai tertinggi pada masing-masing arah.

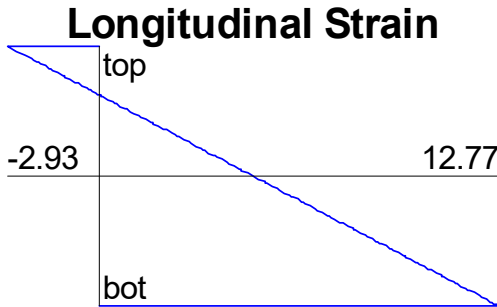
$$c > \frac{lw}{600(\frac{\delta u}{hw})} ; \quad \frac{\delta u}{hw} > 0.007$$

$$\frac{\delta u}{hw} = \frac{80,719}{56200} = 0,00144 < 0,007$$

Maka  $\frac{\delta u}{hw}$  pakai = 0.007

$$c > \frac{lw}{600 (\frac{\delta u}{hw})} = \frac{4000}{600 (0.007)} = 952,4 \text{ mm}$$

Dari hasil analisis menggunakan aplikasi bantu Response2000, berdasarkan Gambar 8.13 didapat jarak  $c = 1250 \text{ mm} > 952,4 \text{ mm}$ .



Gambar 8. 13 *Longitudinal Strain* Untuk Menentukan Nilai c

Komponen batas harus dipasang secara horizontal dari sisi serat tekan terluar tidak kurang dari pada  $(c - 0.1lw)$  dan  $c/2$

- o  $c - 0.1 Lw = 1250 - 0.1(4000)$   
 $= 850 \text{ mm (menentukan)}$
- o  $c/2 = \frac{1250}{2} = 625 \text{ mm}$

Digunakan jarak komponen pembatas pada ujung kanan dan kiri yaitu 850 mm

### 8.3.10 Penulangan Daerah *Special Boundary Element*

#### a. Tulangan Longitudinal

Dipasang 8D25 dan 2 x (850-400) mm/150 mm = 6D25 di daerah komponen batas khusus. Rasio tulangan longitudinal yang dihasilkan adalah:

$$\rho_l = \frac{14 \times \frac{1}{4} \times \pi \times 25^2}{400 \times 850} = 0,02 > 0,005 (\text{OK})$$

b. Tulangan *confinement* pada *boundary element*

Gunakan hoop berbentuk persegi dengan diameter tulangan D16.

Karakteristik inti penampang:

$$\begin{aligned} bc &= \text{dimensi inti (core)} \text{ diukur dari sumbu ke sumbu hoop} \\ &= 400 - (2 \times 40) = 320 \text{ mm} \end{aligned}$$

Spasi maksimum *hoop* ditentukan oleh yang terkecil diantara

- $\frac{1}{4} \text{ panjang sisi terpendek} = \frac{1}{4} \times 400 \text{ mm} = 100 \text{ mm}$
- $6 \text{ db} = 6 \times 19 \text{ mm} = 96 \text{ mm}$
- $s_x \leq 100 + \frac{350-h_x}{3}$   

$$h_x = 320 \text{ mm}$$

$$s_x \leq 100 + \frac{350 - 320}{3}$$

$$s_x \leq 110 \text{ mm}$$

Maka digunakan tulangan *hoop* 2D16 spasi 100 mm.

Tabel 8. 14 Rekapitulasi Perhitungan Tulangan *Shearwall*

Tipe	Tulangan		Komponen Batas		
	Horizontal	Vertikal	Arah X (mm)	Arah Y (mm)	Tulangan <i>Confinement</i>
DG1	2D25-150	2D25-150	850	850	2D16-100
DG2	2D32-100	2D32-100	1200	940	2D16-100
DG3	2D29-150	2D29-150	850	850	2D16-100

#### 8.4 Hubungan Balok Kolom

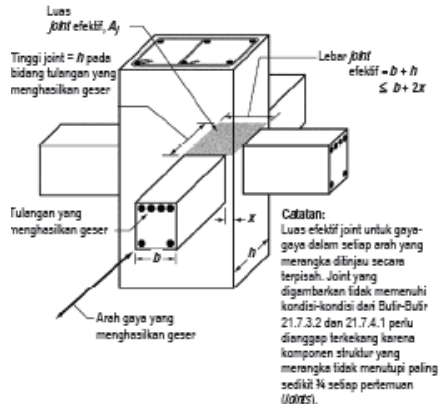
a. Mengecek syarat panjang *joint*

Dimensi kolom yang sejajar dengan tulangan balok tidak boleh kurang dari 20 kali diameter tulangan longitudinal terbesar. Perhitungan kolom menggunakan K1 (90/90).

- $B = 900 \text{ mm}$
- $H = 900 \text{ mm}$
- $db \text{ balok} = 29 \text{ mm}$
- $20 \times db = 20 \times 29 = 580 \text{ mm} \leq 900 \text{ mm (OK)}$

b. Menentukan luas efektif *joint*

Aj merupakan perkalian tinggi efektif dengan lebar *joint* efektif.



Gambar 8. 14 Luas *Joint* Efektif

- o  $bw = 450 \text{ mm}$
- o  $h = 900 \text{ mm}$
- o  $x = \frac{(900-450)}{2} = 225 \text{ mm}$

$$\text{Tinggi } joint = 900 \text{ mm}$$

Lebar *joint* efektif merupakan nilai terkecil dari:

- o  $b + h = 450 + 900 = 1350 \text{ mm}$
- o  $b + 2x = 450 + 2 \cdot (225) = 900 \text{ mm}$  (menentukan)

Diambil nilai lebar *joint* efektif = 900 mm

Maka:

$$\begin{aligned} Aj &= \text{tinggi } joint \times \text{lebar efektif } joint \\ &= 900 \text{ mm} \times 900 \text{ mm} \\ &= 810000 \text{ mm}^2 \end{aligned}$$

c. Penulangan transversal untuk *confinement*

Untuk *joint* interior, jumlah tulangan *confinement* setidaknya setengah dari tulangan *confinement* yang

dibutuhkan pada ujung-ujung kolom. Spasi vertikal tulangan *confinement* ini diizinkan diperbesar hingga 150 mm.

$$0,5 \frac{Ash}{S} = 0,5 \frac{672}{100} = 3,36 \text{ mm}$$

Digunakan 4D16

$$As = 804,24 \text{ mm}^2$$

$$S = \frac{804,24}{3,36} = 239 \text{ mm}$$

Jadi digunakan 4D16–100 mm

- d. Menghitung gaya geser pada *joint*

- o Menghitung Mg

Balok yang memasuki *joint* memiliki:

$$M_{prb1} = 1093 \text{ KN.m}$$

$$M_{prb2} = 567,796 \text{ KN.m}$$

Pada *joint*, kekakuan kolom atas dan kolom bawah sama.

$$Me = 0,5 (M_{prb1} + M_{prb2})$$

$$= 834,89 \text{ KN.m}$$

- o Menghitung geser pada kolom atas

$$\begin{aligned} V_{sway} &= \frac{Me+Me}{l} \\ &= \frac{2 \times 834,89}{4-0,65} \\ &= 498,4 \text{ KN} \end{aligned}$$

- o Dalam perhitungan diasumsikan bahwa tegangan pada tulangan tarik lentur adalah 1,25 fy.

1. Gaya tarik pada balok di tumpuan kiri (BI1)

$$As \text{ balok kiri } 6 \text{ D25} + As \text{ pelat} = 4151 \text{ mm}^2$$

$$T_1 = As \times 1,25.fy$$

$$= 2179,3 \text{ kN}$$

2. Gaya tekan pada balok di tumpuan kanan (BI1)

$$As \text{ balok kanan } 4 \text{ D25} = 1963,49 \text{ mm}^2$$

$$C_2 = As \times 1,25.fy$$

$$= 1030,83 \text{ kN}$$

- o Menghitung gaya geser

$$V_j = (T_1 + C_2) - V_{sway}$$

$$\begin{aligned} &= (2179,3 + 1030,83) - 498,4 \\ &= 2711,7 \text{ KN (searah T)} \end{aligned}$$

e. Cek kuat geser *joint*

Menghitung kuat geser *joint* yang dikekang di keempat sisinya sebagai berikut

$$\begin{aligned} V_n &= 1,7 \times \sqrt{f_c} \times A_j \\ &= 1,7 \times \sqrt{40} \times 810000 \\ &= 8708,9 \text{ kN} \\ O V_n &= 0,75 \times 8708,9 \text{ kN} \\ &= 6531,6 \text{ kN} > V_j = 2711,7 \text{ KN (OK)} \end{aligned}$$

*“Halaman ini sengaja dikosongkan”*

## BAB IX

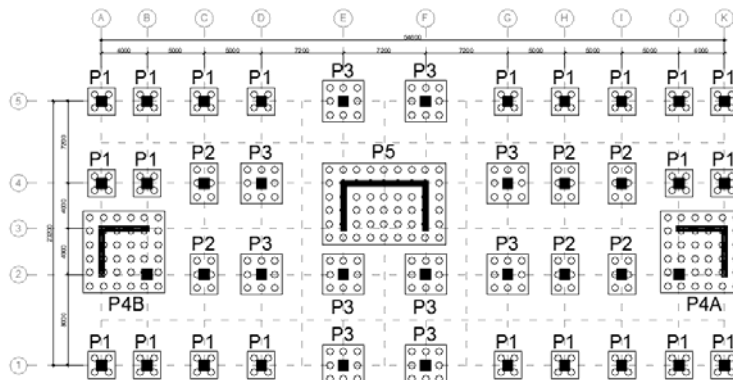
### PERENCANAAN STRUKTUR BAWAH

#### 9.1 Perencanaan Pondasi

Pondasi merupakan bagian dasar dari konstruksi yang berfungsi sebagai penopang bangunan di atasnya yang bertujuan untuk meneruskan beban ke tanah yang diterima oleh kolom secara bertahap dan merata.

Beban yang bekerja pada pondasi dihitung menurut SNI 1726:2019 pasal 4.2.3 kombinasi beban untuk metoda tegangan ijin.

- D
- D + L
- D + 0,75L
- D + 0,7E
- D + 0,75(0,7E) + 0,75L
- 0,6D + 0,7E



Gambar 9. 1 Denah Pondasi

#### 9.1.1 Data Perencanaan Pondasi

Pondasi pada gedung ini direncanakan menggunakan pondasi tiang pancang beton (*Spun pile*) produk dari PT. Wika

Beton. Spesifikasi tiang pancang yang akan digunakan adalah sebagai berikut:

- Diameter tiang : 600 mm
- *Wall thickness* : 100 mm
- Klasifikasi : C
- *Concrete cross section* : 1570 cm<sup>2</sup>
- Berat : 393 kg/m
- Panjang : 6 – 20 m
- *Bending moment crack* : 29 t.m
- *Bending momen ultimate* : 58 t.m
- *Allowable axial load* : 229,5 ton

### 9.1.2 Daya Dukung Tanah Tiang Pancang Tunggal

Daya dukung pada pondasi tiang pancang ditentukan oleh dua hal, yaitu daya dukung perlawanan tanah dari unsur dasar tiang pondasi ( $Q_p$ ) dan daya dukung tanah dari unsur lekatan lateral tanah ( $Q_s$ ). Sehingga daya dukung total dari tanah dapat dirumuskan:

$$Qu = Q_p + Q_s.$$

Disamping peninjauan berdasarkan kekuatan tanah tempat pondasi tiang pancang di tanam, daya dukung suatu tiang juga harus ditinjau berdasarkan kekuatan bahan tiang pancang tersebut. Hasil daya dukung yang menentukan yang dipakai sebagai daya dukung ijin tiang. Perhitungan daya dukung dapat ditinjau dari dua keadaan, yaitu:

- Daya dukung tiang pancang tunggal yang berdiri sendiri
- Daya dukung tiang pancang dalam kelompok

Daya dukung SPT dari lapangan tidak dapat langsung digunakan untuk perencanaan tiang pancang. Harus dilakukan koreksi terlebih dahulu terhadap data SPT asli. Metode perhitungan menggunakan cara dari *Terzaghi Bazaraa* 1960, adapun perhitungannya adalah sebagai berikut:

#### 1. Koreksi terhadap muka air tanah

Khusus untuk tanah berpasir halus, pasir berlanau, dan pasir berlempung, yang berada dibawah muka air tanah dan hanya bila  $N > 15$

$$a. \quad N1 = 15 + \frac{1}{2}(N-15)$$

$$b. \quad N1 = 0.6 N$$

Kemudian pilih harga N1 yang terkecil

2. Koreksi terhadap *overburden pressure* dari tanah

Dari harga N1 dikoreksi lagi untuk pengaruh tekanan tanah vertikal

$$N2 = \frac{4N1}{(1 + 0,4 Po)} \text{ untuk } Po < 7,5 \text{ ton}$$

$$N2 = \frac{4N1}{(3,25 + 0,1 Po)} \text{ untuk } Po < 7,5 \text{ ton}$$

3. Perhitungan daya dukung satu tiang pancang

Perhitungan daya dukung tiang pancang ini dilakukan berdasarkan hasil uji *Standard Penetration Test (SPT)* dengan rumus sebagai berikut:

$$Qu = Qp + Qs$$

$$Qp = Cn \times A \text{ ujung} = 40 \times \bar{N} \times A \text{ ujung}$$

$$Qs = \Sigma C_{li} \times A_{si}$$

Dimana:

$\bar{N}$  = Harga rata – rata N2 4D dibawah ujung sampai dengan 8D diatas ujung tiang

$C_{li}$  =  $N/2$  untuk tanah lempung atau lanau dan  $N/5$  untuk tanah pasir

$A_{si}$  = Luas selimut tiang pada segmen  $i = O_i \times h_i$

$O_i$  = Keliling tiang

Daya dukung ijin dari satu tiang pancang yang berdiri sendiri adalah daya dukung tiang total dibagi dengan suatu angka keamanan.

$$P \text{ ijin 1 tiang} = \frac{Qult}{SF}$$

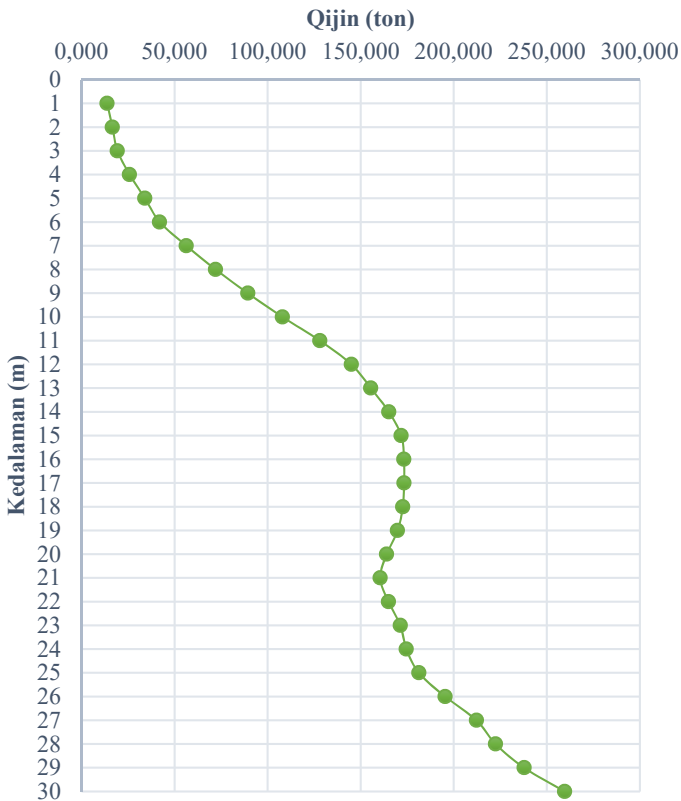
Dimana:

$$SF = safety factor = 3$$

Tabel 9. 1 Daya Dukung Tanah Kedalaman 1 – 30 m

Dep th (m)	N	Qp	Qs	Qult	Qjin = Qult/SF	Qizin
		(ton)	(ton)	Qp + Qs	SF=3 ; (ton)	kN
0	0					
1	0	41,202	0,000	41,202	13,734	134,729
2	2	45,929	3,770	49,699	16,566	162,515
3	2,5	49,320	8,482	57,802	19,267	189,013
4	3	63,682	13,734	77,416	25,805	253,151
5	3,5	82,896	19,137	102,033	34,011	333,648
6	4	101,301	24,660	125,961	41,987	411,891
7	10	131,832	37,148	168,980	56,327	552,566
8	16	160,807	55,264	216,071	72,024	706,551
9	20	192,133	75,975	268,108	89,369	876,714
10	24	225,025	98,874	323,899	107,966	1059,150
11	27,5	259,917	124,37	384,292	128,097	1256,634
12	31	282,416	152,58	434,998	144,999	1422,444
13	33,5	283,829	182,50	466,332	155,444	1524,905
14	36	281,320	214,07	495,395	165,132	1619,942
15	26	278,814	236,472	515,286	171,762	1684,986
16	16	269,762	250,020	519,782	173,261	1699,687
17	19,5	253,727	266,254	519,981	173,327	1700,339
18	23	232,761	285,086	517,847	172,616	1693,360
19	20	208,228	301,196	509,424	169,808	1665,816
20	17	177,200	314,670	491,870	163,957	1608,415
21	16	154,259	327,153	481,412	160,471	1574,216
22	15	156,126	338,674	494,799	164,933	1617,994
23	11	166,987	346,975	513,961	171,320	1680,654
24	7	171,502	352,167	523,668	174,556	1712,395
25	20,5	176,857	367,114	543,971	181,324	1778,787
26	34	194,864	391,494	586,358	195,453	1917,391
27	31,5	223,047	413,712	636,760	212,253	2082,204
28	29	233,647	433,839	667,485	222,495	2182,676
29	39,5	252,794	460,818	713,612	237,871	2333,513
30	50	284,543	494,438	778,981	259,660	2547,267

### Daya Dukung Tanah SPT Terhadap Tiang Pancang (Mayerhoff)



Gambar 9. 2 Grafik Daya Dukung Tanah Terhadap Kedalaman

Daya dukung ijin tiang pancang diameter 600 mm disajikan dalam Tabel 9.1 diatas dipakai pada kedalaman 27 meter dengan daya dukung sebesar 208,2 ton. Panjang tiang pancang yang digunakan adalah  $27\text{ m} - 5\text{ m} = 22\text{ m}$ .

Dari hasil analisa struktur dengan menggunakan program bantu ETABS, diambil output semua reaksi perletakan.

Tabel 9. 2 Beban pada Pondasi Tipe 1 (P1)

Load Case/Combo	FZ	FX	FY	MX	MY	Qu izin	n tiang panca
	kN	kN	kN	kNm	kNm	kN	
DL	3808,80	-12,24	-30,46	32,43	-15,25	2082,2	4
1DL+0,7Ey Min	3753,98	-43,65	-95,98	-291,51	-137,94	2082,2	4
1DL+0,7Ey Max	5411,73	15,50	36,98	353,39	102,82	2082,2	4
1DL+0,7Ex Min	4238,90	-74,32	-57,61	-104,61	-261,36	2082,2	4
1DL+0,7Ex Max	4926,81	46,16	-1,39	166,49	226,24	2082,2	4
1DL+0,75LL+0,525Ey	4766,79	-38,96	-88,03	-201,22	-111,25	2082,2	4
1DL+0,75LL+0,525Ey	6010,10	5,40	11,69	282,45	69,32	2082,2	4
1DL+0,75LL+0,525Ex	5130,48	-61,96	-59,25	-61,05	-203,81	2082,2	4
1DL+0,75LL+0,525Ex	5646,41	28,40	-17,09	142,28	161,88	2082,2	4
1DL+0,75LL	5388,45	-16,78	-38,17	40,62	-20,96	2082,2	4
1DL + 1L	2922,30	-9,04	-22,16	24,32	-11,39	2082,2	4
0,6DL+0,7Ey Min	1920,84	-38,02	-84,18	-303,88	-130,92	2082,2	4
0,6DL+0,7Ey Max	3578,59	21,13	48,78	341,01	109,85	2082,2	4
0,6DL+0,7Ex Min	2405,76	-68,69	-45,81	-116,99	-254,33	2082,2	4
0,6DL+0,7Ex Max	3093,66	51,79	10,41	154,12	233,26	2082,2	4

Tabel 9. 3 Beban pada Pondasi Tipe 2 (P2)

Load Case/Combo	FZ	FX	FY	MX	MY	Qu izin	n tiang pancang
	kN	kN	kN	kNm	kNm	kN	
DL	4965,43	-0,46	4,43	-10,62	-0,95	2082,2	6
1DL+0,7Ey Min	5085,95	-37,03	-86,26	-374,28	-163,48	2082,2	6
1DL+0,7Ey Max	5127,61	35,98	84,95	364,98	161,54	2082,2	6
1DL+0,7Ex Min	5096,31	-65,47	-37,23	-161,41	-285,90	2082,2	6
1DL+0,7Ex Max	5117,25	64,42	35,91	152,11	283,97	2082,2	6
1DL+0,75LL+0,525Ey	6237,10	-27,94	-61,33	-287,27	-123,01	2082,2	6
1DL+0,75LL+0,525Ey	6268,35	26,81	67,07	267,18	120,76	2082,2	6
1DL+0,75LL+0,525Ex	6244,87	-49,27	-24,56	-127,62	-214,83	2082,2	6
1DL+0,75LL+0,525Ex	6260,58	48,15	30,30	107,52	212,58	2082,2	6
1DL+0,75LL	6252,73	-0,56	2,87	-10,05	-1,13	2082,2	6
1DL + 1L	3197,20	-0,18	4,32	-8,41	-0,44	2082,2	6
0,6DL+0,7Ey Min	3043,24	-36,82	-86,00	-372,42	-163,09	2082,2	6
0,6DL+0,7Ey Max	3084,90	36,19	85,21	366,84	161,93	2082,2	6
0,6DL+0,7Ex Min	3053,60	-65,26	-36,97	-159,55	-285,52	2082,2	6
0,6DL+0,7Ex Max	3074,54	64,63	36,18	153,97	284,36	2082,2	6

Tabel 9. 4 Beban pada Pondasi Tipe 3 (P3)

Load Case/Combo	FZ	FX	FY	MX	MY	Qu izin	n tiang pancang
	kN	kN	kN	kNm	kNm	kN	
DL	5061,95	4,83	-26,98	27,99	5,58	2082,2	9
1DL+0,7Ey Min	3581,36	-38,53	-120,58	-297,39	-165,33	2082,2	9
1DL+0,7Ey Max	7133,89	46,51	65,06	354,82	174,55	2082,2	9
1DL+0,7Ex Min	4006,83	-71,30	-74,62	-129,09	-293,14	2082,2	9
1DL+0,7Ex Max	6708,42	79,28	19,10	186,52	302,36	2082,2	9
1DL+0,75LL+0,525E	5001,38	-26,70	-101,58	-211,73	-121,47	2082,2	9
1DL+0,75LL+0,525E	7665,78	37,08	37,65	277,43	133,44	2082,2	9
1DL+0,75LL+0,525E	5320,49	-51,28	-67,11	-85,50	-217,33	2082,2	9
1DL+0,75LL+0,525E	7346,67	61,66	3,18	151,20	229,30	2082,2	9
1DL+0,75LL	6333,58	5,19	-31,97	32,85	5,99	2082,2	9
1DL + 1L	2898,22	2,36	-12,00	11,75	2,70	2082,2	9
0,6DL+0,7Ey Min	1438,31	-40,13	-109,48	-308,87	-167,18	2082,2	9
0,6DL+0,7Ey Max	4990,84	44,91	76,16	343,34	172,71	2082,2	9
0,6DL+0,7Ex Min	1863,78	-72,90	-63,52	-140,57	-294,99	2082,2	9
0,6DL+0,7Ex Max	4565,37	77,69	30,20	175,04	300,52	2082,2	9

Tabel 9. 5 Beban pada Pondasi Tipe 4A (P4A)

Load Case/Combo	FZ	FX	FY	MX	MY	Qu izin	n tiang pancan
	kN	kN	kN	kNm	kNm	kN	
DL	12228	-54,56	-24,53	-7,09	-5,66	2082,2	36
1DL+0,7Ey Min	8570	-1409,25	-2660,01	-1535,59	-176,88	2082,2	36
1DL+0,7Ey Max	26809	1327,02	2581,26	1529,68	166,12	2082,2	36
1DL+0,7Ex Min	5845,4	-1567,04	-1650,85	-762,88	-334,08	2082,2	36
1DL+0,7Ex Max	24027	1484,82	1572,10	756,97	323,33	2082,2	36
1DL+0,75LL+0,525Ey	8108,2	-1084,94	-2007,18	-1154,55	-134,93	2082,2	36
1DL+0,75LL+0,525Ey	24935	967,26	1923,78	1144,41	122,31	2082,2	36
1DL+0,75LL+0,525Ex	5595,7	-1203,29	-1250,31	-575,01	-252,84	2082,2	36
1DL+0,75LL+0,525Ex	22848	1085,61	1166,91	564,87	240,22	2082,2	36
1DL+0,75LL	13884	-58,84	-41,70	-5,07	-6,31	2082,2	36
1DL + 1L	4671,6	-33,83	-21,05	-1,50	-2,19	2082,2	36
0,6DL+0,7Ey Min	8966,5	-1392,80	-2644,26	-1534,41	-174,72	2082,2	36
0,6DL+0,7Ey Max	21979	1343,47	2597,01	1530,86	168,27	2082,2	36
0,6DL+0,7Ex Min	6758,2	-1550,60	-1635,10	-761,70	-331,93	2082,2	36
0,6DL+0,7Ex Max	19197	1501,27	1587,85	758,15	325,48	2082,2	36

Tabel 9. 6 Beban pada Pondasi Tipe 4B (P4B)

Load Case/Combo	FZ	FX	FY	MX	MY	Qu izin	n tiang pancang
	kN	kN	kN	kNm	kNm	kN	
DL	12467,37	55,58	-22,21	-10,22	4,89	2082,2	36
1DL+0,7Ey Min	3124,70	-909,16	-1576,49	-888,28	-165,82	2082,2	36
1DL+0,7Ey Max	22013,02	993,05	1499,77	878,80	175,30	2082,2	36
1DL+0,7Ex Min	384,53	-1418,82	-1740,58	-941,59	-319,61	2082,2	36
1DL+0,7Ex Max	24753,19	1502,71	1663,87	932,10	329,09	2082,2	36
1DL+0,75LL+0,525E	7225,33	-653,36	-1193,27	-670,16	-122,49	2082,2	36
1DL+0,75LL+0,525E	21391,58	773,30	1113,92	655,15	133,35	2082,2	36
1DL+0,75LL+0,525E	5170,21	-1035,60	-1316,34	-710,14	-237,83	2082,2	36
1DL+0,75LL+0,525E	23446,70	1155,54	1236,99	695,13	248,69	2082,2	36
1DL+0,75LL	14308,46	59,97	-39,68	-7,50	5,43	2082,2	36
1DL + 1L	4740,42	34,43	-19,66	-1,88	1,69	2082,2	36
0,6DL+0,7Ey Min	-1902,85	-925,94	-1561,14	-886,38	-167,71	2082,2	36
0,6DL+0,7Ey Max	16985,48	976,27	1515,11	880,69	173,40	2082,2	36
0,6DL+0,7Ex Min	-4643,01	-1435,60	-1725,24	-939,69	-321,51	2082,2	36
0,6DL+0,7Ex Max	19725,64	1485,93	1679,21	934,00	327,19	2082,2	36

Tabel 9. 7 Beban pada Pondasi Tipe 5 (P5)

Load Case/Combo	FZ	FX	FY	MX	MY	Qu izin	n tiang pancan
	kN	kN	kN	kNm	kNm	kN	
DL	25569,89	0,52	13,21	-68,53	-1,09	2082,2	54
1DL+0,7Ey Min	813,24	-2249,18	-3609,78	-2072,34	-991,31	2082,2	54
1DL+0,7Ey Max	49247,26	2249,84	3697,57	1910,35	989,28	2082,2	54
1DL+0,7Ex Min	7104,46	-4316,15	-4286,37	-1165,12	-2036,47	2082,2	54
1DL+0,7Ex Max	57164,96	4316,82	4374,16	1003,13	2034,44	2082,2	54
1DL+0,75LL+0,525E	11032,76	-1686,81	-2697,96	-1588,43	-744,14	2082,2	54
1DL+0,75LL+0,525E	47358,27	1687,45	2782,56	1398,58	741,31	2082,2	54
1DL+0,75LL+0,525E	5094,49	-3237,04	-3205,40	-908,02	-1528,01	2082,2	54
1DL+0,75LL+0,525E	53296,55	3237,69	3290,00	718,17	1525,18	2082,2	54
1DL+0,75LL	29195,52	0,32	42,30	-94,92	-1,42	2082,2	54
1DL + 1L	10567,74	-0,22	26,43	-49,60	-1,00	2082,2	54
0,6DL+0,7Ey Min	9198,86	-2249,31	-3627,34	-2039,94	-990,90	2082,2	54
0,6DL+0,7Ey Max	39235,16	2249,71	3680,01	1942,75	989,69	2082,2	54
0,6DL+0,7Ex Min	17116,56	-4316,29	-4303,93	-1132,73	-2036,06	2082,2	54
0,6DL+0,7Ex Max	47152,86	4316,68	4356,60	1035,53	2034,85	2082,2	54

Berdasarkan tabel di atas:

- Jumlah tiang pancang tipe 1 digunakan 4 buah
- Jumlah tiang pancang tipe 2 digunakan 6 buah
- Jumlah tiang pancang tipe 3 digunakan 9 buah
- Jumlah tiang pancang tipe 4 digunakan 36 buah
- Jumlah tiang pancang tipe 5 digunakan 54 buah

### 9.1.3 Kontrol Beban Maksimum 1 Tiang Pancang

Beban maksimum yang bekerja pada satu tiang dalam tiang kelompok dihitung berdasarkan gaya aksial dan momen yang bekerja pada tiang. Momen pada tiang dapat menyebabkan gaya tekan atau tarik pada tiang, namun yang diperhitungkan hanya gaya tekan karena gaya tarik dianggap lebih kecil dari beban gravitasi struktur, sehingga berlaku persamaan:

$$P_{max} = \frac{\Sigma P}{n} \pm \frac{M_y \times x}{\Sigma x^2} \pm \frac{M_x \times y}{\Sigma y^2} \leq P_{ijin tanah} \text{ (1 tiang)}$$

Perhitungan jarak tiang

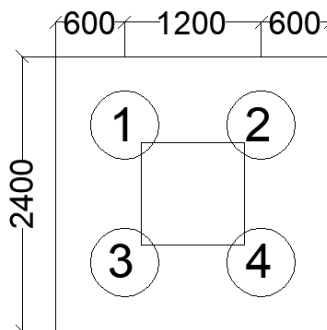
$$2D \leq S \leq 3D \quad \text{dengan } S = \text{jarak antar tiang}$$

$$120 \leq S \leq 240 \quad \text{dipakai } S = 120 \text{ cm}$$

$$1D \leq S \leq 2D \quad \text{dengan } S = \text{jarak tepi}$$

$$60 \leq S \leq 120 \quad \text{dipakai } S = 60 \text{ cm}$$

#### Pondasi Tipe 1 (P1)



Gambar 9. 3 Konfigurasi Tiang Pancang P1

Contoh Perhitungan pada tiang pancang no 4:

$$P_{Kolom} = 6010,1 \text{ kN}$$

$$P_{Pile Cap} = 2,4 \times 2,4 \times 1,2 \times 23,54 = 162,73 \text{ kN}$$

$$M_x = 282,45 \text{ kNm}$$

$$M_y = 69,3 \text{ kNm}$$

$$\begin{aligned}
 x &= 0,6 \text{ m} \\
 y &= 0,6 \text{ m} \\
 \sum x^2 &= 1,44 \text{ m}^2 \\
 \sum y^2 &= 1,44 \text{ m}^2
 \end{aligned}$$

$$P_{max} = \frac{\Sigma P}{n} \pm \frac{M_y \times x}{\Sigma x^2} \pm \frac{M_x \times y}{\Sigma y^2}$$

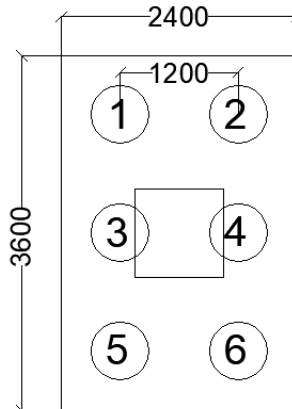
$$P_{max} = \frac{6010,1 + 162,73}{4} + \frac{282,45 \times 0,6}{1,44} + \frac{69,3 \times 0,6}{1,44}$$

$$P_{max} = 1689,78 \text{ kN} \leq P_{jin} = 2082,2 \text{ kN} \text{ (1 tiang)} \dots \text{OK}$$

Tabel 9. 8 Hasil Perhitungan Pmax Per Tiang pada P1

Load Combination	$\Sigma P$ (kN)	n Tiang	P/n (kN)	Mx (kNm)	My (kNm)	P Max (kN)	P jin (kN)	Pmax < Pjin
DL	3971,533	4	992,883	32,43	-15,25	1000,04	2082,2	OK
IDL+0,7Ey Min	3916,715	4	979,179	-291,51	-137,94	800,2418	2082,2	OK
IDL+0,7Ey Max	5574,468	4	1393,62	353,39	102,82	1583,705	2082,2	OK
IDL+0,7Ex Min	4401,64	4	1100,41	-104,61	-261,36	947,9235	2082,2	OK
IDL+0,7Ex Max	5089,543	4	1272,39	166,49	226,24	1436,023	2082,2	OK
IDL+0,75LL+0,525Ey M	4929,526	4	1232,38	-201,22	-111,25	1102,185	2082,2	OK
IDL+0,75LL+0,525Ey M	6172,84	4	1543,21	282,45	69,32	<b>1689,78</b>	2082,2	OK
IDL+0,75LL+0,525Ex M	5293,219	4	1323,3	-61,05	-203,81	1212,947	2082,2	OK
IDL+0,75LL+0,525Ex M	5809,147	4	1452,29	142,28	161,88	1579,022	2082,2	OK
IDL+0,75LL	5551,183	4	1387,8	40,62	-20,96	1395,984	2082,2	OK
IDL + 1L	3085,039	4	771,26	24,32	-11,39	776,646	2082,2	OK
0,6DL+0,7Ey Min	2083,573	4	520,893	-303,88	-130,92	339,7261	2082,2	OK
0,6DL+0,7Ey Max	3741,326	4	935,331	341,01	109,85	1123,189	2082,2	OK
0,6DL+0,7Ex Min	2568,498	4	642,124	-116,99	-254,33	487,4078	2082,2	OK
0,6DL+0,7Ex Max	3256,401	4	814,1	154,12	233,26	975,5077	2082,2	OK

### Pondasi Tipe 2 (P2)



Gambar 9. 4 Konfigurasi Tiang Pancang P2

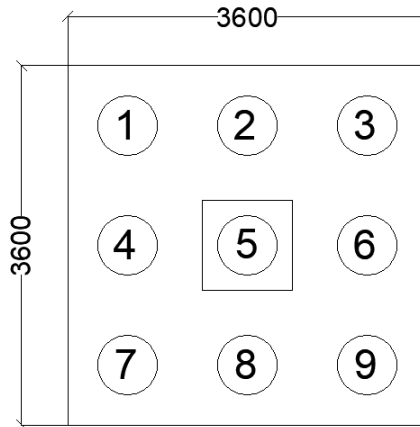
$$P \text{ Pile Cap} = 3,6 \times 2,4 \times 1,2 \times 23,54 = 244,1 \text{ kN}$$

$$\begin{aligned}\sum x^2 &= 2,16 \text{ m}^2 \\ \sum y^2 &= 5,76 \text{ m}^2\end{aligned}$$

Tabel 9. 9 Hasil Perhitungan Pmax Per Tiang pada P2

Load Combination	$\Sigma P$ (kN)	n Tiang	P/n (kN)	Mx (kNm)	My (kNm)	P Max (kN)	P jin (kN)	Pmax < Pjin
DL	5209,54	6	868,26	-10,62	-0,95	870,73	2082,2	OK
IDL+0,7Ey Min	5330,06	6	888,34	-374,28	-163,48	1011,73	2082,2	OK
IDL+0,7Ey Max	5371,71	6	895,29	364,98	161,54	1016,20	2082,2	OK
IDL+0,7Ex Min	5340,42	6	890,07	-161,41	-285,90	1003,12	2082,2	OK
IDL+0,7Ex Max	5361,36	6	893,56	152,11	283,97	1004,13	2082,2	OK
IDL+0,75LL+0,525Ey Min	6481,21	6	1080,20	-287,27	-123,01	1174,22	2082,2	OK
IDL+0,75LL+0,525Ey Max	6512,45	6	1085,41	267,18	120,76	1174,61	2082,2	OK
IDL+0,75LL+0,525Ex Min	6488,98	6	1081,50	-127,62	-214,83	1167,76	2082,2	OK
IDL+0,75LL+0,525Ex Max	6504,68	6	1084,11	107,52	212,58	1165,56	2082,2	OK
IDL+0,75LL	6496,83	6	1082,81	-10,05	-1,13	1085,21	2082,2	OK
IDL + 1L	3441,31	6	573,55	-8,41	-0,44	575,43	2082,2	OK
0,6DL+0,7Ey Min	3287,34	6	547,89	-372,42	-163,09	670,78	2082,2	OK
0,6DL+0,7Ey Max	3329,00	6	554,83	366,84	161,93	676,24	2082,2	OK
0,6DL+0,7Ex Min	3297,70	6	549,62	-159,55	-285,52	662,17	2082,2	OK
0,6DL+0,7Ex Max	3318,64	6	553,11	153,97	284,36	664,17	2082,2	OK

### Pondasi Tipe 3 (P3)



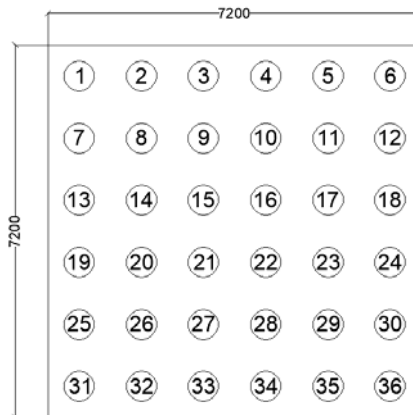
Gambar 9. 5 Konfigurasi Tiang Pancang P3

$$\begin{aligned} P \text{ Pile Cap} &= 3,6 \times 3,6 \times 1,2 \times 23,54 = 366,1 \text{ kN} \\ \sum x^2 &= 8,64 \text{ m}^2 \\ \sum y^2 &= 8,64 \text{ m}^2 \end{aligned}$$

Tabel 9. 10 Hasil Perhitungan Pmax Per Tiang pada P3

Load Combination	$\Sigma P$ (kN)	n Tiang	P/n (kN)	Mx (kNm)	My (kNm)	P Max (kN)	P ijin (kN)	Pmax < Pijin
DL	5428,11	9	603,12	27,99	5,58	607,8	2082,2	OK
1DL+0,7Ey Min	3947,51	9	438,61	-297,39	-165,33	502,9	2082,2	OK
1DL+0,7Ey Max	7500,05	9	833,34	354,82	174,55	906,9	2082,2	OK
1DL+0,7Ex Min	4372,99	9	485,89	-129,09	-293,14	544,5	2082,2	OK
1DL+0,7Ex Max	7074,57	9	786,06	186,52	302,36	854	2082,2	OK
1DL+0,75LL+0,525Ey Min	5367,53	9	596,39	-211,73	-121,47	642,7	2082,2	OK
1DL+0,75LL+0,525Ey Max	8031,94	9	892,44	277,43	133,44	949,5	2082,2	OK
1DL+0,75LL+0,525Ex Min	5686,64	9	631,85	-85,50	-217,33	673,9	2082,2	OK
1DL+0,75LL+0,525Ex Max	7712,83	9	856,98	151,20	229,30	909,8	2082,2	OK
1DL+0,75LL	6699,73	9	744,41	32,85	5,99	749,8	2082,2	OK
1DL + 1L	3264,37	9	362,71	11,75	2,70	364,7	2082,2	OK
0,6DL+0,7Ey Min	1804,46	9	200,50	-308,87	-167,18	266,6	2082,2	OK
0,6DL+0,7Ey Max	5357,00	9	595,22	343,34	172,71	666,9	2082,2	OK
0,6DL+0,7Ex Min	2229,94	9	247,77	-140,57	-294,99	308,3	2082,2	OK
0,6DL+0,7Ex Max	4931,52	9	547,95	175,04	300,52	614	2082,2	OK

### Pondasi Tipe 4A dan 4B (P4A dan P4B)



Gambar 9. 6 Konfigurasi Tiang Pancang P4

$$P \text{ } Pile \text{ } Cap = 7,2 \times 7,2 \times 1,2 \times 23,54 = 1464,625 \text{ kN}$$

$$\sum x^2 = 151,2 \text{ m}^2$$

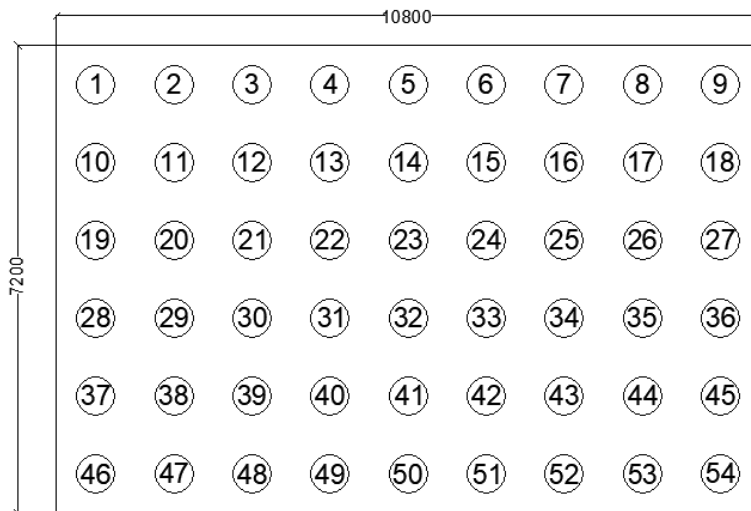
$$\sum y^2 = 151,2 \text{ m}^2$$

Tabel 9. 11 Hasil Perhitungan Pmax Per Tiang pada P4A

Load Combination	$\Sigma P$ (kN)	n Tiang	P/n (kN)	Mx (kNm)	My (kNm)	P Max (kN)	P jin (kN)	Pmax < Pjin
DL	13692,39	36	380,34	-7,09	-5,66	380,60	2082,2	OK
IDL+0,7Ey Min	10034,66	36	278,74	-1535,59	-176,88	312,72	2082,2	OK
IDL+0,7Ey Max	28273,54	36	785,38	1529,68	166,12	819,02	2082,2	OK
IDL+0,7Ex Min	7310,03	36	203,06	-762,88	-334,08	224,82	2082,2	OK
IDL+0,7Ex Max	25491,14	36	708,09	756,97	323,33	729,52	2082,2	OK
IDL+0,75LL+0,525Ey Min	9572,82	36	265,91	-1154,55	-134,93	291,50	2082,2	OK
IDL+0,75LL+0,525Ey Max	26399,21	36	733,31	1144,41	122,31	758,44	2082,2	OK
IDL+0,75LL+0,525Ex Min	7060,34	36	196,12	-575,01	-252,84	212,55	2082,2	OK
IDL+0,75LL+0,525Ex Max	24312,41	36	675,34	564,87	240,22	691,32	2082,2	OK
IDL+0,75LL	15348,72	36	426,35	-5,07	-6,31	426,58	2082,2	OK
IDL + 1L	6136,23	36	170,45	-1,50	-2,19	170,52	2082,2	OK
0,6DL+0,7Ey Min	10431,16	36	289,75	-1534,41	-174,72	323,67	2082,2	OK
0,6DL+0,7Ey Max	23443,57	36	651,21	1530,86	168,27	684,92	2082,2	OK
0,6DL+0,7Ex Min	8222,87	36	228,41	-761,70	-331,93	250,11	2082,2	OK
0,6DL+0,7Ex Max	20661,17	36	573,92	758,15	325,48	595,42	2082,2	OK

Tabel 9. 12 Hasil Perhitungan Pmax Per Tiang pada P4B

Load Combination	$\Sigma P$ (kN)	n Tiang	P/n (kN)	Mx (kNm)	My (kNm)	P Max (kN)	P $\dot{ijin}$ (kN)	Pmax < P $\dot{ijin}$
DL	13932,00	36	387,00	-10,22	4,89	387,30	2082,2	OK
1DL+0,7Ey Min	4589,32	36	127,48	-888,28	-165,82	148,40	2082,2	OK
1DL+0,7Ey Max	23477,65	36	652,16	878,80	175,30	673,07	2082,2	OK
1DL+0,7Ex Min	1849,15	36	51,37	-941,59	-319,61	76,39	2082,2	OK
1DL+0,7Ex Max	26217,81	36	728,27	932,10	329,09	753,30	2082,2	OK
1DL+0,75LL+0,525Ey Min	8689,96	36	241,39	-670,16	-122,49	257,11	2082,2	OK
1DL+0,75LL+0,525Ey Max	22856,20	36	634,89	655,15	133,35	650,54	2082,2	OK
1DL+0,75LL+0,525Ex Min	6634,83	36	184,30	-710,14	-237,83	203,11	2082,2	OK
1DL+0,75LL+0,525Ex Max	24911,33	36	691,98	695,13	248,69	710,71	2082,2	OK
1DL+0,75LL	15773,08	36	438,14	-7,50	5,43	438,40	2082,2	OK
1DL + 1L	6205,04	36	172,36	-1,88	1,69	172,43	2082,2	OK
0,6DL+0,7Ey Min	-438,22	36	-12,17	-886,38	-167,71	8,74	2082,2	OK
0,6DL+0,7Ey Max	18450,10	36	512,50	880,69	173,40	533,42	2082,2	OK
0,6DL+0,7Ex Min	-3178,39	36	-88,29	-939,69	-321,51	-63,26	2082,2	OK
0,6DL+0,7Ex Max	21190,27	36	588,62	934,00	327,19	613,64	2082,2	OK

Pondasi Tipe 5 (P5)

Gambar 9. 7 Konfigurasi Tiang Pancang P5

$$P \text{ } Pile \text{ } Cap = 10,8 \times 7,2 \times 1,2 \times 23,54 = 2196,56 \text{ kN}$$

$$\begin{aligned}\sum x^2 &= 518,4 \text{ m}^2 \\ \sum y^2 &= 226,8 \text{ m}^2\end{aligned}$$

Tabel 9. 13 Hasil Perhitungan Pmax Per Tiang pada P5

Load Combination	$\Sigma P$ (kN)	n Tiang	P/n (kN)	Mx (kNm)	My (kNm)	P Max (kN)	P ijin (kN)	Pmax < Pijin
DL	27766,83	54	514,2	-68,53	-1,09	515,12	2082,2	OK
1DL+0,7Ey Min	3010,182	54	55,744	-2072,34	-991,31	92,33	2082,2	OK
1DL+0,7Ey Max	51444,2	54	952,67	1910,35	989,28	987,10	2082,2	OK
1DL+0,7Ex Min	9301,397	54	172,25	-1165,12	-2036,47	206,52	2082,2	OK
1DL+0,7Ex Max	59361,9	54	1099,3	1003,13	2034,44	1131,40	2082,2	OK
1DL+0,75LL+0,525Ey Min	13229,7	54	244,99	-1588,43	-744,14	272,90	2082,2	OK
1DL+0,75LL+0,525Ey Max	49555,21	54	917,69	1398,58	741,31	943,05	2082,2	OK
1DL+0,75LL+0,525Ex Min	7291,424	54	135,03	-908,02	-1528,01	161,19	2082,2	OK
1DL+0,75LL+0,525Ex Max	55493,49	54	1027,7	718,17	1525,18	1051,28	2082,2	OK
1DL+0,75LL	31392,46	54	581,34	-94,92	-1,42	582,61	2082,2	OK
1DL + 1L	12764,68	54	236,38	-49,60	-1,00	237,05	2082,2	OK
0,6DL+0,7Ey Min	11395,79	54	211,03	-2039,94	-990,90	247,19	2082,2	OK
0,6DL+0,7Ey Max	41432,1	54	767,26	1942,75	989,69	802,12	2082,2	OK
0,6DL+0,7Ex Min	19313,5	54	357,66	-1132,73	-2036,06	391,49	2082,2	OK
0,6DL+0,7Ex Max	49349,8	54	913,89	1035,53	2034,85	946,42	2082,2	OK

#### 9.1.4 Kontrol Daya Dukung Tiang Pancang Kelompok

Untuk mengetahui jumlah tiang pancang yang dibutuhkan dalam satu kolom adalah dengan membagi beban aksial dan daya dukung ijin satu tiang. Terdapat beberapa tipe susunan tiang pancang berdasarkan satu berat kolom yang dipikulnya. Jumlah tiang pancang direncanakan jarak nya sesuai dengan yang diijinkan.

Perhitungan daya dukung tiang pancang kelompok untuk daya dukung pondasi kelompok harus dikoreksi terlebih dahulu dengan koefisien efisiensi ( $\eta$ ) menurut Seiler-Keeney Formula.

$$\eta = \left( 1 - \frac{36S(m+n-2)}{(75S^2-7)(m+n-1)} \right) + \frac{0.3}{m+n}$$

Dimana:

D = diameter tiang pancang

S = Jarak antar tiang pancang

m = Jumlah baris tiang pancang dalam grup

n = Jumlah kolom tiang pancang dalam grup

Tabel 9. 14 Kontrol Tiang Pancang Kelompok P1

Load Combination	$\Sigma P$ (kN)	Jumlah Tiang	m	n	$\mu$	QL Group (kN)	QL> $\Sigma P$
DL	3971,53	4	2	2	0,79	6578,53	OK
1DL+0,7Ey Min	3916,72	4	2	2	0,79	6578,53	OK
1DL+0,7Ey Max	5574,47	4	2	2	0,79	6578,53	OK
1DL+0,7Ex Min	4401,64	4	2	2	0,79	6578,53	OK
1DL+0,7Ex Max	5089,54	4	2	2	0,79	6578,53	OK
1DL+0,75LL+0,525Ey Min	4929,53	4	2	2	0,79	6578,53	OK
1DL+0,75LL+0,525Ey Max	6172,84	4	2	2	0,79	6578,53	OK
1DL+0,75LL+0,525Ex Min	5293,22	4	2	2	0,79	6578,53	OK
1DL+0,75LL+0,525Ex Max	5809,15	4	2	2	0,79	6578,53	OK
1DL+0,75LL	5551,18	4	2	2	0,79	6578,53	OK
1DL + 1L	3085,04	4	2	2	0,79	6578,53	OK
0,6DL+0,7Ey Min	2083,57	4	2	2	0,79	6578,53	OK
0,6DL+0,7Ey Max	3741,33	4	2	2	0,79	6578,53	OK
0,6DL+0,7Ex Min	2568,5	4	2	2	0,79	6578,53	OK
0,6DL+0,7Ex Max	3256,4	4	2	2	0,79	6578,53	OK

Tabel 9. 15 Kontrol Tiang Pancang Kelompok P2

Load Combination	$\Sigma P$ (kN)	Jumlah Tiang	m	n	$\mu$	QL Group (kN)	QL> $\Sigma P$
DL	5209,54	6	3	2	0,74	9235,09	OK
1DL+0,7Ey Min	5330,06	6	3	2	0,74	9235,09	OK
1DL+0,7Ey Max	5371,71	6	3	2	0,74	9235,09	OK
1DL+0,7Ex Min	5340,42	6	3	2	0,74	9235,09	OK
1DL+0,7Ex Max	5361,36	6	3	2	0,74	9235,09	OK
1DL+0,75LL+0,525Ey Min	6481,21	6	3	2	0,74	9235,09	OK
1DL+0,75LL+0,525Ey Max	6512,45	6	3	2	0,74	9235,09	OK
1DL+0,75LL+0,525Ex Min	6488,98	6	3	2	0,74	9235,09	OK
1DL+0,75LL+0,525Ex Max	6504,68	6	3	2	0,74	9235,09	OK
1DL+0,75LL	6496,83	6	3	2	0,74	9235,09	OK
1DL + 1L	3441,31	6	3	2	0,74	9235,09	OK
0,6DL+0,7Ey Min	3287,34	6	3	2	0,74	9235,09	OK
0,6DL+0,7Ey Max	3329,00	6	3	2	0,74	9235,09	OK
0,6DL+0,7Ex Min	3297,70	6	3	2	0,74	9235,09	OK
0,6DL+0,7Ex Max	3318,64	6	3	2	0,74	9235,09	OK

Tabel 9. 16 Kontrol Tiang Pancang Kelompok P3

Load Combination	$\Sigma P$ (kN)	Jumlah Tiang	m	n	$\mu$	QL Group (kN)	$QL > \Sigma P$
DL	5428,11	9	3	3	0,71	13264,46	OK
1DL+0,7Ey Min	3947,51	9	3	3	0,71	13264,46	OK
1DL+0,7Ey Max	7500,05	9	3	3	0,71	13264,46	OK
1DL+0,7Ex Min	4372,99	9	3	3	0,71	13264,46	OK
1DL+0,7Ex Max	7074,57	9	3	3	0,71	13264,46	OK
1DL+0,75LL+0,525Ey Min	5367,53	9	3	3	0,71	13264,46	OK
1DL+0,75LL+0,525Ey Max	8031,94	9	3	3	0,71	13264,46	OK
1DL+0,75LL+0,525Ex Min	5686,64	9	3	3	0,71	13264,46	OK
1DL+0,75LL+0,525Ex Max	7712,83	9	3	3	0,71	13264,46	OK
1DL+0,75LL	6699,73	9	3	3	0,71	13264,46	OK
1DL + 1L	3264,37	9	3	3	0,71	13264,46	OK
0,6DL+0,7Ey Min	1804,46	9	3	3	0,71	13264,46	OK
0,6DL+0,7Ey Max	5357,00	9	3	3	0,71	13264,46	OK
0,6DL+0,7Ex Min	2229,94	9	3	3	0,71	13264,46	OK
0,6DL+0,7Ex Max	4931,52	9	3	3	0,71	13264,46	OK

Tabel 9. 17 Kontrol Tiang Pancang Kelompok P4A

Load Combination	$\Sigma P$ (kN)	Jumlah Tiang	m	n	$\mu$	QL Group (kN)	$QL > \Sigma P$
DL	13692,39	36	6	6	0,64	47686,22	OK
1DL+0,7Ey Min	10034,66	36	6	6	0,64	47686,22	OK
1DL+0,7Ey Max	28273,54	36	6	6	0,64	47686,22	OK
1DL+0,7Ex Min	7310,03	36	6	6	0,64	47686,22	OK
1DL+0,7Ex Max	25491,14	36	6	6	0,64	47686,22	OK
1DL+0,75LL+0,525Ey Min	9572,82	36	6	6	0,64	47686,22	OK
1DL+0,75LL+0,525Ey Max	26399,21	36	6	6	0,64	47686,22	OK
1DL+0,75LL+0,525Ex Min	7060,34	36	6	6	0,64	47686,22	OK
1DL+0,75LL+0,525Ex Max	24312,41	36	6	6	0,64	47686,22	OK
1DL+0,75LL	15348,72	36	6	6	0,64	47686,22	OK
1DL + 1L	6136,23	36	6	6	0,64	47686,22	OK
0,6DL+0,7Ey Min	10431,16	36	6	6	0,64	47686,22	OK
0,6DL+0,7Ey Max	23443,57	36	6	6	0,64	47686,22	OK
0,6DL+0,7Ex Min	8222,87	36	6	6	0,64	47686,22	OK
0,6DL+0,7Ex Max	20661,17	36	6	6	0,64	47686,22	OK

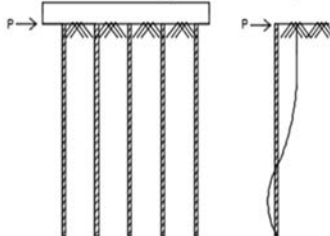
Tabel 9. 18 Kontrol Tiang Pancang Kelompok P4B

Load Combination	$\Sigma P$ (kN)	Jumlah Tiang	m	n	$\mu$	QL Group (kN)	QL> $\Sigma P$
DL	13932	36	6	6	0,64	47686,22	OK
1DL+0,7Ey Min	4589,32	36	6	6	0,64	47686,22	OK
1DL+0,7Ey Max	23477,65	36	6	6	0,64	47686,22	OK
1DL+0,7Ex Min	1849,153	36	6	6	0,64	47686,22	OK
1DL+0,7Ex Max	26217,81	36	6	6	0,64	47686,22	OK
1DL+0,75LL+0,525Ey Min	8689,959	36	6	6	0,64	47686,22	OK
1DL+0,75LL+0,525Ey Max	22856,2	36	6	6	0,64	47686,22	OK
1DL+0,75LL+0,525Ex Min	6634,834	36	6	6	0,64	47686,22	OK
1DL+0,75LL+0,525Ex Max	24911,33	36	6	6	0,64	47686,22	OK
1DL+0,75LL	15773,08	36	6	6	0,64	47686,22	OK
1DL + 1L	6205,041	36	6	6	0,64	47686,22	OK
0,6DL+0,7Ey Min	-438,223	36	6	6	0,64	47686,22	OK
0,6DL+0,7Ey Max	18450,1	36	6	6	0,64	47686,22	OK
0,6DL+0,7Ex Min	-3178,39	36	6	6	0,64	47686,22	OK
0,6DL+0,7Ex Max	21190,27	36	6	6	0,64	47686,22	OK

Tabel 9. 19 Kontrol Tiang Pancang Kelompok P5

Load Combination	$\Sigma P$ (kN)	Jumlah Tiang	m	n	$\mu$	QL Group (kN)	QL> $\Sigma P$
DL	27766,83	54	6	9	0,63	70779,85	OK
1DL+0,7Ey Min	3010,18	54	6	9	0,63	70779,85	OK
1DL+0,7Ey Max	51444,20	54	6	9	0,63	70779,85	OK
1DL+0,7Ex Min	9301,40	54	6	9	0,63	70779,85	OK
1DL+0,7Ex Max	59361,90	54	6	9	0,63	70779,85	OK
1DL+0,75LL+0,525Ey Min	13229,70	54	6	9	0,63	70779,85	OK
1DL+0,75LL+0,525Ey Max	49555,21	54	6	9	0,63	70779,85	OK
1DL+0,75LL+0,525Ex Min	7291,42	54	6	9	0,63	70779,85	OK
1DL+0,75LL+0,525Ex Max	55493,49	54	6	9	0,63	70779,85	OK
1DL+0,75LL	31392,46	54	6	9	0,63	70779,85	OK
1DL + 1L	12764,68	54	6	9	0,63	70779,85	OK
0,6DL+0,7Ey Min	11395,79	54	6	9	0,63	70779,85	OK
0,6DL+0,7Ey Max	41432,10	54	6	9	0,63	70779,85	OK
0,6DL+0,7Ex Min	19313,50	54	6	9	0,63	70779,85	OK
0,6DL+0,7Ex Max	49349,80	54	6	9	0,63	70779,85	OK

### 9.1.5 Kontrol Kekuatan Tiang Terhadap Gaya Lateral



Gambar 9. 8 Gaya Lateral Tiang Pancang

Gaya lateral yang bekerja pada tiang (Gambar 9.10) dapat menyebabkan terjadinya defleksi dan momen. Oleh karena itu harus dilakukan kontrol terhadap defleksi yang terjadi pada tiang. Kontrol defleksi tiang :

$$\delta = Fd \left( \frac{PT^3}{EI} \right) \leq 2.5 \text{ cm}$$

Keterangan:

$\delta$  = defleksi yang terjadi

$Fd$  = koefisien defleksi

P = Gaya lateral 1 tiang

T = *Relative stiffness Factor*

Dalam perhitungan kontrol kekuatan tiang pancang terhadap gaya lateral ini, beban geser pada pondasi dikalikan dengan faktor = 2 (untuk  $R > 5$ ).

Contoh perhitungan pada P1:

Jumlah tiang = 4

Mutu Beton = 52 MPa

$H_{max} = 95,98 \text{ kN} / 9,81 \times 2 = 19,56 \text{ t}$

$H_{max} 1 \text{ tiang} = 19,56 \text{ t} / 4 = 4,89 \text{ t}$

o  $T = \left( \frac{EI}{f} \right)^{\frac{1}{5}}$

$f = 0,352 \text{ kg/cm}^3$

$E = 338921,8 \text{ kg/cm}^2$

$I = 510508 \text{ cm}^4$

$$Fd = 0,94 \text{ (deflection coefficient)}$$

- $T = \left(\frac{EI}{f}\right)^{\frac{1}{5}} = \left(\frac{510508 \times 338921,8}{0,352}\right)^{\frac{1}{5}} = 218 \text{ cm}$
- $\delta = Fd \left(\frac{PT^3}{EI}\right) \leq 2.5 \text{ cm}$
- $\delta = 0,94 \left(\frac{4,89 \times 1000 \times 218^3}{338921,8 \times 510508}\right) \leq 2.5 \text{ cm}$
- $\delta = 0,28 \text{ cm} \leq 2.5 \text{ cm ....(OK)}$

Kontrol Momen:

$$M_{\text{crack}} = 29 \text{ tm (tabel spesifikasi tiang pancang)}$$

$$L/T = 22m / 2,18m = 10$$

Berdasarkan grafik *Influence Value for Laterally Loaded Pile*  
maka didapatkan  $F_m = 0,88$

$$M = F_m(PT) \leq M_{\text{banding crack}}$$

$$M = 0,88 \times (4,89 \times 2,18) \leq 29 \text{ tm}$$

$$M = 9,38 \text{ tm} \leq 29 \text{ tm (OK)}$$

Berikut merupakan rekapitulasi perhitungan kontrol gaya lateral pada semua tipe pondasi:

Tabel 9. 20 Rekapitulasi Kontrol Gaya Lateral pada P1

Kombinasi	n Tiang	Hmax/ tiang (ton)	$\delta$ (cm)	$\delta < 2.5$ cm	$M_{\text{max}}$ (tm)	$M_{\text{crack}}$ (tm)	$M_{\text{cr}} >$ $M_{\text{max}}$
DL	4	1,55	0,09	OK	2,98	29	OK
1DL+0,7Ey Min	4	4,89	0,28	OK	9,38	29	OK
1DL+0,7Ey Max	4	1,88	0,11	OK	3,61	29	OK
1DL+0,7Ex Min	4	3,79	0,21	OK	7,26	29	OK
1DL+0,7Ex Max	4	2,35	0,13	OK	4,51	29	OK
1DL+0,75LL+0,525Ey Min	4	4,49	0,25	OK	8,60	29	OK
1DL+0,75LL+0,525Ey Max	4	0,60	0,03	OK	1,14	29	OK
1DL+0,75LL+0,525Ex Min	4	3,16	0,18	OK	6,06	29	OK
1DL+0,75LL+0,525Ex Max	4	1,45	0,08	OK	2,78	29	OK
1DL+0,75LL	4	1,95	0,11	OK	3,73	29	OK
1DL + 1L	4	1,13	0,06	OK	2,17	29	OK
0,6DL+0,7Ey Min	4	4,29	0,24	OK	8,23	29	OK
0,6DL+0,7Ey Max	4	2,49	0,14	OK	4,77	29	OK
0,6DL+0,7Ex Min	4	3,50	0,20	OK	6,71	29	OK
0,6DL+0,7Ex Max	4	2,64	0,15	OK	5,06	29	OK

Tabel 9. 21 Rekapitulasi Kontrol Gaya Lateral pada P2

Kombinasi	n Tiang	Hmax/ tiang (ton)	$\delta$ (cm)	$\delta < 2.5$ cm	$M_{max}$ (tm)	$M_{crack}$ (tm)	$M_{cr} >$ $M_{max}$
DL	6	0,15	0,01	OK	0,29	29	OK
1DL+0,7Ey Min	6	2,93	0,16	OK	5,62	29	OK
1DL+0,7Ey Max	6	2,89	0,16	OK	5,54	29	OK
1DL+0,7Ex Min	6	2,22	0,13	OK	4,27	29	OK
1DL+0,7Ex Max	6	2,19	0,12	OK	4,20	29	OK
1DL+0,75LL+0,525Ey Min	6	2,08	0,12	OK	4,00	29	OK
1DL+0,75LL+0,525Ey Max	6	2,28	0,13	OK	4,37	29	OK
1DL+0,75LL+0,525Ex Min	6	1,67	0,09	OK	3,21	29	OK
1DL+0,75LL+0,525Ex Max	6	1,64	0,09	OK	3,14	29	OK
1DL+0,75LL	6	0,10	0,01	OK	0,19	29	OK
1DL + 1L	6	0,15	0,01	OK	0,28	29	OK
0,6DL+0,7Ey Min	6	2,92	0,16	OK	5,60	29	OK
0,6DL+0,7Ey Max	6	2,90	0,16	OK	5,55	29	OK
0,6DL+0,7Ex Min	6	2,22	0,12	OK	4,25	29	OK
0,6DL+0,7Ex Max	6	2,20	0,12	OK	4,21	29	OK

Tabel 9. 22 Rekapitulasi Kontrol Gaya Lateral pada P3

Kombinasi	n Tiang	Hmax/ tiang (ton)	$\delta$ (cm)	$\delta < 2.5$ cm	$M_{max}$ (tm)	$M_{crack}$ (tm)	$M_{cr} > M_{max}$
DL	9	0,61	0,03	OK	1,17	29	OK
1DL+0,7Ey Min	9	2,73	0,15	OK	5,24	29	OK
1DL+0,7Ey Max	9	1,47	0,08	OK	2,83	29	OK
1DL+0,7Ex Min	9	1,69	0,10	OK	3,24	29	OK
1DL+0,7Ex Max	9	1,80	0,10	OK	3,44	29	OK
1DL+0,75LL+0,525Ey Min	9	2,30	0,13	OK	4,41	29	OK
1DL+0,75LL+0,525Ey Max	9	0,85	0,05	OK	1,64	29	OK
1DL+0,75LL+0,525Ex Min	9	1,52	0,09	OK	2,92	29	OK
1DL+0,75LL+0,525Ex Max	9	1,40	0,08	OK	2,68	29	OK
1DL+0,75LL	9	0,72	0,04	OK	1,39	29	OK
1DL + 1L	9	0,27	0,02	OK	0,52	29	OK
0,6DL+0,7Ey Min	9	2,48	0,14	OK	4,76	29	OK
0,6DL+0,7Ey Max	9	1,73	0,10	OK	3,31	29	OK
0,6DL+0,7Ex Min	9	1,65	0,09	OK	3,17	29	OK
0,6DL+0,7Ex Max	9	1,76	0,10	OK	3,37	29	OK

Tabel 9. 23 Rekapitulasi Kontrol Gaya Lateral pada P4A

Kombinasi	n Tiang	Hmax/ tiang (ton)	$\delta$ (cm)	$\delta < 2.5$ cm	$M_{max}$ (tm)	$M_{crack}$ (tm)	$M_{cr} >$ $M_{max}$
DL	36	0,31	0,02	OK	0,58	29	OK
1DL+0,7Ey Min	36	15,06	0,85	OK	28,31	29	OK
1DL+0,7Ey Max	36	14,62	0,82	OK	27,47	29	OK
1DL+0,7Ex Min	36	9,35	0,53	OK	17,57	29	OK
1DL+0,7Ex Max	36	8,90	0,50	OK	16,73	29	OK
1DL+0,75LL+0,525Ey Min	36	11,37	0,64	OK	21,36	29	OK
1DL+0,75LL+0,525Ey Max	36	10,89	0,61	OK	20,48	29	OK
1DL+0,75LL+0,525Ex Min	36	7,08	0,40	OK	13,31	29	OK
1DL+0,75LL+0,525Ex Max	36	6,61	0,37	OK	12,42	29	OK
1DL+0,75LL	36	0,33	0,02	OK	0,63	29	OK
1DL + 1L	36	0,19	0,01	OK	0,36	29	OK
0,6DL+0,7Ey Min	36	14,97	0,84	OK	28,14	29	OK
0,6DL+0,7Ey Max	36	14,71	0,83	OK	27,64	29	OK
0,6DL+0,7Ex Min	36	9,26	0,52	OK	17,40	29	OK
0,6DL+0,7Ex Max	36	8,99	0,51	OK	16,90	29	OK

Tabel 9. 24 Rekapitulasi Kontrol Gaya Lateral pada P4B

Kombinasi	n Tiang	Hmax/ tiang (ton)	$\delta$ (cm)	$\delta < 2.5$ cm	$M_{max}$ (tm)	$M_{crack}$ (tm)	$M_{cr} >$ $M_{max}$
DL	36	0,315	0,02	OK	0,60	29	OK
1DL+0,7Ey Min	36	8,928	0,50	OK	17,12	29	OK
1DL+0,7Ey Max	36	8,493	0,48	OK	16,29	29	OK
1DL+0,7Ex Min	36	9,857	0,55	OK	18,90	29	OK
1DL+0,7Ex Max	36	9,423	0,53	OK	18,07	29	OK
1DL+0,75LL+0,525Ey Min	36	6,758	0,38	OK	12,96	29	OK
1DL+0,75LL+0,525Ey Max	36	6,308	0,35	OK	12,10	29	OK
1DL+0,75LL+0,525Ex Min	36	7,455	0,42	OK	14,30	29	OK
1DL+0,75LL+0,525Ex Max	36	7,005	0,39	OK	13,43	29	OK
1DL+0,75LL	36	0,340	0,02	OK	0,65	29	OK
1DL + 1L	36	0,195	0,01	OK	0,37	29	OK
0,6DL+0,7Ey Min	36	8,841	0,50	OK	16,95	29	OK
0,6DL+0,7Ey Max	36	8,580	0,48	OK	16,46	29	OK
0,6DL+0,7Ex Min	36	9,770	0,55	OK	18,74	29	OK
0,6DL+0,7Ex Max	36	9,510	0,53	OK	18,24	29	OK

Tabel 9. 25 Rekapitulasi Kontrol Gaya Lateral pada P5

Kombinasi	n Tiang	Hmax/ tiang (ton)	$\delta$ (cm)	$\delta < 2,5$ cm	$M_{max}$ (tm)	$M_{crack}$ (tm)	$M_{cr} >$ $M_{max}$
DL	54	0,04	0,00	OK	0,09	29	OK
1DL+0,7Ey Min	54	12,27	0,69	OK	23,52	29	OK
1DL+0,7Ey Max	54	12,56	0,71	OK	24,09	29	OK
1DL+0,7Ex Min	54	14,67	0,82	OK	28,13	29	OK
1DL+0,7Ex Max	54	14,86	0,84	OK	28,50	29	OK
1DL+0,75LL+0,525Ey Min	54	9,17	0,52	OK	17,58	29	OK
1DL+0,75LL+0,525Ey Max	54	9,45	0,53	OK	18,13	29	OK
1DL+0,75LL+0,525Ex Min	54	11,00	0,62	OK	21,09	29	OK
1DL+0,75LL+0,525Ex Max	54	11,18	0,63	OK	21,44	29	OK
1DL+0,75LL	54	0,14	0,01	OK	0,28	29	OK
1DL + 1L	54	0,09	0,01	OK	0,17	29	OK
0,6DL+0,7Ey Min	54	12,33	0,69	OK	23,64	29	OK
0,6DL+0,7Ey Max	54	12,50	0,70	OK	23,98	29	OK
0,6DL+0,7Ex Min	54	14,67	0,82	OK	28,13	29	OK
0,6DL+0,7Ex Max	54	14,80	0,83	OK	28,39	29	OK

### 9.1.6 Perencanaan *Pile Cap*

#### Pondasi Tipe 3 (P3)

Dalam perencanaan *Pile Cap* digunakan metode tegangan ultimate sesuai SNI 1726:2019 pasal 4.2.2. *Pile Cap* direncanakan terhadap gaya geser ponds pada penampang kritis dan penulangan akibat momen lentur. Data-data perencanaan *Pile Cap* adalah sebagai berikut:

- $P_u$  kolom = 9966,58 kN
- N Tiang = 9 buah
- Dimensi *Pile Cap* =  $3,6 \times 3,6 \times 1,2$  m
- Mutu beton ( $f_c'$ ) = 45 MPa
- Mutu baja ( $f_y$ ) = 420 MPa
- Diameter tulangan = 25 mm
- Selimut beton = 75 mm
- $\lambda$  = 1 (beton normal)
- Tinggi efektif ( $d$ )  

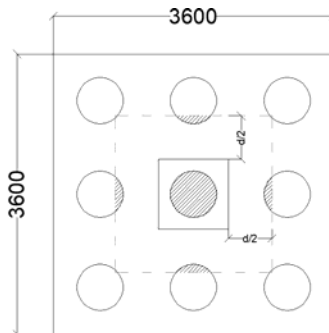
$$d_x = 1200 - 75 - \frac{1}{2} 25 = 1112,5 \text{ mm}$$

$$d_y = 1200 - 75 - 25 - \frac{1}{2}(25) = 1087,5 \text{ mm}$$

1) Kontrol Geser Ponds

a. Akibat kolom

*Pile Cap* harus mampu menyebarkan beban dari kolom ke pondasi, sehingga perlu dilakukan kontrol kekuatan geser pons untuk memastikan bahwa kekuatan geser nominal beton harus lebih besar dari geser pons yang terjadi.



Gambar 9. 9 Daerah Kritis Geser Ponds Dua Arah

$$\begin{aligned}
 \text{Pu } punch &= \text{Pu kolom} + \text{Wu } Pile \ Cap - \text{Pu pile daerah kritis} \\
 &= 9966,58 + 140,746 - (0,12 \times (1223,9 + 1082,73 \\
 &\quad + 1213 + 1072,9) + 1148) \\
 &= 8404,73 \text{ kN}
 \end{aligned}$$

Untuk pondasi tapak non-prategang ( $V_c$ ) ditentukan berdasarkan nilai yang terkecil dari persamaan berikut:

$$V_{c1} = 0,17 \times \left(1 + \frac{2}{\beta}\right) \lambda \sqrt{f'c} \times b_o \times d$$

$$V_{c2} = 0,083 \times \left(\frac{\alpha_s d}{b_o} + 2\right) \lambda \sqrt{f'c} \times b_o \times d$$

$$V_{c3} = 0,333 \lambda \sqrt{f'c} \times b_o \times d$$

Keterangan:

$\alpha_s$  = 40 untuk kolom interior

$\beta$  = rasio sisi terpanjang terhadap sisi terpendek = 1

$b_o$  = Keliling penampang kritis

=  $2(b_{kolom} + d) + 2(h_{kolom} + d)$

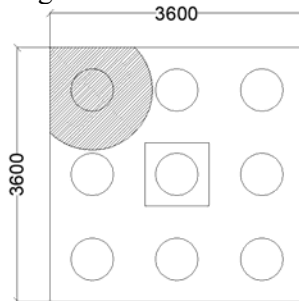
$$\begin{aligned}
 &= 2(900 + 1112,5) + 2(900 + 1112,5) \\
 &= 8050 \text{ mm} \\
 V_{c1} &= 0,17 \left(1 + \frac{2}{\beta}\right) \lambda \sqrt{f'c} b_o d \\
 &= 0,17 \times (1 + \frac{2}{1}) \times 1 \times \sqrt{45} \times 8050 \times 1112,5 \\
 &= 30638841,01 \text{ N} \\
 V_{c2} &= 0,083 \times \left(\frac{\alpha_s d}{b_o} + 2\right) \lambda \sqrt{f'c} \times b_o \times d \\
 &= 0,083 \times (\frac{40 \times 1112,5}{8050} + 2) \cdot 1 \cdot \sqrt{45} \cdot 8050 \cdot 1112,5 \\
 &= 37536778,11 \text{ N} \\
 V_{c3} &= 0,333 \lambda \sqrt{f'c} \times b_o \times d \\
 &= 0,333 \times 1 \times \sqrt{45} \times 8050 \times 1112,5 \\
 &= 20005360,89 \text{ N} \text{ (menentukan)}
 \end{aligned}$$

Dari ketiga nilai  $V_c$  diatas diambil nilai terkecil, maka kapasitas penampang *Pile Cap* dalam memikul gaya geser adalah sebagai berikut:

$$\begin{aligned}
 \emptyset V_n &= 0,75 \times 20005360,89 \text{ N} \\
 &= 15004020,67 \text{ N} \\
 &= 15004 \text{ kN} > P_u \text{ punch} = 8404,73 \text{ kN} \text{ (OK)}
 \end{aligned}$$

Dari kontrol tersebut dapat disimpulkan ketebalan dan ukuran *Pile Cap* memenuhi syarat terhadap geser ponds akibat kolom.

#### b. Akibat pancang



Gambar 9. 10 Area Kritis Geser Akibat 1 Tiang Pancang

$$\begin{aligned}\beta &= \text{rasio sisi terpanjang terhadap sisi terpendek} \\ &= \frac{90}{90} = 1 \\ b_o &= \text{Keliling penampang kritis} \\ &= 2674 \text{ mm}^2\end{aligned}$$

Sama seperti perhitungan geser akibat geser ponds, perencanaan geser pons pada *Pile Cap* akibat pancang juga dilakukan berdasarkan ketentuan SNI 2847-2019:

$$\begin{aligned}V_{c1} &= 0,17 \left(1 + \frac{2}{\beta}\right) \lambda \sqrt{f'c} b_o d \\ &= 0,17 \times \left(1 + \frac{2}{1}\right) \times 1 \times \sqrt{45} \times 2674 \times 1112,5 \\ &= 59867198,29 \text{ N} \\ V_{c2} &= 0,083 \times \left(\frac{\alpha_s d}{b_o} + 2\right) \lambda \sqrt{f'c} \times b_o \times d \\ &= 0,083 \times \left(\frac{40 \times 1112,5}{2674} + 2\right) \cdot 1 \cdot \sqrt{45} \cdot 2674 \cdot 1112,5 \\ &= 30876787,38 \text{ N} \\ V_{c3} &= 0,333 \lambda \sqrt{f'c} \times b_o \times d \\ &= 0,333 \times 1 \times \sqrt{45} \times 2674 \times 1112,5 \\ &= 6645259,01 \text{ N (menentukan)}\end{aligned}$$

Dari ketiga nilai  $V_c$  diatas diambil nilai terkecil, maka kapasitas penampang *Pile Cap* dalam memikul gaya geser adalah sebagai berikut.

$$\begin{aligned}\emptyset V_n &= 0,75 \times 6645259,01 \text{ N} \\ &= 4983944,258 \text{ N} \\ &= 4983,94 \text{ kN} > P_{max} = 1289,25 \text{ kN (OK)}\end{aligned}$$

Dari kontrol tersebut dapat disimpulkan ketebalan dan ukuran *Pile Cap* memenuhi syarat terhadap geser ponds akibat pancang.

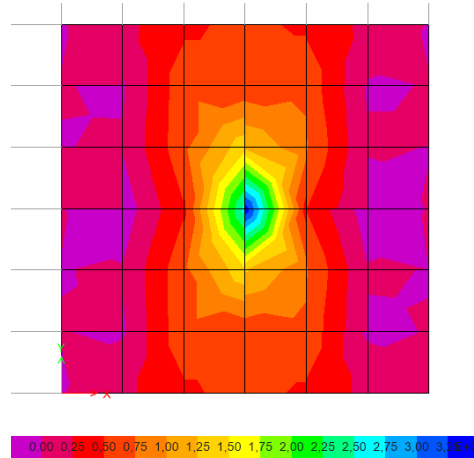
Tabel 9. 26 Rekapitulasi Kontrol Geser Ponds

Jenis	Akibat Kolom			Akibat Pancang		
	Pu Punch (kN)	$\bar{\sigma}Vc$ (kN)	$\bar{\sigma}Vc > Pu$ Punch	Pmax (kN)	$\bar{\sigma}Vc$ (kN)	$\bar{\sigma}Vc > P$ max
P1	294,64	15004,02	OK	2093,90	4983,94	OK
P2	4699,66	15004,02	OK	1370,00	4983,94	OK
P3	8404,73	15004,02	OK	1289,25	4983,94	OK
P4A	30789,30	48916,74	OK	1317,47	4983,94	OK
P4B	27364,63	48916,74	OK	1167,93	4983,94	OK
P5	60392,74	67129,51	OK	1858,47	4983,94	OK

## 2) Penulangan *Pile Cap*

Untuk penulangan lentur, momen di dapat dari permodelan tiga dimensi pada ETABS dengan menginput P masing-masing tiang pancang.

### a. Penulangan *Pile Cap* Arah Sumbu X



dalam satuan kNm

Gambar 9. 11 Momen P3 dari ETABS (M11)

Didapat momen M11 (arah x) dari ETABS:

$$\begin{aligned}M_{\max} &= 3470,25 \text{ kN.m} \\&= 3470250000 \text{ N.mm} \\M_{\min} &= 174 \text{ kN.m} \\&= 174000000 \text{ N.mm}\end{aligned}$$

### Penulangan bawah

$$\rho_{\min} = \frac{0,25 \times \sqrt{f_c'}}{f_y} = \frac{0,25 \times \sqrt{45}}{420} = 0,0039$$

$$\rho_{\min} = \frac{1,4}{f_y} = \frac{1,4}{420} = 0,0033$$

Maka,  $\rho_{\min} = 0,0039$

$\rho_{\max} = 0,025$  (SNI 2847:2019)

$$R_n = \frac{M_{\max}}{\phi \times b \times dx^2} = \frac{3470250000}{0,9 \times 2400 \times 1112,5} = 0,86$$

$$m = \frac{f_y}{0,85 \times f_c'} = \frac{420}{0,85 \times 45} = 10,98$$

$$\begin{aligned}\rho &= \frac{1}{m} \left( 1 - \sqrt{1 - \frac{2 \times m \times R_n}{f_y}} \right) \\&= \frac{1}{10,98} \left( 1 - \sqrt{1 - \frac{2 \times 10,98 \times 0,86}{420}} \right) \\&= 0,00208 < \rho_{\min} = 0,0039\end{aligned}$$

$$A_{\text{Spesial}} = \rho b d = 0,0039 \times 1.000 \times 1112,5 = 4442,18 \text{ mm}^2$$

$$s = \frac{0,25 \times \pi \times \emptyset^2 \times 1000}{A_{\text{Spesial}}} = \frac{0,25 \times \pi \times 25^2 \times 1000}{4442,18} = 110,5 \text{ mm}$$

Sehingga digunakan tulangan lentur bawah arah x **D25-100 mm**

### Penulangan atas

$$R_n = \frac{M_{\min}}{\phi \times b \times dx^2} = \frac{174000000}{0,9 \times 2400 \times 1112,5} = 0,044$$

$$m = \frac{f_y}{0,85 \times f_c'} = \frac{420}{0,85 \times 45} = 10,98$$

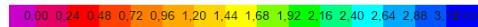
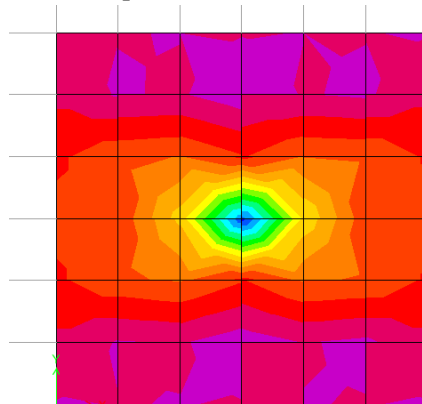
$$\begin{aligned}\rho &= \frac{1}{m} \left( 1 - \sqrt{1 - \frac{2 \times m \times Rn}{f_y}} \right) \\ &= \frac{1}{10,98} \left( 1 - \sqrt{1 - \frac{2 \times 10,98 \times 0,044}{420}} \right) \\ &= 0,0001 < \rho_{\min} = 0,0039\end{aligned}$$

$$A_{\text{Sperlu}} = \rho bd = 0,0039 \times 1.000 \times 1112,5 = 4442,18 \text{ mm}^2$$

$$s = \frac{0,25 \times \pi \times \varnothing^2 \times 1000}{A_{\text{Sperlu}}} = \frac{0,25 \times \pi \times 25^2 \times 1000}{4442,18} = 110,5 \text{ mm}$$

Sehingga digunakan tulangan lentur atas arah x **D25-100 mm**

#### b. Penulangan *Pile Cap* Arah Sumbu Y



dalam satuan kNm

Gambar 9. 12 Momen P3 dari ETABS (M22)

Didapat momen M22 (arah y) dari ETABS:

$$\begin{aligned}M_{\max} &= 3240,74 \text{ kN.m} \\ &= 3240740000 \text{ N.mm} \\ M_{\min} &= 171,4 \text{ kN.m} \\ &= 174140000 \text{ N.mm}\end{aligned}$$

Penulangan bawah

$$\rho_{\min} = \frac{0,25 \times \sqrt{f_c'}}{f_y} = \frac{0,25 \times \sqrt{45}}{420} = 0,0039$$

$$\rho_{\min} = \frac{1,4}{f_y} = \frac{1,4}{420} = 0,0033$$

Maka,  $\rho_{\min} = 0,0039$

$\rho_{\max} = 0,025$  (SNI 2847:2019)

$$R_n = \frac{M_{\max}}{\phi \times b \times dx^2} = \frac{3240740000}{0,9 \times 2400 \times 1087,5} = 0,845$$

$$m = \frac{f_y}{0,85 \times f_c'} = \frac{420}{0,85 \times 45} = 10,98$$

$$\begin{aligned} \rho &= \frac{1}{m} \left( 1 - \sqrt{1 - \frac{2 \times m \times R_n}{f_y}} \right) \\ &= \frac{1}{10,98} \left( 1 - \sqrt{1 - \frac{2 \times 10,98 \times 0,845}{420}} \right) \\ &= 0,00204 < \rho_{\min} = 0,0039 \end{aligned}$$

$$A_{\text{Spesial}} = \rho b d = 0,0039 \times 1.000 \times 1087,5 = 4342,36 \text{ mm}^2$$

$$s = \frac{0,25 \times \pi \times \emptyset^2 \times 1000}{A_{\text{Spesial}}} = \frac{0,25 \times \pi \times 25^2 \times 1000}{4342,36} = 113 \text{ mm}$$

Sehingga digunakan tulangan lentur bawah arah y **D25-100 mm**

Penulangan atas

$$R_n = \frac{M_{\min}}{\phi \times b \times dx^2} = \frac{171400000}{0,9 \times 2400 \times 1087,5} = 0,045$$

$$m = \frac{f_y}{0,85 \times f_c'} = \frac{420}{0,85 \times 45} = 10,98$$

$$\begin{aligned} \rho &= \frac{1}{m} \left( 1 - \sqrt{1 - \frac{2 \times m \times R_n}{f_y}} \right) \\ &= \frac{1}{10,98} \left( 1 - \sqrt{1 - \frac{2 \times 10,98 \times 0,045}{420}} \right) \\ &= 0,0001 < \rho_{\min} = 0,0039 \end{aligned}$$

$$A_{\text{Sperlu}} = pbd = 0,0039 \times 1.000 \times 1087,5 = 4342,36 \text{ mm}^2$$

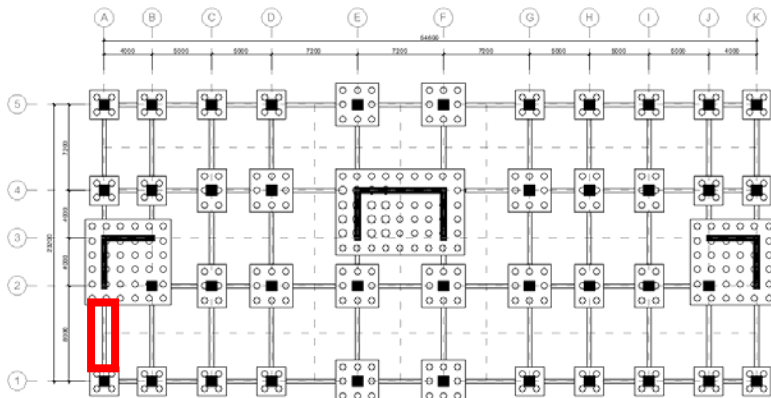
$$s = \frac{0,25 \times \pi \times \varnothing^2 \times 1000}{Asperlu} = \frac{0,25 \times \pi \times 25^2 \times 1000}{4342,36} = 113 \text{ mm}$$

Sehingga digunakan tulangan lentur atas arah x **D25-100 mm**

Tabel 9. 27 Rekapitulasi Penulangan *Pile Cap*

Jenis	Penulangan Arah X		Penulangan Arah Y	
	Bawah	Atas	Bawah	Atas
P1	D25-100	D25-100	D25-100	D25-100
P2	D25-100	D25-100	D25-100	D25-100
P3	D25-100	D25-100	D25-100	D25-100
P4A	D25-100	D25-100	D25-100	D25-100
P4B	D25-100	D25-100	D25-100	D25-100
P5	D25-100	D25-100	D25-100	D25-100

### 9.1.7 Perencanaan *Tie Beam*



Gambar 9. 13 Denah *Tie Beam*

Struktur *Tie Beam* digunakan untuk membuat penurunan secara bersamaan pada pondasi atau sebagai pengaku yang menghubungkan antar pondasi yang satu dengan yang lainnya.

Adapun beban-beban yang ditimpakan ke *Tie Beam* meliputi berat *Tie Beam* sendiri, beban aksial tekan atau tarik yang berasal dari 10% beban aksial kolom. Berikut adalah data perencanaan *Tie Beam*:

o b	= 350 mm
o h	= 500 mm
o Ag	= 120000mm <sup>2</sup>
o f'c	= 45 MPa
o fy	= 420 MPa
o Selimut beton	= 40 mm
o Tul utama	= D19
o Tul. Sengkang	= D10
o d	= 500-(40+10+½ 19) = 440,5 mm

Penulangan *Tie Beam* didasarkan atas kondisi pembebanan dimana beban yang diterima adalah beban aksial dan lentur sehingga penulangannya di idealisasikan seperti penulangan pada kolom. Adapun contoh perhitungan beban pada *tie beam* yang telah ditandai pada Gambar 9.13 adalah sebagai berikut:

- o Berat sendiri *tie beam*

$$\begin{aligned} q &= 1,4 \times 0,35 \text{ m} \times 0,5 \text{ m} \times 2400 \text{ kg/m}^3 \\ &= 588 \text{ kg/m} = 5,88 \text{ kN/m} \end{aligned}$$

- o Berat dinding basemen

$$\begin{aligned} q &= 1,4 \times 3,35 \text{ m} \times 0,3 \text{ m} \times 2400 \text{ kg/m}^3 \\ &= 4032 \text{ kg/m} = 40,32 \text{ kN/m} \end{aligned}$$

- o Beban pelat basemen

$$\begin{aligned} q &= (2169,2 \text{ kg/m}^2 - 4000 \text{ kg/m}^2) \times 2 \text{ m} \times 0,75 \\ &= -2746,2 \text{ kg/m} = -27,46 \text{ kN/m} \end{aligned}$$

$$qu = 5,88 + 40,32 - 27,46 = 18,74 \text{ kN/m}$$

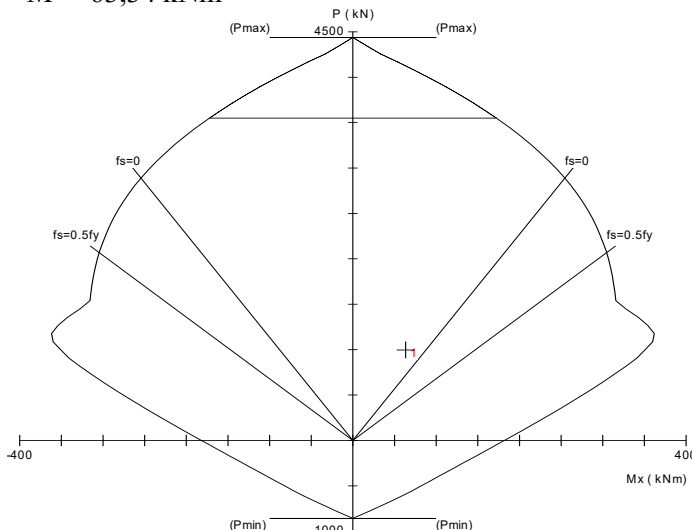
$$L = 5,2 \text{ m}$$

$$\begin{aligned} Mu &= \frac{1}{8} qu \cdot L^2 = \frac{1}{8} \times 18,74 \times 5,2^2 \text{ kNm} \\ &= 63,34 \text{ kNm} \end{aligned}$$

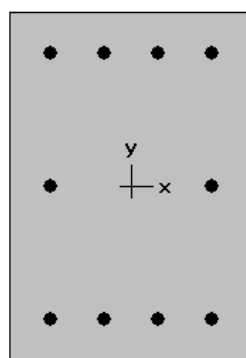
Lalu menggunakan program SPCol dengan memasukkan beban:

$$\begin{aligned}
 P &= 10\% P_u \\
 &= 10\% \times 9966,58 \text{ kN} \\
 &= 996,66 \text{ kN}
 \end{aligned}$$

$$M = 63,34 \text{ kNm}$$



Gambar 9. 14 Diagram Interaksi P-M



350 x 500 mm  
1.62% reinf.

Gambar 9. 15 Penulangan Lentur Tie Beam

### Penulangan Geser Tie Beam

$$V_u = \frac{1}{2} q u \times L = \frac{1}{2} \times 18,74 \times 5,2 = 48,72 \text{ kN}$$

$$d' = 500 - 40 - 10 - 19/2 = 440,5 \text{ mm}$$

$$V_c = \frac{bw \times d \times \sqrt{fc'}}{5,2} = \frac{350 \times 440,5 \times \sqrt{45}}{5,2} = 187517 \text{ N}$$

$$= 187,517 \text{ kN}$$

$$\emptyset V_c = 0,75 \times 160,728 \text{ kN}$$

$$= 140,63 \text{ kN} > V_u = 48,72 \text{ (OK)}$$

Sehingga tulangan geser tidak diperlukan

Jadi dipasang tulangan geser minimum

$$S_{maks} = d/2 \text{ atau } 300 \text{ mm}$$

$$d/2 = 440,5/2$$

$$= 220,25 \text{ mm}$$

$$A_v \text{ min} = \frac{bw \times s}{3f_y} = \frac{350 \times 220,25}{3 \times 420} = 61,18 \text{ mm}^2$$

Dipasang tulangan sengkang **2D10-150 mm** ( $A_v = 157 \text{ mm}^2$ )

### 9.1.8 Perencanaan Tulangan Tusuk Konde pada Tiang Pancang

Dalam perencanaan tulangan tusuk konde, tiang pancang diasumsikan sebagai kolom. Sehingga perhitungan terkait kebutuhan tulangan longitudinal, tulangan transversal, dan panjang penyaluran disesuaikan dengan perhitungan pada perencanaan struktur kolom. Berikut merupakan spesifikasi dan pembebanan pada kolom:

- Diameter kolom =  $600 - 2 \times 100$   
= 400 mm
- Tebal decking ( $d'$ ) = 50 mm
- Mutu tulangan ( $f_y$ ) = 420 Mpa
- Mutu beton ( $f'c$ ) = 52 Mpa

#### 1 Kontrol Dimensi Kolom

Berdasarkan hasil perhitungan ETABS diperoleh beban aksial dan momen dari semua kombinasi beban yang bekerja pada kolom:

- $P_{max}$  : 1689,78 kN

- $V_u$  : 97,2 kN
- $M_u$  : 186,41 kNm

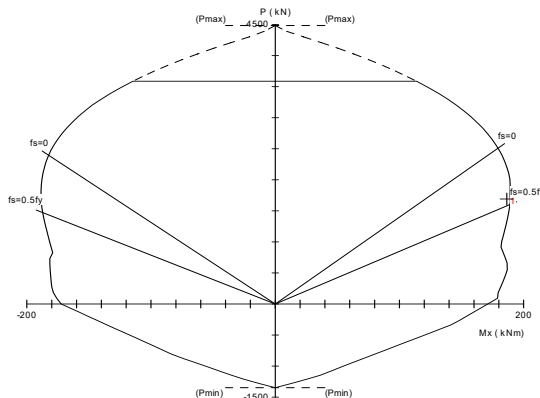
Menurut SNI 2847:2019 jika komponen struktur SRPMK menahan gaya tekan aksial terfaktor akibat sembarang kombinasi ialah sebesar  $\geq Ag \times \frac{f'_c}{10}$ , maka komponen struktur rangka ini harus juga memenuhi kondisi-kondisi sebagai berikut :

- Dimensi penampang terpendek tidak kurang dari 300 mm.  
400 mm > 300 mm
- Rasio dimensi besar dari 0.4  
 $Rasio b/h = 400/400 = 1 > 0.4$

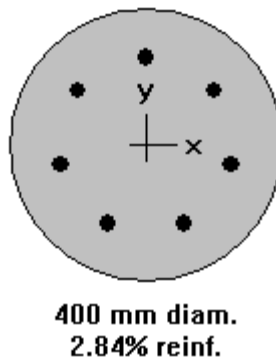
$$\begin{aligned} P_{max} &\geq \pi \times \left(\frac{400}{2}\right)^2 \times \frac{52}{10} \times \frac{1}{1000} \\ 1689,78 \text{ kN} &\geq 1306,903 \text{ kN (OK)} \end{aligned}$$

## 2 Penulangan Longitudinal

Dari beban aksial dan momen yang terjadi, kemudian dilakukan perhitungan penulangan memanjang kolom menggunakan program bantu *spColumn*, didapatkan diagram interaksi antara aksial dan momen pada kolom, yaitu sebagai berikut:



Gambar 9. 16 Diagram Interaksi Tiang Pancang Diameter 400 mm



Gambar 9. 17 Hasil Penulangan Aplikasi *SpColumn*

Berdasarkan perhitungan menggunakan program bantu *spColumn* digunakan tulangan tusuk konde 7D25 dengan nilai momen sebagai berikut:

$$\varnothing M_n = 189,56 \text{ kNm} > M_u = 186,41 \text{ kNm} \quad (\text{OK})$$

### 3 Kontrol rasio tulangan longitudinal

Tulangan memanjang,  $A_{st}$ , tidak boleh kurang dari 0,01 Ag atau lebih dari 0,06 Ag.

- o  $A_{st} = 3436,11 \text{ mm}^2$
- o  $Ag = 125663,7 \text{ mm}^2$

Dari diagram interaksi yang dibuat oleh program *spColumn* diperoleh Tulangan longitudinal: 7D25, dengan rasio tulangan = 2,584 %.

$$0,01Ag < A_{st} < 0,06 Ag \\ 1256,6 \text{ mm}^2 < 3436,11 \text{ mm}^2 < 7539,82 \text{ mm}^2 \quad (\text{OK})$$

### 4 Kontrol kapasitas beban aksial tiang pancang terhadap beban aksial terfaktor

Menurut SNI 2847:2019, kapasitas beban aksial kolom tidak boleh kurang dari beban aksial terfaktor hasil analisa struktur.

$$\varnothing P_n = 0,85 \varnothing (0,85 f'c(Ag - A_{st}) + f_y (A_{st}))$$

Dimana:

$$P_{max} = 1689,78 \text{ kN}$$

$$\Phi = 0,7$$

$$A_g = \frac{1}{2} \times \pi \times \left(\frac{400}{2}\right)^2 = 125663,7 \text{ mm}^2$$

$$A_{st} = 7 \frac{1}{4} \pi 25^2 = 3436,11 \text{ mm}^2$$

Sehingga:

$$\emptyset P_n = 0,85 \times 0,7 (0,85 \times 52 (125663,7 - 3436,11) + 420 (3436,11))$$

$$\emptyset P_n = 4073148,9 \text{ N}$$

$$\emptyset P_n = 4073,15 \text{ kN} > P_u = 1689,78 \text{ kN} (\mathbf{OK})$$

## 5 Kontrol gaya tekan terhadap gaya geser rencana

Gaya geser rencana,  $V_e$ , untuk menentukan kebutuhan tulangan geser kolom menurut SNI 2847:2019:

$$F_s = 1,25 \times F_y = 1,25 \times 420 = 525 \text{ MPa}$$

$$L_n = 5 \times d = 5 \times 400 = 2000 \text{ mm}$$

$$M_{pr} = 516,8 \text{ kNm}$$

$$V_{ex} = \frac{2 \times M_{pr}}{L_n} = \frac{2 \times 516,8}{2} = 516,8 \text{ kN}$$

$$V_{ex} = 516,8 \text{ kN} > V_u = 97,2 \text{ kN} (\mathbf{OK})$$

## 6 Perhitungan tulangan geser

Tulangan sengkang menggunakan diameter 19 mm. Syarat sengkang spiral 25 mm  $\leq s \leq 75$  mm.

$$D_c = 400 - 2 \times 50 - 19 = 281 \text{ mm}$$

$$A_{ch} = \frac{1}{4} \times \pi \times D_c^2 = \frac{1}{4} \times \pi \times 281^2 = 62015,82 \text{ mm}^2$$

$\rho$  harus memenuhi persyaratan di SNI 2847:2019 pasal 21.6.4.4, pasal 10.9.3 dan, diambil nilai yang terbesar dari rumus berikut ini:

$$\rho_s = 0,12 \times \left( \frac{f_{c'}}{f_{yt}} \right)$$

$$= 0,12 \times \left( \frac{52}{420} \right)$$

$$= 0,014$$

$$\rho_s = 0,45 \times \left( \frac{A_g}{A_{ch}} - 1 \right) \times \frac{f_{c'}}{f_{yt}}$$

$$= 0,45 \times \left( \frac{125663,7}{62015,82} - 1 \right) \times \frac{52}{420}$$

$$= 0,057 \text{ (menentukan)}$$

$$\begin{aligned}
 A_s \text{ perlu} &= \rho_s \times A_g \\
 &= 0,057 \times 125663,7 \\
 &= 7185,5 \text{ mm}^2 \\
 s &= \frac{\pi/4 \times d_b^2 \times 1000}{A_s \text{ perlu}} \\
 &= \frac{\pi/4 \times 19^2 \times 1000}{7185,5} \\
 &= 39,46 \text{ mm}
 \end{aligned}$$

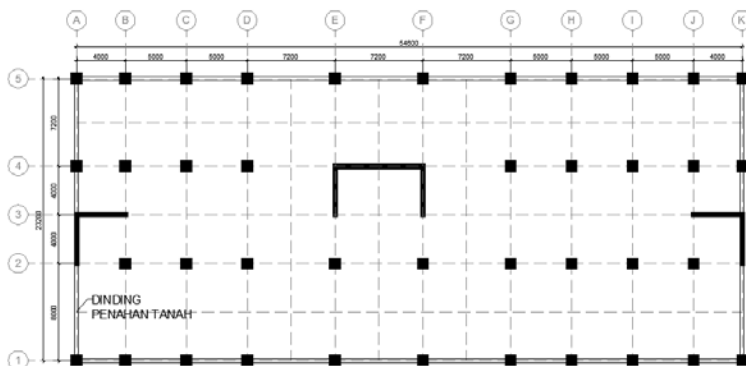
Didapat tulangan sengkang D19 – 30 mm.  
(25 mm < 30 mm < 75 mm) **(OK)**

## 9.2 Perencanaan Basemen

### 9.2.1 Perencanaan Dinding Penahan Tanah

Pada perencanaan ini, direncanakan dengan kondisi muka air tertinggi dengan adanya *surcharge load* beban kendaraan sebesar  $q = 0,8 \text{ t/m}^2$ .

#### 1. Data Perencanaan

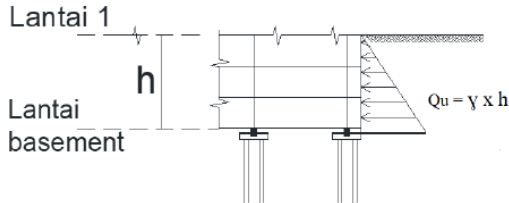


Gambar 9. 18 Denah Dinding Penahan Tanah

- $\gamma_{sat}$  = 1,721 t/m<sup>3</sup>
- $\gamma_{air}$  = 1 t/m<sup>3</sup>
- $\gamma'$  = 1,721 – 1 = 0,721 t/m<sup>3</sup>
- $\theta$  = 0
- $c'$  = 0,3 t/m<sup>2</sup>

- Dimensi = 8 m x 3,35 m (terbesar)
- Tebal dinding = 0,3 m

## 2. Tekanan Aktif Tanah



Gambar 9. 19 Diagram Tegangan pada Dinding Penahan Tanah

$$\begin{aligned}\sigma v'^{-}(-0,65) &= q + \gamma' \times h = 0,8 + 0,721 \times 0,65 \\ &= 1,27 \text{ t/m}'\end{aligned}$$

$$\begin{aligned}\sigma v'^{(-4)} &= \sigma v 1 + \gamma' \times h \\ &= 1,27 + 0,721 \times (4 - 0,65) \\ &= 3,684 \text{ t/m}'\end{aligned}$$

$$Ka = \tan^2\left(45 - \frac{\theta}{2}\right) = \tan^2\left(45 - \frac{0}{2}\right) = 1$$

$$\sigma h'^{-}(-0,65) = (\sigma v' \times Ka) - (2 \times c' \times \sqrt{Ka})$$

$$\sigma h'^{(-0,65)} = 1,27 - (2 \times 0,3 \times \sqrt{1}) = 0,67 \text{ t/m}'$$

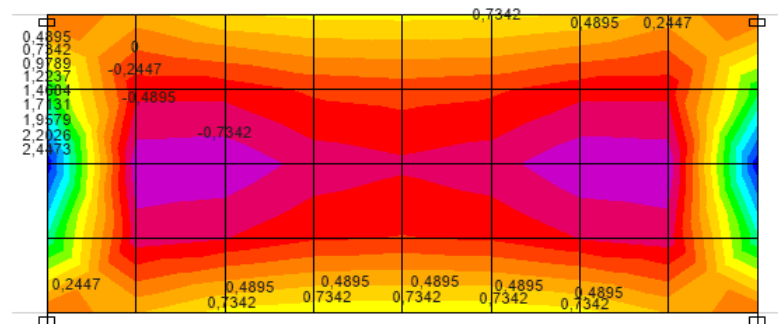
$$\begin{aligned}\sigma h \text{ total } (-0,65) &= \sigma h' + \gamma air \times h \\ &= 0,67 + 1 \times 0,65 \\ &= 1,32 \text{ t/m}'\end{aligned}$$

$$\sigma h'^{(-4)} = (\sigma v' \times Ka) - (2 \times c' \times \sqrt{Ka})$$

$$\sigma h'^{(-4)} = (3,684 \times 1) - (2 \times 0,3 \times \sqrt{1}) = 3,084 \text{ t/m}'$$

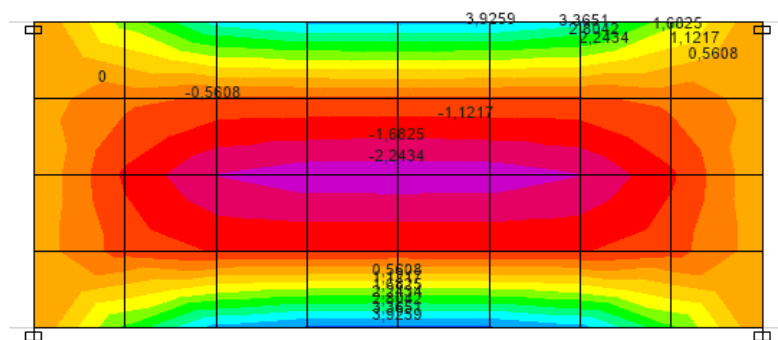
$$\begin{aligned}\sigma h \text{ total } (-4) &= \sigma h' + \gamma air \times h \\ &= 3,084 + 1 \times 4 \\ &= 7,084 \text{ t/m}'\end{aligned}$$

Untuk momen yang didapat menggunakan bantuan dari aplikasi ETABS seperti pada gambar di bawah ini.



dalam satuan ton-m

Gambar 9. 20 Momen  $M_{11}$  akibat Tekanan Horizontal Tanah



dalam satuan ton-m

Gambar 9. 21 Momen  $M_{22}$  akibat Tekanan Horizontal Tanah

### Arah X (M11)

$$\begin{aligned} M_{\max} &= 4,483 \text{ tm} \\ &= 43,978 \text{ kNm} \end{aligned}$$

$$\begin{aligned} M_{\min} &= 1,56 \text{ tm} \\ &= 15,3 \text{ kNm} \end{aligned}$$

### Arah Y (M22)

$$\begin{aligned} M_{\max} &= 7,68 \text{ tm} \\ &= 75,34 \text{ kNm} \end{aligned}$$

$$\begin{aligned}M_{min} &= 4,159 \text{ tm} \\&= 40,79 \text{ kNm}\end{aligned}$$

### 3. Penulangan Dinding Penahan Tanah

- o Mutu Beton : 40 MPa
- o Mutu Baja : 420 MPa
- o D Tulangan : D16
- o Tebal selimut : 40 mm
- o  $dx$  :  $300 - 40 - \frac{1}{2} 16 = 252 \text{ mm}$
- o  $dy$  :  $300 - 40 - 16 - \frac{1}{2} 16 = 236 \text{ mm}$

Berikut perhitungan kebutuhan tulangan berdasarkan momen yang terjadi pada dinding penahan tanah.

#### a. Penulangan lentur positif Arah X (M11)

$$Mu = 43,978 \text{ kNm} = 43978000 \text{ Nmm}$$

$$\rho_{min} = 0,00376 \text{ (menentukan)}$$

$$\rho_{min} = 0,0033$$

$$\rho_{max} = 0,025$$

$$R_n = \frac{Mu}{0,9 \times b \times d^2}$$

$$\begin{aligned}&= \frac{43978000}{0,9 \times 1000 \times 252^2} \\&= 0,769\end{aligned}$$

$$\begin{aligned}\rho &= \frac{1}{12,35} \left( 1 - \sqrt{1 - \frac{2 \times 12,35 \times 0,769}{420}} \right) \\&= 0,0019 < \rho_{min} = 0,00376\end{aligned}$$

Maka, diambil  $\rho = 0,00376$

$$As_{perlu} = \rho bd = 0,00376 \times 1.000 \times 252 = 948,68 \text{ mm}^2$$

$$\begin{aligned}S &= \frac{0,25 \times \pi \times \emptyset^2 \times 1000}{As_{perlu}} \\&= \frac{0,25 \times \pi \times 16^2 \times 1000}{948,68} \\&= 211,94 \text{ mm}\end{aligned}$$

Sehingga digunakan tulangan lentur positif **D16-200 mm.**

b. Penulangan lentur negative Arah X (M11)

$$\text{Mu} = 15,3 \text{ kNm} = 15300000 \text{ Nmm}$$

$$R_n = \frac{\text{Mu}}{0,9 \times b \times d^2}$$

$$= \frac{15300000}{0,9 \times 1000 \times 252^2} \\ = 0,3$$

$$\rho = \frac{1}{12,35} \left( 1 - \sqrt{1 - \frac{2 \times 12,35 \times 0,3}{420}} \right) \\ = 0,0007 < \rho_{\min} = 0,00376$$

Maka, diambil  $\rho = 0,00376$

$$A_{\text{perlu}} = \rho b d = 0,00376 \times 1.000 \times 252 = 948,68 \text{ mm}^2$$

$$S = \frac{0,25 \times \pi \times \phi^2 \times 1000}{A_{\text{perlu}}} \\ = \frac{0,25 \times \pi \times 16^2 \times 1000}{948,68} \\ = 211,94 \text{ mm}$$

Sehingga digunakan tulangan lentur negatif **D16-200 mm.**

c. Penulangan lentur positif Arah Y (M22)

$$\text{Mu} = 75,34 \text{ kNm} = 75340000 \text{ Nmm}$$

$$\rho_{\min} = 0,00376 \text{ (menentukan)}$$

$$\rho_{\min} = 0,0033$$

$$\rho_{\max} = 0,025$$

$$R_n = \frac{\text{Mu}}{0,9 \times b \times d^2}$$

$$= \frac{75340000}{0,9 \times 1000 \times 236^2} \\ = 1,5$$

$$\rho = \frac{1}{12,35} \left( 1 - \sqrt{1 - \frac{2 \times 12,35 \times 1,5}{420}} \right) \\ = 0,0037 < \rho_{\min} = 0,00376$$

Maka, diambil  $\rho = 0,00376$

$$A_{\text{perlu}} = \rho b d = 0,00376 \times 1,000 \times 236 = 888,45 \text{ mm}^2$$

$$\begin{aligned} S &= \frac{0,25 \times \pi \times \emptyset^2 \times 1000}{Asperlu} \\ &= \frac{0,25 \times \pi \times 16^2 \times 1000}{888,45} \\ &= 226,31 \text{ mm} \end{aligned}$$

Sehingga digunakan tulangan lentur positif **D16-200 mm.**

- d. Penulangan lentur negative Arah Y (M22)

$$Mu = 40,79 \text{ kNm} = 40790000 \text{ Nmm}$$

$$R_n = \frac{Mu}{0,9 \times b \times d^2}$$

$$= \frac{40790000}{0,9 \times 1000 \times 236^2} \\ = 0,81$$

$$\rho = \frac{1}{12,35} \left( 1 - \sqrt{1 - \frac{2 \times 12,35 \times 0,81}{420}} \right) \\ = 0,002 < \rho_{\min} = 0,00376$$

Maka, diambil  $\rho = 0,00376$

$$A_{\text{perlu}} = \rho b d = 0,00376 \times 1,000 \times 236 = 888,45 \text{ mm}^2$$

$$\begin{aligned} S &= \frac{0,25 \times \pi \times \emptyset^2 \times 1000}{Asperlu} \\ &= \frac{0,25 \times \pi \times 16^2 \times 1000}{888,45} \\ &= 226,31 \text{ mm} \end{aligned}$$

Sehingga digunakan tulangan lentur negatif **D16-200 mm.**

*“Halaman ini sengaja dikosongkan”*

## **BAB X**

### **KESIMPULAN DAN SARAN**

#### **10.1 Kesimpulan**

Berdasarkan seluruh hasil analisa yang telah dilakukan dalam penyusunan desain modifikasi Gedung Fakultas Kedokteran Universitas Udayana menggunakan sistem balok prategang pada lantai atap dan sistem ganda ini, dapat ditarik beberapa kesimpulan diantaranya sebagai berikut:

1. Perencanaan gedung ini memiliki dimensi struktur baik struktur sekunder maupun struktur utama berdasarkan SNI 2847:2019 adalah sebagai berikut:

#### Struktur Sekunder

- o Tangga
  - Tebal pelat tangga : 150 mm
  - Tebal pelat bordes : 150 mm
- o Balok anak:
  - Balok Anak 1 (BA1) : 350/500 mm
  - Balok Anak 2 (BA2) : 250/400 mm
  - Balok Anak 3 (BA3) : 250/400 mm
  - Balok Anak 4 (BA4) : 350/500 mm
  - Balok Anak 5 (BA5) : 350/500 mm
- o Tebal Pelat:
  - Lantai 1-14 : 120 cm
  - Lantai atap : 140 cm
  - Basemen : 300 mm
- o Balok Lift:
  - Balok Penggantung : WF 500x200x11x19
  - Balok Penumpu : WF 500x200x11x19

#### Struktur Utama

- o Balok induk:
  - Balok Induk 1 (BI1) : 450/650 mm
  - Balok Induk 2 (BI2) : 350/500 mm

- Balok Induk 3 (BI3) : 350/500 mm
  - Balok Induk 4 (BI4) : 450/650 mm
  - Balok Induk 5 (BI5) : 450/650 mm
  - Balok Induk 6 (BI6) : 400/600 mm
  - o Balok prategang:
    - Balok Prategang 1 (BP1) : 500/1200 mm
  - o Kolom:
    - Lantai Basemen-4 (K1) : 900/900 mm
    - Lantai 5-9 (K2) : 750/750 mm
    - Lantai 10-13 (K3) : 600/600 mm
    - Lantai 14 (K4) : 600/600 mm
  - o Tebal Dinding geser:
    - Dinding Geser 1 (DG1) : 400 mm
    - Dinding Geser 2 (DG2) : 400 mm
    - Dinding Geser 3 (DG3) : 400 mm
    -
- Struktur Bawah**
- o Dimensi *Pile Cap* :
    - Tipe 1 (P1) : 2,4 m x 2,4 m x 1,2 m
    - Tipe 2 (P2) : 2,4 m x 3,6 m x 1,2 m
    - Tipe 3 (P3) : 3,6 m x 3,6 m x 1,2 m
    - Tipe 4 (P4) : 7,2 m x 7,2 m x 1,2 m
    - Tipe 5 (P5) : 10,8 m x 7,2 m x 1,2 m
  - o Tiang pancang: (*Prestressed Concrete Spun Piles* PT. Wijaya Karya Beton)
    - Tipe 1 (P1) : 4 buah (D600)
    - Tipe 2 (P2) : 6 buah (D600)
    - Tipe 3 (P3) : 9 buah (D600)
    - Tipe 4 (P4) : 36 buah (D600)
    - Tipe 5 (P5) : 54 buah (D600)
  - o Tebal dinding basemen : 300 mm
2. Perhitungan pembebanan struktur berdasarkan SNI 1727:2013. Beban yang dimasukkan ke dalam permodelan struktur merupakan beban mati tambahan (DL), beban hidup (LL), dan beban gempa (Eqx dan Eqy).

3. Perhitungan gaya gempa pada perencanaan Gedung Fakultas Kedokteran Universitas Udayana menggunakan analisa respon spectrum di daerah Kota Denpasar berdasarkan peraturan SNI 1726:2019.
4. Analisa struktur menggunakan program bantu ETABS yang telah memenuhi kontrol persyaratan struktur berdasarkan peraturan SNI 1726:2019 sebagai berikut:
  - o Kontrol pembebanan gravitasi:  
Hasil selisih antara perhitungan manual dan dengan aplikasi bantu ETABS adalah sebesar 2,49% (kurang dari 5%). Maka permodelan struktur sudah dianggap sesuai.
  - o Kontrol periode waktu getar alami fundamental:  
Dengan program bantu ETABS didapatkan nilai T struktur sebesar 2,35 detik, lebih besar dari nilai Ta.
  - o Kontrol gaya geser dasar:  
Sudah memenuhi persyaratan nilai akhir respon dinamik struktur gedung dalam arah yang ditetapkan tidak boleh kurang dari 100% nilai respon statik.
  - o Kontrol sistem ganda:  
Sudah memenuhi persyaratan SRPMK harus memukul minimum 25% dari beban geser nominal total yang bekerja dalam arah kerja beban gempa tersebut
  - o Kontrol Partisipasi Massa:  
Sudah memenuhi persyaratan perhitungan respons dinamik struktur harus sedemikian rupa sehingga partisipasi massa dalam menghasilkan respon total sekurang-kurangnya adalah 90%.
  - o Kontrol batas simpangan (*drift*):  
Sudah memenuhi persyaratan *drift* ijin sebesar 0,01 tinggi lantai.
5. Perencanaan dengan menggunakan sistem balok prategang berdasarkan karena kebutuhan akan ruangan yang luas dan bebas kolom pada tengah bentangnya, sehingga penggunaan balok prategang sangat tepat untuk memenuhi kebutuhan tersebut.

6. Pondasi yang direncanakan sesuai dengan ketentuan perhitungan tiang pancang (spun pile) produk dari WIKA Beton dengan metode tegangan ijin dan *pile cap* direncanakan berdasarkan metode tegangan ultimate.
7. Hasil analisa struktur yang telah dilakukan pada perencanaan Gedung Fakultas Kedokteran Universitas Udayana dituangkan pada gambar teknik dengan program bantu *AutoCAD* pada lampiran.

## 10.2 Saran

Berdasarkan keseluruhan analisa yang dilakukan dalam penyusunan Tugas Akhir ini, beberapa saran yang dapat disampaikan penulis adalah sebagai berikut:

1. Perencanaan pembebanan gempa pada gedung yang dilakukan harus pada zona gempa yang sebenarnya serta sesuai dengan fungsi gedung agar perhitungan beban gempa dalam perencanaan lebih tepat sasaran.
2. Rasio dimensi kolom terhadap hubungan balok-kolom yang diijinkan sebaiknya lebih diperhatikan dari awal perencanaan.
3. Perencanaan balok prategang sebaiknya memperhatikan dimensi balok dengan gaya prategang yang terjadi, disesuaikan dengan panjang dan dimensi angkur yang akan dipasang nantinya pada tumpuan.
4. Perlu adanya peningkatan dalam pengembangan teknologi beton prategang, agar kedepan pengaplikasiannya lebih mudah di lapangan, dikarenakan penggunaan prategang dapat membuat fungsi ruang pada gedung semakin efisien.
5. Pada perencanaan gedung harus dipikirkan kemudahan dalam aplikasi di lapangan sehingga pelaksanaan di lapangan dapat berjalan dengan lebih lancar dan sesuai perencanaan.

## **DAFTAR PUSTAKA**

- Ables, P.W, Bardhah B.K, Turner F.H. 1976. **Prestressed Concrete Designer's Handbook Second Edition.** Inggris: Spon Press
- American Society of Civil Engineering (ASCE 7-10, 2010). **Minimun Design Loads for Buildings and Other Structure.** Restorn : Virginia 20191
- Artiningsih, TP.2008. **Perilaku Siklik Balok Prategang Parsial Pratarik Akibat Perbedaan Rasio Tulangan.** Bogor: Departement Teknik Sipil Universitas Pakuan
- Astawa, Tavio dan Raka, 2014. “**Behavior of Partially-Prestressed Concrete Exterior Beam-Column Joints for Highly-Seismic Zones**”, Proceeding of the 6th International Conference of Asian Concrete Federation. 21-24 Sept. 2014. Asian Concrete Federation (ACF), Seoul, Korea. pp. 589-594.
- Badan Standarisasi Nasional. 2019. **Persyaratan Beton Struktural Untuk Bangunan Gedung (SNI 2847-2019).** Jakarta : BSNI.
- Badan Standarisasi Nasional. 2019. **Tata Cara Perencanaan Ketahanan Gempa Untuk Struktur Bangunan Gedung (SNI 1726-2019).** Jakarta : BSNI
- Badan Standarisasi Nasional. 2013. **Beban Minimum untuk Perancangan Bangunan Gedung dan Struktur Lain (SNI 1727-2013).** Jakarta : BSNI.

**Building Code Requirement for Structural Concrete (ACI 318-08) and Commentary.** 2008. Famington Hills.

Gilbert, R.I, Mickleborough, N.C. 2005. **Design of Prestressed Concrete.** Inggris: Spon Press

Lin, T.Y., dan Burns. N.H. 1996. **Desain Struktur Beton Prategang Jilid 1.** Jakarta : Penerbit Erlangga.

Marshall, Vernon dan Robberts, John M. **Presstressed Concrete Design and Practice.** Midrand: Concrete Society of Southern Africa

Nawy, Edward G. 2001. **Beton Prategang : Suatu Pendekatan Mendasar, Edisi Ketiga.** Jakarta : Erlangga

Sulendra, I Ketut dan Tatong, Burhan. 2011. **Analisis Teknis Pekerjaan Balok-Plat Lantai Bangunan Pascasarjana UNTAD dengan Metode Combidec-Presstress.** Palu: Universitas Tadulako.

Wahyudi, Herman. 1999. **Daya Dukung Pondasi Dalam.** Surabaya:Institut Teknologi Sepuluh Nopember.

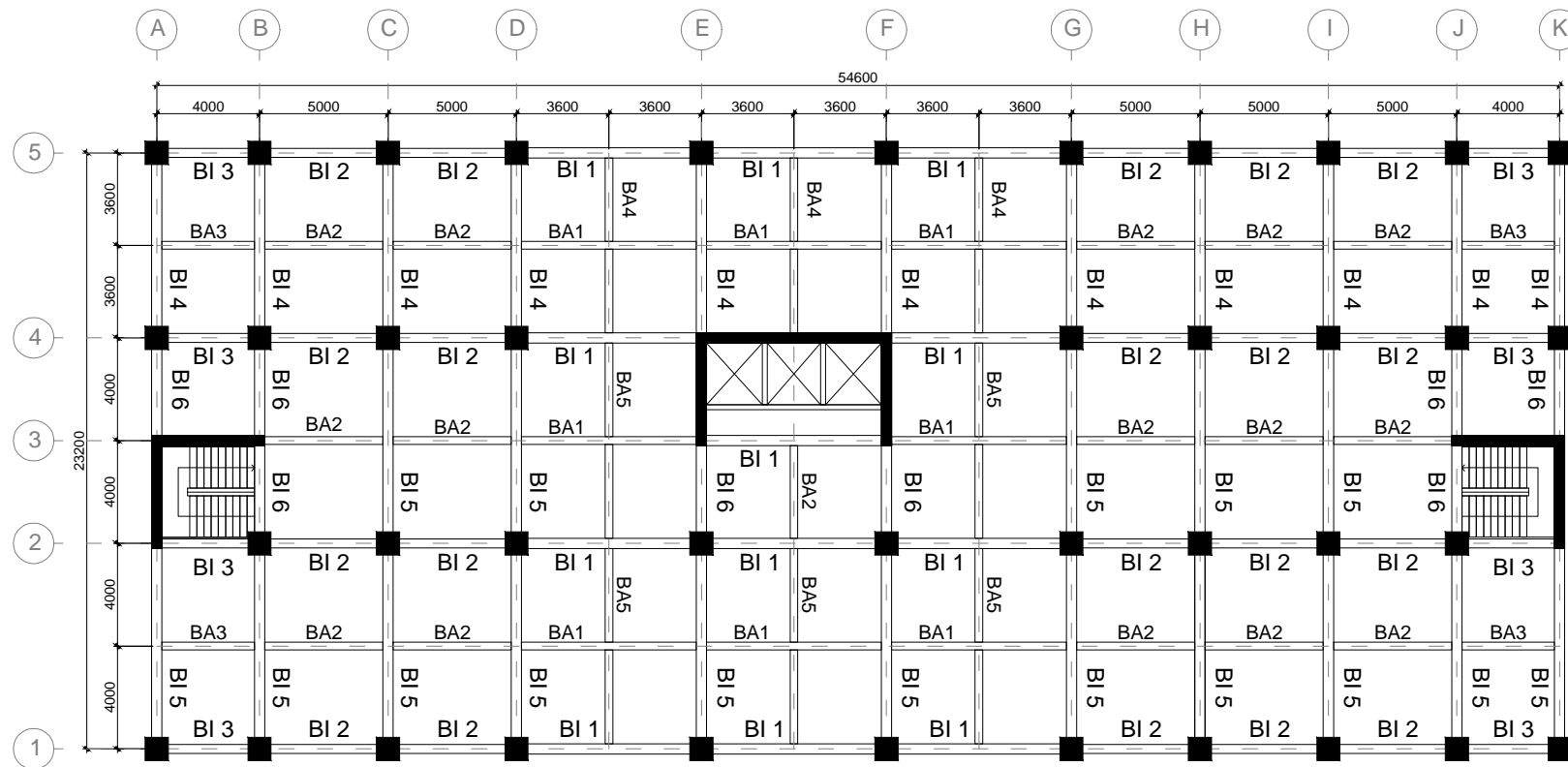
Xiao Han Wu, Shunsuke Otani, dan Hitoshi Shiohara. 2001. **Tendon Model for Nonlinear Analysis of Prestressed Concrete Structures.** ASCE

## **LAMPIRAN**

*“Halaman ini sengaja dikosongkan”*

NO LEMBAR	JUDUL GAMBAR	SKALA
1	DAFTAR ISI LAMPIRAN GAMBAR	-
2	DENAH RENCANA BALOK LANTAI 1-14	1 : 200
3	DENAH RENCANA BALOK LANTAI ATAP	1 : 200
4	DENAH RANCANA PELAT LANTAI 1-14	1 : 200
5	DENAH RENCANA PELAT LANTAI ATAP	1 : 200
6	DENAH RENCANA PELAT BASEMENT	1 : 200
7	DENAH KOLOM LANTAI BASEMENT-4	1 : 200
8	DENAH KOLOM LANTAI 5-9	1 : 200
9	DENAH KOLOM LANTAI 10-13	1 : 200
10	DENAH KOLOM LANTAI 14	1 : 200
11	DENAH RENCANA PONDASI	1 : 200
12	POTONGAN PORTAL MEMANJANG	1 : 300
13	POTONGAN PORTAL MELINTANG	1 : 300
14	PENULANGAN TANGGA	1 : 40
15	POTONGAN A-A TANGGA	1 : 20
16	DETAIL PENULANGAN TANGGA	1 : 10
17	PENULANGAN PELAT LANTAI 2 ARAH TEPI	1 : 40
18	PENULANGAN PELAT LANTAI 2 ARAH TENGAH	1 : 40
19	PENULANGAN PELAT LANTAI 1 ARAH	1 : 75
20	PENULANGAN PELAT BASEMENT	1 : 50
21	PENULANGAN BALOK ANAK	1 : 20
22	PENULANGAN BALOK ANAK	1 : 20
23	PENULANGAN BALOK INDUK LANTAI 1-14	1 : 20
24	PENULANGAN BALOK INDUK LANTAI 1-14	1 : 20
25	PENULANGAN BALOK INDUK LT ATAP	1 : 20

NO LEMBAR	JUDUL GAMBAR	SKALA
26	PENULANGAN BALOK INDUK LT ATAP	1 : 20
27	PENULANGAN KOLOM	1 : 20
28	HUBUNGAN BALOK KOLOM	1 : 40
29	DETAIL HUBUNGAN BALOK KOLOM	1 : 20
30	PENULANGAN DINDING GESER DG1 DAN DG3	1 : 30
31	PENULANGAN DINDING GESER DG2	1 : 30
32	PENULANGAN BALOK PRATEKAN	1 : 20
33	DETAIL ANGKUR BALOK PRATEKAN	1 : 8
34	POTONGAN BALOK PRATEGANG	1 : 75
35	DETAIL POTONGAN BALOK PRATEGANG	1 : 30
36	PENULANGAN PILE CAP TIPE 1 (P1)	1 : 40
37	PENULANGAN PILE CAP TIPE 2 (P2)	1 : 40
38	PENULANGAN PILE CAP TIPE 3 (P3)	1 : 50
39	PENULANGAN PILE CAP TIPE 4 (P4)	1 : 50
41	PENULANGAN PILE CAP TIPE 5 (P5)	1 : 75
42	DETAIL PENULANGAN PILE CAP TIPE 5 (P5)	1 : 50
43	PENULANGAN DINDING PENAHAN TANAH	1 : 20
44	POTONGAN STRUKTUR BASEMENT	1 : 20

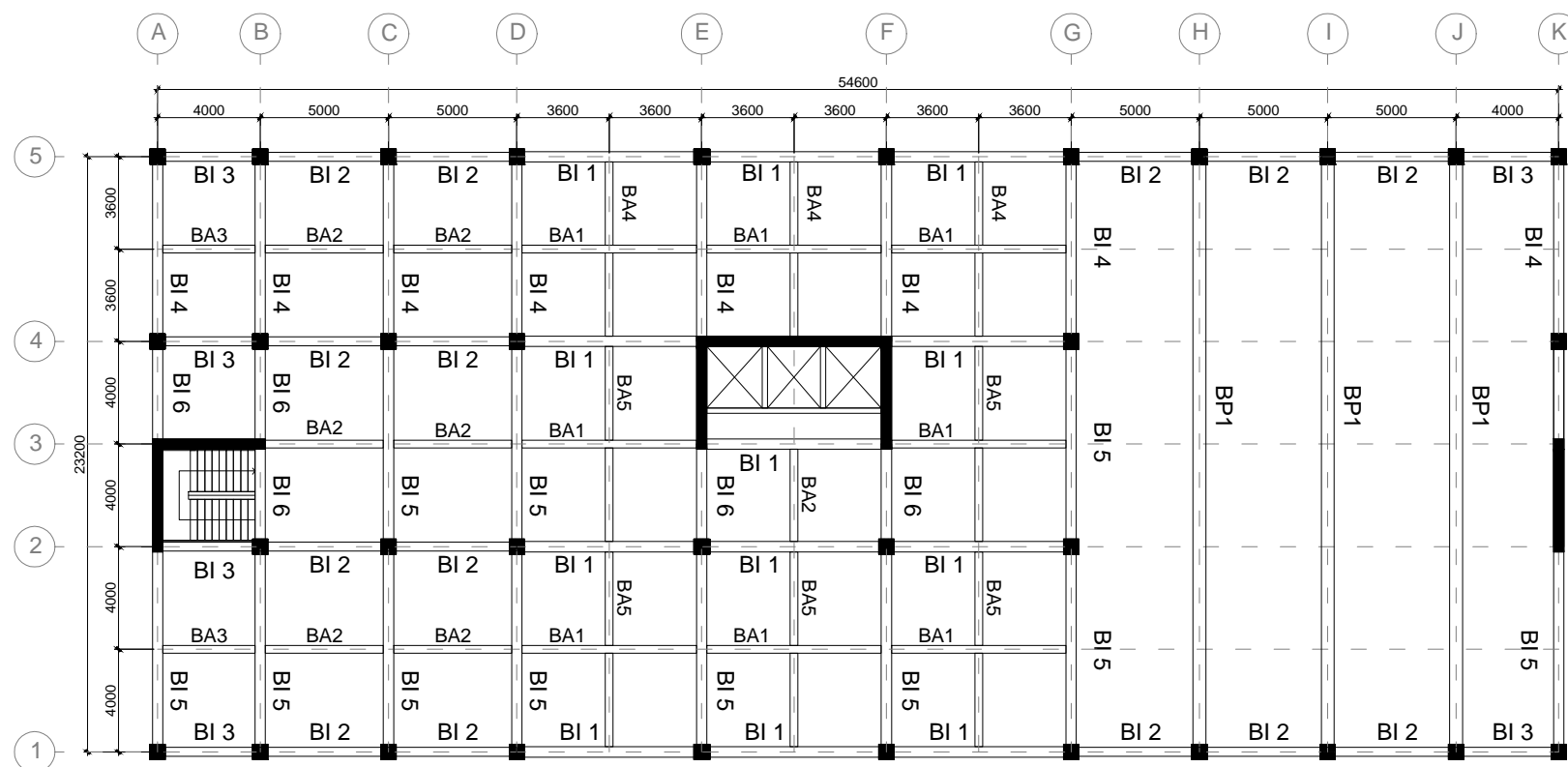


DENAH STRUKTUR RENCANA BALOK LANTAI 1-14

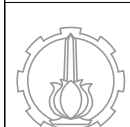
SKALA 1:200

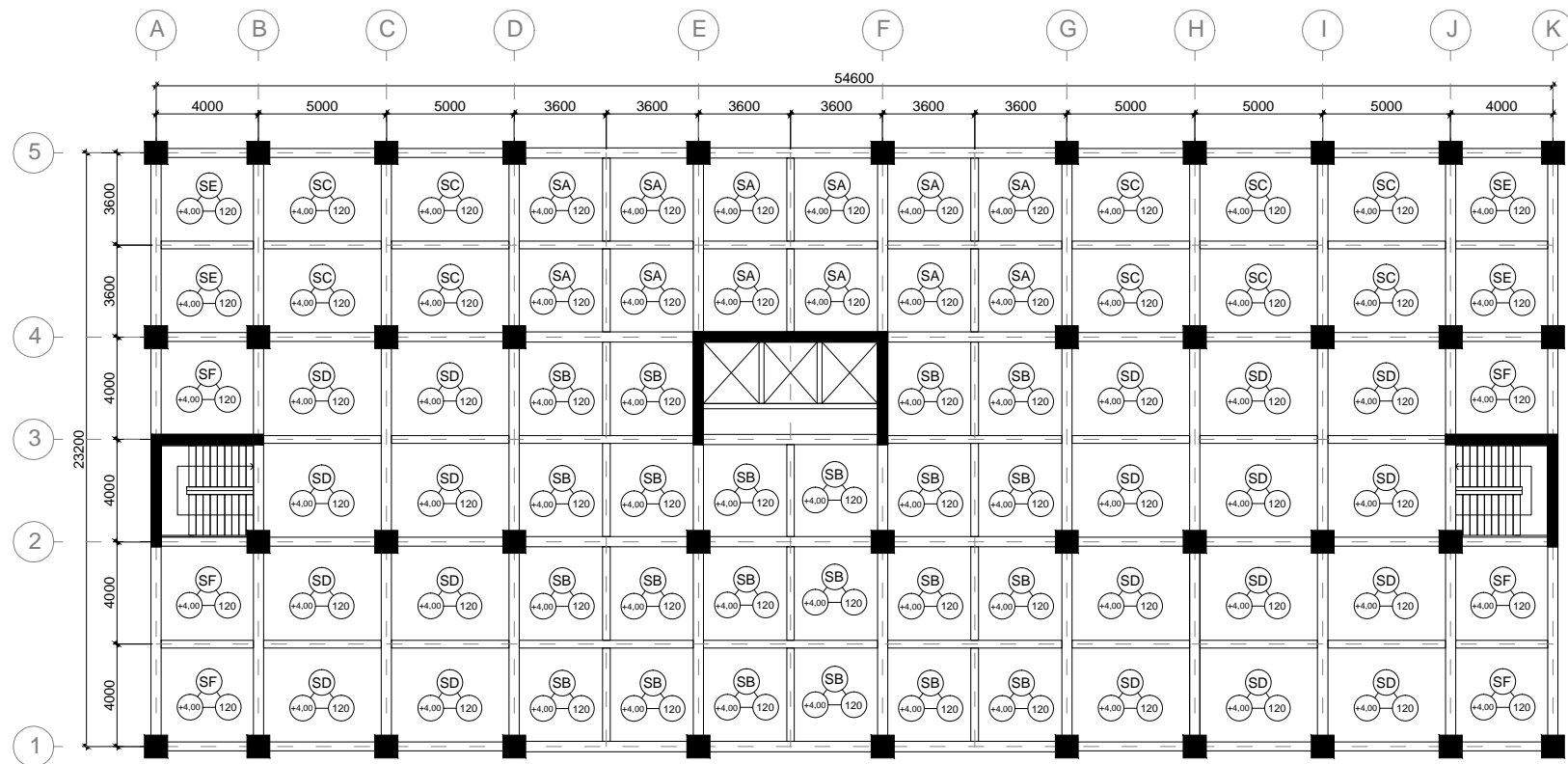
BALOK INDUK		BALOK ANAK	
NAMA	DIMENSI	NAMA	DIMENSI
BI1	450/650	BA1	350/500
BI2	350/500	BA2	250/400
BI3	350/500	BA3	250/400
BI4	450/650	BA4	350/500
BI5	450/650	BA5	350/400
BI6	400/650		





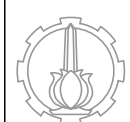
BALOK INDUK		BALOK ANAK		BALOK PRATEKAN	
NAMA	DIMENSI	NAMA	DIMENSI	NAMA	DIMENSI
BI1	450/650	BA1	350/500	BP1	500/1200
BI2	350/500	BA2	250/400		
BI3	350/500	BA3	250/400		
BI4	450/650	BA4	350/500		
BI5	450/650	BA5	350/400		
BI6	400/650				





DENAH STRUKTUR RENCANA PELAT LANTAI 1-14

SKALA 1:200



DEPARTEMEN TEKNIK SIPIL  
FAKULTAS TEKNIK SIPIL, PERENCANAAN DAN KEBUMIAN  
INSTITUT TEKNOLOGI SEPULUH NOPEMBER  
SURABAYA  
2020

JUDUL TUGAS AKHIR

DESAIN MODIFIKASI STRUKTUR GEDUNG  
FAKULTAS KEDOKTERAN UNIVERSITAS UDAYANA  
MENGGUNAKAN SISTEM BALOK PRATEGANG PADA  
LANTAI ATAP DAN SISTEM GANDA

DOSEN KONSULTASI

Dr. CANDRA IRAWAN, ST, MT  
Prof. Dr. Ir. I GUSTI PUTU RAKA, DEA

NAMA MAHASISWA

MADE SIDHARTA PURNAMA P  
(03111640000118)

NAMA GAMBAR

SENARAI STRUKTUR  
RENCANA PELAT LANTAI  
1-14

SKALA

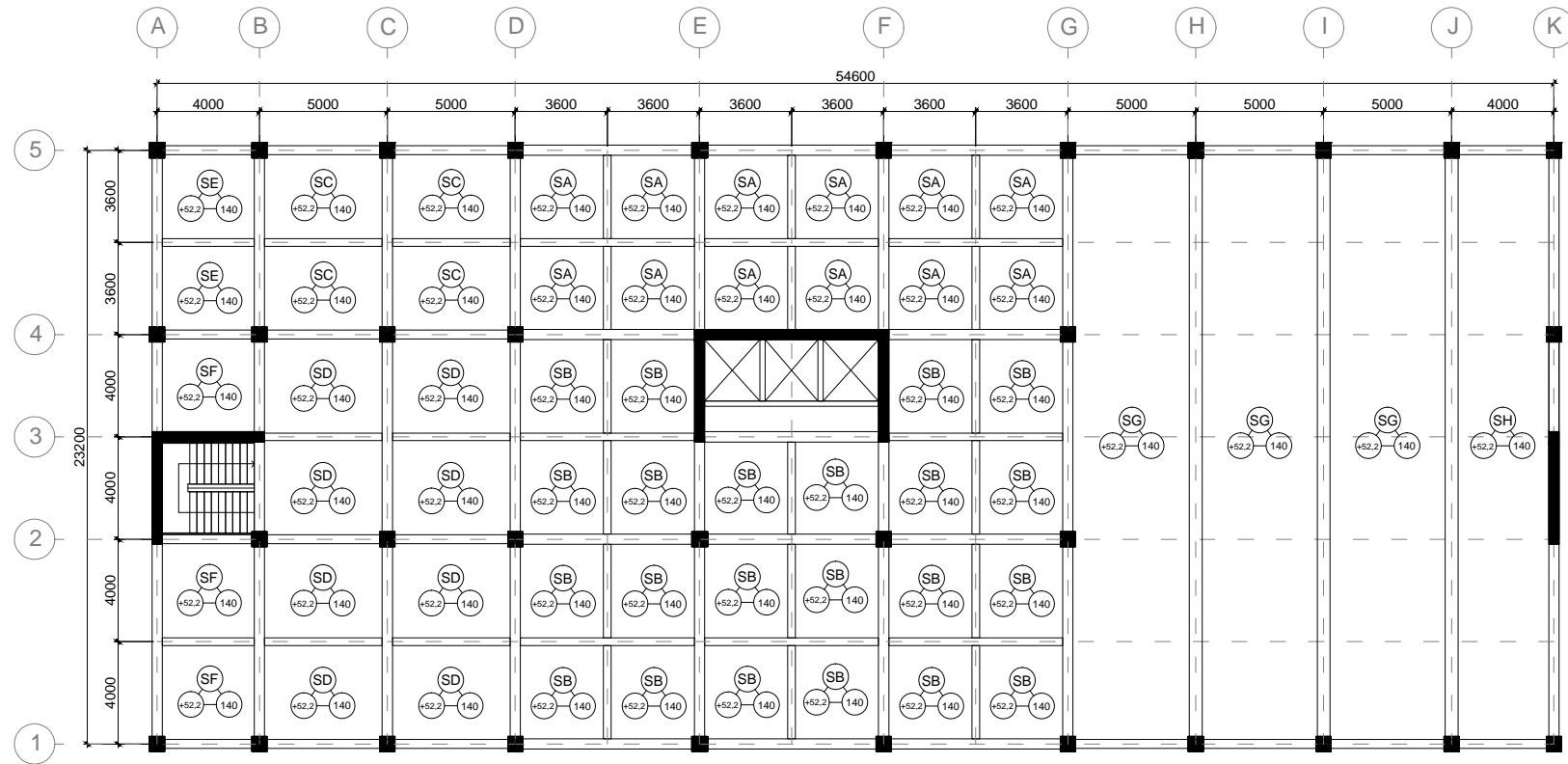
1 : 200

NO LEMBAR

4

JUMLAH LEMBAR

44



DENAH STRUKTUR RENCANA PELAT LANTAI ATAP

SKALA 1:200



DEPARTEMEN TEKNIK SIPIL  
FAKULTAS TEKNIK SIPIL, PERENCANAAN DAN KEBUMIAN  
INSTITUT TEKNOLOGI SEPULUH NOPEMBER  
SURABAYA  
2020

JUDUL TUGAS AKHIR

DESAIN MODIFIKASI STRUKTUR GEDUNG  
FAKULTAS KEDOKTERAN UNIVERSITAS UDAYANA  
MENGUNAKAN SISTEM BALOK PRATEGANG PADA  
LANTAI ATAP DAN SISTEM GANDA

DOSEN KONSULTASI

Dr. CANDRA IRAWAN, ST, MT  
Prof. Dr. Ir. I GUSTI PUTU RAKA, DEA

NAMA MAHASISWA

MADE SIDHARTA PURNAMA P  
(03111640000118)

NAMA GAMBAR

DENAH STRUKTUR  
RENCANA BALOK  
LANTAI ATAP

SKALA

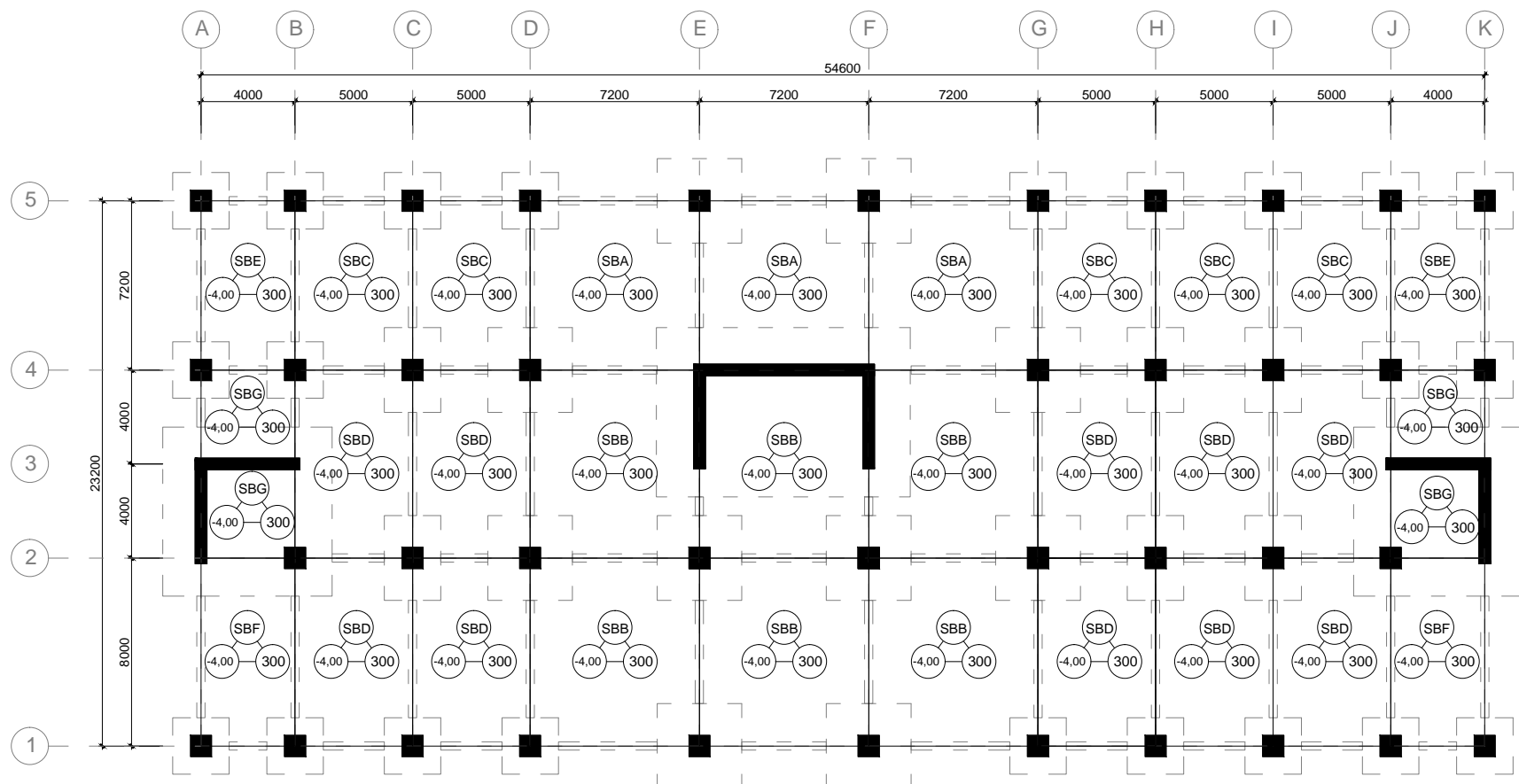
1 : 200

NO LEMBAR

**5**

JUMLAH LEMBAR

**44**



SKALA 1:200



DEPARTEMEN TEKNIK SIPIL  
FAKULTAS TEKNIK SIPIL, PERENCANAAN DAN KEBUMIAN  
INSTITUT TEKNOLOGI SEPULUH NOPEMBER  
SURABAYA  
2020

JUDUL TUGAS AKHIR

DESAIN MODIFIKASI STRUKTUR GEDUNG  
FAKULTAS KEDOKTERAN UNIVERSITAS UDAYANA  
MENGGUNAKAN SISTEM BALOK PRATEGANG PADA  
LANTAI ATAP DAN SISTEM GANDA

DOSEN KONSULTASI

Dr. CANDRA IRawan, ST, MT  
Prof. Dr. Ir. I Gusti Putu Raka, DEA

NAMA MAHASISWA

MADE SIDHARTA PURNAMA P  
(03111640000118)

NAMA GAMBAR

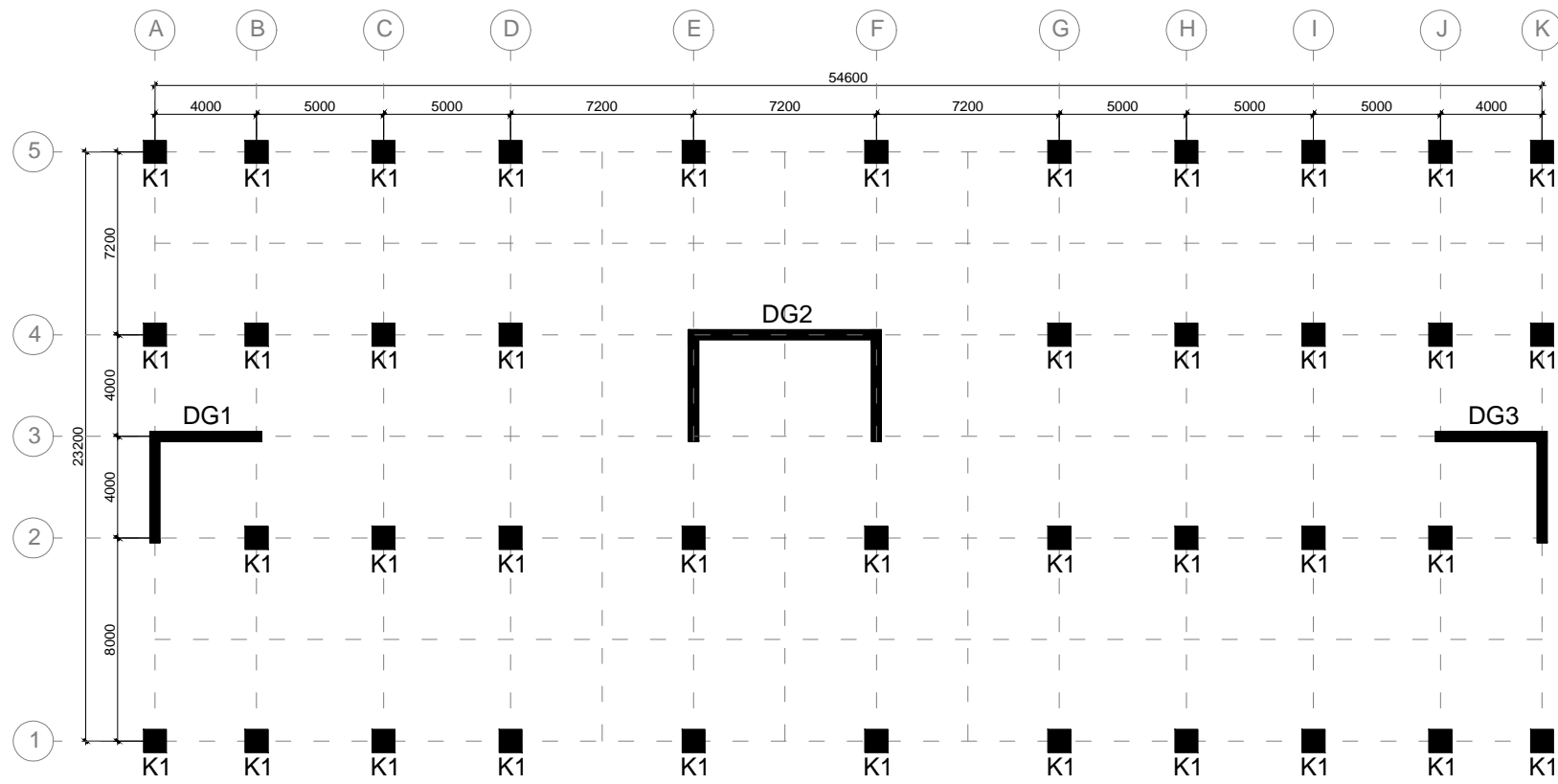
DENAH STRUKTUR  
RENCANA PELAT  
BASEMENT

SKALA

1 : 200

**6**

**44**



DENAH KOLOM LANTAI BASEMENT-4

SKALA 1:200

NAMA KOLOM	DIMENSI
K1	900/900



DEPARTEMEN TEKNIK SIPIL  
FAKULTAS TEKNIK SIPIL, PERENCANAAN DAN KEBUMIAN  
INSTITUT TEKNOLOGI SEPULUH NOPEMBER  
SURABAYA  
2020

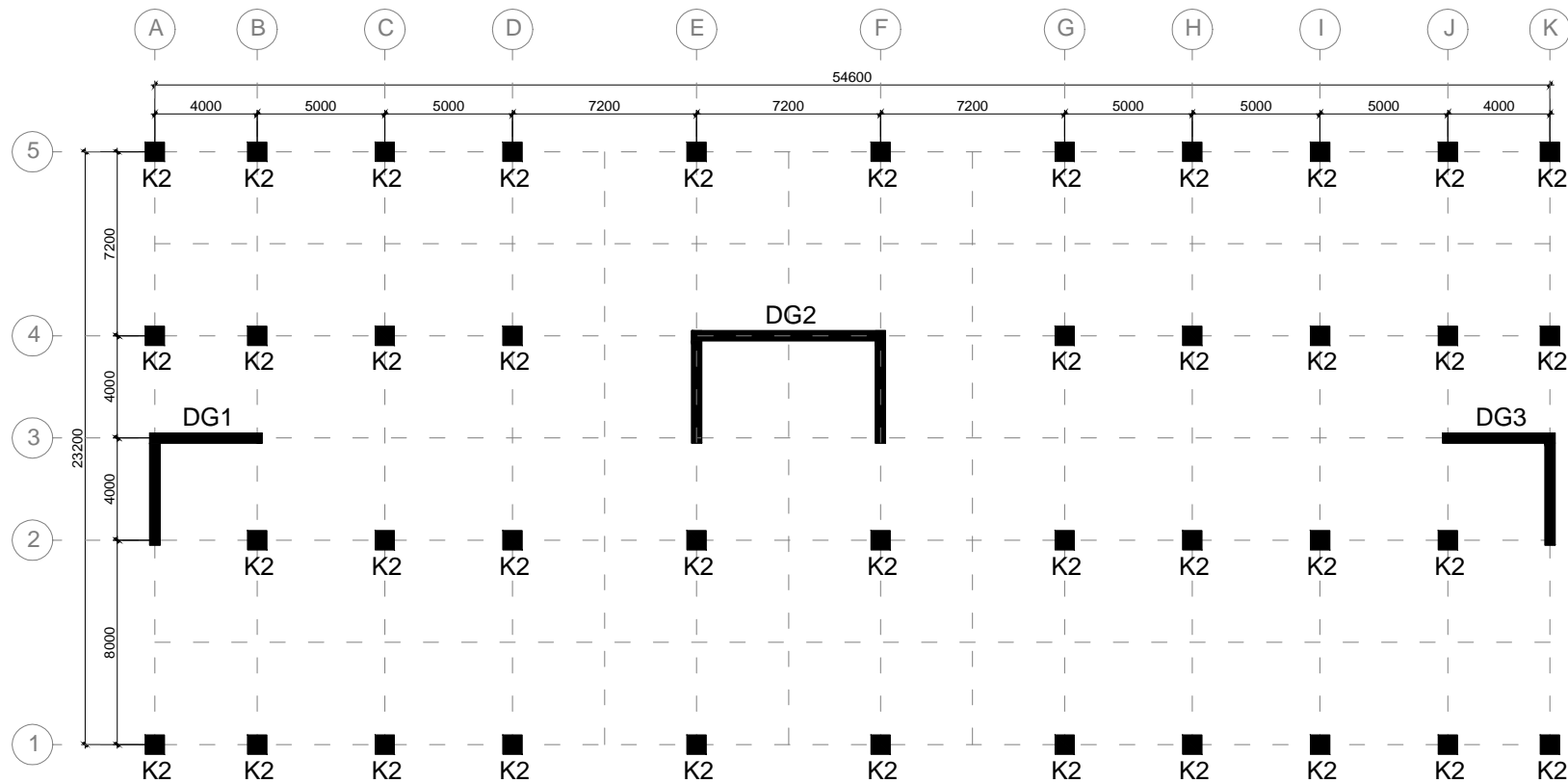
JUDUL TUGAS AKHIR  
DESAIN MODIFIKASI STRUKTUR GEDUNG  
FAKULTAS KEDOKTERAN UNIVERSITAS UDAYANA  
MENGUNAKAN SISTEM BALOK PRATEGANG PADA  
LANTAI ATAP DAN SISTEM GANDA

DOSEN KONSULTASI  
Dr. CANDRA IRAWAN, ST, MT  
Prof. Dr. Ir. I GUSTI PUTU RAKA, DEA

NAMA MAHASISWA  
MADE SIDHARTA PURNAMA P  
(03111640000118)

NAMA GAMBAR  
DENAH KOLOM LANTAI  
BASEMENT-4

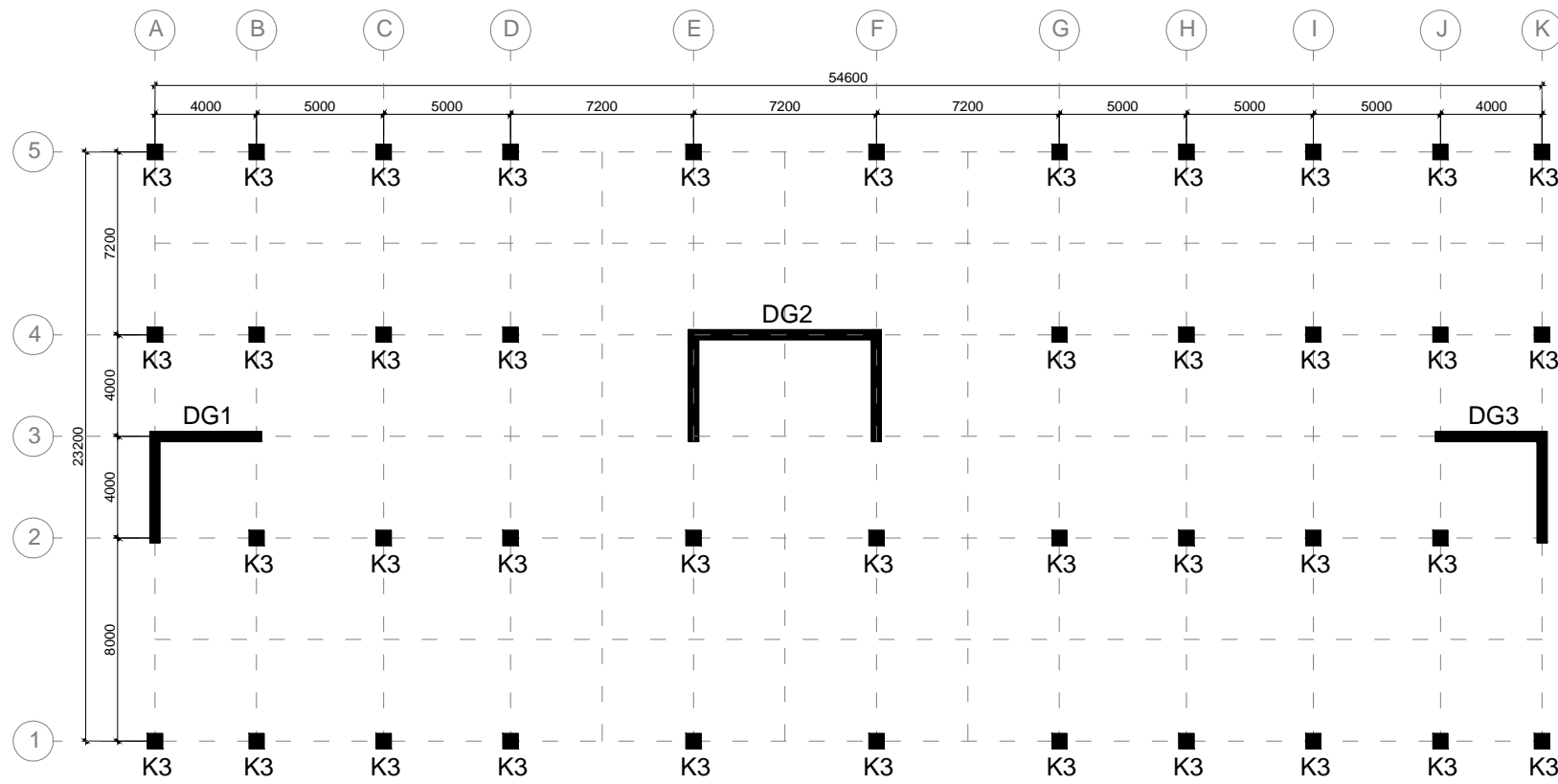
SKALA  
1 : 200  
**7**  
**44**



DENAHKOLOMLANTAI 5-9  
SKALA 1:200

NAMA KOLOM	DIMENSI
K2	750/750

DEPARTEMEN TEKNIK SIPIL FAKULTAS TEKNIK SIPIL, PERENCANAAN DAN KEBUMIAN INSTITUT TEKNOLOGI SEPULUH NOPEMBER SURABAYA 2020	JUDUL TUGAS AKHIR DESAIN MODIFIKASI STRUKTUR GEDUNG FAKULTAS KEDOKTERAN UNIVERSITAS UDAYANA MENGUNAKAN SISTEM BALOK PRATEGANG PADA LANTAI ATAP DAN SISTEM GANDA	DOSEN KONSULTASI Dr. CANDRA IRAWAN, ST, MT Prof. Dr. Ir. I GUSTI PUTU RAKA, DEA	NAMA MAHASISWA MADE SIDHARTA PURNAMA P (03111640000118)	NAMA GAMBAR DENAH KOLOM LANTAI 5-9	SKALA 1 : 200	NO LEMBAR 8	JUMLAH LEMBAR 44
---	---	---	---	--	------------------	----------------	---------------------



DENAH KOLOM LANTAI 10-13

SKALA 1:200

NAMA KOLOM	DIMENSI
K3	600/600



DEPARTEMEN TEKNIK SIPIL  
FAKULTAS TEKNIK SIPIL, PERENCANAAN DAN KEBUMIAN  
INSTITUT TEKNOLOGI SEPULUH NOPEMBER  
SURABAYA  
2020

JUDUL TUGAS AKHIR

DESAIN MODIFIKASI STRUKTUR GEDUNG  
FAKULTAS KEDOKTERAN UNIVERSITAS UDAYANA  
MENGUNAKAN SISTEM BALOK PRATEGANG PADA  
LANTAI ATAP DAN SISTEM GANDA

DOSEN KONSULTASI

Dr. CANDRA IRAWAN, ST, MT  
Prof. Dr. Ir. I GUSTI PUTU RAKA, DEA

NAMA MAHASISWA

MADE SIDHARTA PURNAMA P  
(03111640000118)

NAMA GAMBAR

DENAH KOLOM LANTAI  
10-13

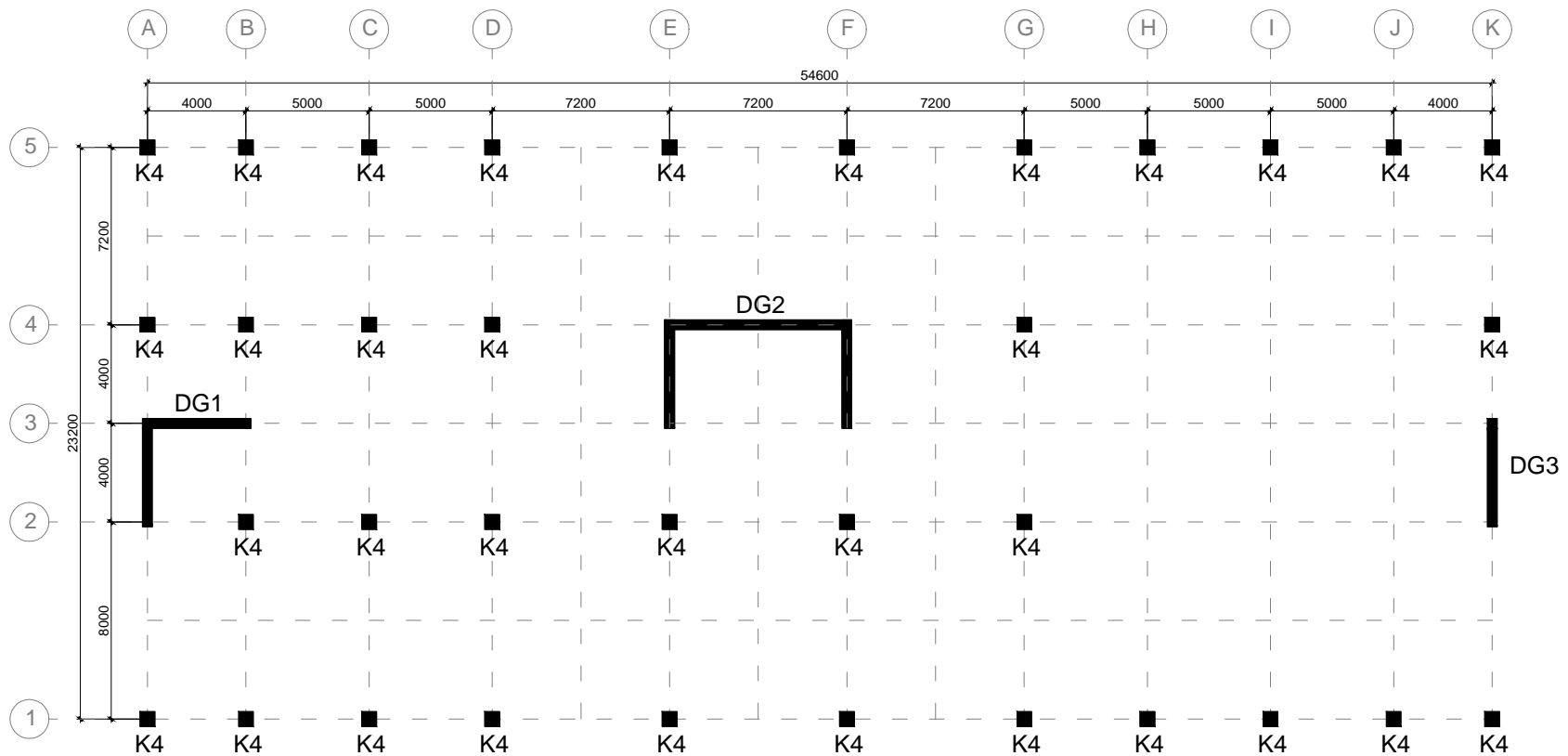
SKALA

1 : 200

NO LEMBAR

9

44



DENAH KOLOM LANTAI 14

SKALA 1:200

NAMA KOLOM	DIMENSI
K4	600/600



DEPARTEMEN TEKNIK SIPIL  
FAKULTAS TEKNIK SIPIL, PERENCANAAN DAN KEBUMIAN  
INSTITUT TEKNOLOGI SEPULUH NOPEMBER  
SURABAYA  
2020

JUDUL TUGAS AKHIR

DESAIN MODIFIKASI STRUKTUR GEDUNG  
FAKULTAS KEDOKTERAN UNIVERSITAS UDAYANA  
MENGUNAKAN SISTEM BALOK PRATEGANG PADA  
LANTAI ATAP DAN SISTEM GANDA

DOSEN KONSULTASI

Dr. CANDRA IRAWAN, ST, MT  
Prof. Dr. Ir. I GUSTI PUTU RAKA, DEA

NAMA MAHASISWA

MADE SIDHARTA PURNAMA P  
(03111640000118)

NAMA GAMBAR

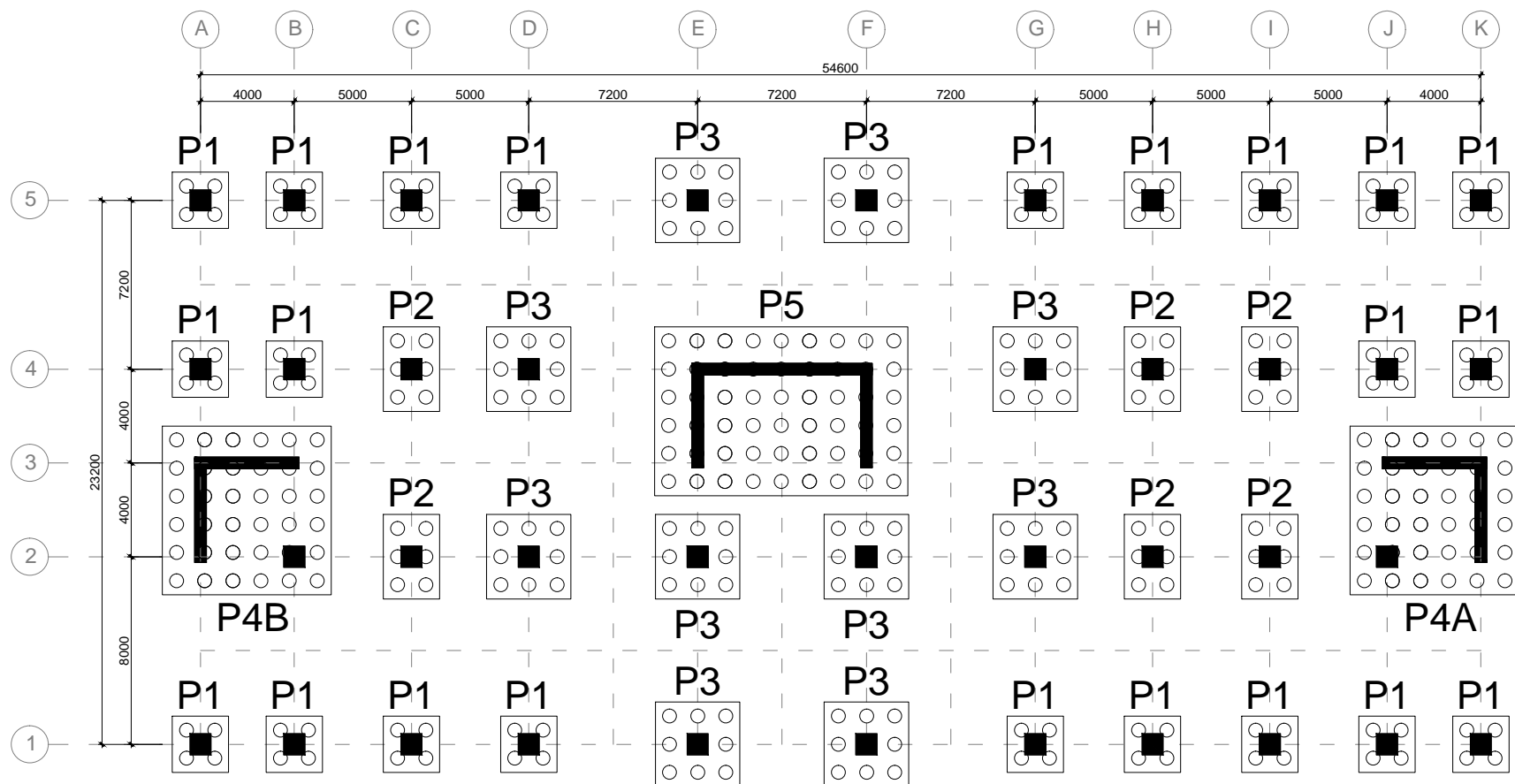
DENAH KOLOM LANTAI  
14

SKALA

1 : 200

10

44



DENAH RENCANA PONDASI

SKALA 1:200



DEPARTEMEN TEKNIK SIPIL  
FAKULTAS TEKNIK SIPIL, PERENCANAAN DAN KEBUMIAN  
INSTITUT TEKNOLOGI SEPULUH NOPEMBER  
SURABAYA  
2020

JUDUL TUGAS AKHIR  
DESAIN MODIFIKASI STRUKTUR GEDUNG  
FAKULTAS KEDOKTERAN UNIVERSITAS UDAYANA  
MENGUNAKAN SISTEM BALOK PRATEGANG PADA  
LANTAI ATAP DAN SISTEM GANDA

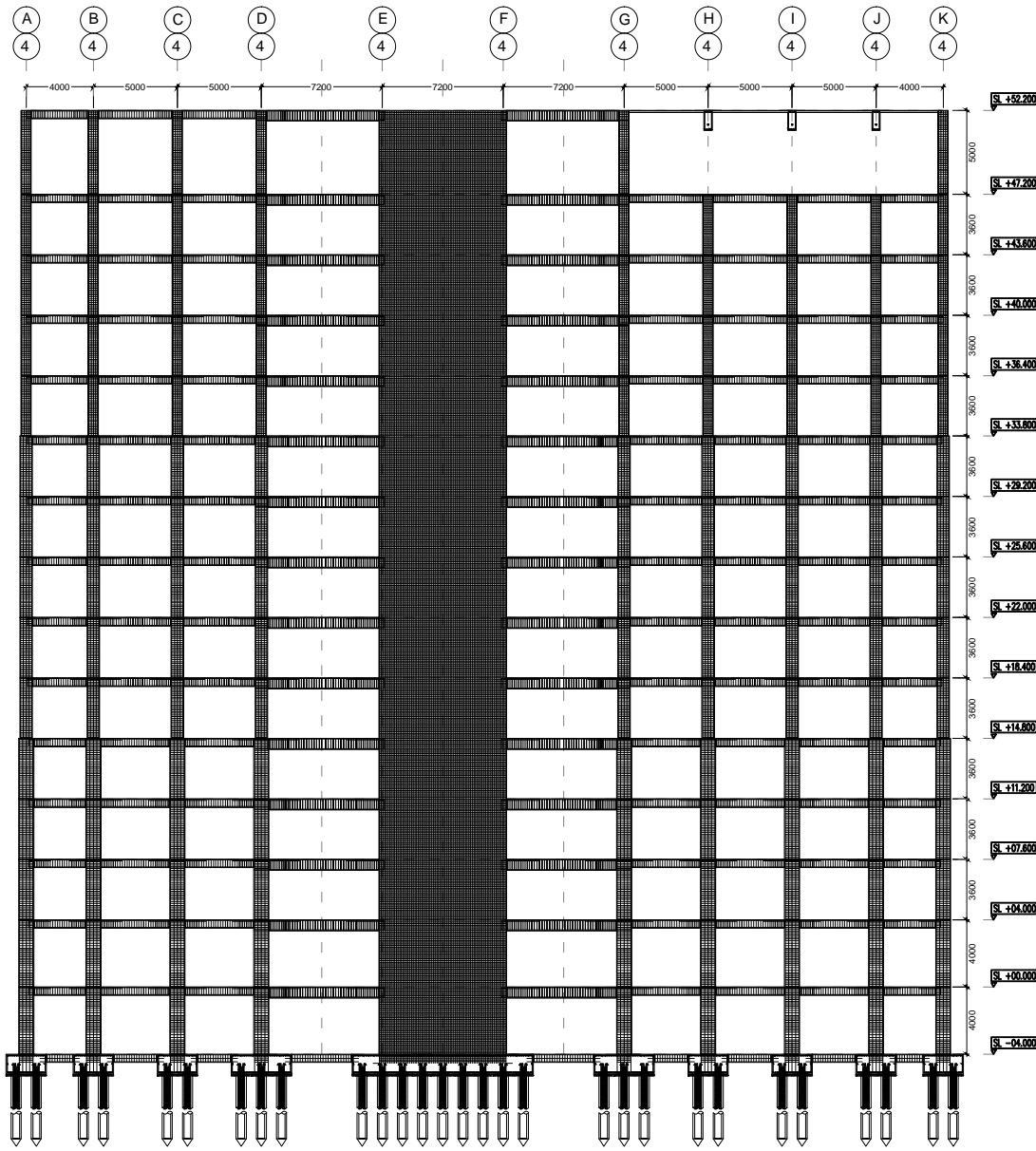
DOSEN KONSULTASI  
Dr. CANDRA IRawan, ST, MT  
Prof. Dr. Ir. I Gusti Putu Raka, DEA

NAMA MAHASISWA  
MADE SIDHARTA PURNAMA P  
(03111640000118)

NAMA GAMBAR  
DENAH RENCANA  
PONDASI

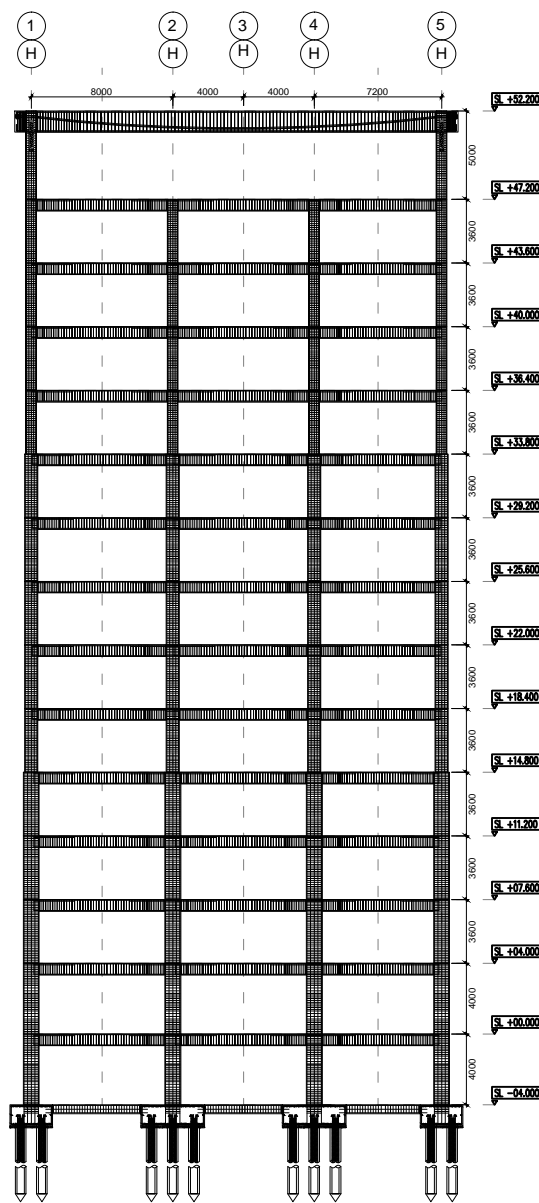
SKALA  
1 : 200

**11** **44**



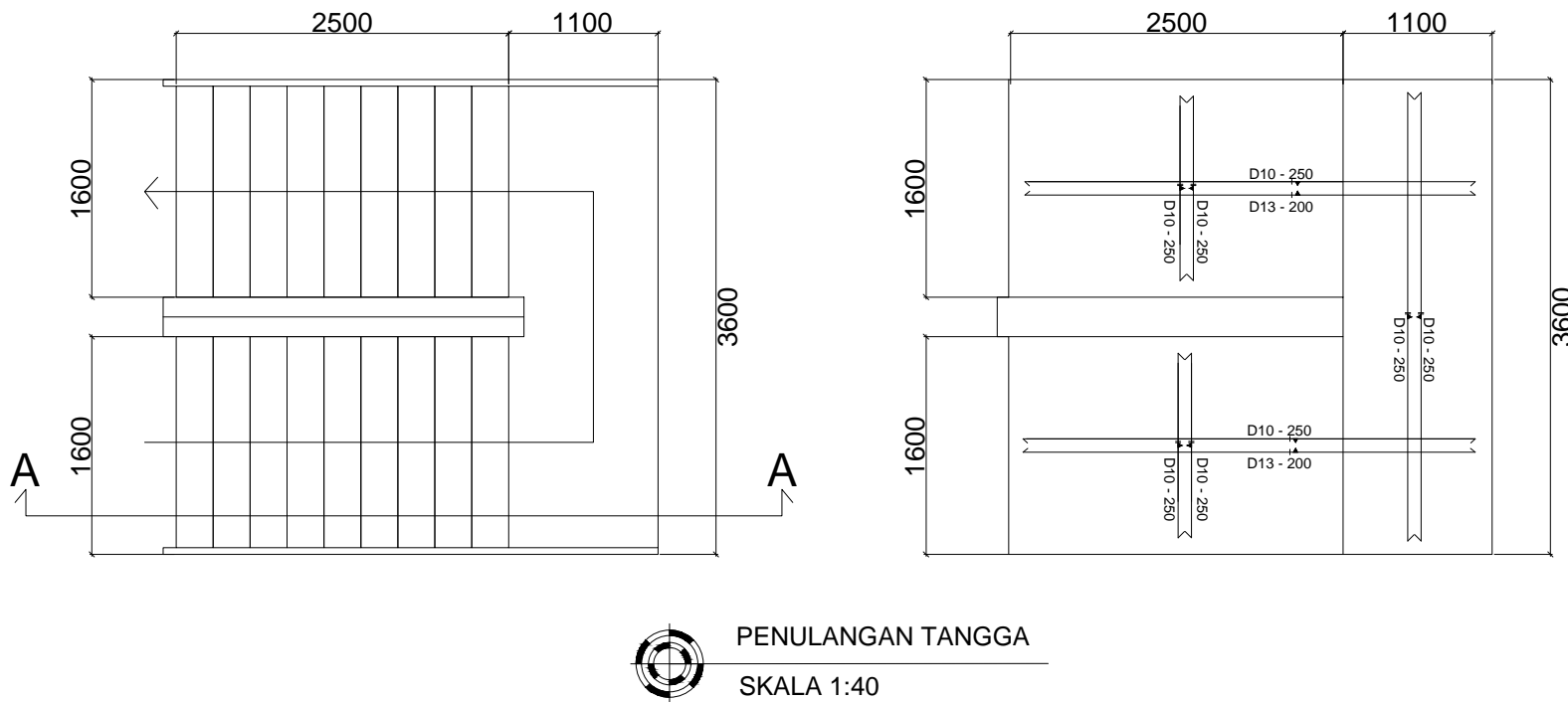
POTONGAN PORTAL MEMANJANG  
SKALA 1: 300

DEPARTEMEN TEKNIK SIPIL FAKULTAS TEKNIK SIPIL, PERENCANAAN DAN KEBUMIAN INSTITUT TEKNOLOGI SEPULUH NOPEMBER SURABAYA 2020	JUDUL TUGAS AKHIR DESAIN MODIFIKASI STRUKTUR GEDUNG FAKULTAS KEDOKTERAN UNIVERSITAS UDAYANA MENGUNAKAN SISTEM BALOK PRATEGANG PADA LANTAI ATAP DAN SISTEM GANDA	DOSEN KONSULTASI Dr. CANDRA IRAWAN, ST, MT Prof. Dr. Ir. I GUSTI PUTU RAKA, DEA	NAMA MAHASISWA MADE SIDHARTA PURNAMA P (03111640000118)	NAMA GAMBAR POTONGAN PORTAL MEMANJANG	SKALA 1 : 300	NO LEMBAR 12	JUMLAH LEMBAR 44
---	---	---	---	---	------------------	-----------------	---------------------

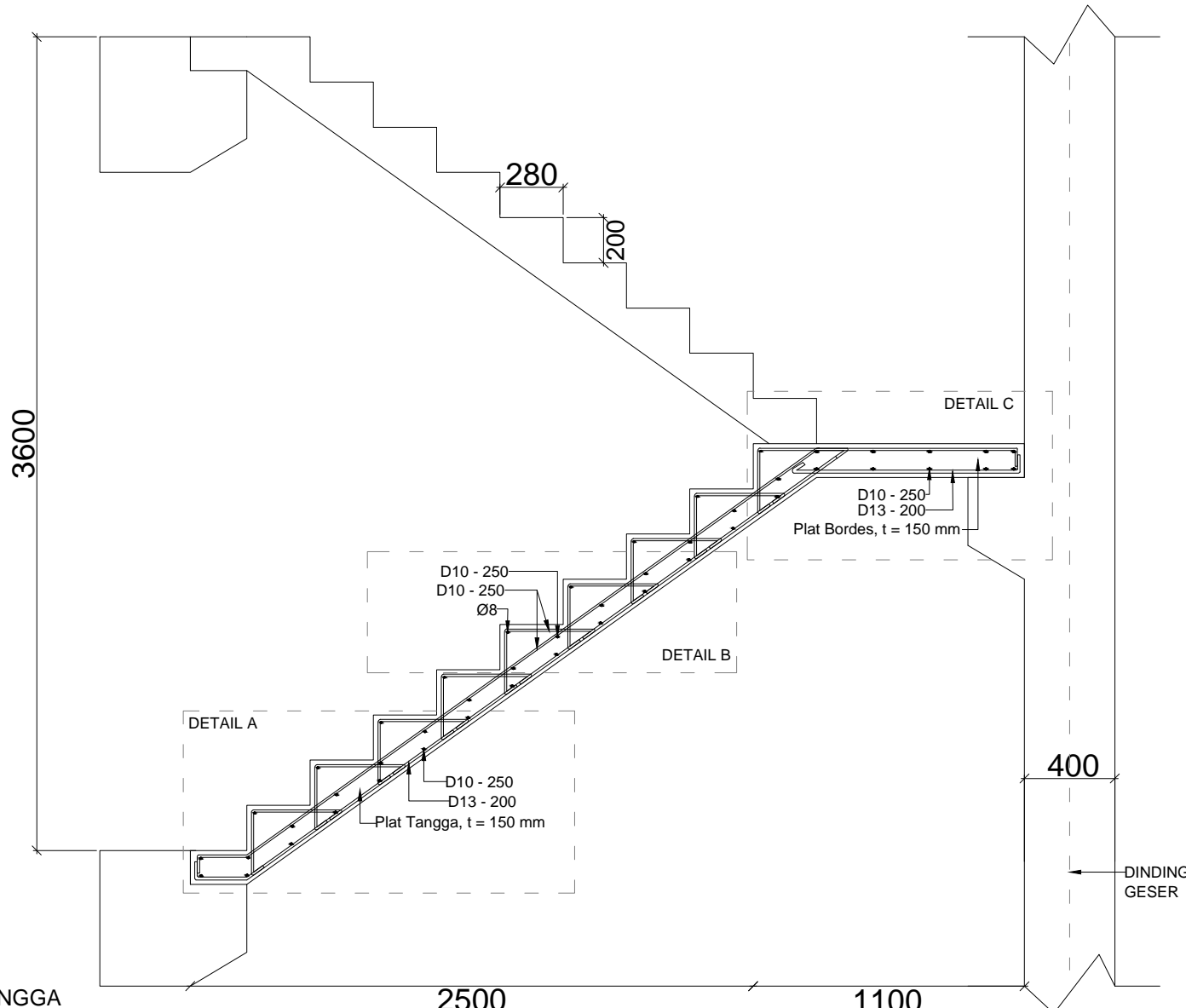


POTONGAN PORTAL MELINTANG  
SKALA 1: 300

DEPARTEMEN TEKNIK SIPIL FAKULTAS TEKNIK SIPIL, PERENCANAAN DAN KEBUMIAN INSTITUT TEKNOLOGI SEPULUH NOPEMBER SURABAYA 2020	JUDUL TUGAS AKHIR DESAIN MODIFIKASI STRUKTUR GEDUNG FAKULTAS KEDOKTERAN UNIVERSITAS UDAYANA MENGUNAKAN SISTEM BALOK PRATEGANG PADA LANTAI ATAP DAN SISTEM GANDA	DOSEN KONSULTASI Dr. CANDRA IRAWAN, ST, MT Prof. Dr. Ir. I GUSTI PUTU RAKA, DEA	NAMA MAHASISWA MADE SIDHARTA PURNAMA P (03111640000118)	NAMA GAMBAR POTONGAN PORTAL MELINTANG	SKALA 1 : 300	NO LEMBAR 13	JUMLAH LEMBAR 44
---	---	---	---	---	------------------	-----------------	---------------------



DEPARTEMEN TEKNIK SIPIL FAKULTAS TEKNIK SIPIL, PERENCANAAN DAN KEBUMIAN INSTITUT TEKNOLOGI SEPULUH NOPEMBER SURABAYA 2020	JUDUL TUGAS AKHIR DESAIN MODIFIKASI STRUKTUR GEDUNG FAKULTAS KEDOKTERAN UNIVERSITAS UDAYANA MENGUNAKAN SISTEM BALOK PRATEGANG PADA LANTAI ATAP DAN SISTEM GANDA	DOSEN KONSULTASI Dr. CANDRA IRAWAN, ST, MT Prof. Dr. Ir. I GUSTI PUTU RAKA, DEA	NAMA MAHASISWA MADE SIDHARTA PURNAMA P (03111640000118)	NAMA GAMBAR PENULANGAN TANGGA	SKALA 1 : 40	NO LEMBAR <b>14</b>	JUMLAH LEMBAR <b>44</b>
---	---	---	---	----------------------------------	-----------------	------------------------	----------------------------



POTONGAN A-A TANGGA

SKALA 1:20

NOTE :		
$f_c$	: 40 MPa	
$f_y$	: 420 MPa	
T. Selimut	: 20 mm	



DEPARTEMEN TEKNIK SIPIL  
FAKULTAS TEKNIK SIPIL, PERENCANAAN DAN KEBUMIAN  
INSTITUT TEKNOLOGI SEPULUH NOPEMBER  
SURABAYA  
2020

JUDUL TUGAS AKHIR

DESAIN MODIFIKASI STRUKTUR GEDUNG  
FAKULTAS KEDOKTERAN UNIVERSITAS UDAYANA  
MENGUNAKAN SISTEM BALOK PRATEGANG PADA  
LANTAI ATAP DAN SISTEM GANDA

DOSEN KONSULTASI

Dr. CANDRA IRAWAN, ST, MT  
Prof. Dr. Ir. I GUSTI PUTU RAKA, DEA

NAMA MAHASISWA

MADE SIDHARTA PURNAMA P  
(03111640000118)

NAMA GAMBAR

POTONGAN A-A  
TANGGA

SKALA

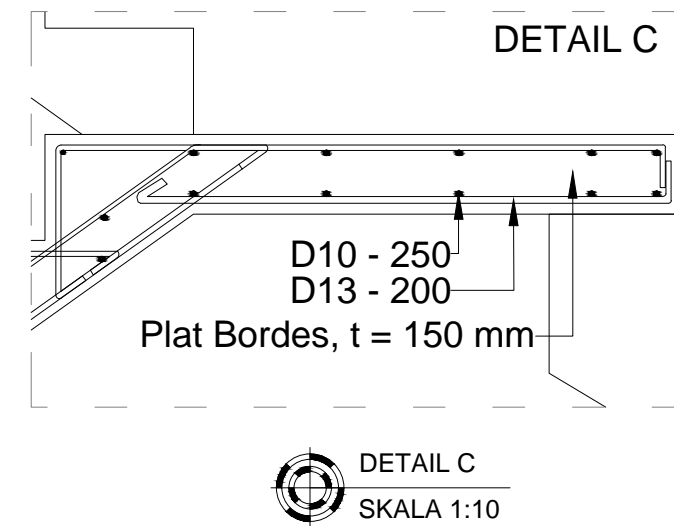
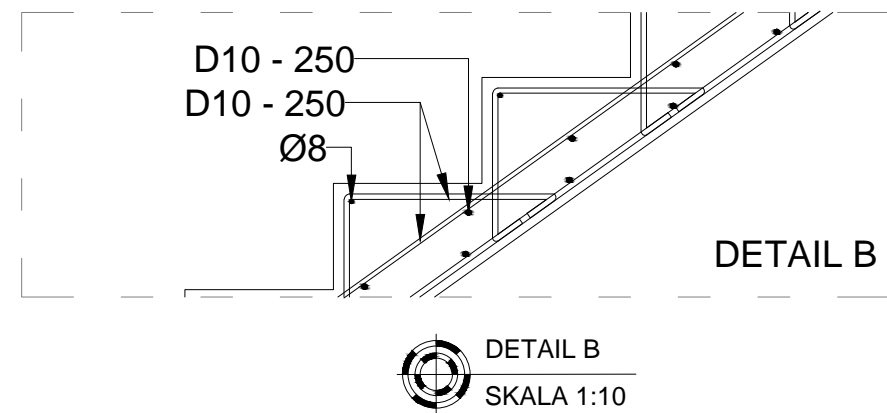
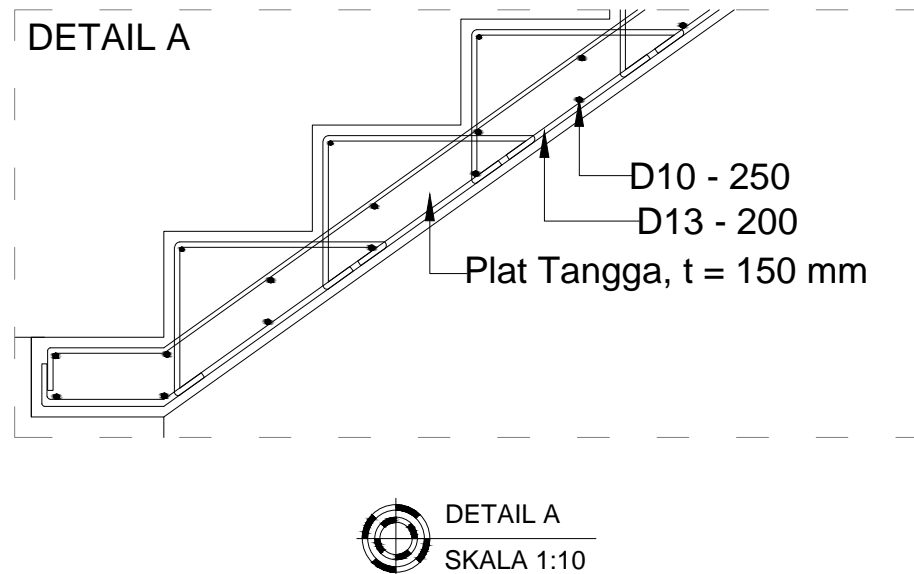
1 : 20

NO LEMBAR

15

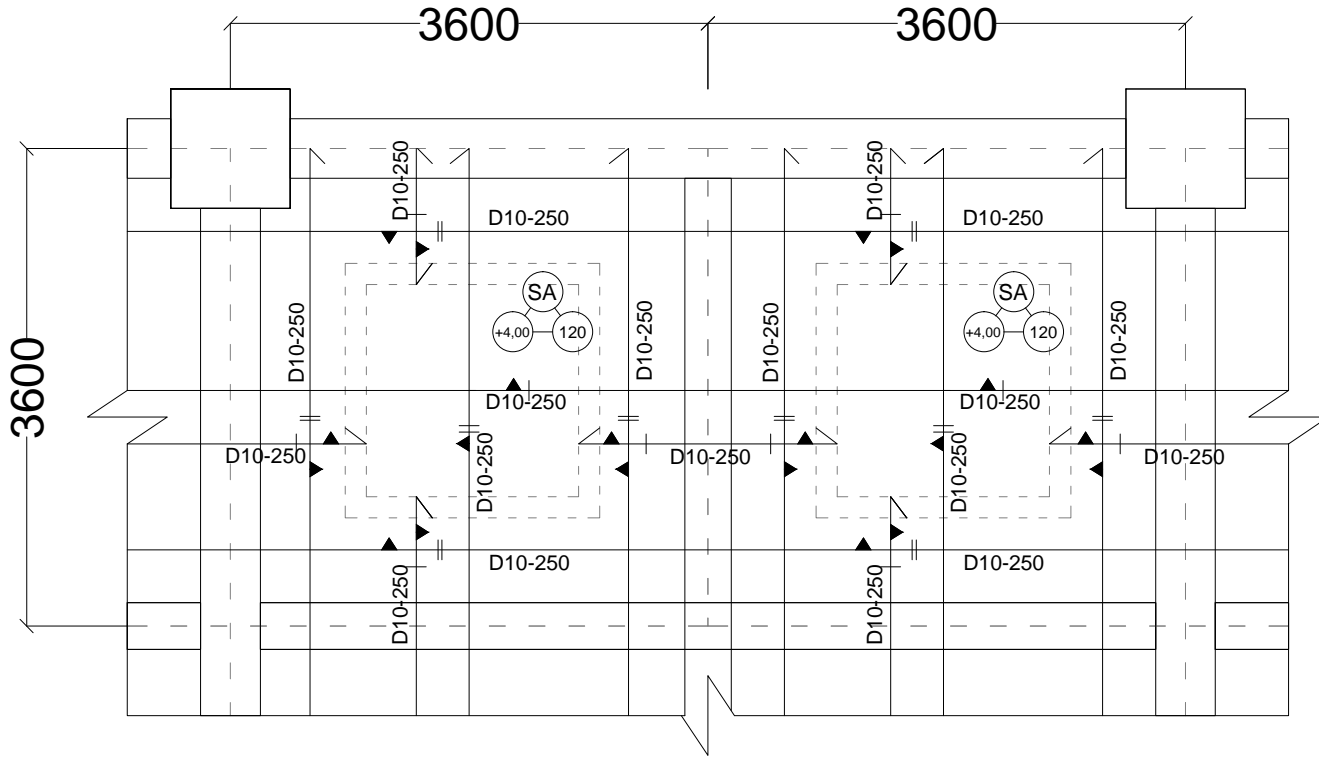
JUMLAH LEMBAR

44



NOTE :		
$f'_c$	: 40 MPa	
$f_y$	: 420 MPa	
T. Selimut	: 20 mm	

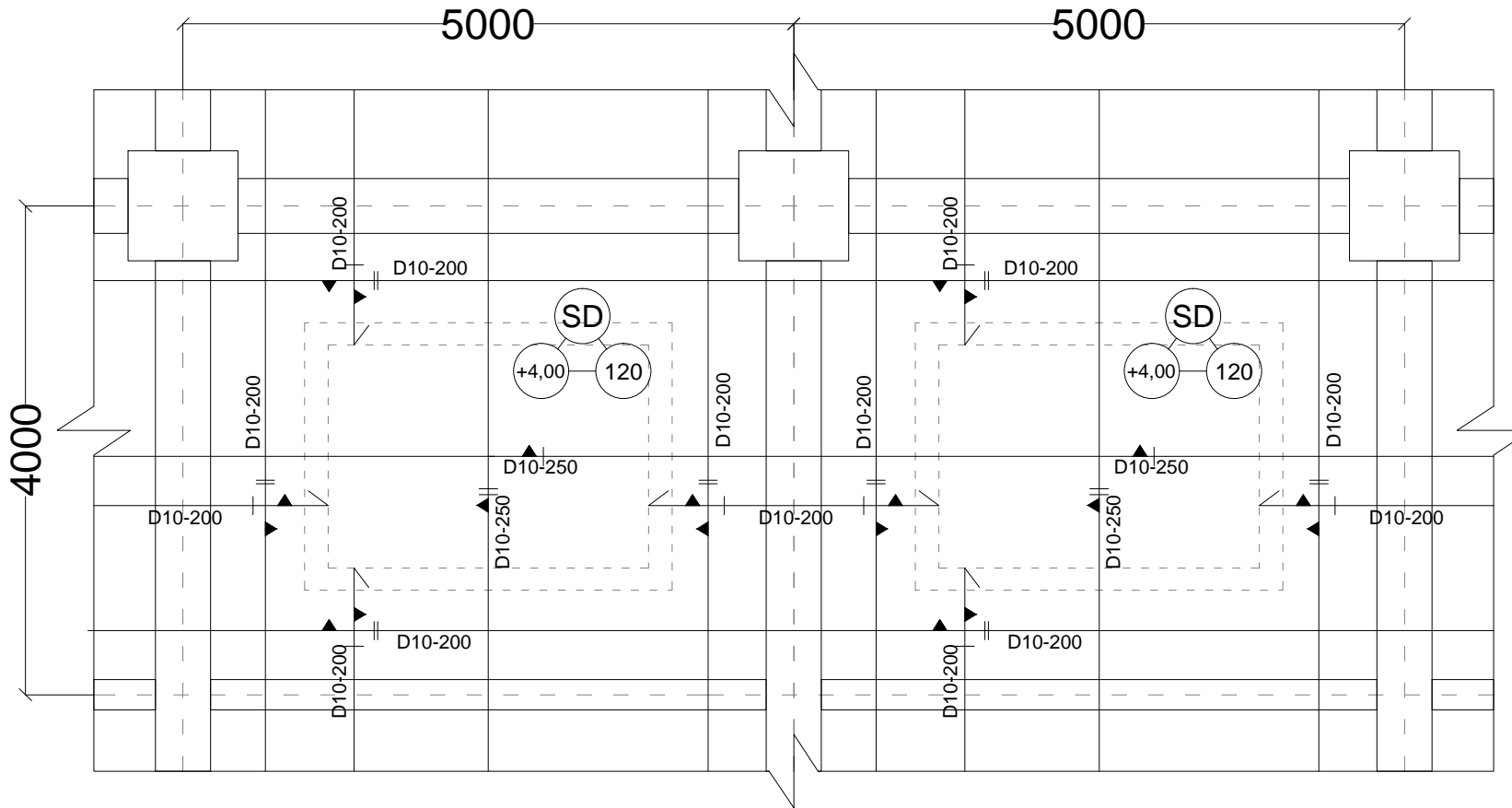
DEPARTEMEN TEKNIK SIPIL	JUDUL TUGAS AKHIR	DOSEN KONSULTASI	NAMA MAHASISWA	NAMA GAMBAR	SKALA	NO LEMBAR	JUMLAH LEMBAR
DEPARTEMEN TEKNIK SIPIL FAKULTAS TEKNIK SIPIL, LINGKUNGAN DAN KEBUMIAN INSTITUT TEKNOLOGI SEPULUH NOPEMBER SURABAYA 2020	JUDUL TUGAS AKHIR DESAIN MODIFIKASI STRUKTUR GEDUNG FAKULTAS KEDOKTERAN UNIVERSITAS UDAYANA MENGGUNAKAN SISTEM BALOK PRATEGANG PADA LANTAI ATAP DAN SISTEM GANDA	DOSEN KONSULTASI Dr. CANDRA IRAWAN, ST, MT Prof. Dr. Ir. I GUSTI PUTU RAKA, DEA	NAMA MAHASISWA MADE SIDHARTA PURNAMA P (03111640000118)	NAMA GAMBAR DETAIL PENULANGAN TANGGA	1 : 10	16	44



PENULANGAN PELAT LANTAI 2 ARAH TEPI  
SKALA 1:40

NOTE :		
$f'_c$	: 40 MPa	
$f_y$	: 420 MPa	
T. Selimut	: 20 mm	

DEPARTEMEN TEKNIK SIPIL FAKULTAS TEKNIK SIPIL, PERENCANAAN DAN KEBUMIAN INSTITUT TEKNOLOGI SEPULUH NOPEMBER SURABAYA 2020	JUDUL TUGAS AKHIR DESAIN MODIFIKASI STRUKTUR GEDUNG FAKULTAS KEDOKTERAN UNIVERSITAS UDAYANA MENGUNAKAN SISTEM BALOK PRATEGANG PADA LANTAI ATAP DAN SISTEM GANDA	DOSEN KONSULTASI Dr. CANDRA IRAWAN, ST, MT Prof. Dr. Ir. I GUSTI PUTU RAKA, DEA	NAMA MAHASISWA MADE SIDHARTA PURNAMA P (03111640000118)	NAMA GAMBAR PENULANGAN PELAT LANTAI 2 ARAH TEPI	SKALA 1 : 40	NO LEMBAR 17	JUMLAH LEMBAR 44
---	---	---	---	---	-----------------	-----------------	---------------------

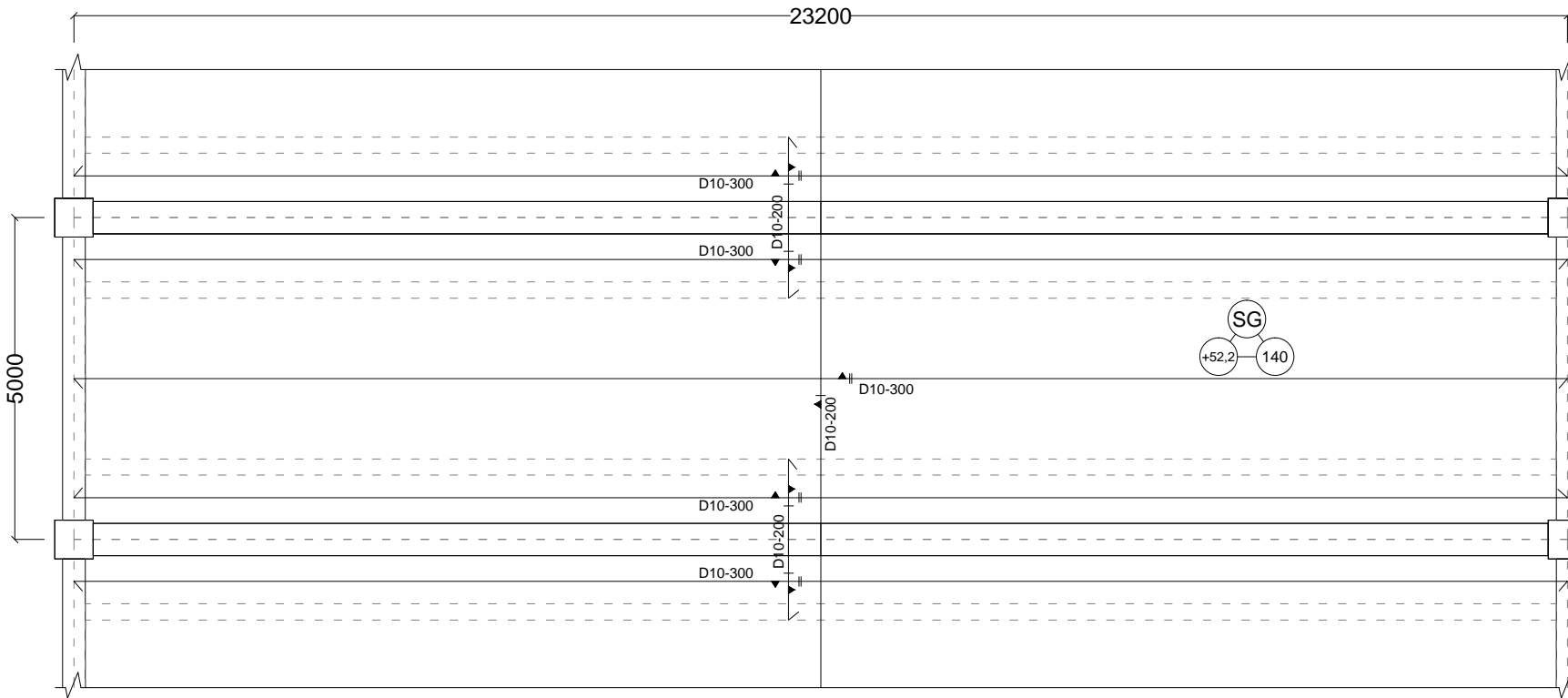


PENULANGAN PELAT LANTAI 2 ARAH TENGAH

SKALA 1:40

NOTE :		
$f'_c$	: 40 MPa	
$f_y$	: 420 MPa	
T. Selimut	: 20 mm	

DEPARTEMEN TEKNIK SIPIL FAKULTAS TEKNIK SIPIL, PERENCANAAN DAN KEBUMIAN INSTITUT TEKNOLOGI SEPULUH NOPEMBER SURABAYA 2020	JUDUL TUGAS AKHIR DESAIN MODIFIKASI STRUKTUR GEDUNG FAKULTAS KEDOKTERAN UNIVERSITAS UDAYANA MENGGUNAKAN SISTEM BALOK PRATEGANG PADA LANTAI ATAP DAN SISTEM GANDA	DOSEN KONSULTASI Dr. CANDRA IRAWAN, ST, MT Prof. Dr. Ir. I GUSTI PUTU RAKA, DEA	NAMA MAHASISWA MADE SIDHARTA PURNAMA P (03111640000118)	NAMA GAMBAR PENULANGAN PELAT LANTAI 2 ARAH TENGAH	SKALA 1 : 40	NO LEMBAR 18	JUMLAH LEMBAR 44
---	--	---	---	---	-----------------	-----------------	---------------------

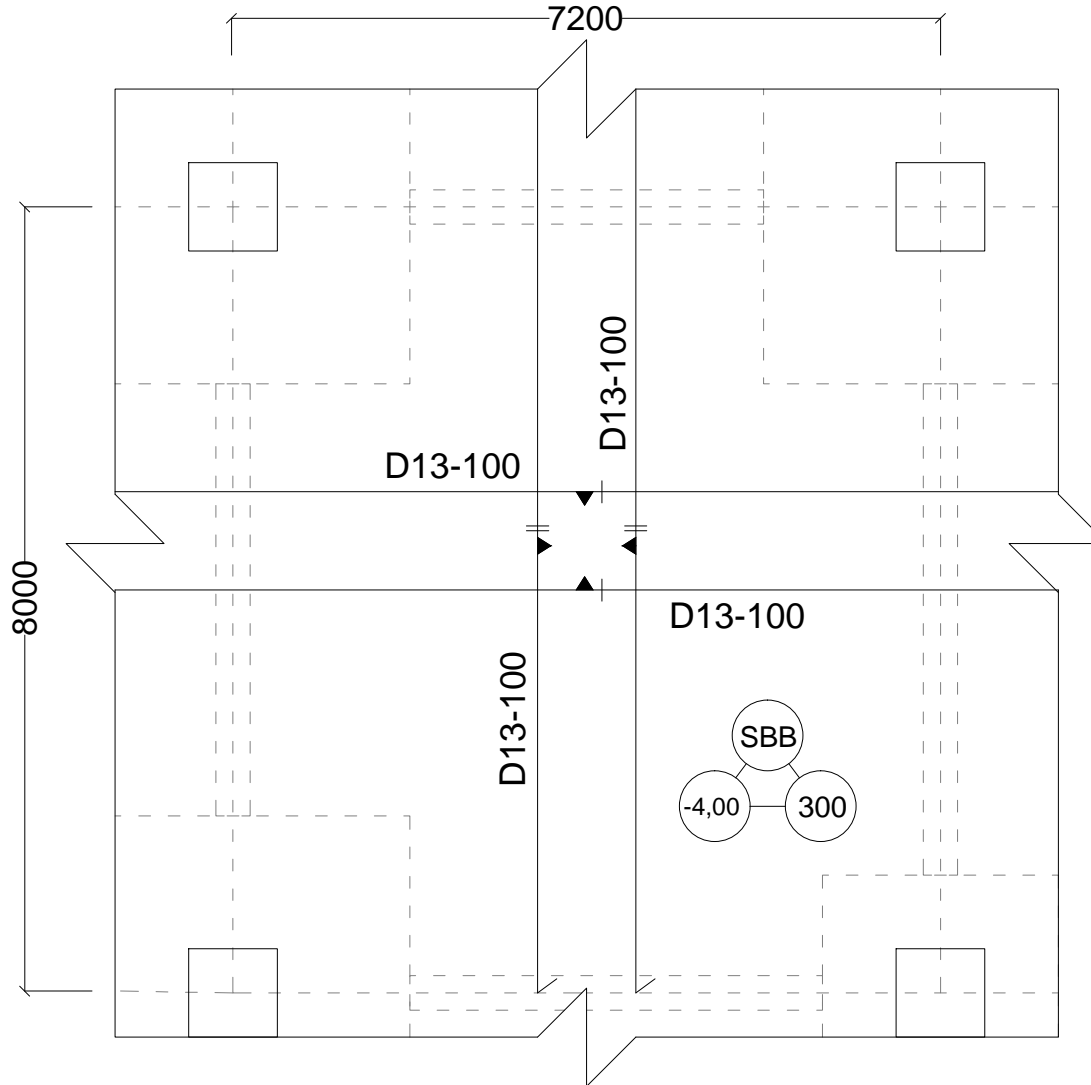


### PENULANGAN PELAT ATAP 1 ARAH

SKALA 1:75

NOTE :		
f'c	: 45 MPa	
f <sub>y</sub>	: 420 MPa	
T. Selimut	: 20 mm	

DEPARTEMEN TEKNIK SIPIL FAKULTAS TEKNIK SIPIL, PERENCANAAN DAN KEBUMIAN INSTITUT TEKNOLOGI SEPULUH NOPEMBER SURABAYA 2020	JUDUL TUGAS AKHIR DESAIN MODIFIKASI STRUKTUR GEDUNG FAKULTAS KEDOKTERAN UNIVERSITAS UDAYANA MENGUNAKAN SISTEM BALOK PRATEGANG PADA LANTAI ATAP DAN SISTEM GANDA	DOSEN KONSULTASI Dr. CANDRA IRAWAN, ST, MT Prof. Dr. Ir. I GUSTI PUTU RAKA, DEA	NAMA MAHASISWA MADE SIDHARTA PURNAMA P (03111640000118)	NAMA GAMBAR PENULANGAN PELAT ATAP 1 ARAH	SKALA 1 : 75	NO LEMBAR 19	JUMLAH LEMBAR 44
---	---	---	---	--	-----------------	-----------------	---------------------

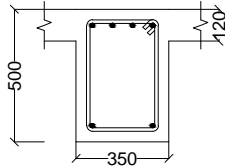
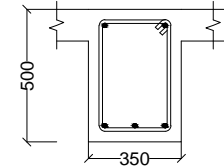
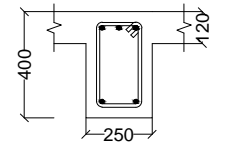
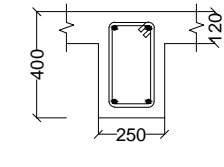
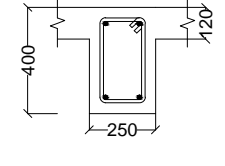
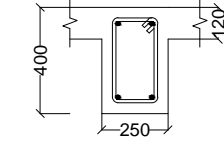
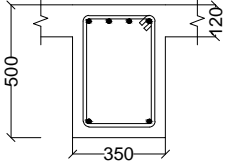
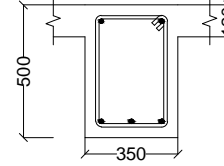


## PENULANGAN PELAT BASEMENT

SKALA 1:50

NOTE :		
$f'_c$	: 40 MPa	
$f_y$	: 420 MPa	
T. Selimut	: 40 mm	



TYPE	BA1		TYPE	BA2	
DIMENSI bxh (mm)	350 x 500		DIMENSI bxh (mm)	250 x 400	
POSISI	TUMPUAN	LAPANGAN	POSISI	TUMPUAN	LAPANGAN
POTONGAN			POTONGAN		
TUL. ATAS	4D16	2D16	TUL. ATAS	3D16	2D16
TUL. BAWAH	2D16	3D16	TUL. BAWAH	2D16	2D16
SENGKANG	2D13-100	2D13-150	SENGKANG	2D13-100	2D13-150
TYPE	BA3		TYPE	BA4	
DIMENSI bxh (mm)	250 x 400		DIMENSI bxh (mm)	300 x 500	
POSISI	TUMPUAN	LAPANGAN	POSISI	TUMPUAN	LAPANGAN
POTONGAN			POTONGAN		
TUL. ATAS	2D16	2D16	TUL. ATAS	4D16	2D16
TUL. BAWAH	2D16	2D16	TUL. BAWAH	2D16	3D16
SENGKANG	2D13-100	2D13-150	SENGKANG	2D13-100	2D13-150



PENULANGAN BALOK ANAK

SKALA 1:20

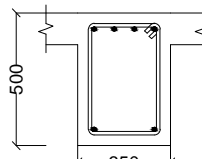
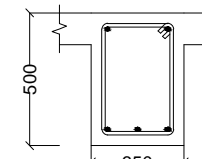
NOTE :

f'c : 40 MPa

fy : 420 MPa

T. Selimut : 40 mm

DEPARTEMEN TEKNIK SIPIL FAKULTAS TEKNIK SIPIL, PERENCANAAN DAN KEBUMIAN INSTITUT TEKNOLOGI SEPULUH NOPEMBER SURABAYA 2020	JUDUL TUGAS AKHIR  DESAIN MODIFIKASI STRUKTUR GEDUNG FAKULTAS KEDOKTERAN UNIVERSITAS UDAYANA MENGUNAKAN SISTEM BALOK PRATEGANG PADA LANTAI ATAP DAN SISTEM GANDA	DOSEN KONSULTASI  Dr. CANDRA IRAWAN, ST, MT Prof. Dr. Ir. I GUSTI PUTU RAKA, DEA	NAMA MAHASISWA  MADE SIDHARTA PURNAMA P (03111640000118)	NAMA GAMBAR  PENULANGAN BALOK ANAK	SKALA  1 : 20	NO LEMBAR  21	JUMLAH LEMBAR  44
---	---	---	---	--	---------------------	---------------------	-------------------------

TYPE	BA5	
DIMENSI b x h (mm)	300 x 500	
POSISI	TUMPUAN	LAPANGAN
POTONGAN		
TUL. ATAS	4D16	2D16
TUL. BAWAH	2D16	3D16
SENGKANG	2D13-100	2D13-150



PENULANGAN BALOK ANAK

SKALA 1:20

NOTE :
f'c : 40 MPa
fy : 420 MPa
T. Selimut : 40 mm

DEPARTEMEN TEKNIK SIPIL FAKULTAS TEKNIK SIPIL, PERENCANAAN DAN KEBUMIAN INSTITUT TEKNOLOGI SEPULUH NOPEMBER SURABAYA 2020	JUDUL TUGAS AKHIR DESAIN MODIFIKASI STRUKTUR GEDUNG FAKULTAS KEDOKTERAN UNIVERSITAS UDAYANA MENGUNAKAN SISTEM BALOK PRATEGANG PADA LANTAI ATAP DAN SISTEM GANDA	DOSEN KONSULTASI Dr. CANDRA IRAWAN, ST, MT Prof. Dr. Ir. I GUSTI PUTU RAKA, DEA	NAMA MAHASISWA MADE SIDHARTA PURNAMA P (03111640000118)	NAMA GAMBAR PENULANGAN BALOK ANAK	SKALA 1 : 20	NO LEMBAR <b>22</b>	JUMLAH LEMBAR <b>44</b>
---	---	---	---	--------------------------------------	-----------------	------------------------	----------------------------

TYPE	BI1		TYPE	BI2	
DIMENSI bxh (mm)	450 x 650		DIMENSI bxh (mm)	350 x 500	
POSISI	TUMPUAN	LAPANGAN	POSISI	TUMPUAN	LAPANGAN
POTONGAN			POTONGAN		
TUL. ATAS	6D25	3D25	TUL. ATAS	5D25	2D25
TUL. BAWAH	4D25	3D25	TUL. BAWAH	3D25	2D25
TUL. PINGGANG	2D25	2D25	TUL. PINGGANG	2D25	2D25
SENGKANG	3D13-100	3D13-150	SENGKANG	2D13-100	2D13-150
TYPE	BI3		TYPE	BI4	
DIMENSI bxh (mm)	350 x 500		DIMENSI bxh (mm)	450 x 650	
POSISI	TUMPUAN	LAPANGAN	POSISI	TUMPUAN	LAPANGAN
POTONGAN			POTONGAN		
TUL. ATAS	5D25	2D25	TUL. ATAS	7D25	3D25
TUL. BAWAH	3D25	2D25	TUL. BAWAH	5D25	3D25
TUL. PINGGANG	2D25	2D25	TUL. PINGGANG	2D25	2D25
SENGKANG	2D13-100	2D13-150	SENGKANG	3D13-100	3D13-150

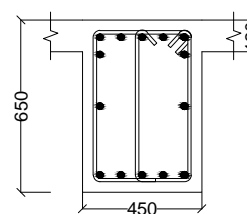
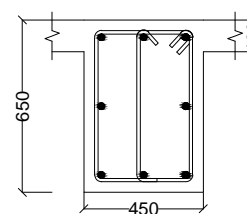
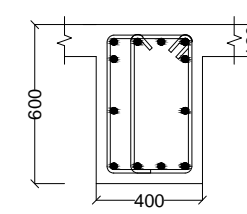
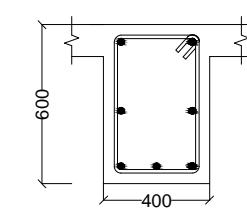


### PENULANGAN BALOK INDUK LANTAI 1-14

SKALA 1:20

NOTE :
$f'_c$ : 40 MPa
$f_y$ : 420 MPa
T. Selimut : 40 mm

DEPARTEMEN TEKNIK SIPIL FAKULTAS TEKNIK SIPIL, PERENCANAAN DAN KEBUMIAN INSTITUT TEKNOLOGI SEPULUH NOPEMBER SURABAYA 2020	JUDUL TUGAS AKHIR DESAIN MODIFIKASI STRUKTUR GEDUNG FAKULTAS KEDOKTERAN UNIVERSITAS UDAYANA MENGUNAKAN SISTEM BALOK PRATEGANG PADA LANTAI ATAP DAN SISTEM GANDA	DOSEN KONSULTASI Dr. CANDRA IRAWAN, ST, MT Prof. Dr. Ir. I GUSTI PUTU RAKA, DEA	NAMA MAHASISWA MADE SIDHARTA PURNAMA P (03111640000118)	NAMA GAMBAR PENULANGAN BALOK INDUK LANTAI 1-14	SKALA 1 : 20	NO LEMBAR <b>23</b>	JUMLAH LEMBAR <b>44</b>
---	---	---	---	--	-----------------	------------------------	----------------------------

TYPE	BI5		TYPE	BI6	
DIMENSI b x h (mm)	450 x 650		DIMENSI b x h (mm)	400 / 600	
POSISI	TUMPUAN	LAPANGAN	POSISI	TUMPUAN	LAPANGAN
POTONGAN			POTONGAN		
TUL. ATAS	7D25	3D25	TUL. ATAS	6D25	2D25
TUL. BAWAH	5D25	3D25	TUL. BAWAH	4D25	3D25
TUL. PINGGANG	2D25	2D25	TUL. PINGGANG	2D25	2D25
SENGKANG	3D13-100	3D13-150	SENGKANG	3D13-100	2D13-150

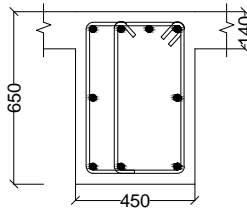
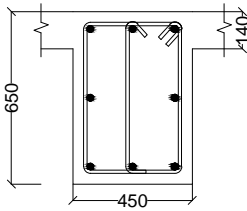
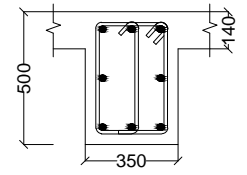
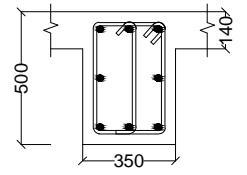
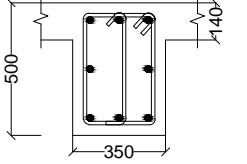
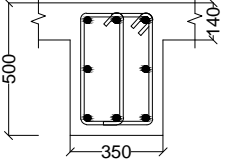
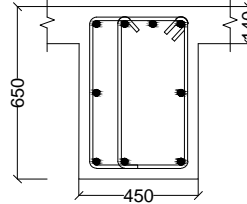
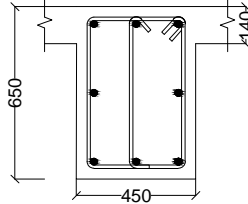


PENULANGAN BALOK INDUK LANTAI 1-14

SKALA 1:20

NOTE :
f'c : 40 MPa
f <sub>y</sub> : 420 MPa
T. Selimut : 40 mm

DEPARTEMEN TEKNIK SIPIL FAKULTAS TEKNIK SIPIL, PERENCANAAN DAN KEBUMIAN INSTITUT TEKNOLOGI SEPULUH NOPEMBER SURABAYA 2020	JUDUL TUGAS AKHIR DESAIN MODIFIKASI STRUKTUR GEDUNG FAKULTAS KEDOKTERAN UNIVERSITAS UDAYANA MENGUNAKAN SISTEM BALOK PRATEGANG PADA LANTAI ATAP DAN SISTEM GANDA	DOSEN KONSULTASI Dr. CANDRA IRAWAN, ST, MT Prof. Dr. Ir. I GUSTI PUTU RAKA, DEA	NAMA MAHASISWA MADE SIDHARTA PURNAMA P (03111640000118)	NAMA GAMBAR PENULANGAN BALOK INDUK LANTAI 1-14	SKALA 1 : 20	NO LEMBAR <b>24</b>	JUMLAH LEMBAR <b>44</b>
---	---	---	---	--	-----------------	------------------------	----------------------------

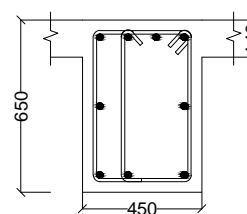
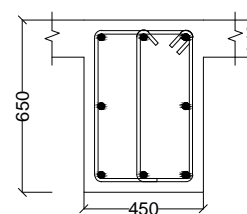
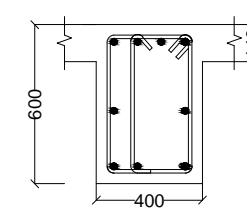
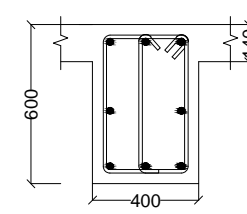
TYPE	BIA1		TYPE	BIA2	
DIMENSI b x h (mm)	450 x 650		DIMENSI b x h (mm)	350 x 500	
POSISI	TUMPUAN	LAPANGAN	POSISI	TUMPUAN	LAPANGAN
POTONGAN			POTONGAN		
TUL. ATAS	4D25	3D25	TUL. ATAS	3D25	3D25
TUL. BAWAH	3D25	3D25	TUL. BAWAH	3D25	3D25
TUL. PINGGANG	2D25	2D25	TUL. PINGGANG	2D25	2D25
SENGKANG	3D13-100	3D13-150	SENGKANG	3D13-100	3D13-150
TYPE	BIA3		TYPE	BIA4	
DIMENSI b x h (mm)	350 x 500		DIMENSI b x h (mm)	450 x 650	
POSISI	TUMPUAN	LAPANGAN	POSISI	TUMPUAN	LAPANGAN
POTONGAN			POTONGAN		
TUL. ATAS	3D25	3D25	TUL. ATAS	4D25	3D25
TUL. BAWAH	3D25	3D25	TUL. BAWAH	3D25	3D25
TUL. PINGGANG	2D25	2D25	TUL. PINGGANG	2D25	2D25
SENGKANG	3D13-100	3D13-150	SENGKANG	3D13-100	3D13-150



**PENULANGAN BALOK INDUK LANTAI ATAP**  
SKALA 1:20

NOTE :		
$f'_c$	: 40 MPa	
$f_y$	: 420 MPa	
T. Selimut : 40 mm		

DEPARTEMEN TEKNIK SIPIL FAKULTAS TEKNIK SIPIL, PERENCANAAN DAN KEBUMIAN INSTITUT TEKNOLOGI SEPULUH NOPEMBER SURABAYA 2020	JUDUL TUGAS AKHIR	DOSEN KONSULTASI	NAMA MAHASISWA	NAMA GAMBAR	SKALA	NO LEMBAR	JUMLAH LEMBAR
	DESAIN MODIFIKASI STRUKTUR GEDUNG FAKULTAS KEDOKTERAN UNIVERSITAS UDAYANA MENGUNAKAN SISTEM BALOK PRATEGANG PADA LANTAI ATAP DAN SISTEM GANDA	Dr. CANDRA IRAWAN, ST, MT Prof. Dr. Ir. I GUSTI PUTU RAKA, DEA	MADE SIDHARTA PURNAMA P (0311640000118)	PENULANGAN BALOK INDUK LANTAI ATAP	1 : 20	25	44

TYPE	BIA5		TYPE	BIA6	
DIMENSI b x h (mm)	450 x 650		DIMENSI b x h (mm)	400 / 600	
POSISI	TUMPUAN	LAPANGAN	POSISI	TUMPUAN	LAPANGAN
POTONGAN			POTONGAN		
TUL. ATAS	4D25	3D25	TUL. ATAS	4D25	3D25
TUL. BAWAH	3D25	3D25	TUL. BAWAH	3D25	3D25
TUL. PINGGANG	2D25	2D25	TUL. PINGGANG	2D25	2D25
SENGKANG	3D13-100	3D13-150	SENGKANG	3D13-100	3D13-150



### PENULANGAN BALOK INDUK LANTAI ATAP

SKALA 1:20

NOTE :
f'c : 40 MPa
f <sub>y</sub> : 420 MPa
T. Selimut : 40 mm

DEPARTEMEN TEKNIK SIPIL FAKULTAS TEKNIK SIPIL, PERENCANAAN DAN KEBUMIAN INSTITUT TEKNOLOGI SEPULUH NOPEMBER SURABAYA 2020	JUDUL TUGAS AKHIR DESAIN MODIFIKASI STRUKTUR GEDUNG FAKULTAS KEDOKTERAN UNIVERSITAS UDAYANA MENGUNAKAN SISTEM BALOK PRATEGANG PADA LANTAI ATAP DAN SISTEM GANDA	DOSEN KONSULTASI Dr. CANDRA IRawan, ST, MT Prof. Dr. Ir. I Gusti Putu Raka, DEA	NAMA MAHASISWA MADE SIDHARTA PURNAMA P (03111640000118)	NAMA GAMBAR PENULANGAN BALOK INDUK LANTAI ATAP	SKALA 1 : 20	NO LEMBAR <b>26</b>	JUMLAH LEMBAR <b>44</b>
---	---	---	---	--	-----------------	------------------------	----------------------------

TYPE	K1 (900 X 900)	TYPE	K2 (750 X 750)
LT. BASEMENT - 4		LT. 5-9	
TULANGAN	16D29	TULANGAN	16D29
SENGKANG	4D16-100/150	SENGKANG	4D16-100/150
TYPE	K3 (600 X 600)	TYPE	K4 (600 X 600)
LT. 10-13		LT. 14	
TULANGAN	16D29	TULANGAN	20D29
SENGKANG	4D16-100/150	SENGKANG	4D16-100/150

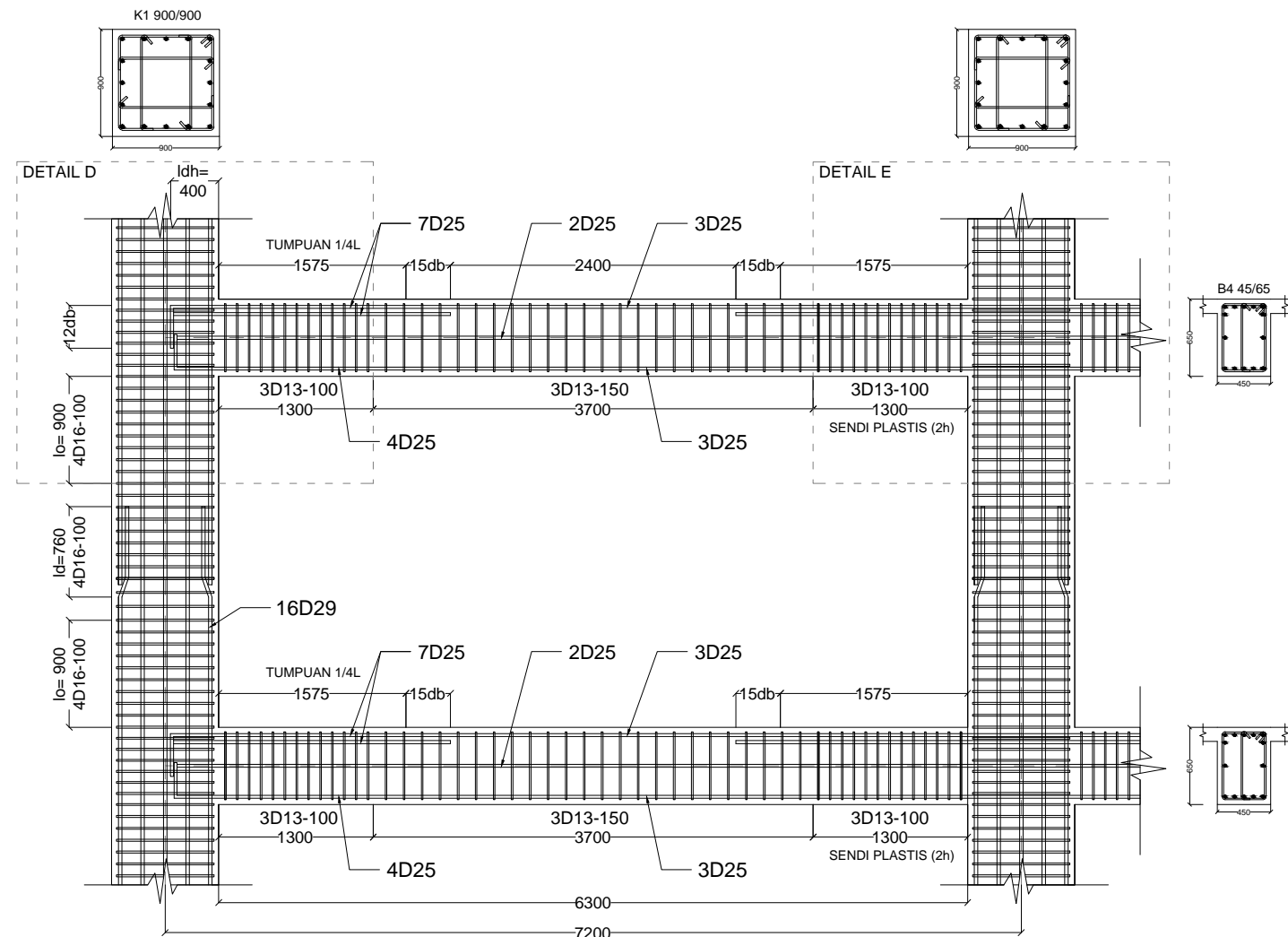


PENULANGAN KOLOM

SKALA 1:20

NOTE :	
f'c	: 40 MPa
f <sub>y</sub>	: 420 MPa
T. Selimut	: 50 mm

DEPARTEMEN TEKNIK SIPIL FAKULTAS TEKNIK SIPIL, PERENCANAAN DAN KEBUMIAN INSTITUT TEKNOLOGI SEPULUH NOPEMBER SURABAYA 2020	JUDUL TUGAS AKHIR  DESAIN MODIFIKASI STRUKTUR GEDUNG FAKULTAS KEDOKTERAN UNIVERSITAS UDAYANA MENGUNAKAN SISTEM BALOK PRATEGANG PADA LANTAI ATAP DAN SISTEM GANDA	DOSEN KONSULTASI  Dr. CANDRA IRAWAN, ST, MT Prof. Dr. Ir. I GUSTI PUTU RAKA, DEA	NAMA MAHASISWA  MADE SIDHARTA PURNAMA P (03111640000118)	NAMA GAMBAR  PENULANGAN KOLOM	SKALA  1 : 20	NO LEMBAR  <b>27</b>	JUMLAH LEMBAR  <b>44</b>
---	---	---	---	-------------------------------------	---------------------	----------------------------	--------------------------------



HUBUNGAN BALOK KOLOM

SKALA 1:40



DEPARTEMEN TEKNIK SIPIL  
FAKULTAS TEKNIK SIPIL, PERENCANAAN DAN KEBUMIAN  
INSTITUT TEKNOLOGI SEPULUH NOPEMBER  
SURABAYA  
2020

JUDUL TUGAS AKHIR

DESAIN MODIFIKASI STRUKTUR GEDUNG  
FAKULTAS KEDOKTERAN UNIVERSITAS UDAYANA  
MENGUNAKAN SISTEM BALOK PRATEGANG PADA  
LANTAI ATAP DAN SISTEM GANDA

DOSEN KONSULTASI

Dr. CANDRA IRAWAN, ST, MT  
Prof. Dr. Ir. I GUSTI PUTU RAKA, DEA

NAMA MAHASISWA

MADE SIDHARTA PURNAMA P  
(0311640000118)

NAMA GAMBAR

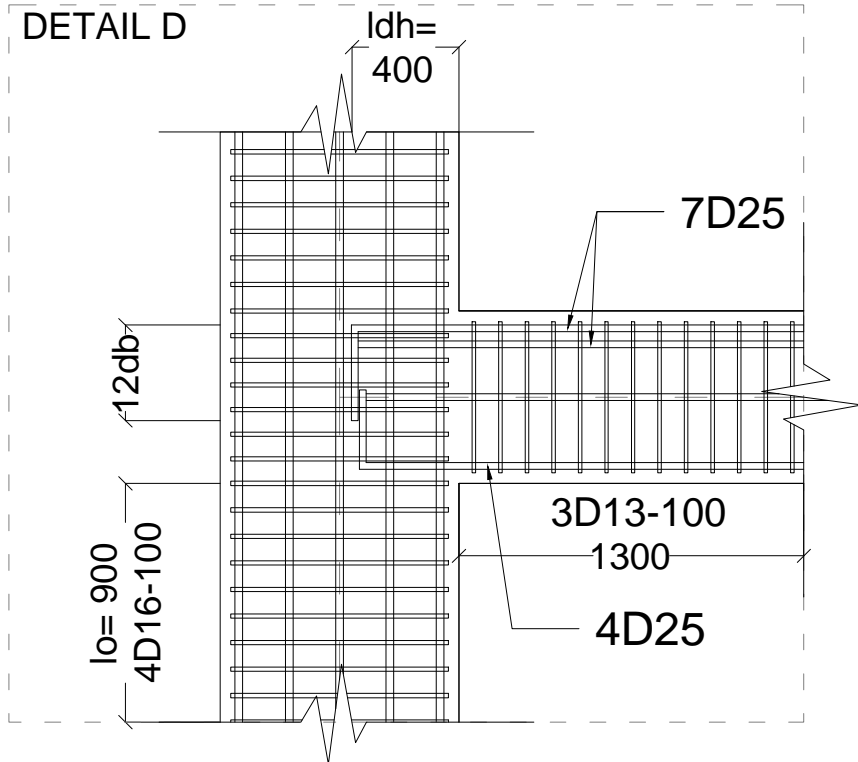
HUBUNGAN BALOK  
KOLOM

SKALA

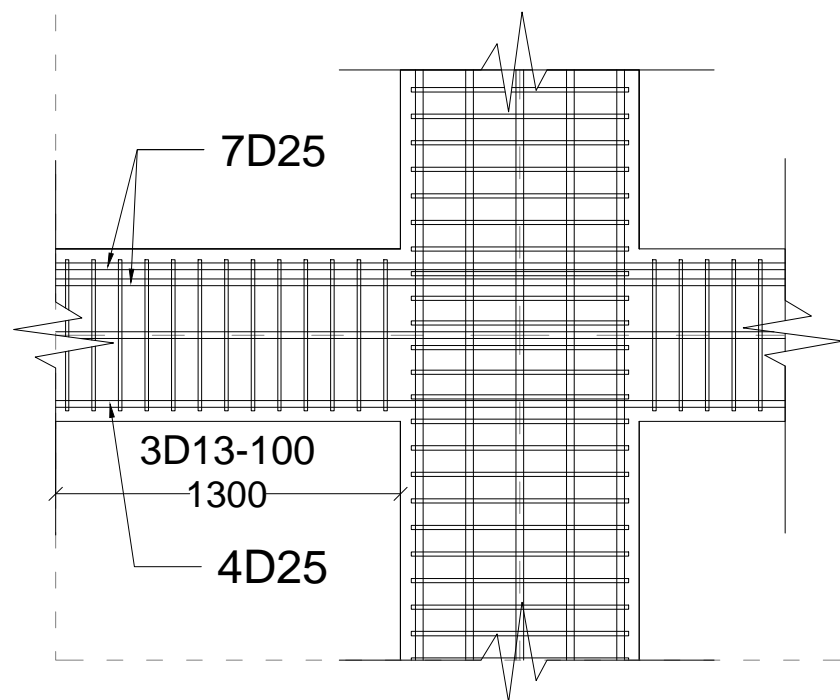
1 : 40

**28**

**44**

**DETAIL D****DETAIL D**

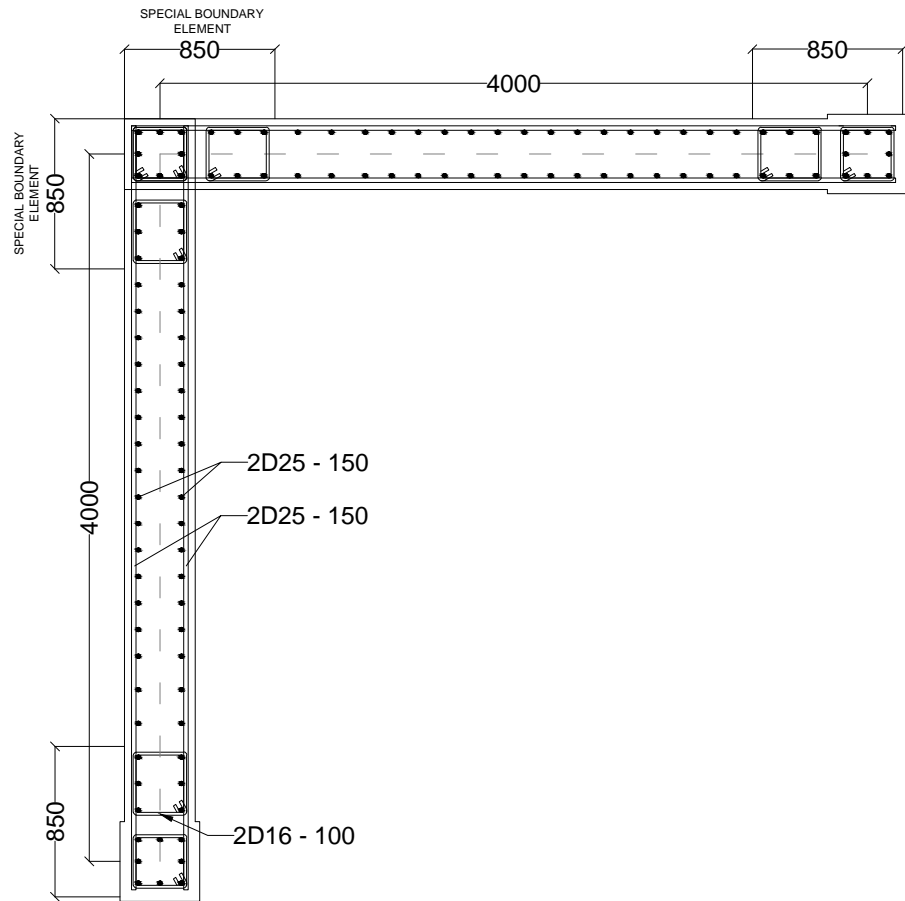
SKALA 1:20

**DETAIL E****DETAIL E**

SKALA 1:20

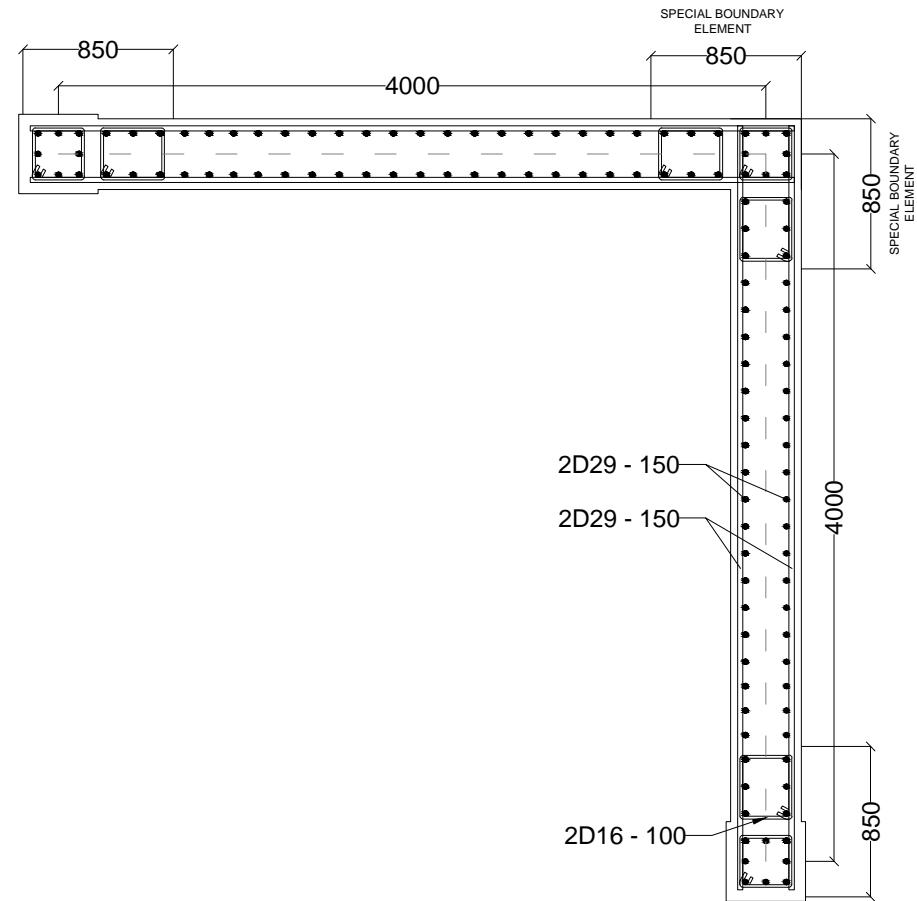


DEPARTEMEN TEKNIK SIPIL	JUDUL TUGAS AKHIR	DOSEN KONSULTASI	NAMA MAHASISWA	NAMA GAMBAR	SKALA	NO LEMBAR	JUMLAH LEMBAR
FAKULTAS TEKNIK SIPIL, PERENCANAAN DAN KEBUMIAN INSTITUT TEKNOLOGI SEPULUH NOPEMBER SURABAYA 2020	DESAIN MODIFIKASI STRUKTUR GEDUNG FAKULTAS KEDOKTERAN UNIVERSITAS UDAYANA MENGUNAKAN SISTEM BALOK PRATEGANG PADA LANTAI ATAP DAN SISTEM GANDA	Dr. CANDRA IRAWAN, ST, MT Prof. Dr. Ir. I GUSTI PUTU RAKA, DEA	MADE SIDHARTA PURNAMA P (03111640000118)	DETAIL HUBUNGAN BALOK KOLOM	1 : 20	<b>29</b>	<b>44</b>



PENULANGAN DINDING GESER DG 1

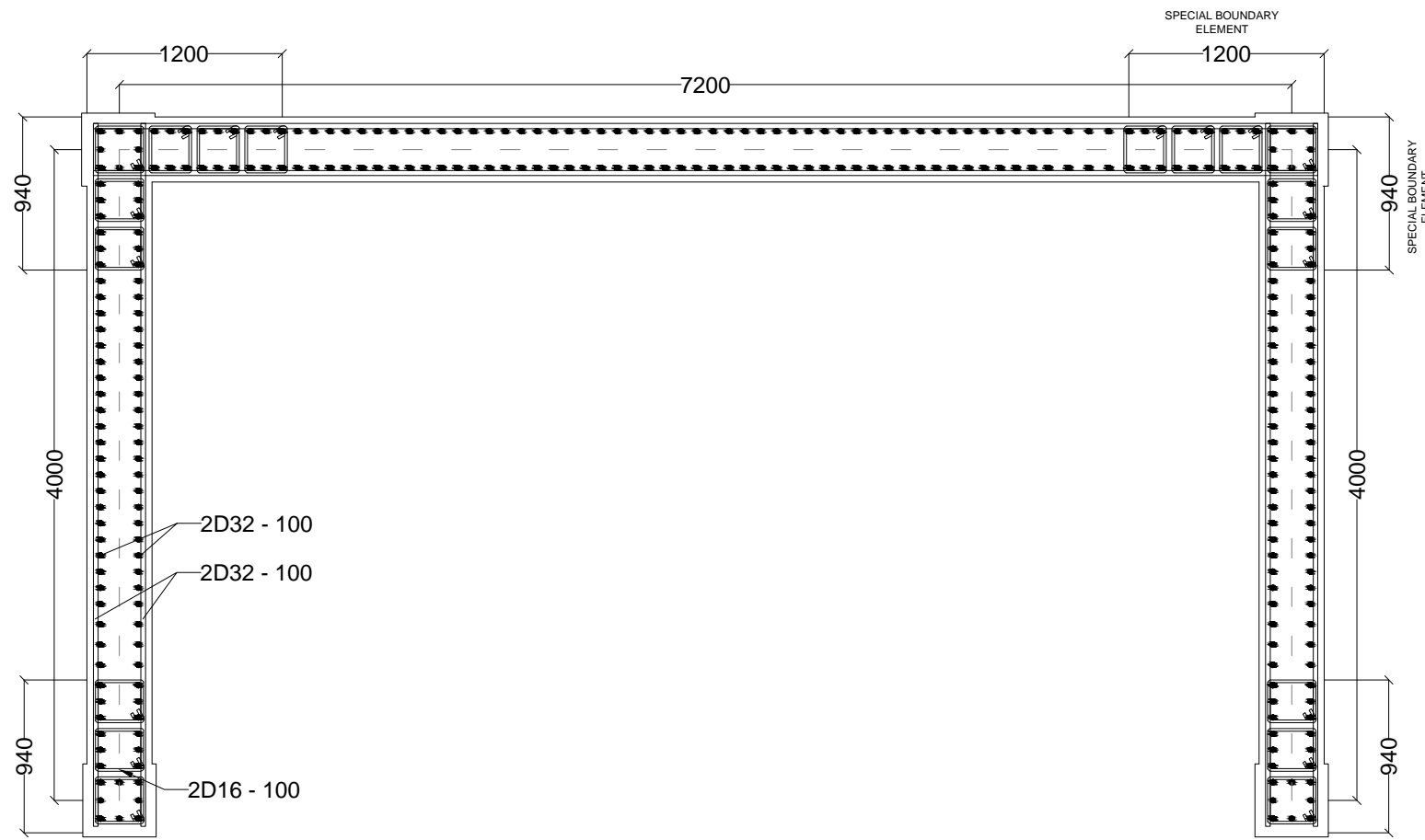
SKALA 1:30



PENULANGAN DINDING GESER DG 3

SKALA 1:30

DEPARTEMEN TEKNIK SIPIL FAKULTAS TEKNIK SIPIL, PERENCANAAN DAN KEBUMIAN INSTITUT TEKNOLOGI SEPULUH NOPEMBER SURABAYA 2020	JUDUL TUGAS AKHIR DESAIN MODIFIKASI STRUKTUR GEDUNG FAKULTAS KEDOKTERAN UNIVERSITAS UDAYANA MENGUNAKAN SISTEM BALOK PRATEGANG PADA LANTAI ATAP DAN SISTEM GANDA	DOSEN KONSULTASI Dr. CANDRA IRAWAN, ST, MT Prof. Dr. Ir. I GUSTI PUTU RAKA, DEA	NAMA MAHASISWA MADE SIDHARTA PURNAMA P (03111640000118)	NAMA GAMBAR PENULANGAN DINDING GESER TIPE DG1 DAN DG3	SKALA 1 : 30	NO LEMBAR <b>30</b>	JUMLAH LEMBAR <b>44</b>
---	---	---	---	--	-----------------	------------------------	----------------------------



PENULANGAN DINDING GESEN DG 2  
SKALA 1:30



DEPARTEMEN TEKNIK SIPIL  
FAKULTAS TEKNIK SIPIL, PERENCANAAN DAN KEBUMIAN  
INSTITUT TEKNOLOGI SEPULUH NOPEMBER  
SURABAYA  
2020

JUDUL TUGAS AKHIR  
DESAIN MODIFIKASI STRUKTUR GEDUNG  
FAKULTAS KEDOKTERAN UNIVERSITAS UDAYANA  
MENGUNAKAN SISTEM BALOK PRATEGANG PADA  
LANTAI ATAP DAN SISTEM GANDA

DOSEN KONSULTASI  
Dr. CANDRA IRAWAN, ST, MT  
Prof. Dr. Ir. I GUSTI PUTU RAKA, DEA

NAMA MAHASISWA  
MADE SIDHARTA PURNAMA P  
(03111640000118)

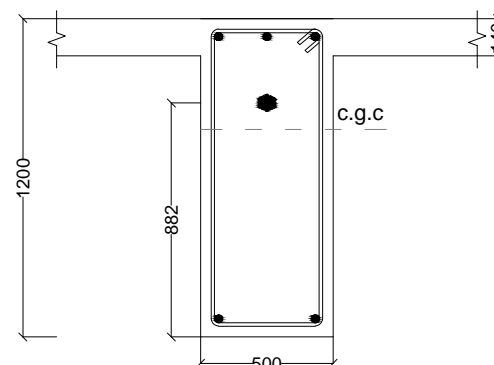
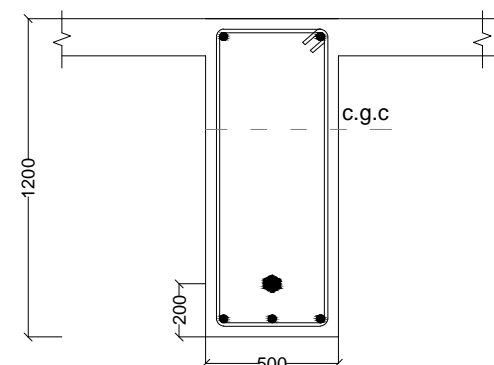
NAMA GAMBAR  
PENULANGAN DINDING  
GESEN TIPE DG2

SKALA  
1 : 30

**31**

**44**

DEPARTEMEN TEKNIK SIPIL	JUDUL TUGAS AKHIR	DOSEN KONSULTASI	NAMA MAHASISWA	NAMA GAMBAR	SKALA	NO LEMBAR	JUMLAH LEMBAR
FAKULTAS TEKNIK SIPIL, PERENCANAAN DAN KEBUMIAN INSTITUT TEKNOLOGI SEPULUH NOPEMBER SURABAYA 2020	DESAIN MODIFIKASI STRUKTUR GEDUNG FAKULTAS KEDOKTERAN UNIVERSITAS UDAYANA MENGUNAKAN SISTEM BALOK PRATEGANG PADA LANTAI ATAP DAN SISTEM GANDA	Dr. CANDRA IRAWAN, ST, MT Prof. Dr. Ir. I GUSTI PUTU RAKA, DEA	MADE SIDHARTA PURNAMA P (03111640000118)	PENULANGAN DINDING GESEN TIPE DG2	1 : 30	<b>31</b>	<b>44</b>

TYPE		BALOK PRATEGANG	
DIMENSI b x h (mm)		500/1200	
POSISI	TUMPUAN	LAPANGAN	
POTONGAN			
TUL. ATAS	3D25	2D25	
TUL. BAWAH	2D25	3D25	
TENDON	TIPE 5-19	TIPE 5-19	
SENGKANG	2D13-150	2D13-200	

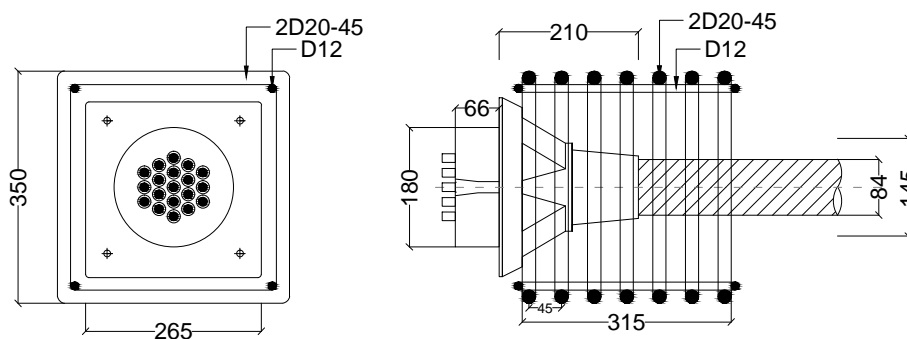


PENULANGAN BALOK PARTEGANG

SKALA 1:20

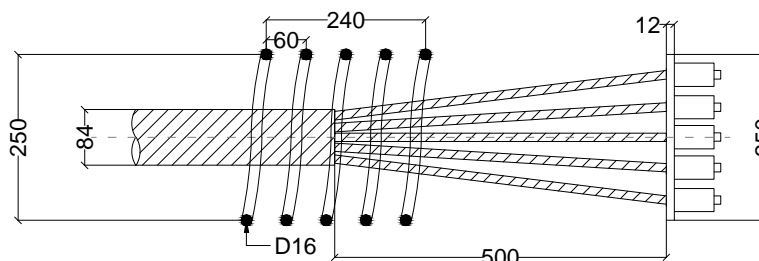
NOTE :
f'c : 45 MPa
f <sub>y</sub> : 420 MPa
T. Selimut : 40 mm

DEPARTEMEN TEKNIK SIPIL FAKULTAS TEKNIK SIPIL, PERENCANAAN DAN KEBUMIAN INSTITUT TEKNOLOGI SEPULUH NOPEMBER SURABAYA 2020	JUDUL TUGAS AKHIR DESAIN MODIFIKASI STRUKTUR GEDUNG FAKULTAS KEDOKTERAN UNIVERSITAS UDAYANA MENGUNAKAN SISTEM BALOK PRATEGANG PADA LANTAI ATAP DAN SISTEM GANDA	DOSEN KONSULTASI Dr. CANDRA IRAWAN, ST, MT Prof. Dr. Ir. I GUSTI PUTU RAKA, DEA	NAMA MAHASISWA MADE SIDHARTA PURNAMA P (03111640000118)	NAMA GAMBAR PENULANGAN BALOK PRATEKAN	SKALA 1 : 20	NO LEMBAR <b>32</b>	JUMLAH LEMBAR <b>44</b>
---	---	---	---	---	-----------------	------------------------	----------------------------



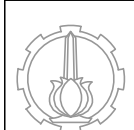
DETAIL VSL ANCHORAGE TYPE SC 5-19

SKALA 1:8

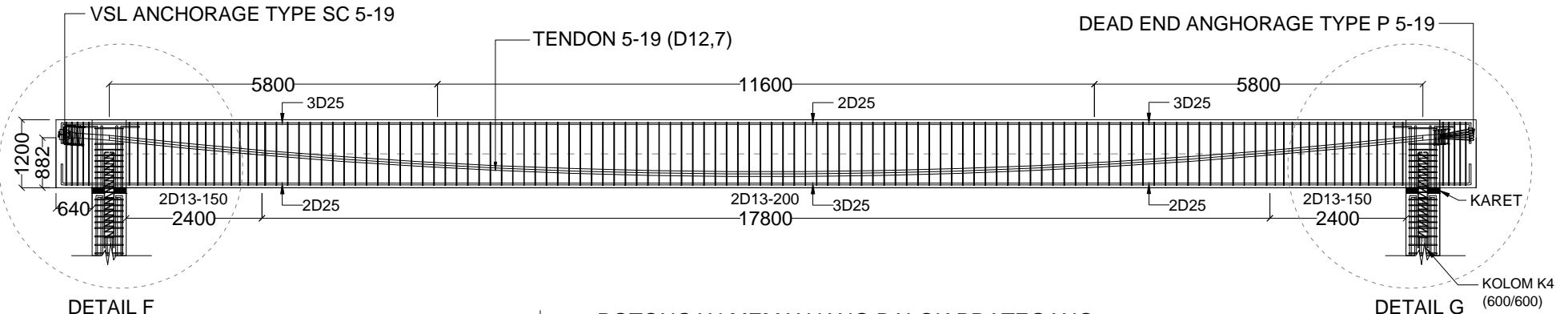


DETAIL DEAD END ANGHORAGE TYPE P 5-19

SKALA 1:8



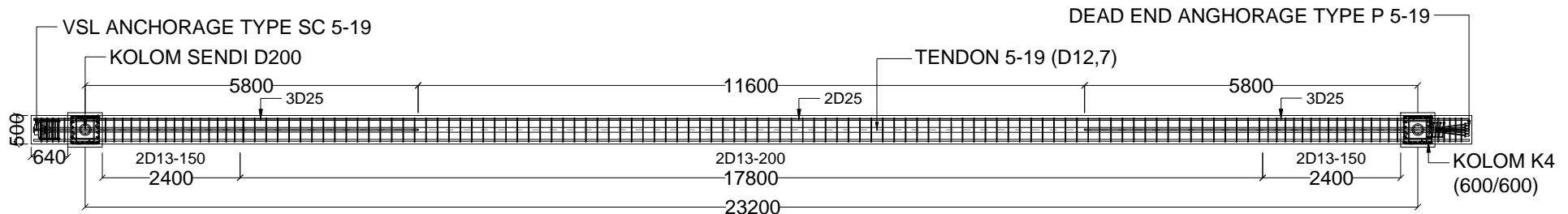
JUDUL TUGAS AKHIR	DOSEN KONSULTASI	NAMA MAHASISWA	NAMA GAMBAR	SKALA	NO LEMBAR	JUMLAH LEMBAR
DESAIN MODIFIKASI STRUKTUR GEDUNG FAKULTAS KEDOKTERAN UNIVERSITAS UDAYANA MENGUNAKAN SISTEM BALOK PRATEGANG PADA LANTAI ATAP DAN SISTEM GANDA	Dr. CANDRA IRAWAN, ST, MT Prof. Dr. Ir. I GUSTI PUTU RAKA, DEA	MADE SIDHARTA PURNAMA P (03111640000118)	DETAIL ANGKUR BALOK PRATEKAN	1 : 8	33	44



POTONGAN MEMANJANG BALOK PRATEGANG  
SKALA 1:75

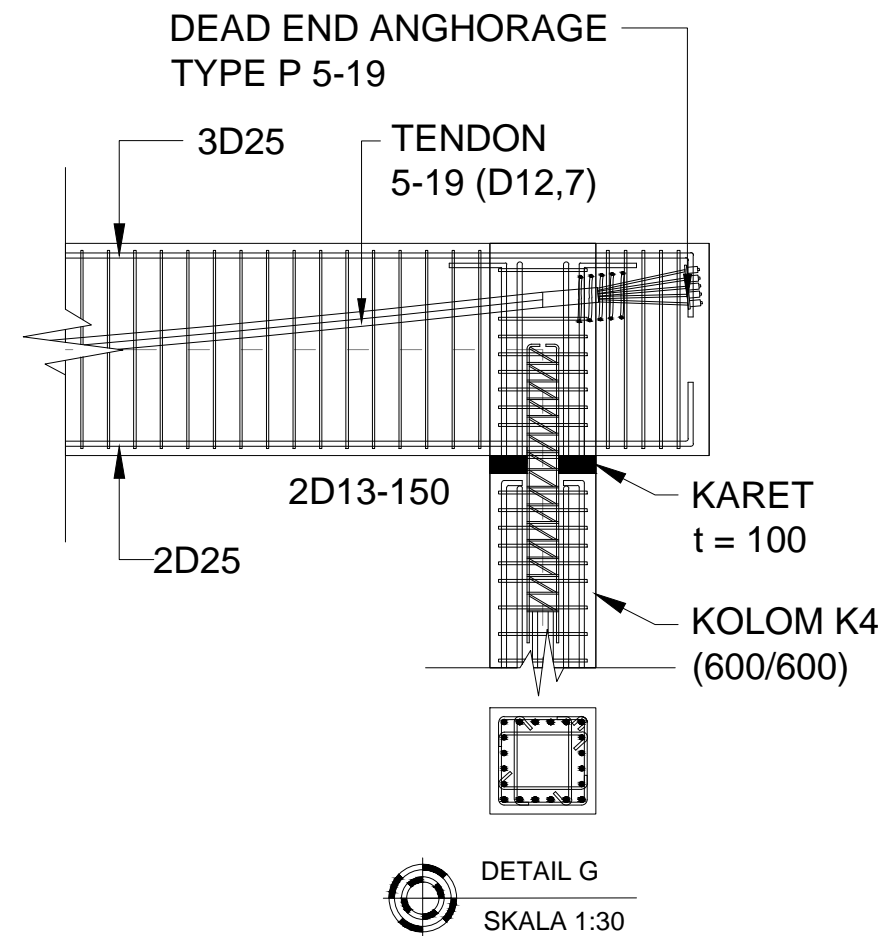
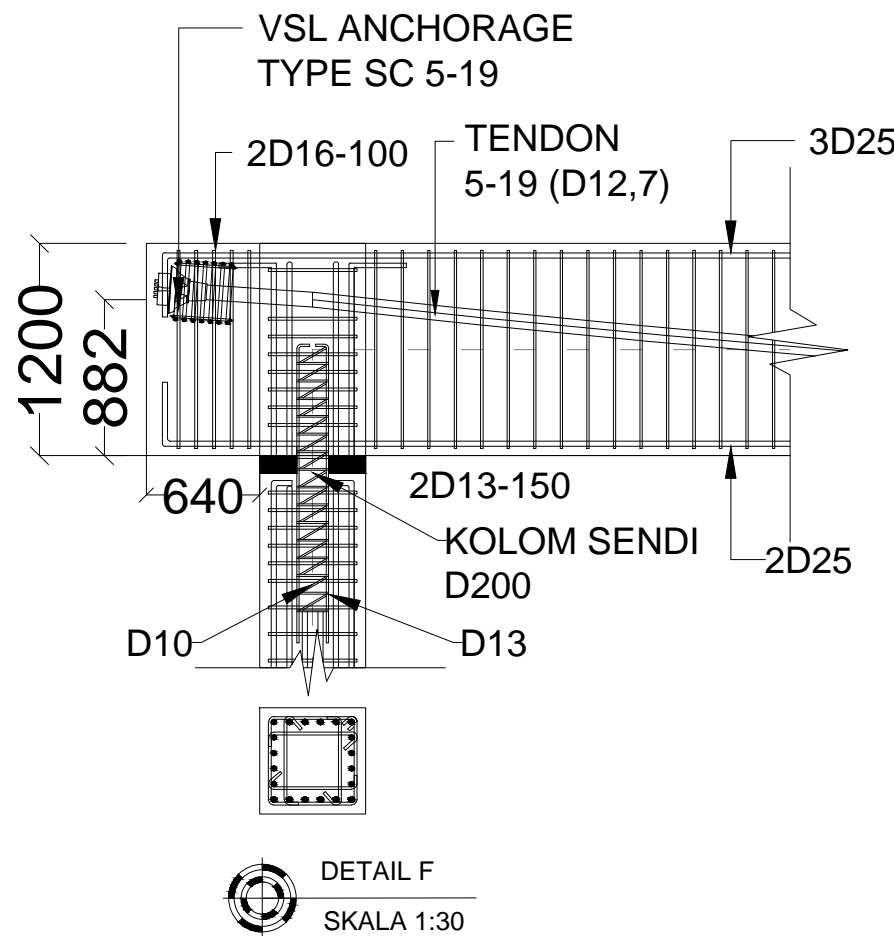
KOORDINAT TENDON

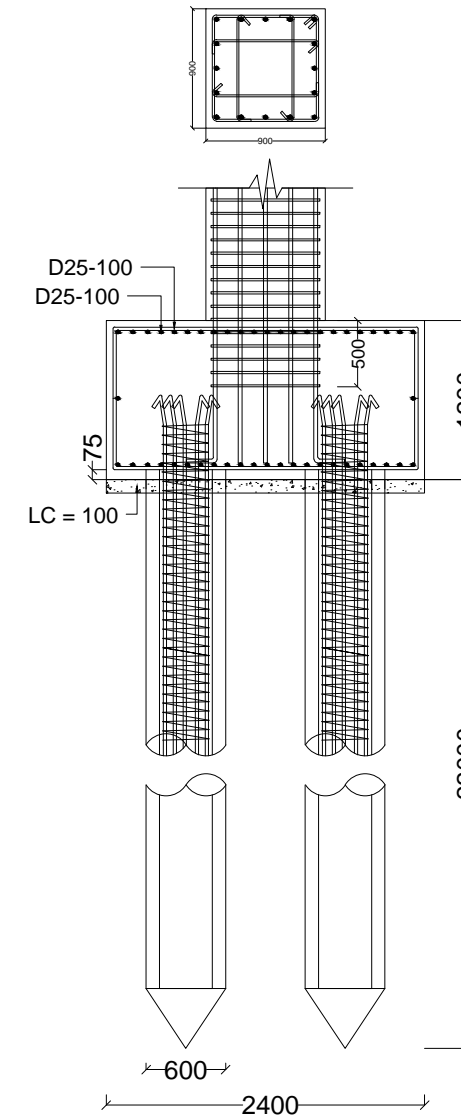
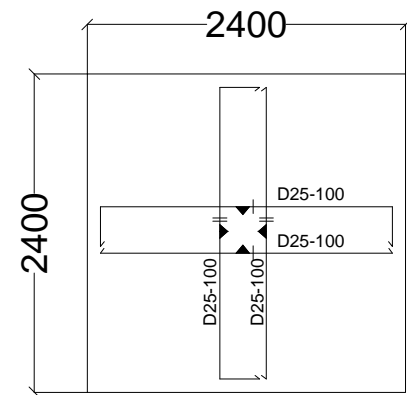
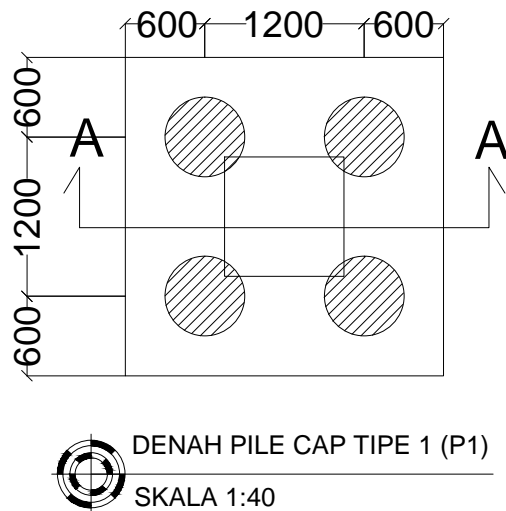
x (mm)	0	2000	4000	6000	8000	10000	12000	14000	16000	18000	20000	23200
y c.g.s (mm)	882	667	493	359	266	213	201	229	298	408	558	882



POTONGAN ATAS BALOK PRATEGANG  
SKALA 1:75

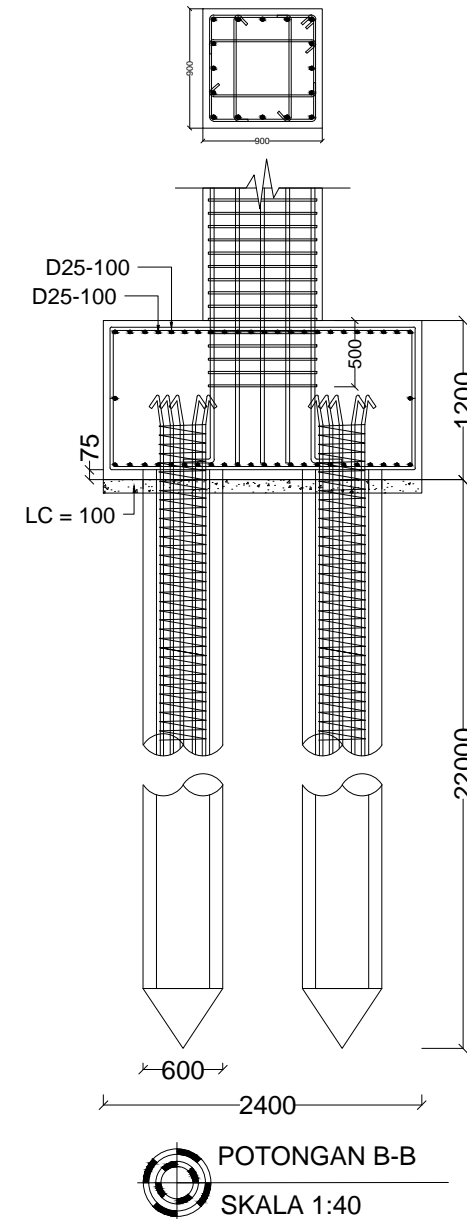
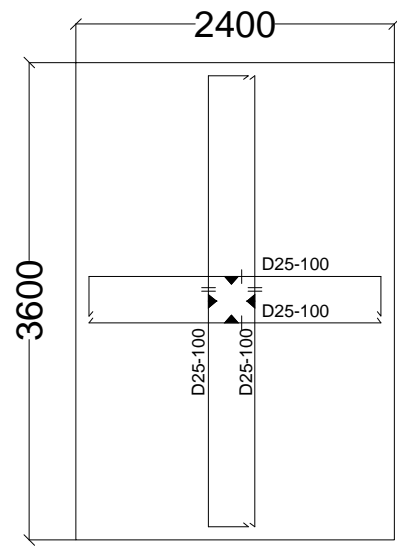
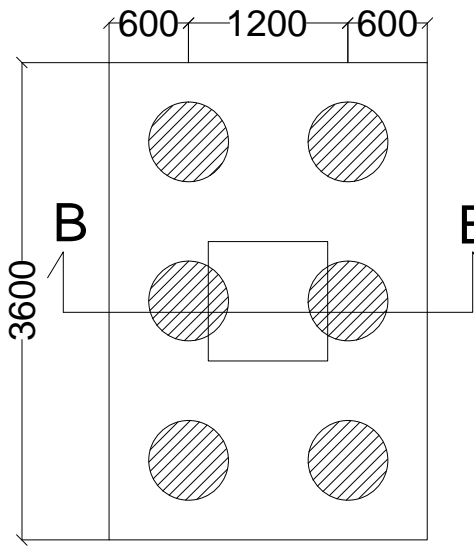
DEPARTEMEN TEKNIK SIPIL FAKULTAS TEKNIK SIPIL, PERENCANAAN DAN KEBUMIAN INSTITUT TEKNOLOGI SEPULUH NOPEMBER SURABAYA 2020	JUDUL TUGAS AKHIR DESAIN MODIFIKASI STRUKTUR GEDUNG FAKULTAS KEDOKTERAN UNIVERSITAS UDAYANA MENGUNAKAN SISTEM BALOK PRATEGANG PADA LANTAI ATAP DAN SISTEM GANDA	DOSEN KONSULTASI Dr. CANDRA IRAWAN, ST, MT Prof. Dr. Ir. I GUSTI PUTU RAKA, DEA	NAMA MAHASISWA MADE SIDHARTA PURNAMA P (03111640000118)	NAMA GAMBAR POTONGAN ATAS DAN MEMANJANG BALOK PRATEKAN	SKALA 1 : 75	NO LEMBAR <b>34</b>	JUMLAH LEMBAR <b>44</b>
---	---	---	---	---	-----------------	------------------------	----------------------------

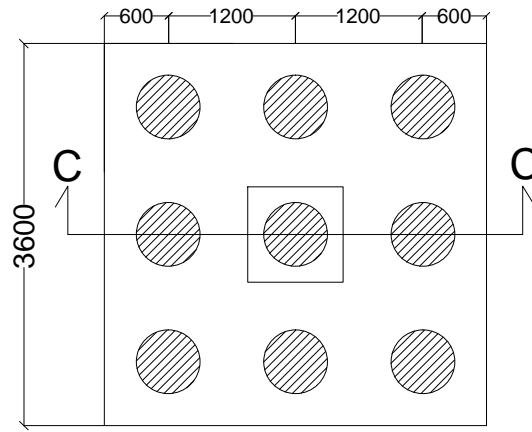




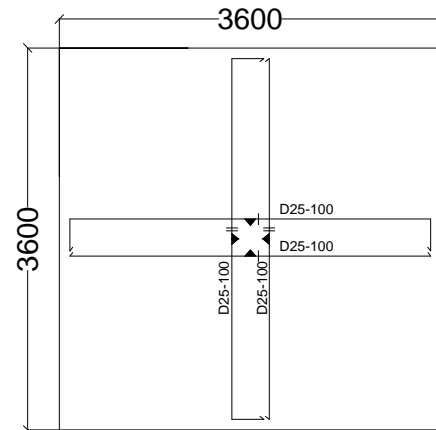
DEPARTEMEN TEKNIK SIPIL  
FAKULTAS TEKNIK SIPIL, PERENCANAAN DAN KEBUMIAN  
INSTITUT TEKNOLOGI SEPULUH NOPEMBER  
SURABAYA  
2020

JUDUL TUGAS AKHIR	DOSEN KONSULTASI	NAMA MAHASISWA	NAMA GAMBAR	SKALA	NO LEMBAR	JUMLAH LEMBAR
DESAIN MODIFIKASI STRUKTUR GEDUNG FAKULTAS KEDOKTERAN UNIVERSITAS UDAYANA MENGUNAKAN SISTEM BALOK PRATEGANG PADA LANTAI ATAP DAN SISTEM GANDA	Dr. CANDRA IRAWAN, ST, MT Prof. Dr. Ir. I GUSTI PUTU RAKA, DEA	MADE SIDHARTA PURNAMA P (03111640000118)	HDENAH DAN PENULANGAN PILE CAP TIPE 1 (P1)	1 : 40	36	44

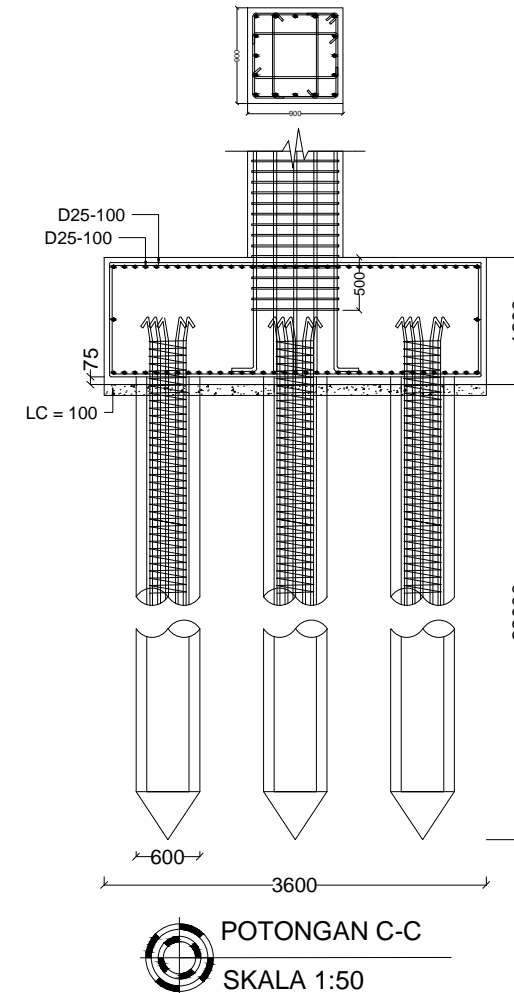




DENAH PILE CAP TIPE 3 (P3)  
SKALA 1:50



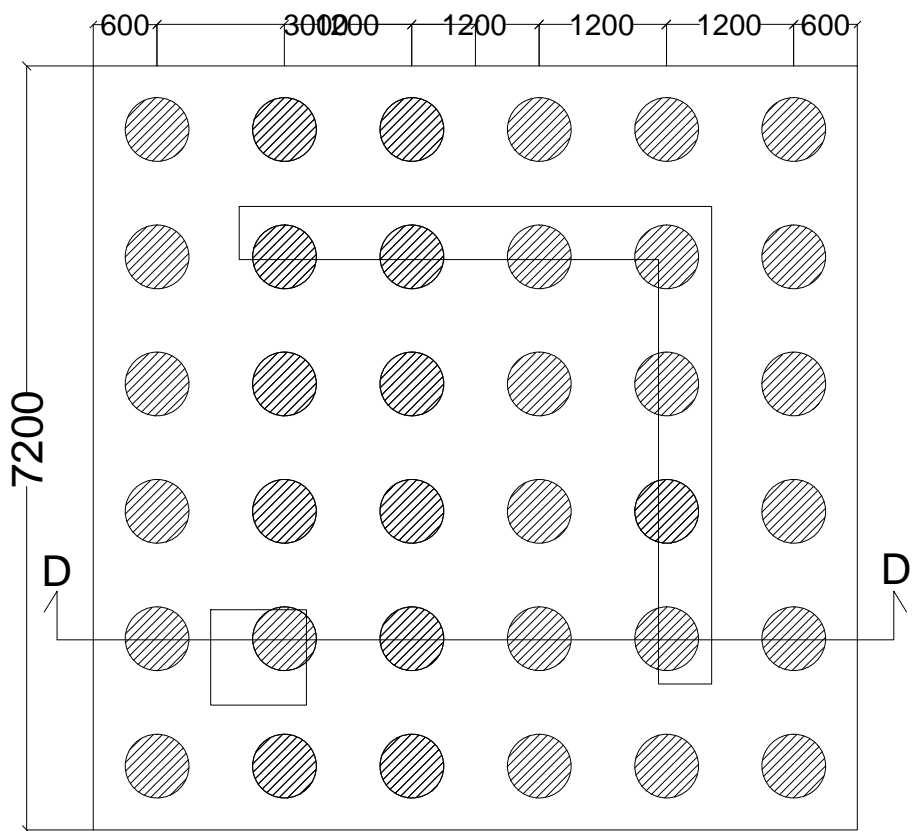
PENULANGAN PILE CAP TIPE 3 (P3)  
SKALA 1:50



POTONGAN C-C  
SKALA 1:50

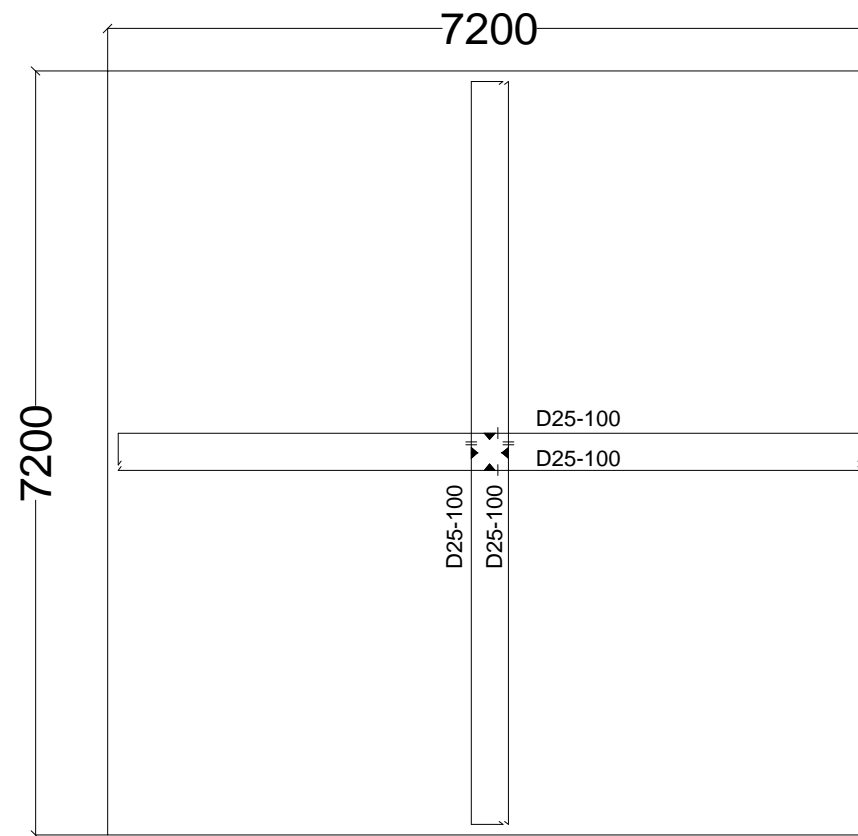


JUDUL TUGAS AKHIR	DOSEN KONSULTASI	NAMA MAHASISWA	NAMA GAMBAR	SKALA	NO LEMBAR	JUMLAH LEMBAR
DESAIN MODIFIKASI STRUKTUR GEDUNG FAKULTAS KEDOKTERAN UNIVERSITAS UDAYANA MENGUNAKAN SISTEM BALOK PRATEGANG PADA LANTAI ATAP DAN SISTEM GANDA	Dr. CANDRA IRAWAN, ST, MT Prof. Dr. Ir. I GUSTI PUTU RAKA, DEA	MADE SIDHARTA PURNAMA P (03111640000118)	DENAH DAN PENULANGAN PILE CAP TIPE 3 (P3)	1 : 50	38	44



DENAH PILE CAP TIPE 4A (P4A)

SKALA 1:50



PENULANGAN PILE CAP TIPE 4A(P4A)

SKALA 1:50



DEPARTEMEN TEKNIK SIPIL  
FAKULTAS TEKNIK SIPIL, PERENCANAAN DAN KEBUMIAN  
INSTITUT TEKNOLOGI SEPULUH NOPEMBER  
SURABAYA  
2020

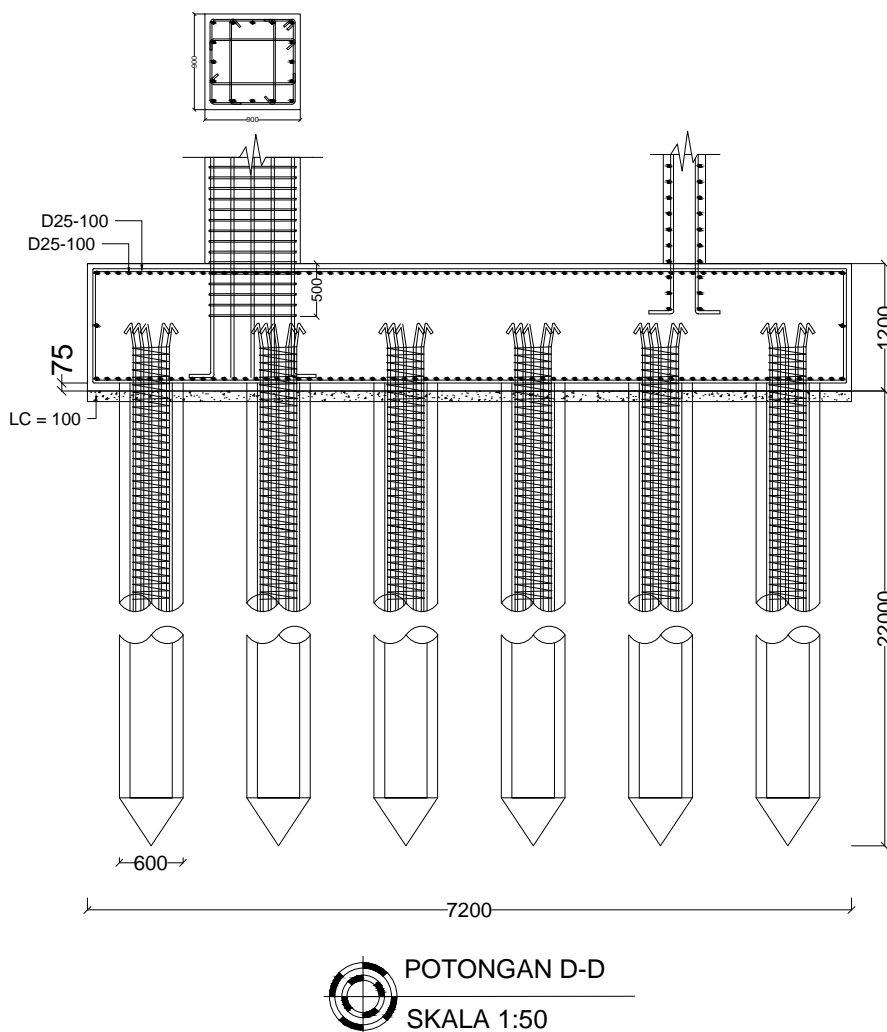
JUDUL TUGAS AKHIR  
DESAIN MODIFIKASI STRUKTUR GEDUNG  
FAKULTAS KEDOKTERAN UNIVERSITAS UDAYANA  
MENGUNAKAN SISTEM BALOK PRATEGANG PADA  
LANTAI ATAP DAN SISTEM GANDA

DOSEN KONSULTASI  
Dr. CANDRA IRAWAN, ST, MT  
Prof. Dr. Ir. I GUSTI PUTU RAKA, DEA

NAMA MAHASISWA  
MADE SIDHARTA PURNAMA P  
(03111640000118)

NAMA GAMBAR  
DENAH DAN  
PENULANGAN PILE CAP  
TIPE 3 (P3)

SKALA  
1 : 50  
**39**  
**44**



DEPARTEMEN TEKNIK SIPIL  
FAKULTAS TEKNIK SIPIL, PERENCANAAN DAN KEBUMIAN  
INSTITUT TEKNOLOGI SEPULUH NOPEMBER  
SURABAYA  
2020

JUDUL TUGAS AKHIR  
DESAIN MODIFIKASI STRUKTUR GEDUNG  
FAKULTAS KEDOKTERAN UNIVERSITAS UDAYANA  
MENGUNAKAN SISTEM BALOK PRATEGANG PADA  
LANTAI ATAP DAN SISTEM GANDA

DOSEN KONSULTASI  
Dr. CANDRA IRAWAN, ST, MT  
Prof. Dr. Ir. I GUSTI PUTU RAKA, DEA

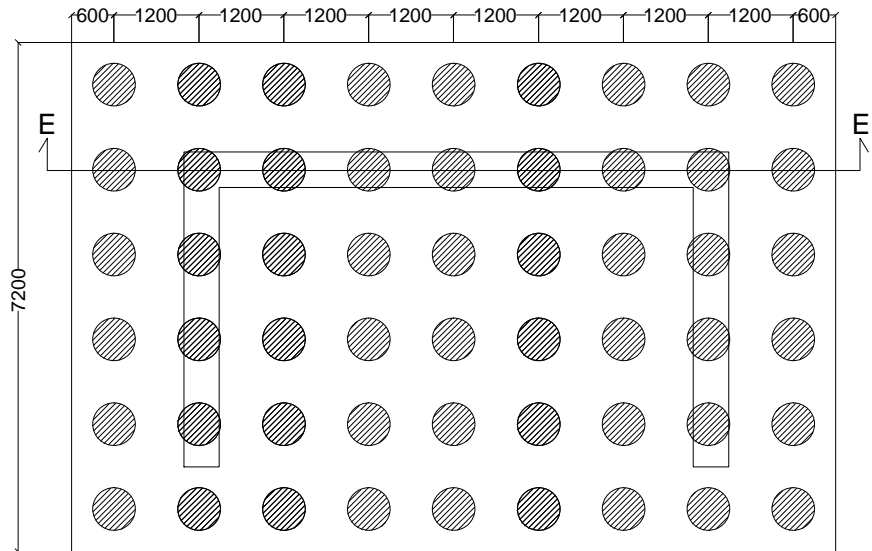
NAMA MAHASISWA  
MADE SIDHARTA PURNAMA P  
(03111640000118)

NAMA GAMBAR  
DETAL PENULANGAN  
PILE CAP TIPE 4A (P4A)

SKALA  
1 : 50

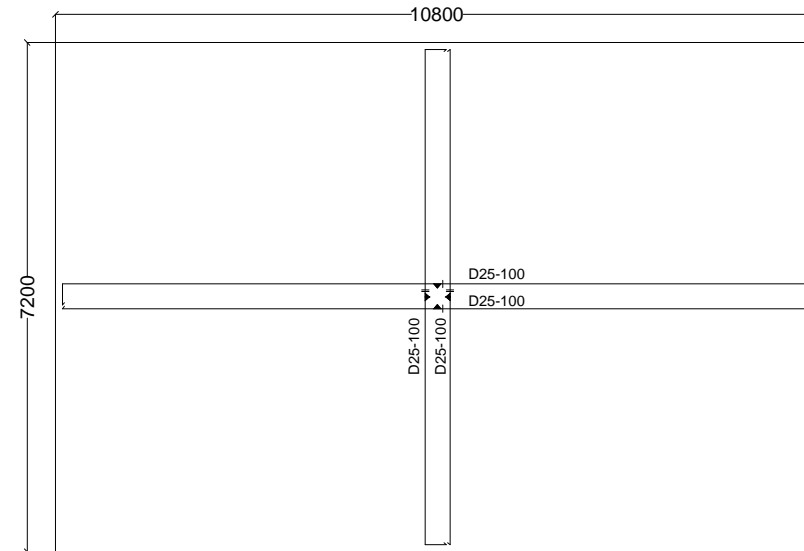
**40**      **44**

NO LEMBAR	JUMLAH LEMBAR
<b>40</b>	<b>44</b>



DENAH PILE CAP TIPE 5 (P5)

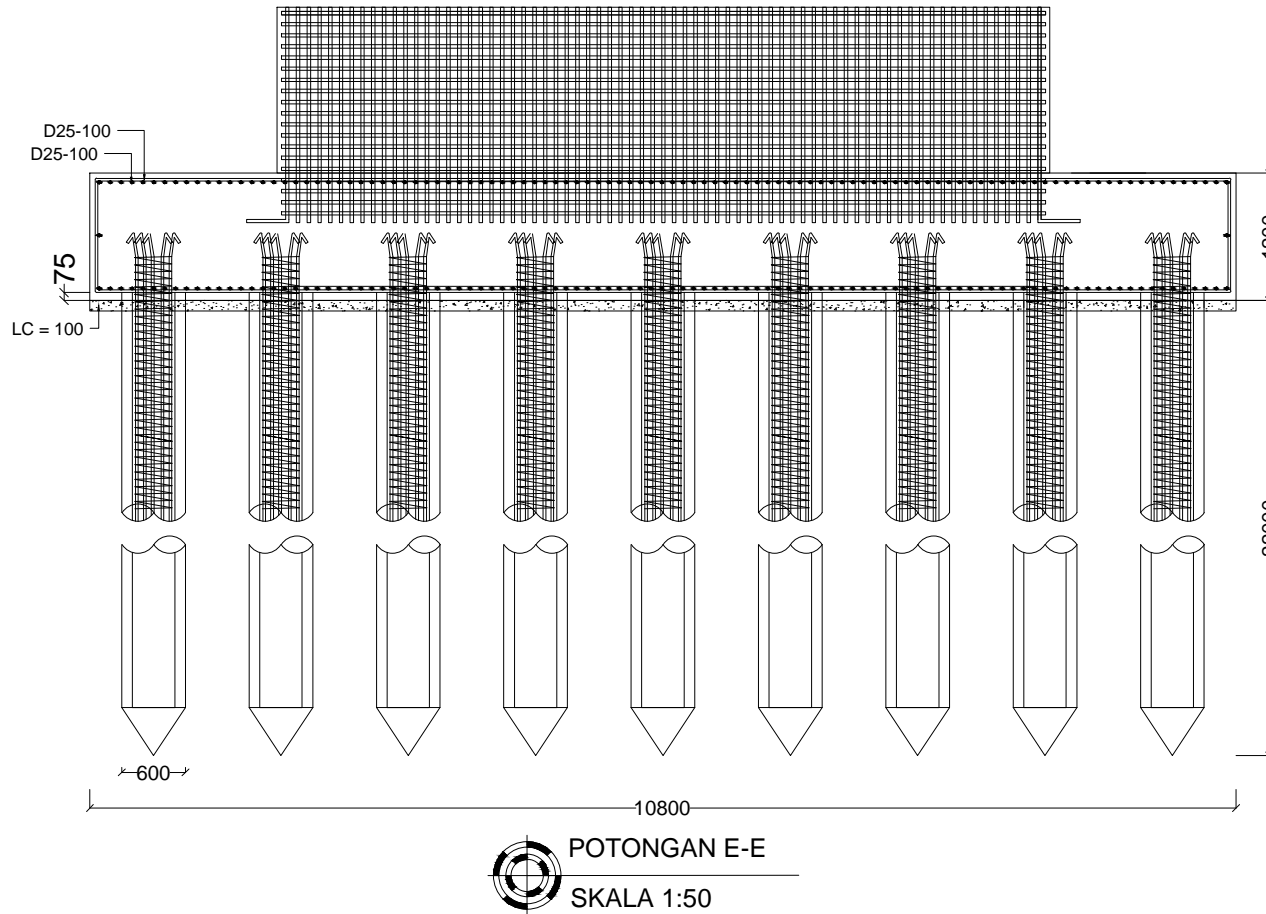
SKALA 1:75



PENULANGAN PILE CAP TIPE 5 (P5)

SKALA 1:75

DEPARTEMEN TEKNIK SIPIL FAKULTAS TEKNIK SIPIL, PERENCANAAN DAN KEBUMIAN INSTITUT TEKNOLOGI SEPULUH NOPEMBER SURABAYA 2020	JUDUL TUGAS AKHIR DESAIN MODIFIKASI STRUKTUR GEDUNG FAKULTAS KEDOKTERAN UNIVERSITAS UDAYANA MENGUNAKAN SISTEM BALOK PRATEGANG PADA LANTAI ATAP DAN SISTEM GANDA	DOSEN KONSULTASI Dr. CANDRA IRAWAN, ST, MT Prof. Dr. Ir. I GUSTI PUTU RAKA, DEA	NAMA MAHASISWA MADE SIDHARTA PURNAMA P (03111640000118)	NAMA GAMBAR DENAH DAN PENULANGAN PILE CAP TIPE 5 (P5)	SKALA 1 : 75	NO LEMBAR <b>41</b>	JUMLAH LEMBAR <b>44</b>
---	---	---	---	--	-----------------	------------------------	----------------------------



DEPARTEMEN TEKNIK SIPIL  
FAKULTAS TEKNIK SIPIL, PERENCANAAN DAN KEBUMIAN  
INSTITUT TEKNOLOGI SEPULUH NOPEMBER  
SURABAYA  
2020

JUDUL TUGAS AKHIR  
DESAIN MODIFIKASI STRUKTUR GEDUNG  
FAKULTAS KEDOKTERAN UNIVERSITAS UDAYANA  
MENGUNAKAN SISTEM BALOK PRATEGANG PADA  
LANTAI ATAP DAN SISTEM GANDA

DOSEN KONSULTASI  
Dr. CANDRA IRAWAN, ST, MT  
Prof. Dr. Ir. I GUSTI PUTU RAKA, DEA

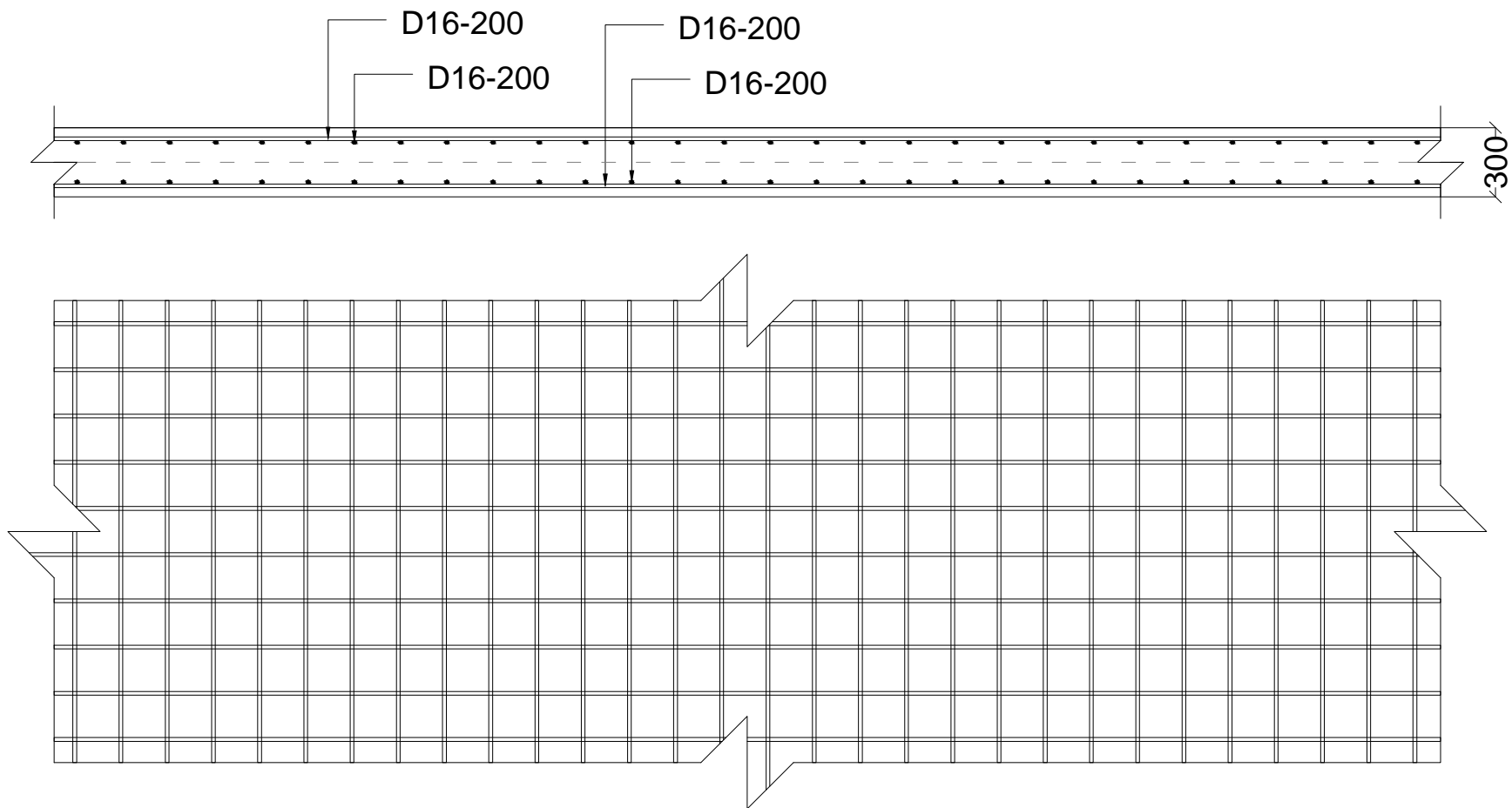
NAMA MAHASISWA  
MADE SIDHARTA PURNAMA P  
(03111640000118)

NAMA GAMBAR  
DETALI PENULANGAN  
PILE CAP TIPE 5 (P5)

SKALA  
1 : 50

**42**      **44**

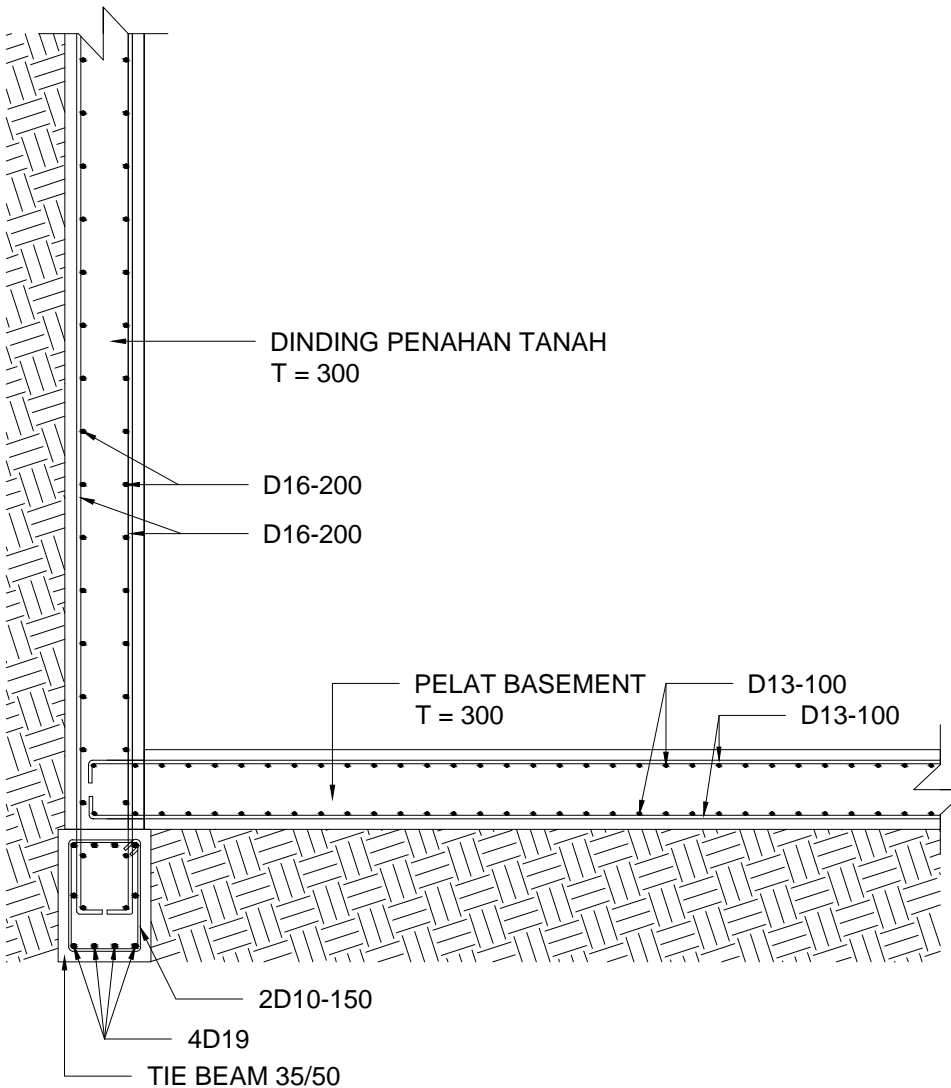
NO LEMBAR	JUMLAH LEMBAR
<b>42</b>	<b>44</b>



PENULANGAN DINDING PENAHAN TANAH BASEMENT  
SKALA 1:20

NOTE :
$f'_c$ : 40 MPa
$f_y$ : 420 MPa
T. Selimut : 40 mm

DEPARTEMEN TEKNIK SIPIL FAKULTAS TEKNIK SIPIL, PERENCANAAN DAN KEBUMIAN INSTITUT TEKNOLOGI SEPULUH NOPEMBER SURABAYA 2020	JUDUL TUGAS AKHIR DESAIN MODIFIKASI STRUKTUR GEDUNG FAKULTAS KEDOKTERAN UNIVERSITAS UDAYANA MENGUNAKAN SISTEM BALOK PRATEGANG PADA LANTAI ATAP DAN SISTEM GANDA	DOSEN KONSULTASI Dr. CANDRA IRAWAN, ST, MT Prof. Dr. Ir. I GUSTI PUTU RAKA, DEA	NAMA MAHASISWA MADE SIDHARTA PURNAMA P (03111640000118)	NAMA GAMBAR PENULANGAN DINDING PENAHAN TANAH BASEMENT	SKALA 1 : 20	NO LEMBAR <b>43</b>	JUMLAH LEMBAR <b>44</b>
---	---	---	---	--	-----------------	------------------------	----------------------------



POTONGAN STRUKTUR BASEMENT  
SKALA 1:20

NOTE :		
f' <sub>c</sub>	: 40 MPa	
f <sub>y</sub>	: 420 MPa	
T. Selimut	: 40 mm	

DEPARTEMEN TEKNIK SIPIL FAKULTAS TEKNIK SIPIL, PERENCANAAN DAN KEBUMIAN INSTITUT TEKNOLOGI SEPULUH NOPEMBER SURABAYA 2020	JUDUL TUGAS AKHIR DESAIN MODIFIKASI STRUKTUR GEDUNG FAKULTAS KEDOKTERAN UNIVERSITAS UDAYANA MENGUNAKAN SISTEM BALOK PRATEGANG PADA LANTAI ATAP DAN SISTEM GANDA	DOSEN KONSULTASI Dr. CANDRA IRAWAN, ST, MT Prof. Dr. Ir. I GUSTI PUTU RAKA, DEA	NAMA MAHASISWA MADE SIDHARTA PURNAMA P (0311164000118)	NAMA GAMBAR POTONGAN STRUKTUR BASEMENT	SKALA 1 : 20	NO LEMBAR <b>44</b>	JUMLAH LEMBAR <b>44</b>
---	---	---	--	--	-----------------	------------------------	----------------------------



# LABORATORIUM MEKANIKA TANAH & BATUAN

JURUSAN TEKNIK SIPIL

FAKULTAS TEKNIK SIPIL DAN PERENCANAAN - ITS

Kampus ITS, Keputih Sukolilo Surabaya

Telp. 031 5994251 - 55 Psw. 1140,

Telp/Fax: 031 5928601, e-mail : tanah.its@gmail.com

## DRILLING LOG

NAMA PROYEK	=	DERMAGA	TIPE BOR	:	Rotary drilling machine	Remarks.																		
KLIEN	=	PT. PELINDO PROPERTY INDONESIA	MULAI	:	02 Mei 2016	UD = Undisturb Sample																		
TITIK BOR	=	BH-1	SELESAI	:	08 Mei 2016	CS = Core Sample																		
LOKASI	=	BENOA MARINA, BALI	MASTERBOR	:	HARNO	SPT = SPT Test																		
MUKA AIR TANAH																								
Scale in m	Elevation (L.W.S) in m	Depth in m	Thickness in m	Legend	Type of Soil	Colour	Relative Density or Consistency	General Remarks	UD / CS		SPT TEST		Standard Penetration Test											
									UD	CS	Depth in m	Sample Code	Depth in m	Sample Code	N-Value Blows/30 cm			Blows per each 15 cm			N - Value			
												15 cm	15 cm	15 cm	15 cm	15 cm	15 cm							
0.00	0.00				PASIR BERLEMPUNG LANAU	ABU-ABU						-2.00	SPT 1	2	0	1	1	0	10	20	30	40	50	
1.00	-1.00				PASIR	ABU-ABU	VERY LOOSE	SPT 2 S/D 4				-4.00	SPT 2	3	1	2	1							
2.00	-2.00				PASIR BERLEMPUNG LANAU	ABU-ABU TERANG	VERY LOOSE TO MEDIUM	SPT 4 S/D 16		UD 01		-6.00	SPT 3	4	1	2	2							
3.00	-3.00				PASIR KASAR BERLEMPUNG LANAU	ABU-ABU KECOKLATAN	MEDIUM TO DENSE	SPT 16 S/D 36				-8.00	SPT 4	16	7	9	7							
4.00	-4.00				PASIR BERLEMPUNG LANAU	ABU-ABU KECOKLATAN	LOOSE TO MEDIUM	SPT 7 S/D 23		UD 02		-10.00	SPT 5	24	8	11	13							
5.00	-5.00				PASIR KASAR BERLEMPUNG LANAU	ABU-ABU KECOKLATAN	MEDIUM TO DENSE	SPT 29 S/D 50				-12.00	SPT 6	31	9	13	18							
6.00	-6.00				PASIR BERLEMPUNG LANAU	ABU-ABU KECOKLATAN	LOOSE TO MEDIUM	SPT 7 S/D 23		UD 03		-14.00	SPT 7	36	10	15	21							
7.00	-7.00				PASIR KASAR BERLEMPUNG LANAU	ABU-ABU KECOKLATAN	MEDIUM TO DENSE	SPT 29 S/D 50				-16.00	SPT 8	16	6	8	8							
8.00	-8.00				PASIR BERLEMPUNG LANAU	ABU-ABU KECOKLATAN	LOOSE TO MEDIUM	SPT 7 S/D 23				-18.00	SPT 9	23	7	10	13							
9.00	-9.00				PASIR KASAR BERLEMPUNG LANAU	ABU-ABU KECOKLATAN	MEDIUM TO DENSE	SPT 29 S/D 50				-20.00	SPT 10	17	5	7	10							
10.00	-10.00				PASIR BERLEMPUNG LANAU	ABU-ABU KECOKLATAN	LOOSE TO MEDIUM	SPT 7 S/D 23				-22.00	SPT 11	15	3	5	10							
11.00	-11.00				PASIR KASAR BERLEMPUNG LANAU	ABU-ABU KECOKLATAN	MEDIUM TO DENSE	SPT 29 S/D 50				-24.00	SPT 12	7	2	3	4							
12.00	-12.00				PASIR BERLEMPUNG LANAU	ABU-ABU KECOKLATAN	LOOSE TO MEDIUM	SPT 7 S/D 23				-26.00	SPT 13	34	9	14	20							
13.00	-13.00				PASIR KASAR BERLEMPUNG LANAU	ABU-ABU KECOKLATAN	MEDIUM TO DENSE	SPT 29 S/D 50				-28.00	SPT 14	29	8	12	17							
14.00	-14.00				PASIR BERLEMPUNG LANAU	ABU-ABU KECOKLATAN	LOOSE TO MEDIUM	SPT 7 S/D 23				-30.00	SPT 15	50	10	19	31							
15.00	-15.00				PASIR KASAR BERLEMPUNG LANAU	ABU-ABU KECOKLATAN	MEDIUM TO DENSE	SPT 29 S/D 50																
16.00	-16.00				PASIR BERLEMPUNG LANAU	ABU-ABU KECOKLATAN	LOOSE TO MEDIUM	SPT 7 S/D 23																
17.00	-17.00				PASIR KASAR BERLEMPUNG LANAU	ABU-ABU KECOKLATAN	MEDIUM TO DENSE	SPT 29 S/D 50																
18.00	-18.00				PASIR BERLEMPUNG LANAU	ABU-ABU KECOKLATAN	LOOSE TO MEDIUM	SPT 7 S/D 23																
19.00	-19.00				PASIR KASAR BERLEMPUNG LANAU	ABU-ABU KECOKLATAN	MEDIUM TO DENSE	SPT 29 S/D 50																
20.00	-20.00				PASIR BERLEMPUNG LANAU	ABU-ABU KECOKLATAN	LOOSE TO MEDIUM	SPT 7 S/D 23																
21.00	-21.00				PASIR KASAR BERLEMPUNG LANAU	ABU-ABU KECOKLATAN	MEDIUM TO DENSE	SPT 29 S/D 50																
22.00	-22.00				PASIR KASAR BERLEMPUNG LANAU	ABU-ABU KECOKLATAN	LOOSE TO MEDIUM	SPT 7 S/D 23																
23.00	-23.00				PASIR KASAR BERLEMPUNG LANAU	ABU-ABU KECOKLATAN	MEDIUM TO DENSE	SPT 29 S/D 50																
24.00	-24.00				PASIR KASAR BERLEMPUNG LANAU	ABU-ABU KECOKLATAN	LOOSE TO MEDIUM	SPT 7 S/D 23																
25.00	-25.00				PASIR KASAR BERLEMPUNG LANAU	ABU-ABU KECOKLATAN	MEDIUM TO DENSE	SPT 29 S/D 50																
26.00	-26.00				PASIR KASAR BERLEMPUNG LANAU	ABU-ABU KECOKLATAN	LOOSE TO MEDIUM	SPT 7 S/D 23																
27.00	-27.00				PASIR KASAR BERLEMPUNG LANAU	ABU-ABU KECOKLATAN	MEDIUM TO DENSE	SPT 29 S/D 50																
28.00	-28.00				PASIR KASAR BERLEMPUNG LANAU	ABU-ABU KECOKLATAN	LOOSE TO MEDIUM	SPT 7 S/D 23																
29.00	-29.00				PASIR KASAR BERLEMPUNG LANAU	ABU-ABU KECOKLATAN	MEDIUM TO DENSE	SPT 29 S/D 50																
30.00	-30.00				PASIR KASAR BERLEMPUNG LANAU	ABU-ABU KECOKLATAN	LOOSE TO MEDIUM	SPT 7 S/D 23																
<b>END OF BORING</b>																								

# LABORATORIUM MEKANIKA TANAH & BATUAN

FAKULTAS TEKNIK SIPIL DAN PERENCANAAN - ITS

Kampus ITS, Keputih Sukolilo Surabaya

Telp. 031 5994251 - 55 Psw. 1140,

Telp/Fax: 031 5928601, e-mail: tanah.its@gmail.com



KLIEN : PT. PELINDO PROPERTY INDONESIA

PROYEK : DERMAGA

LOKASI : BENOA MARINA, BALI

## REKAP HASIL TEST LABORATORIUM

TITIK BOR : BH-1  
MASTER BOR : HARNO

DEPTH (Meter)	VOLUMETRIC + GRAVIMETRIC						CONSOLIDATION				
	Gs	e	Sr	Wc	n	yt	yd	ysat	Pp	Cc	Cv
-7.50	2.592	1.208	100.00	46.60	54.71	1.721	1.174	1.721	*	*	*
-15.00	2.638	1.107	100.00	41.96	52.54	1.777	1.252	1.777	*	*	*
-22.50	2.643	1.161	100.00	43.93	53.73	1.760	1.223	1.760	*	*	*
-30.00	2.585	0.816	100.00	31.57	44.93	1.873	1.423	1.873	*	*	*

DEPTH (Meter)	SIEVE ANALYSIS			ATTERBERG LIMITS			DIRECT TEST		Unconfined test		TRIAXIAL C'D	VANE TEST	k (cm/sec)
	G	S	S+Ci	LL	PL	IP	C	φ	Cu	φd	Su	Cu	
-7.50	0.00	63.84	36.16	50.37	29.88	20.49	*	*	0.34	*	*	*	*
-15.00	0.00	65.29	34.71	56.19	30.76	25.43	*	*	0.72	0	*	*	*
-22.50	0.00	61.37	38.63	49.84	29.53	20.31	*	*	0.69	0	*	*	*
-30.00	0.00	65.18	34.82	51.29	29.57	21.72	*	*	2.19	0	*	*	*

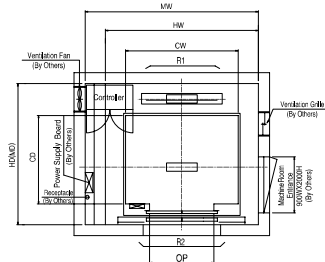
  

REMARK	G = Gravel (%) S = Sand (%) S + Ci = Silt + Clay (%)	LL = Liquid Limit (%) PL = Plastic Limit (%) IP = Plastic Index (%)	C = Cohesion of direct shear ( $\text{kg}/\text{cm}^2$ ) C <sub>d</sub> = Drained cohesion triaxial test ( $\text{kg}/\text{cm}^2$ ) C <sub>u</sub> = Undrained cohesion ( $\text{kg}/\text{cm}^2$ )
e	= Void ratio	C <sub>c</sub> = Compression Index	S <sub>u</sub> = Strength of vane test ( $\text{kN}/\text{cm}^2$ )
G <sub>s</sub>	= Specific Gravity	C <sub>v</sub> = Compression of Consolidation ( $\text{cm}^2/\text{det}$ )	φ = Angle of internal friction direct shear test (degree)
n	= Porosity (%)	P <sub>p</sub> = Preconsolidation Pressure ( $\text{kg}/\text{cm}^2$ )	φ <sub>d</sub> = Angle of internal friction drained triaxial test (degree)
S <sub>r</sub>	= Degree of saturation (%)	* = Not test	φ <sub>u</sub> = Angle of internal friction undrained triaxial test (degree)
W <sub>c</sub>	= Water content (%)		
γ <sub>f</sub>	= Moisture density ( $\text{gr}/\text{cc}$ )		
γ <sub>sat</sub>	= Saturated density ( $\text{gr}/\text{cc}$ )		
γ <sub>d</sub>	= Dry density ( $\text{gr}/\text{cc}$ )		
		k = Coefficient of permeability (cm/sec)	

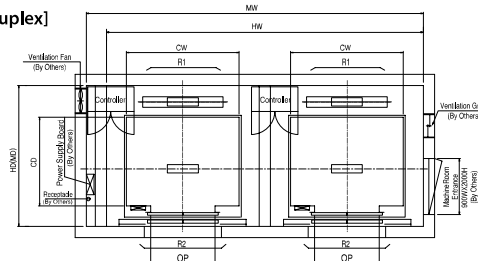
# Technical Data

## | Hoistway & Machine Room Plan

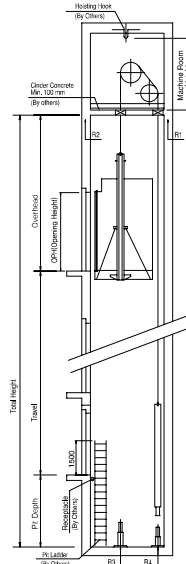
### [Simplex]



### [Duplex]



## | Hoistway Section



## | Overhead, Pit & Machine Room Height

Application Regulation [CODE]	Speed (m/s)	Load (kg)	Travel (mm)	Overhead (mm)	Pit Depth (mm)	Machine Room HT	Required Hook Strength (kg)
Standard / EN	1	450~1000	Travel≤100	4200	1400	2300	3000
		1350	Travel≤100	4300			4500
		1150/1600	Travel≤80	4300			3000
	1.5	80<Travel≤100		4650	1450	2300	4500
		450~1000	Travel≤100	4400			3000
		1350	Travel≤100	4400			4500
	1.75	1150/1600	Travel≤80	4400	1600	2400	3000
		80<Travel≤100		4750			4500
		450~1000	Travel≤100	4500			3000
MS2021	1	1350	Travel≤100	4500	1400	2400	4500
		1160/1365	Travel≤80	4500			3000
		80<Travel≤100		4650			4500
	1.5	410~1025	Travel≤100	4400	1450	2400	2550
		1365	Travel≤100	4400			3000
		1160/1365	Travel≤80	4400			4500
	1.75	80<Travel≤100		4750	1600	2400	2550
		410~1025	Travel≤100	4500			3000
		1365	Travel≤100	4500			4500
Standard / EN	2	800~1600	Travel≤80	5100	1900	2300	3000
				5300			4500
	2.5	800~1600	Travel≤100	5100	2200	2400	3000
				5300			4500

## Technical Data

| Layout Dimensions | Speed : 1.0 m/s

[Standard]

(Unit : mm)

Speed (m/s)	Capacity		Opening Width (mm)	Car Size		Hoistway Size				Machine Room Size				Reaction Load			
						Simplex		Duplex		Simplex		Duplex		Machine Room		Pit	
	Person	Load(kg)		CW	CD	HW	HD	HW	HD	MW	MD	MW	MD	R1	R2	R3	R4
1.0	6	450	800	1400	850	1800	1500	3750	1500	1800	1500	3750	1500	3600	2000	3800	3150
	8	550	800	1400	1030	1800	1700	3750	1700	1800	1700	3750	1700	4050	2500	4550	3350
	9	600	800	1400	1130	1800	1750	3750	1750	1800	1750	3750	1750	4100	2500	4700	3450
	10	680	800	1400	1250	1800	1900	3750	1900	1800	1900	3750	1900	4200	2850	5000	3650
	11	750	800	1400	1350	1800	2000	3750	2000	1800	2000	3750	2000	4550	2900	5200	3750
	13	900	900	1600	1350	2000	2000	4150	2000	2000	4150	2000	5100	3800	6300	4500	
	15	1000	900	1600	1500	2000	2150	4150	2150	2000	2150	4150	2150	5450	4300	6600	4700
	17	1150	1000	1800	1500	2350	2200	4850	2200	2350	2200	4850	2200	8000	5200	9550	7150
		1100	2000	1350	2550	2050	5250	2050	2550	2050	5250	2050	8900	6000	10200	7500	
	20	1350	1000	1800	1700	2350	2400	4850	2400	2350	2400	4850	2400	8900	6000	10200	7500
		1100	2000	1500	2550	2200	5250	2200	2550	2200	5250	2200	10200	7000	10950	8700	
	24	1600	1100	2000	1750	2550	2450	5250	2450	2550	2450	5250	2450	10200	7000	10950	8700
			2150	1600	2700	2300	5550	2300	2700	2300	5550	2300					

[EN Code]

1.0	6	450	700	1150	1030	1800	1700	3750	1700	1800	1700	3750	1700	4050	2500	4550	3350
	7	525	800	1400	1030	1800	1700	3750	1700	1800	1700	3750	1700	4100	2500	4700	3450
	8	600	800	1400	1100	1800	1750	3750	1750	1800	1750	3750	1750	4200	2850	5000	3650
	9	680	800	1400	1250	1800	1900	3750	1900	1800	1900	3750	1900	4550	2900	5200	3750
	10	800	800	1400	1350	1800	2000	3750	2000	1800	2000	3750	2000	4550	2900	5200	3750
	12	900	900	1600	1350	2000	2000	4150	2000	2000	4150	2000	5100	3800	6300	4500	
	13	1000	900	1600	1500	2000	2150	4150	2150	2000	2150	4150	2150	5450	4300	6600	4700
	16	1150	1000	1800	1500	2350	2200	4850	2200	2350	2200	4850	2200	8000	5200	9550	7150
		1100	2000	1350	2550	2050	5250	2050	2550	2050	5250	2050	8900	6000	10200	7500	
	18	1350	1000	1800	1700	2350	2400	4850	2400	2350	2400	4850	2400	8900	6000	10200	7500
		1100	2000	1500	2550	2200	5250	2200	2550	2200	5250	2200	10200	7000	10950	8700	

[Malaysia]

1.0	6	410	800	1400	830	1800	1500	3750	1500	1800	1500	3750	1500	3600	2000	3800	3150
	8	545	800	1400	1030	1800	1700	3750	1700	1800	1700	3750	1700	4050	2500	4550	3350
	9	615	800	1400	1150	1800	1800	3750	1800	1800	1800	3750	1800	4100	2500	4700	3450
	10	685	800	1400	1250	1800	1900	3750	1900	1800	1900	3750	1900	4200	2850	5000	3650
	11	750	800	1400	1350	1800	2000	3750	2000	1800	2000	3750	2000	4550	2900	5200	3750
	13	885	900	1600	1350	2000	2000	4150	2000	2000	2000	4150	2000	5100	3800	6300	4500
	15	1025	900	1600	1550	2000	2200	4150	2200	2000	2200	4150	2200	5450	4300	6600	4700
	17	1160	1000	1800	1500	2350	2200	4850	2200	2350	2200	4850	2200	8000	5200	9550	7150
	20	1365	1000	1800	1750	2350	2450	4850	2450	2350	2450	4850	2450	8900	6000	10200	7500
		1100	2000	1550	2550	2250	5250	2250	2550	2250	5250	2250	10200	7000	10950	8700	

# MULTISTRAND POST-TENSIONING



## STRAND PROPERTIES – TO AS1311

Nominal Diameter mm	Nominal Steel Area mm <sup>2</sup>	Nominal Mass kg/m	Minimum Breaking Load kN	Minimum Proof Load (0.2% Offset) kN	Min. Elong. to Fracture in 600mm %	Relaxation After 1,000hrs at 0.7 Breaking Load %	Modules of Elasticity MPa
12.7	100.1	0.786	184	156.4	3.5	2.5	180–205
15.2	143.3	1.125	250	212.5	3.5	2.5	$\times 10^3$

## TENDON PROPERTIES

STRAND TYPE 12.7mm			
TENDON UNIT	No. OF STRANDS	Minimum Breaking Load kN	STEEL DUCT Internal Diameter mm
5-3	2	368	39
	3	552	39
5-7	4	736	51
	5	920	51
	6	1100	51
	7	1290	51
5-12	8	1470	69
	9	1660	69
	10	1840	69
	11	2020	69
	12	2210	69
	13	2390	84
5-19	14	2580	84
	15	2760	84
	16	2940	84
	17	3130	84
	18	3310	84
	19	3500	84
5-22	20	3680	90
	21	3860	90
	22	4050	90
5-27	23	4230	96
	24	4420	96
	25	4600	96
	26	4780	96
	27	4970	96
5-31	28	5150	105
	29	5340	105
	30	5520	105
	31	5700	105
5-37	32	5890	115
	33	6070	115
	34	6260	115
	35	6440	115
	36	6620	115
	37	6810	115
5-42	38	6990	118
	39	7180	118
	40	7360	118
	41	7540	118
	42	7730	118
5-48	43	7910	127
	44	8100	127
	45	8280	127
	46	8460	127
	47	8650	127
	48	8830	127
5-55	49	9020	135
	50	9200	135
	51	9380	135
	52	9570	135
	53	9750	135
	54	9940	135
	55	10120	135

STRAND TYPE 15.2mm			
TENDON UNIT	No. OF STRANDS	Minimum Breaking Load kN	STEEL DUCT Internal Diameter mm
6-3	2	500	39
	3	750	39
6-4	4	1000	51
	5	1250	69
6-7	6	1500	69
	7	1750	69
6-12	8	2000	84
	9	2250	84
	10	2500	84
	11	2750	84
	12	3000	84
	13	3250	96
6-19	14	3500	96
	15	3750	96
	16	4000	96
	17	4250	96
	18	4500	96
	19	4750	96
6-22	20	5000	105
	21	5250	105
	22	5500	105
6-27	23	5750	115
	24	6000	115
	25	6250	115
	26	6500	115
	27	6750	115
6-31	28	7000	118
	29	7250	118
	30	7500	118
	31	7750	118
6-37	32	8000	127
	33	8250	127
	34	8500	127
	35	8750	127
6-42	36	9000	135
	37	9250	135
	38	9500	135
	39	9750	135
	40	10000	135
	41	10250	135
6-48	42	10500	135
	43	10750	144
	44	11000	144
	45	11250	144
	46	11500	144
	47	11750	144
6-55	48	12000	144
	49	12250	154
	50	12500	154
	51	12750	154
	52	13000	154
	53	13250	154
6-55	54	13500	154
	55	13750	154

Note: 1. Intermediate duct diameters may be available on application.

2. Duct diameters are for corrugated steel duct.

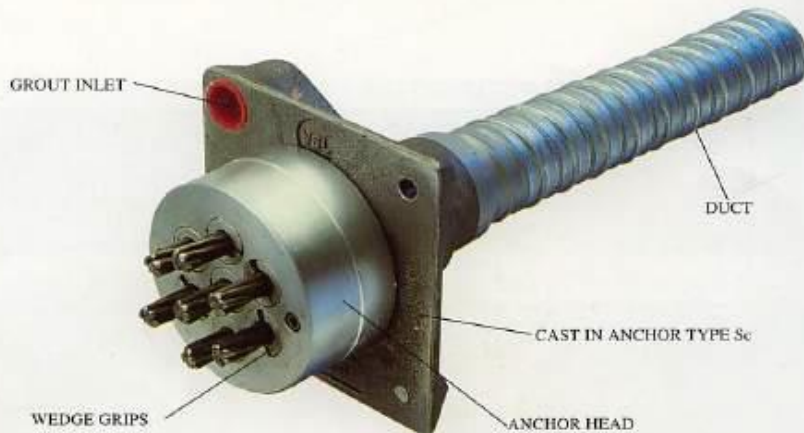
3. Duct external dia. = 1. Dia. + 6mm nominal

4. Corrugated polyethylene PT-Plus™ duct is also available, refer page 14.

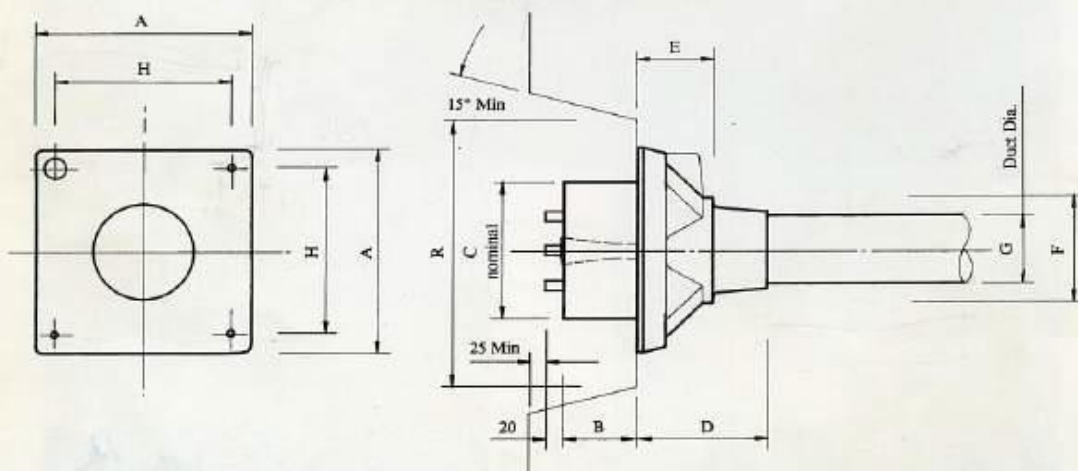
5. For special applications other strand and tendon capacities are available.



## MULTISTRAND POST-TENSIONING



VSL STRESSING ANCHORAGE TYPE Sc  
LIVE END

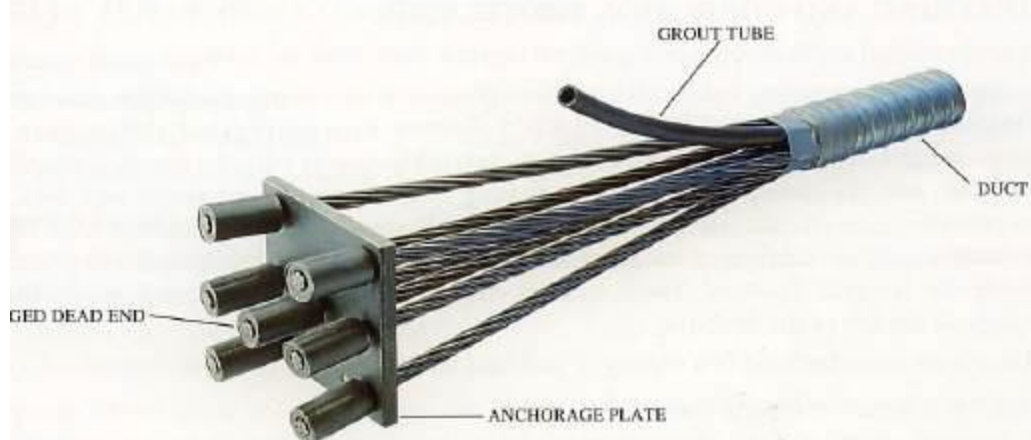


TENDON UNIT	Dimensions (mm)								
	A	B	C	D	E	F	G	H	R
STRAND TYPE 12.7mm									
*5-3P	135	57	90	191	16	56	39	116	210
*5-4P	150	57	90	216	16	64	39	125	210
5-7	165	57	120	100	60	85	51	125	275
5-12	215	54	160	160	84	120	69	151	320
5-19	265	66	184	210	110	145	84	200	360
5-22	290	77	200	215	140	153	90	230	360
5-27	315	92	220	250	160	176	96	250	360
5-31	315	92	230	250	161	175	105	250	360
5-37	370	107	250	320	160	200	115	305	650
5-42	390	112	290	346	168	217	118	325	650
5-48	430	122	300	340	161	233	127	365	750
5-55	465	142	320	340	160	400	135	400	750
STRAND TYPE 15.2mm									
*6-3P	150	60	90	190	16	56	39	116	210
*6-4P	165	54	120	100	60	85	51	125	270
6-7	215	54	160	160	85	120	69	150	320
6-12	265	66	180	210	110	145	84	200	360
6-19	315	92	220	250	160	175	96	250	360
6-22	315	92	230	250	160	175	105	250	360
6-27	370	107	250	320	160	200	115	305	650
6-31	390	112	290	340	160	217	118	325	650
6-37	430	122	300	340	160	235	135	365	750
6-42	465	142	320	340	160	250	135	400	750
*6-48P	575	155	340	1035	110	269	144	495	900
*6-55P	600	190	360	1070	120	294	154	520	900

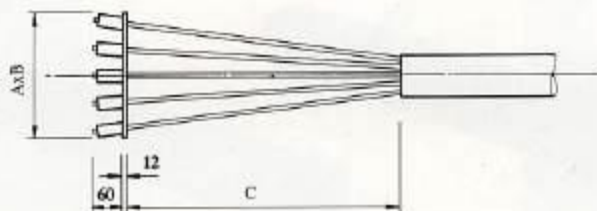
Note: Dimension R does not allow for Lift Off force check. Smaller recesses can be provided for special cases.  
Refer VSL office for details.

\*Plate type anchorages (Type P). Also available for other tendon units.

## MULTISTRAND POST-TENSIONING



VSL DEAD END ANCHORAGE TYPE P



STRAND TYPE 12.7mm			
TENDON UNIT	A Dimensions (mm)	B Dimensions (mm)	C
5-3	100	100	100
5-4	120	120	150
5-7	150	150	250
5-12	200	200	350
5-19	250	250	500
5-22	300	250	500
5-27	300	300	650
5-31	350	300	650
5-37	375	350	850
5-42	375	375	850
5-48	400	400	1000
5-55	425	425	1000

STRAND TYPE 15.2mm			
TENDON UNIT	A Dimensions (mm)	B Dimensions (mm)	C
6-3	150	150	250
6-4	150	150	250
6-7	200	200	350
6-12	250	250	500
6-19	300	300	500
6-22	300	300	500
6-27	350	350	650
6-31	350	350	650
6-37	400	350	850
6-42	400	350	850
6-48	475	475	1000
6-55	550	475	1000

# TECHNICAL DATA FOR THE VSL POST-TENSIONING SYSTEM

## 1. TENDONS

Wherever possible 0.6" (and not 0.5") strand should be used, due to its better economy.

### 1.1 Strand Properties 15 mm (0.6")

Strand type	Y1860S7 (pEN)	pEN 10138 - 3 (2009) Y1860S7	Y1770S7 (pEN)	ASTM A 416-06 Grade 270
Nominal diameter d	(mm)	15.3	15.7	15.7
Nominal cross section $A_o$ (mm <sup>2</sup> )	140	150	150	140
Nominal mass M (kg/m)	1.093	1.172	1.172	1.102
Nominal yield strength $f_{y0,1k}$ (MPa)	1636 <sup>1)</sup>	1640 <sup>1)</sup>	1526 <sup>2)</sup>	1675 <sup>2)</sup>
Nominal tensile strength $f_{t0,1k}$ (MPa)	1860	1770	1860	1860
Specif./min. breaking load $F_{pk}$ (kN)	260.4	279.0	265.5	260.7
Young's modulus (GPa)		approx. 195		approx. 195
Relaxation <sup>3)</sup> after 1000 h at 20 °C and 0.7 x $F_{pk}$ (%)		max. 2.5		

- Characteristic value measured at 0.1% permanent extension
- Minimum load at 0.1% extension for low-relaxation strand
- Valid for relaxation class acc. to pEN 10138-3 or low-relaxation grade acc. to ASTM A 416-06

### 1.2 Tendon Properties 15 mm (0.6") and corresponding duct diameters

Unit numbers	Breaking load		Steel duct <sup>4)</sup> recommended	Plastic duct		PE pipe
	Y1860S7 (pEN)	Y1770S7 (pEN)	Grade 270 (ASTM)	$\varnothing / \varnothing_a$	$\varnothing / \varnothing^5)$	
	d=15.3 mm $A_o=140$ mm <sup>2</sup>	d=15.7 mm $A_o=150$ mm <sup>2</sup>	d=15.7 mm $A_o=150$ mm <sup>2</sup>	d=15.4 mm $A_o=140$ mm <sup>2</sup>		
	[kN]	[kN]	[kN]	[mm]	[mm]	[mm]
6-1	1	260	279	265.5	260.7	253.0
6-2	2	520	558	531	521	40.45
6-3	3	780	837	782	40.45	9
6-4	4	1040	1116	1062	40.45	9
6-5	5	1300	1395	1288	40.45	7
6-6	6	1560	1674	1593	45(50) <sup>1)</sup>	7
6-7	7	1820	1953	1859	45(50) <sup>1)</sup>	7
6-8	8	2080	2232	2124	59.62	11
6-9	9	2340	2511	2390	65.72	9
6-10	10	2600	2790	2655	70.77	9
6-11	11	2860	3069	2921	70.77	9
6-12	12	3120	3348	3186	75.82	12
6-13	13	3380	3627	3452	75.82	11
6-14	14	3640	3906	3717	80.87	13
6-15	15	3900	4185	3983	80.87	13
6-16	16	4160	4464	4248	85.92	12
6-17	17	4420	4743	4414	85.92	11
6-18	18	4680	5022	4779	90.97	13
6-19	19	4940	5307	4958	90.97	13
6-20	20	5200	5580	5200	90.97	12
6-21	21	5460	5859	5244	100.07	16
6-22	22	5720	6138	5441	107.07	16
6-23	23	5980	6417	5607	100.07	14
6-24	24	6240	6696	6327	100.07	13
6-25	25	6500	6975	6638	65.58	10.17
6-26	26	6760	7254	6903	67.78	10.17
6-27	27	7020	7532	7039	100.07	17
6-28	28	7280	7832	7434	100.07	15
6-29	29	7540	8091	7700	100.07	15
6-30	30	7800	8370	7865	120.12	20
6-31	31	8060	8649	8231	120.12	19
6-32	32	8320	8828	8496	120.12	18
6-33	33	8580	8840	8663	120.12	17
6-34	34	8840	9487	9027	120.12	16
6-35	35	9100	9675	9293	9125	130.13
6-36	36	9360	10044	9386	130.13	22
6-37	37	10232	10323	9824	9646	130.13
6-38	38	11780	11997	11471	1120	140.14
6-39	39	14300	15545	14339	1607	140.14

1. Flat ducts possible as well (width = 75mm, height = 21mm)

2. Flat duct PT-PLUS for use with VSL anchorage, see 2.2.3

3. Solted only or short cables with little curvature. For other cases contact local VSL representative.

4. Given values may slightly vary depending on local availability of ducts. In any case the filling ratio (cross-section steel / duct) must not exceed 0.5 (EN523)

5. Øa refers to outer pipe diameter. For rib diameter refer to section 2.2.3 (Page T 3)

### 1.3 Strand Properties 13 mm (0.5")

Strand type	Y1860S7 (pEN)	Grade 270 (ASTM)	$\varnothing / \varnothing_a$	$\varnothing / \varnothing^4)$	Steel duct <sup>4)</sup> recommended	Plastic duct VSL PR-PLUS®
	d=12.5 mm $A_o=100$ mm <sup>2</sup>	d=12.9 mm $A_o=99$ mm <sup>2</sup>	d=12.7 mm $A_o=99$ mm <sup>2</sup>			
	[kN]	[kN]	[kN]	[mm]	[mm]	[mm]
5-1	1	173	186	184	2025	3
5-2	2	346	372	367	3540	6
5-3	3	519	558	551	3540	2
5-4	4	692	744	735	4045	10
5-5	5	930	919	4950	5057	11
5-6	6	1038	1102	4850	5057	9
5-7	7	1211	1302	5266	5562	10
5-8	8	1384	1488	5662	5863	11
5-9	9	1657	1674	5662	5863	10
5-10	10	1730	1860	6067	6067	9
5-11	11	1903	2046	6067	6067	9
5-12	12	2232	2232	6067	6572	8
5-13	13	2249	2438	6572	7681	14
5-14	14	2422	2604	2572	6952	8
5-15	15	2595	2756	2756	7077	11
5-16	16	2768	2876	2876	7592	12
5-17	17	2941	3123	3123	7681	11
5-18	18	3114	3348	3348	8087	13
5-19	19	3287	3534	3490	8087	12
5-20	20	3460	3720	3720	8087	13
5-21	21	3633	3906	3858	8987	9
5-22	22	3805	4041	4041	8582	12
5-23	23	3979	4272	4272	9037	15
5-24	24	4152	4464	4464	9037	10
5-25	25	4325	4593	4593	9502	17
5-26	26	4448	4836	4776	9897	13
5-27	27	4671	5028	4960	9897	16
5-28	28	4844	5208	5144	9897	17
5-29	29	5017	5327	5327	100107	16
5-30	30	5190	5580	5511	95102	15
5-31	31	5363	5666	5595	100106	14
5-32	32	5536	5927	5927	100107	13
5-33	33	5709	6138	6138	100107	12
5-34	34	5892	6324	6246	100107	12
5-35	35	6059	6510	6436	100107	11
5-36	36	6228	6696	6613	100107	11
5-37	37	6401	6882	6799	100107	10
5-38	38	6574	7099	7099	100107	9
5-39	39	6747	7439	7439	100107	8
5-40	40	6920	7798	7798	100107	7
5-41	41	7093	7989	7989	100107	6
5-42	42	7266	8124	8124	100107	5
5-43	43	7439	8299	8299	100107	4
5-44	44	7612	8676	8676	100107	3
5-45	45	7785	8953	8953	100107	2
5-46	46	7958	9230	9230	100107	1
5-47	47	8131	9507	9507	100107	0

1. Flat ducts possible as well (width = 75mm, height = 21mm)

2. Flat duct PT-PLUS for use with VSL anchorage, see 2.2.3

3. Solted only or short cables with little curvature. For other cases contact local VSL representative.

4. Given values may slightly vary depending on local availability of ducts. In any case the filling ratio (cross-section steel / duct) must not exceed 0.5 (EN523)

5. Øa refers to outer pipe diameter. For rib diameter refer to section 2.2.3 (Page T 3)

## Multistrand Post-Tensioning System

### Internal Bonded Post-Tensioning EIT

#### ANCHORAGE TYPE GC (Strand $F_{pk} = 260 / 265 \text{ kN}$ )

#### LOCAL ZONE REINFORCEMENT $f_y = 460 \text{ N/mm}^2$



## Multistrand Post-Tensioning System

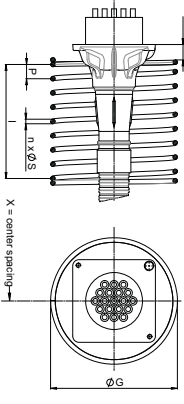
### Internal Bonded Post-Tensioning EIT

#### ANCHORAGE TYPE GC (Strand $F_{pk} = 260 / 265 \text{ kN}$ )

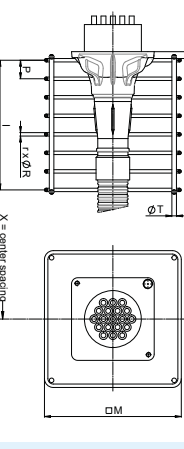
#### LOCAL ZONE REINFORCEMENT $f_y = 390 \text{ N/mm}^2$



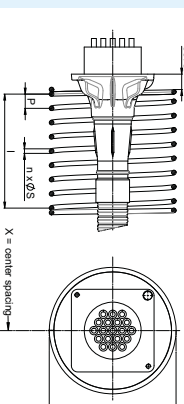
#### OPTION A - SPIRAL REINFORCEMENT



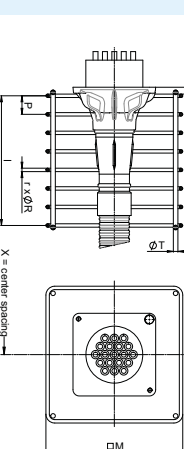
#### OPTION B - STIRRUP REINFORCEMENT



#### OPTION A - SPIRAL REINFORCEMENT



#### OPTION B - STIRRUP REINFORCEMENT



#### CONCRETE 24/30 MPa

##### A Spiral Reinforcement

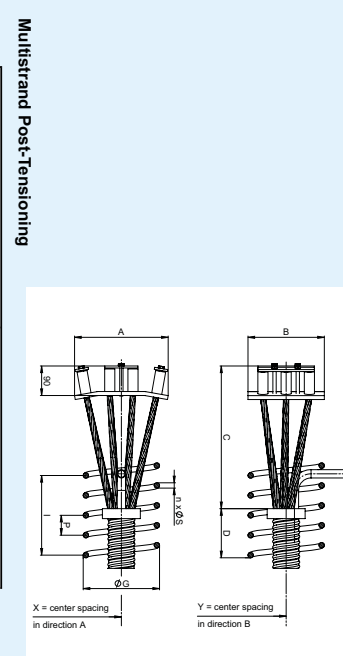
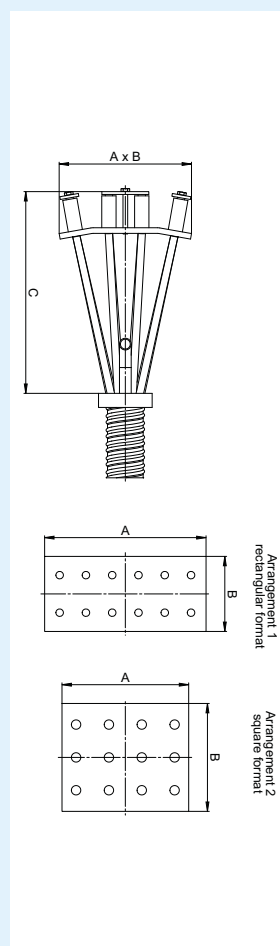
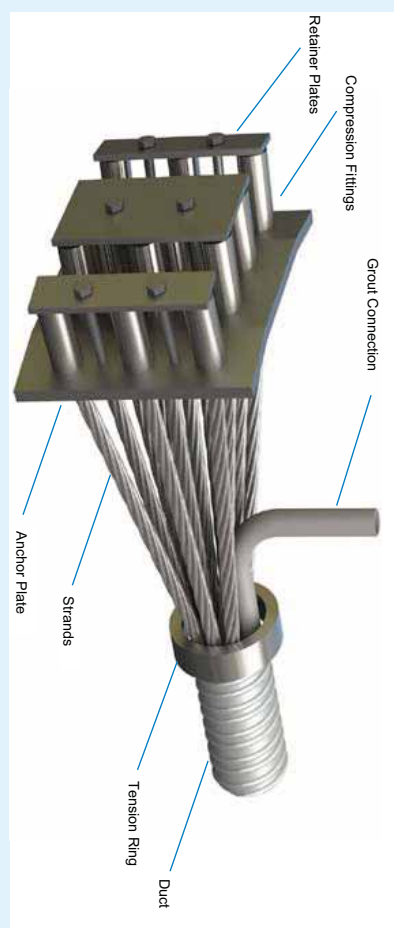
##### B Stirrup Reinforcement

Unit	I	P	$\oslash S$	$\oslash G$	n	X	ØT	Unit	I	P	$\oslash R$	M	r	X	ØT					
6-3	260	8	180	4	200	8	210	70	8	180	5	200	8	220	45	10	180	4	200	8
6-4	280	10	180	5	200	8	210	70	8	180	5	200	8	220	45	12	185	5	205	8
6-5	275	12	200	5	220	8	210	70	8	205	6	205	8	220	45	12	185	5	205	8
6-6	280	12	205	7	225	10	215	70	12	245	7	225	10	220	45	16	265	5	265	10
6-7	280	12	205	7	225	10	215	70	12	245	7	225	10	220	45	16	265	5	265	10
6-8	300	16	230	8	270	12	230	60	20	325	7	345	12	300	40	16	325	9	345	12
6-9	300	16	230	8	270	12	230	60	20	325	7	345	12	300	40	16	325	9	345	12
6-10	300	16	230	8	270	12	230	60	20	325	7	345	12	300	40	16	325	9	345	12
6-11	300	16	230	8	270	12	230	60	20	325	7	345	12	300	40	16	325	9	345	12
6-12	300	16	230	8	270	12	230	60	20	325	7	345	12	300	40	16	325	9	345	12
6-13	300	16	230	8	270	12	230	60	20	325	7	345	12	300	40	16	325	9	345	12
6-14	300	16	230	8	270	12	230	60	20	325	7	345	12	300	40	16	325	9	345	12
6-15	300	16	230	8	270	12	230	60	20	325	7	345	12	300	40	16	325	9	345	12
6-16	300	16	230	8	270	12	230	60	20	325	7	345	12	300	40	16	325	9	345	12
6-17	300	16	230	8	270	12	230	60	20	325	7	345	12	300	40	16	325	9	345	12
6-18	300	16	230	8	270	12	230	60	20	325	7	345	12	300	40	16	325	9	345	12
6-19	300	16	230	8	270	12	230	60	20	325	7	345	12	300	40	16	325	9	345	12
6-20	300	16	230	8	270	12	230	60	20	325	7	345	12	300	40	16	325	9	345	12
6-21	300	16	230	8	270	12	230	60	20	325	7	345	12	300	40	16	325	9	345	12
6-22	300	16	230	8	270	12	230	60	20	325	7	345	12	300	40	16	325	9	345	12
6-23	300	16	230	8	270	12	230	60	20	325	7	345	12	300	40	16	325	9	345	12
6-24	300	16	230	8	270	12	230	60	20	325	7	345	12	300	40	16	325	9	345	12
6-25	300	16	230	8	270	12	230	60	20	325	7	345	12	300	40	16	325	9	345	12
6-26	300	16	230	8	270	12	230	60	20	325	7	345	12	300	40	16	325	9	345	12
6-27	300	16	230	8	270	12	230	60	20	325	7	345	12	300	40	16	325	9	345	12
6-28	300	16	230	8	270	12	230	60	20	325	7	345	12	300	40	16	325	9	345	12
6-29	300	16	230	8	270	12	230	60	20	325	7	345	12	300	40	16	325	9	345	12
6-30	300	16	230	8	270	12	230	60	20	325	7	345	12	300	40	16	325	9	345	12
6-31	300	16	230	8	270	12	230	60	20	325	7	345	12	300	40	16	325	9	345	12
6-32	300	16	230	8	270	12	230	60	20	325	7	345	12	300	40	16	325	9	345	12
6-33	300	16	230	8	270	12	230	60	20	325	7	345	12	300	40	16	325	9	345	12
6-34	300	16	230	8	270	12	230	60	20	325	7	345	12	300	40	16	325	9	345	12
6-35	300	16	230	8	270	12	230	60	20	325	7	345	12	300	40	16	325	9	345	12
6-36	300	16	230	8	270	12	230	60	20	325	7	345	12	300	40	16	325	9	345	12
6-37	300	16	230	8	270	12	230	60	20	325	7	345	12	300	40	16	325	9	345	12
6-38	300	16	230	8	270	12	230	60	20	325	7	345	12	300	40	16	325	9	345	12
6-39	300	16	230	8	270	12	230	60	20	325	7	345	12	300	40	16	325	9	345	12
6-40	300	16	230	8	270	12	230	60	20	325	7	345	12	300	40	16	325	9	345	12
6-41	300	16	230	8	270	12	230	60	20	325	7	345	12	300	40	16	325	9	345	12
6-42	300	16	230	8	270	12	230	60	20	325	7	345	12	300	40	16	325	9	345	12
6-43	300	16	230	8	270	12	230	60	20	325	7	345	12	300	40	16	325	9	345	12
6-44	300	16	230	8	270	12	230	60	20	325	7	345	12	300	40	16	325	9	345	12
6-45	300	16	230	8	270	12	230	60	20	325	7	345	12	300	40	16	325	9	345	12
6-46	300	16	230	8	270	12	230	60	20	325	7	345	12	300	40	16	325	9	345	12
6-47	300	16	230	8	270	12	230	60	20	325	7	345	12	300	40	16	325	9	345	12
6-48	300	16	230	8	270	12	230	60	20	325	7	345	12	300	40	16	325	9	345	12
6-49	300	16	230	8	270	12	230	60	20	325	7	345	12	300	40	16	325	9	345	12
6-50	300	16	230	8	270	12	230	60	20	325	7	345	12	300	40	16	325	9	345	12
6-51	300	16	230	8	270	12	230	60	20	325	7	345	12	300	40	16	325	9	345	12
6-52	300	16	230	8	270	12	230	60	20	325	7	345	12	300	40	16	325	9	345	12
6-53	300	16	230	8	270	12	230	60	20	325	7	345	12	300	40	16	325	9	345	12
6-54	300	16	230	8	270	12	230	60	20	325	7	345	12	300	40	16	325	9	345	12
6-55	300	16	230	8	270	12	230	60	20	325	7	345	12	300	40	16	325	9	345	12
6-56	300	16	230	8	270	12	230	60	20	325	7	345	12	300	40	16	325	9	345	12
6-57	300	16	230	8	270	12	230	60	20	325	7	345	12	300	40	16	325	9	345	12
6-58	300	16	230	8	270	12	230	60	20	325	7	345	12	300	40	16	325	9	345	12
6-59	300	16	230	8	270	12	230	60	20	325	7	345	12	300	40	16	325	9	345	12
6-60	300	16	230	8	270	12	230	60	20	325	7	345	12	300	40	16	325	9	345	12
6-61	300	16	230	8	270	12	230	60	20	325	7	345	12	300	40	16	325	9	345	12
6-62	300	16	230	8	270	12	230	60	20	325	7	34								

**Multistrand Post-Tensioning System**  
**Internal Bonded Post-Tensioning**  
**DEAD END ANCHORAGE TYPE P**



**Multistrand and Slab Post-Tensioning System**  
**Internal Bonded Post-Tensioning**  
**ANCHORAGE TYPE P (Strand  $F_{pk} = 260 / 265 / 279 \text{ kN}$ )**  
**LOCAL ZONE REINFORCEMENT  $f_y = 500 \text{ N/mm}^2$**



	Nom. strand breaking load $F_{pk} = 260.4 / 265.5 / 279 \text{ kN}$	Min. concrete strength at stressing $f_c = 28 / 35 f_{c,sy} / f_{c,rade}$ in MPa	Max. tendon force 80% of $F_{pk}$
--	--	---	--------------------------------------

**Notes**

All dimensions in [mm]

System applicable to strands with  $A_p = 140 \text{ mm}^2$  or  $A_p = 150 \text{ mm}^2$   
 System can be used with corrugated steel duct or PT-Plus® duct  
 The anchor plate with the compression fittings can be arranged either in rectangular format (Arr. 1) or in square format (Arr. 2)

Unit	Arrangement	Arrangement 1 Square				Arrangement 2 Rectangular				I	D	$\varnothing G$	$\varnothing S$	P	n
		A	B	C	X	Y	A	B	C						
6-2	1	180	60	280	-	-	180	60	280	200	150	-	-	-	-
6-3	1	230	70	330	-	-	230	70	330	250	200	-	-	-	-
6-4	1	260	90	430	-	-	260	90	430	280	200	-	-	-	-
6-7	-	150	150	380	215	215	270	140	430	360	220	300	140	200	16
6-12	-	-	-	-	-	-	280	230	430	500	270	300	140	230	16
6-19	-	-	-	-	-	-	370	270	630	550	390	300	140	300	16
6-22	-	-	-	-	-	-	420	270	730	650	380	300	140	350	16
6-31	1	340	780	660	530	600	270	980	810	430	360	170	400	20	6
6-37	1	340	980	780	530	720	270	1180	960	430	360	170	400	20	6
6-55	2	800	340	1280	-	-	-	-	-	-	-	-	-	-	-

	Nom. strand breaking load $F_{pk} = 260.4 / 265.5 / 279 \text{ kN}$	Min. concrete strength at stressing $f_c = 28 / 35 f_{c,sy} / f_{c,rade}$ in MPa	Max. tendon force 80% of $F_{pk}$
--	--	---	--------------------------------------

**Notes**

All dimension in [mm]

Min. yield strength for local zone reinforcement  $f_y = 500 \text{ N/mm}^2$

1)  $X/2 =$  Center spacing of anchorage. Minimum edge distance:  $X/2 +$  concrete cover

Detailing of minimum clearance to edge shall be according to corresponding stressing anchorage

**Slab Post-Tensioning**

Arrangement 1 Square

Arrangement 2 Rectangular

$X =$  center spacing in direction A

$Y =$  center spacing in direction B

Unit	A	B	C	X	Y	A	B	C	$X 280/285^1$	$X 279^1$	I	D	$\varnothing G$	$\varnothing S$	P	n
6-2	-	-	-	-	-	180	70	280	210	240	-	-	-	-	-	-
6-3	-	-	-	-	-	230	80	330	270	310	-	-	-	-	-	-
6-4	-	-	-	-	-	280	100	430	320	360	-	-	-	-	-	-
6-5	-	-	-	-	-	310	110	430	350	400	-	-	-	-	-	-

All dimension in [mm]  
 Min. yield strength for local zone reinforcement  $f_y = 500 \text{ N/mm}^2$   
 1)  $X/2 =$  center spacing of anchorage depending on nom. strand breaking load. Minimum edge distance  $X/2 +$  concrete cover  
 General zone reinforcement (secondary prism) not shown. In slabs there is always need to reinforce vertical secondary prism.

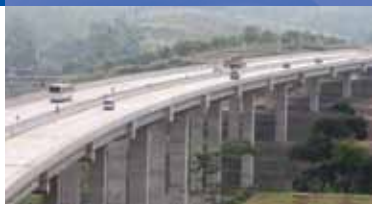
# BROCHURE

## THE PRECAST CONCRETE MANUFACTURER



**WiKA BETON**

*Innovation and Trust*



**WiKA KOBE**

**WiKA KRAKATAU  
BETON**

**WiKA CLT**

PT CITRA LAUTAN TEDUH



# PC PILES

## DESCRIPTION

Type of Piles	Prestressed Concrete Square Piles Prestressed Concrete Spun Piles Prestressed Concrete Spun Square Piles Prestressed Concrete Triangular Piles
System of Joints	Welded at steel joint plate
Type of Shoe	Concrete Pencil Shoe (Standard) for PC Spun Piles, Spun Square Pile & Square Piles Mamira Shoe (Special Order) for PC Spun Pile
Method of Driving	Dynamic Pile Driving : Diesel Hammer and Hydraulic Hammer Static Pile Driving :Hydraulic Static Pile Driver (Jacking Pile)

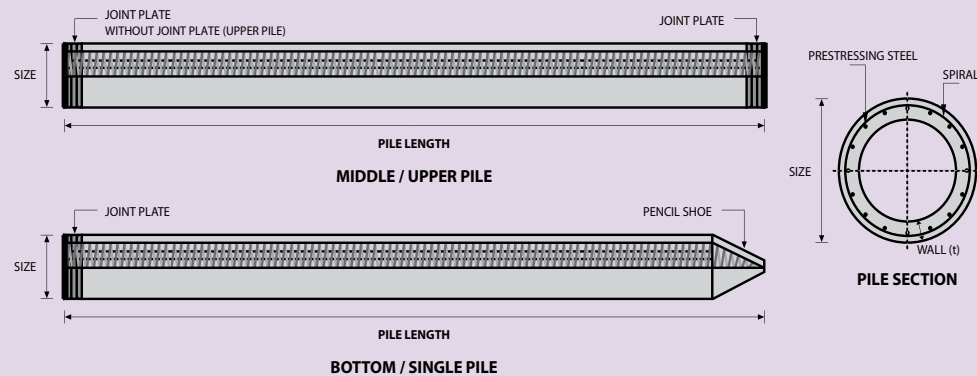
## DESIGN & MANUFACTURING REFERENCE

Design	ACI 543R	Design, Manufactured and Installation of Concrete Piles Chapter-4 Structural design requirement for piles with no seismic loading (In case pile is consider to seismic loading, piles detail should re-design refer to ACI 543R Chapter-5)
Manufacturing	SNI 2847 - 2013 WB - PRD - PS - 16	Indonesian Standard Code for Concrete Production Manufacturing Procedure

## MATERIAL SPECIFICATION

ITEM	REFERENCE	DESCRIPTION	SPECIFICATION
Aggregate	ASTM C 33 / C 33M-11a	Standard Specification for Concrete Aggregates	
Cement	SNI 2049 - 2015	Portland Cement	Standard Product Type I Special Order : Type II or V
Admixture	ASTM C 494 / C 494M - 99a	Standard Specification for Chemical Admixture for Concrete	Type F : High Range Water Reducing Admixture
Concrete	SNI 2834 - 2000 SNI 2493 - 2011	Concrete Mix Design Making and Curing Concrete Sample	
PC Strand	ASTM A 416 / A 416M - 99	Standard Specification for Steel Strand, Uncoated Seven-Wire for Prestressed Concrete	Grade 270 (Low Relaxation Type)
PC Wire	JIS G 3536 - 2014	Uncoated Stress-Relieved Steel Wires and Strands for Prestressed Concrete	SWPD1 (Deformed Wire Type)
PC Bar	JIS G 3137 - 2008	Small Size-Deformed Steel Bars for Prestressed Concrete	Grade D - Class 1 - SBPD 1275/1420
Rebar	SNI 2052 - 2014	Reinforcement Steel for Concrete	Steel Class : BjTS 40 (Deformed) Steel Class : BjTP 24 (Round)
Spiral Wire	JIS G 3532 - 2011	Low Carbon Steel Wires	SWM-P (Round Type) Cold-reduced steel wire for the reinforcement of concrete and the manufacture of welded fabric.
Joint Plate	JIS G 3101 - 2004	Rolled Steels for General Structure	SS400 (Tensile Strength 400 N/mm <sup>2</sup> ) Applicable steel product for steel plates and sheets, steel strip in coil, sections, flats and bars.
Welding	ANSI / AWS D1.1 - 900	Structural Welding Code Steel	AWS A5.1/E6013 NIKKO STEEL RB 26 / RD 260, LION 26, or equivalent.

## PILE SHAPE & SPECIFICATION | PRESTRESSED CONCRETE SPUN PILES



### PRESTRESSED CONCRETE SPUN PILES SPECIFICATION

Concrete Compressive Strength  $f_c' = 52 \text{ MPa}$  (Cube 600 kg/cm<sup>2</sup>)

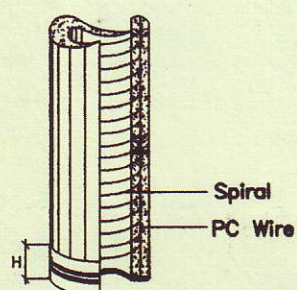
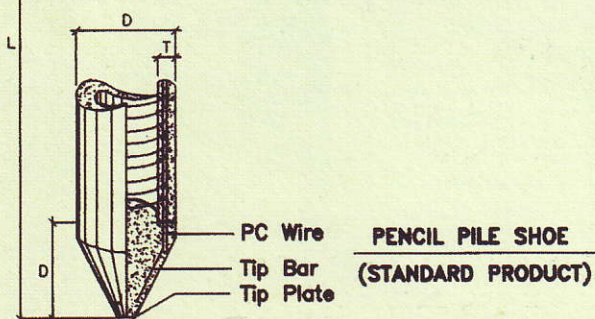
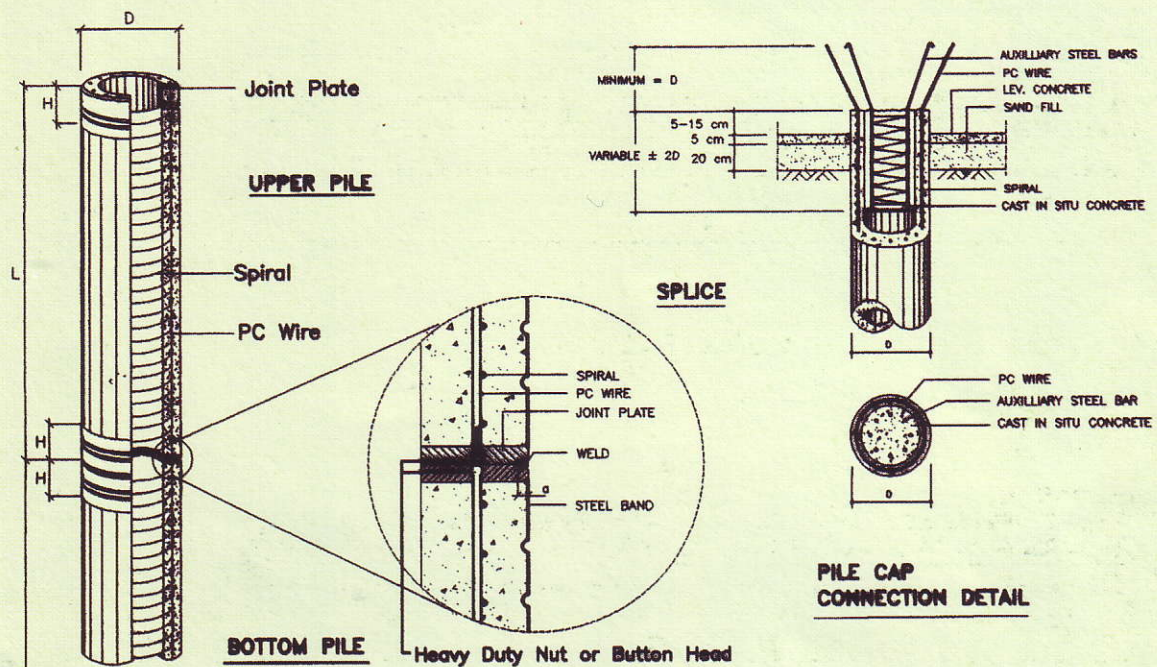
Size (mm)	Thickness Wall (t) (mm)	Cross Section (cm <sup>2</sup> )	Section Inertia (cm <sup>4</sup> )	Unit Weight (kg/m)	Class	Bending Moment		Allowable Compression (ton)	Decompression Tension (ton)	Length of Pile ** (m)
						Crack * (ton.m)	Break (ton.m)			
300	60	452.39	34,607.78	113	A2	2.50	3.75	72.60	23.11	6 - 12
					A3	3.00	4.50	70.75	29.86	6 - 13
					B	3.50	6.30	67.50	41.96	6 - 14
					C	4.00	8.00	65.40	49.66	6 - 15
350	65	581.98	62,162.74	145	A1	3.50	5.25	93.10	30.74	6 - 13
					A3	4.20	6.30	89.50	37.50	6 - 14
					B	5.00	9.00	86.40	49.93	6 - 15
					C	6.00	12.00	85.00	60.87	6 - 16
400	75	765.76	106,488.95	191	A2	5.50	8.25	121.10	38.62	6 - 14
					A3	6.50	9.75	117.60	45.51	6 - 15
					B	7.50	13.50	114.40	70.27	6 - 16
					C	9.00	18.00	111.50	80.94	6 - 17
450	80	929.91	166,570.38	232	A1	7.50	11.25	149.50	39.28	6 - 14
					A2	8.50	12.75	145.80	53.39	6 - 15
					A3	10.00	15.00	143.80	66.57	6 - 16
					B	11.00	19.80	139.10	78.84	6 - 17
					C	12.50	25.00	134.90	100.45	6 - 18
500	90	1,159.25	255,324.30	290	A1	10.50	15.75	185.30	54.56	6 - 15
					A2	12.50	18.75	181.70	68.49	6 - 16
					A3	14.00	21.00	178.20	88.00	6 - 17
					B	15.00	27.00	174.90	94.13	6 - 18
					C	17.00	34.00	169.00	122.04	6 - 19
600	100	1,570.80	510,508.81	393	A1	17.00	25.50	252.70	70.52	6 - 16
					A2	19.00	28.50	249.00	77.68	6 - 17
					A3	22.00	33.00	243.20	104.94	6 - 18
					B	25.00	45.00	238.30	131.10	6 - 19
					C	29.00	58.00	229.50	163.67	6 - 20
800	120	2,563.54	1,527,869.60	641	A1	40.00	60.00	415.00	119.34	6 - 20
					A2	46.00	69.00	406.10	151.02	6 - 21
					A3	51.00	76.50	399.17	171.18	6 - 22
					B	55.00	99.00	388.61	215.80	6 - 23
					C	65.00	130.00	368.17	290.82	6 - 24
1000 ***	140	3,782.48	3,589,571.20	946	A1	75.00	112.50	613.52	169.81	6 - 22
					A2	82.00	123.00	601.27	215.16	6 - 23
					A3	93.00	139.50	589.66	258.19	6 - 24
					B	105.00	189.00	575.33	311.26	6 - 24
					C	120.00	240.00	555.23	385.70	6 - 24
1200 ***	150	4,948.01	6,958,136.85	1,237	A1	120.00	180.00	802.80	221.30	6 - 24
					A2	130.00	195.00	794.50	252.10	6 - 24
					A3	145.00	217.50	778.60	311.00	6 - 24
					B	170.00	306.00	751.90	409.60	6 - 24
					C	200.00	400.00	721.50	522.20	6 - 24

Unit Conversion : 1 ton = 9.8060 kN

Note : \*) Crack Moment Based on JIS A 5335-1987 (Prestressed Spun Concrete Piles)

\*\*) Length of pile may exceed usual standard whenever lifted in certain position

\*\*\*) Type of Shoe for Bottom Pile is Mamira Shoe



**Mamira Pile Shoe**  
(Special design)

**Thickness  
of Weld**

D (mm)	T (mm)	H (mm)	a (mm)
300	60	100	8
350	65	100	10
400	75	150	10
450	80	150	10
500	90	150	10
600	100	150	10

## BIODATA PENULIS



Penulis memiliki nama lengkap Made Sidharta Purnama Putra, lahir di Amlapura pada tanggal 12 Mei 1998 yang merupakan putra kedua dari pasangan I Nengah Suarta dan Ni Nyoman Ayu Masmini. Sebelumnya penulis telah mengenyam pendidikan di SD Negeri 4 Padangkerta, SMP Negeri 2 Amlapura, dan SMA Negeri 4 Denpasar. Kemudian penulis melanjutkan pendidikan sarjananya di

Institut Teknologi Sepuluh Nopember (ITS) Surabaya Departemen Teknik Sipil Fakultas Teknik Sipil, Perencanaan dan Kebumian pada tahun 2016 melalui program sarjana dan terdaftar dengan NRP 03111640000118. Penulis adalah salah satu mahasiswa program sarjana (S1) dengan bidang studi struktur dengan mengambil judul tugas akhir "**Desain Modifikasi Struktur Gedung Fakultas Kedokteran Universitas Udayana Menggunakan Sistem Balok Prategang pada Lantai Atap dan Sistem Ganda**". Selama dalam masa perkuliahan, penulis aktif dalam bidang organisasi kemahasiswaan. Penulis pernah menjadi Koordinator Pemandu LKMM Pra-TD FTSLK ITS 2019. Di waktu senggang penulis juga senang menghabiskan waktu untuk berolahraga. Penulis dapat dihubungi melalui email [sidhartapurnama@gmail.com](mailto:sidhartapurnama@gmail.com).